

# STAVEBNÍ FYZIKA II

## Stavební tepelná technika

Ing. František Kulhánek, CSc.



ČVUT v Praze  
Fakulta architektury

## OBSAH

|   |     |
|---|-----|
| Úvod .....  | 4   |
| 1. Stanovení základních veličin.....                  | 5   |
| 2. Součinitel prostupu tepla.....                     | 13  |
| 3. Difúze a kondenzace vodní páry .....               | 27  |
| 4. Nejnižší vnitřní povrchová teplota .....           | 47  |
| 5. Pokles dotykové teploty podlahové konstrukce ..... | 61  |
| 6. Tepelná stabilita místnosti v letním období .....  | 71  |
| 7. Tepelná stabilita místnosti v zimním období .....  | 83  |
| 8. Stavebně energetické vlastnosti budov .....        | 91  |
| Přílohy .....   | 105 |
| Literatura .....                                      | 143 |

## ÚVOD

Toto přepracované skriptum slouží jako základní studijní pomůcka pro přednášky a cvičení předmětu *Stavební fyzika II – Stavební tepelná technika*. V teoretické části je zaměřeno především na základní fyzikální děje, jejichž znalost je nezbytná pro pochopení procesů, probíhajících ve stavebních konstrukcích a následně pro správný koncepční architektonický návrh budovy jako celku i na návrh jednotlivých konstrukčních prvků budovy. Praktická část seznamuje posluchače s numerickými nástroji pro hodnocení stavebních konstrukcí a budov. Text je doplněn o ukázky použití výpočetní techniky s využitím programového vybavení, které je posluchačům Fakulty architektury ČVUT běžně přístupné v počítačové učebně GAPPA.

Skriptum bylo dokončováno v období končící revize základní tepelně technické normy *ČSN 73 0540 Tepelná ochrana budov*, platné již od roku 1994. Revize jedné části této normy, kterou je *Část 2: Požadavky*, byla dokončena a revidovaná norma byla publikována již v listopadu 2002. V březnu 2005 pak byla zveřejněna *Změna Z1* této revidované části normy. V červnu 2005 byly pak publikovány další části revidované *ČSN 73 0540*, a to *Část 1: Terminologie* a *Část 4: Výpočtové metody*. Očekává se, že v nejbližší době bude zveřejněna i poslední revidovaná partie normy, kterou je *Část 3: Návrhové hodnoty*.

Revidovanou *Část 2* normy lze charakterizovat především větší provázaností se soustavou souvisejících evropských a mezinárodních norem. Nově je formulován požadavek na nejnižší vnitřní povrchovou teplotu konstrukcí, kritériem úrovně tepelně izolační kvality jednotlivých konstrukcí se pro všechny typy konstrukcí stal součinitel prostupu tepla. Bylo zavedeno nové kritérium pro hodnocení energetické náročnosti budov.

Následná *Změna Z1* revidované části normy nově udává požadované a doporučené hodnoty součinitele prostupu tepla pro některé specifické typy konstrukcí včetně vlivu tepelných vazeb a upřesňuje i způsob hodnocení konstrukcí z hlediska kondenzace vodní páry uvnitř konstrukce. Zcela nově je pojato hodnocení stavebně energetických vlastností budov. Doporučena je klasifikace budov podle jejich stupně tepelné náročnosti.

Revidovaná *Část 1* normy sjednocuje a upřesňuje termíny používané v oboru stavební tepelné techniky, definice veličin i jejich značky a jednotky. Vzhledem k tomu, že došlo ke změně velké části dosud používaných značek, je v příloze tohoto skriptu tabulka, obsahující nové a původní značky nejběžněji používaných veličin, která umožní lepší orientaci především při studiu starší literatury. V příloze je též česko anglický slovník základních odborných výrazů, používaných ve stavební tepelné technice, který byl v rámci revidované normy poprvé publikován.

*Část 4* revidované normy upřesňuje, případně nově stanoví výpočtové postupy pro navrhování a ověřování stavebních konstrukcí a budov.

## 1. STANOVENÍ ZÁKLADNÍCH VELIČIN

Přesné stanovení parametrů vnějšího a vnitřního prostředí i základních stavebně fyzikálních vlastností stavebních materiálů je nezbytnou podmínkou pro správný tepelně technický návrh a hodnocení stavebních konstrukcí a budov.

### 1.1. Stanovení parametrů vnějšího a vnitřního prostředí

#### 1.1.1. Parametry vnějšího prostředí

Určení parametrů vnějšího prostředí v posuzované lokalitě je prvním krokem jak při návrhu jednotlivých prvků obalových konstrukcí budovy tak i při hodnocení energetických kvalit objektu. Základními klimatickými prvky jsou z tohoto pohledu teplota a vlhkost vzduchu.

V rámci tepelně technických výpočtů se používají průměrné parametry vnějšího ovzduší, extrémní hodnoty se používají především pro potřeby technicko fyzikální analýzy, např. pro stanovení extrémních hodnot napětí od nesilového zatížení v obvodových konstrukcích.

#### *Výpočtová teplota venkovního vzduchu*

Teplota venkovního vzduchu závisí mimo jiné na nadmořské výšce lokality a na její urbanizaci.

Pro stanovení výpočtové hodnoty teploty venkovního vzduchu bylo použito dlouhodobého průměru teplot pěti za sebou jdoucích nejchladnějších dnů.

Základní členění území České republiky z hlediska teploty venkovního vzduchu udává ČSN 73 0540 [1]. Území republiky je rozděleno na dvě základní teplotní oblasti:

- I. teplotní oblast s výpočtovou venkovní teplotou  $\theta_e = -15\text{ }^{\circ}\text{C}$
- II. teplotní oblast s výpočtovou venkovní teplotou  $\theta_e = -18\text{ }^{\circ}\text{C}$ .

Hranice mezi těmito oblastmi jsou patrné z mapy na obr. 1.1.



Obr. 1.1: Hranice teplotních oblastí v zimním období dle [1].

Citovaná norma dále uvádí, že

- v I. teplotní oblasti se pro místa s nadmořskou výškou nad 600 m n.m. počítá s hodnotou  $\theta_e = -18 \text{ °C}$  a
- v II. teplotní oblasti se pro místa s nadmořskou výškou nad 800 m n. m. uvažuje s hodnotou  $\theta_e = -21 \text{ °C}$ .

V případě, že z měření spádové meteorologické stanice vyplývá hodnota výpočtové venkovní teploty nižší, musí být použita takto upřesněná hodnota.

Norma ČSN 06 0210 [2] používá poněkud odlišného členění. Území republiky je rozděleno na tři základní oblasti s výpočtovými venkovními teplotami

- $\theta_e = -12 \text{ °C}$
- $\theta_e = -15 \text{ °C}$
- $\theta_e = -18 \text{ °C}$

přičemž území s prvními dvěma hodnotami výpočtové teploty venkovního vzduchu je identické s I. teplotní oblastí dle ČSN 73 0540 a území s teplotou  $\theta_e = -18 \text{ °C}$  je shodné s II. teplotní oblastí podle ČSN 73 0540. Vliv vyšší nadmořské výšky posuzované lokality je v obou normách zahrnut obdobným způsobem.

Přesnější údaje o charakteru venkovního prostředí udává tzv. referenční klimatický rok, který podrobně popisuje typický průběh počasí v konkrétní lokalitě. Využívá se především při energetickém hodnocení objektů, výpočtu difúzních vlastností stavebních konstrukcí a v řadě simulačních programů. V současné době jsou dostupné podrobné klimatologické údaje pro všechny významnější lokality na území naší republiky – katalog těchto údajů je součástí výpočtových programů, jejichž použití bude v dalších částech tohoto textu popisováno.

Při výpočtech tepelné stability prostorů z hlediska letního období se využívá údajů o průměrné letní teplotě venkovního vzduchu. Revidovaná ČSN 73 0540 uvažuje z hlediska letního období pouze s jednou teplotní oblastí s průměrnou letní denní teplotou venkovního vzduchu  $\theta_{e,m} = 20,5 \text{ °C}$ ,

### *Výpočtová relativní vlhkost venkovního vzduchu*

Standardní hodnoty relativní vlhkosti venkovního vzduchu v závislosti na jeho teplotě jsou uvedeny v tabulce P 08.

V případě potřeby stanovit hodnotu relativní vlhkosti přesnějším způsobem lze - pro rozmezí teplot od  $\theta_e = -21 \text{ °C}$  do  $\theta_e = +25 \text{ °C}$  - použít vztahu

$$\varphi_e = \frac{93\theta_e - 3153,5}{\theta_e - 39,17} \quad [\%] \quad (1.1)$$

Údaje o dalších klimatických parametrech, jako jsou například doby trvání jednotlivých teplot vnějšího vzduchu, ekvivalentní teplota vnějšího vzduchu, střední intenzita globálního slunečního záření a podobně budou probrány v dalších kapitolách.

### 1.1.2. Parametry vnitřního prostředí

Výpočtová vnitřní teplota  $\theta_i$  a relativní vlhkost vnitřního vzduchu  $\varphi_i$  závisí především na účelu a užití objektu. Zatímco u bytových a občanských staveb je obvykle hlavním kritériem pro stanovení parametrů vnitřního vzduchu zajištění pohody vnitřního prostředí, u průmyslových a zemědělských staveb jsou parametry vnitřního prostředí určovány převážně na základě provozních či technologických požadavků. V případě, že parametry vnitřního prostředí nejsou normativně nebo jiným závazným způsobem stanoveny, nebo ve sporných případech, je rozhodující požadavek investora.

Hodnoty parametrů vnitřního prostředí v závislosti na jednotlivých druzích staveb a typu provozu v nich uvádí podrobně ČSN 06 0210 [2] nebo Vyhláška MPO č.291/2001 [3]. Nejdůležitější údaje o parametrech vnitřního prostředí jsou shrnuty v tabulce č. P 01.

Norma ČSN 73 0540 rozlišuje z hlediska teploty vnitřního prostředí dva pojmy:

- výpočtová vnitřní teplota  $\theta_i$  (°C)
- výpočtová teplota vnitřního vzduchu  $\theta_a$  (°C).

Výpočtovou teplotu vnitřního vzduchu lze orientačně stanovit v závislosti na výpočtové vnitřní teplotě ze vztahu

$$\theta_a = \theta_i + e_1 \quad (1.2)$$

kde  $e_1$  je součinitel typu budovy (viz tab. T 1.1)

|             |  |
|-------------|--|
| $e_1 = 1,0$ | pro budovy obytné a občanské s převážně dlouhodobým pobytem lidí                             |
| $e_1 = 1,2$ | pro budovy občanské ostatní a pro budovy výrobní průmyslové pro velmi lehkou práci           |
| $e_1 = 1,5$ | pro budovy výrobní průmyslové pro lehkou práci   |
| $e_1 = 1,8$ | pro budovy výrobní průmyslové pro středně těžkou a těžkou práci, budovy zemědělské a ostatní |

Tabulka T 1.1: Součinitel typu budovy dle ČSN 73 0540 [1]

S ohledem na splnění požadavků na zajištění tepelné pohody vnitřního prostředí lze výpočtovou teplotu vnitřního vzduchu stanovit přesněji za vztahu

$$\theta_a = \theta_i + 0,15 U_c ( \theta_i - \theta_e ) \quad (1.3)$$

kde  $U_c$  je celkový součinitel prostupu tepla konstrukcí ohraničujících danou místnost [ $W m^{-2} K^{-1}$ ], stanovený dle ČSN 06 0210 [2].

### 1.2. Stanovení stavebně fyzikálních parametrů stavebních materiálů

V architektonické praxi se fyzikální vlastnosti stavebních materiálů obvykle stanovují přímým způsobem, to znamená z tabulek, které jsou přílohou tepelně technických norem. Hlavní výhodou tohoto postupu je především jednoduchost, rychlost a přehlednost, svoji roli zde samozřejmě hraje i fakt, že ve stadiu architektonického návrhu nejsou většinou známy ještě všechny informace, nezbytné pro přesnější určení fyzikálních parametrů materiálů. Pro potřeby architektonické práce jsou výsledky, získané s použitím tabelárně určených hodnot dostatečně přesné, zvláště pokud předpokládáme, že při zpracování realizační dokumentace budou provedeny všechny nezbytné podrobné tepelně technické výpočty, které budou již pracovat s upřesněnými vstupními údaji a také fyzikální vlastnosti materiálů v nich budou zadávány co možná nejpřesnějším způsobem. V případě, že jsou dostupné všechny potřebné údaje, lze použít upřesněné materiálové charakteristiky již ve stadiu architektonického návrhu.

Výpočtové a charakteristické hodnoty základních stavebně fyzikálních parametrů stavebních materiálů jsou uvedeny v příloze v tabulce P 02.

Pro každý tepelně technický výpočet lze individuálně stanovit přesné hodnoty základních stavebně fyzikálních parametrů, které respektují především charakteristické vlastnosti materiálu, způsob jeho zabudování a vliv prostředí, v němž jej materiál užit. Použití materiálových charakteristik, stanovených přesným způsobem vede k optimálnímu návrhu stavebních konstrukcí a budov jak z hlediska jejich vnitřního mikroklimatu, tak především z hlediska energetického.

Metodika, uvedená v ČSN 73 0540 umožňuje, aby byly podrobně stanoveny následující materiálové charakteristiky:

- objemová hmotnost
- součinitel tepelné vodivosti
- měrná tepelná kapacita
- součinitel prostupu tepla průsvitných konstrukcí.

#### 1.2.1. Objemová hmotnost

Pro přesné stanovení výpočtové hodnoty objemové hmotnosti materiálu, která respektuje reálný vlhkostní stav materiálu, se užije vztah

$$\rho_v = 0,01 \rho_d (100 + u_n) \quad (1.4)$$

kde je

- $\rho_v$  výpočtová hodnota objemové hmotnosti materiálu  $\text{kg}\cdot\text{m}^{-3}$ ,
- $\rho_d$  normová hodnota objemové hmotnosti materiálu v suchém stavu ( $\text{kg}\cdot\text{m}^{-3}$ ), stanovená z tab. P 02, odst.2,
- $u_n$  normová hmotnostní vlhkost materiálu, stanovená ze vztahu

$$u_n = u_{ch} + z_2 + z_3 \quad (1.5)$$

kde je

- $u_{ch}$  charakteristická hmotnostní vlhkost materiálu, stanovená z tab. P 02, odst.5  
 $z_2$  součinitel materiálu, stanovený z tab. T 1.2  
 $z_3$  součinitel zabudování materiálu do stavební konstrukce, stanovený z tab. T 1.3.

| Položka | Materiálová skupina, materiál  | $z_2$ |
|---------|--|-------|
| 1       | 2  | 3     |
| 1       | Beton s objemovou hmotností v $\text{kg.m}^{-3}$                             |       |
|         | $\rho_d > 1400$  | 0.10  |
|         | $1400 \geq \rho_d > 1200$  | 0.70  |
|         | $1200 \geq \rho_d > 1000$  | 1.50  |
|         | $1000 \geq \rho_d > 700$   | 1.30  |
|         | $700 \geq \rho_d$  | 2.20  |
| 2       | Omítky tepelně izolační  | 2.5   |
| 3       | Tepelně izolační materiály na bázi silikátových vláken (anorganické, skelné) | 2.00  |
| 4       | Tepelně izolační materiály pěnoplastické, pěnosclo                           | 4.00  |
| 5       | Materiály na bázi azbestu a s jeho přísadou                                  | 0.50  |
| 6       | Dřevo a výrobky na bázi dřevitého odpadu s                                   |       |
|         | $\rho_d < 800 \text{ kg.m}^{-3}$   | 3.00  |
|         | $\rho_d \geq 800 \text{ kg.m}^{-3}$  | 4.00  |
| 7       | Materiály na bázi sádry, sádrokarton apod.                                   | 4.00  |
| 8       | Sypké materiály  | 1.00  |
| 9       | Zeminy   | 1.50  |
| 10      | Pálený keramický stěp nelehčený  | 0.70  |
| 11      | Plasty hutné (nepěněné), sklo a materiály hutné výše neuvedené               | 0.00  |

Tabulka T 1.2: Součinitel materiálu  $z_2$

| Položka   | Způsob zabudování materiálu s vlhkostním součinitelem $Z_w$   | $z_3$ |
|---|---|-------|
| 1   | 2   | 3     |
| <b>vnitřní konstrukce, <math>Z_w &gt; 0</math></b>                          |   |       |
| 1   | v konstrukci dochází ke kondenzaci vodní páry   | 2.20  |
| 2   | v konstrukci nedochází ke kondenzaci vodní páry   | 0.00  |
| <b>vnější konstrukce svislé, <math>Z_w &gt; 0</math></b>                    |   |       |
|   | v konstrukci dochází ke kondenzaci vodní páry při splnění podmínky aktivní celoroční bilance kondenzace a vypařování vodní páry |       |
| 3   | - kde materiál není v přímém styku s povětrnostními vlivy   | 2.20  |
| 4   | - je v přímém styku s povětrnostními vlivy (např. vnější omítka)  | 3.00  |
| 5   | v konstrukci, kde nedochází ke kondenzaci vodní páry, zvláště pak u vnějších konstrukcí s otevřenou větranou vzduchovou dutinou | 0.50  |
| <b>vnější vodorovné a šikmé střešní konstrukce, <math>Z_w &gt; 0</math></b> |   |       |
| 6   | v konstrukci dochází ke kondenzaci vodní páry při splnění podmínky aktivní celoroční bilance kondenzace a vypařování vodní páry | 3.00  |
| 7   | v konstrukci nedochází ke kondenzaci vodní páry, zvláště pak u vnějších konstrukcí s otevřenou větranou vzduchovou dutinou      | 1.00  |
| 8   | bez ohledu na druh konstrukce, pro $Z_w = 0$  | 0.00  |

Tabulka T 1.3: Součinitel způsobu zabudování materiálu  $z_3$

### 1.2.2. Součinitel tepelné vodivosti

V běžných případech se obvykle výpočtová hodnota součinitele tepelné vodivosti jednotlivých stavebních materiálů stanoví z tabulky - viz tab. P 02 sloupec 8.

Pro nehomogenní jednovrstvé stavební konstrukce a výrobky, např. zdivo z cihel či cihelných tvarovek, stropní konstrukce z keramických tvarovek a podobně jsou výpočtové hodnoty součinitele prostupu tepla zpracovány tabelárně - viz např. tab. P 03, sloupec 6.

Chceme-li výpočtovou hodnotu součinitele tepelné vodivosti stanovit přesněji, s ohledem na reálný vlhkostní stav materiálu zabudovaného v konstrukci, nebo přesahuje-li částečný tlak vodní páry vnitřního vzduchu hodnotu 1538 Pa, lze pro určení výpočtové hodnoty součinitele tepelné vodivosti použít vztahu

$$\lambda_v = \lambda_k [1 + z_1 \cdot Z_w (z_2 + z_3)] \quad (1.6)$$

kde je

- $\lambda_k$  charakteristická hodnota součinitele tepelné vodivosti ( $W m^{-1} K^{-1}$ )
- $z_1$  součinitel vnitřního prostředí, stanovený z tab. T 1.4
- $Z_w$  vlhkostní součinitel materiálu, viz tab. P 02, sloupec 6

- $z_2$  součinitel materiálu, viz tab. T 1.2  
 $z_3$  součinitel způsobu zabudování materiálu do stavební konstrukce, tab. T 1.3

| Typ konstrukce   | Částečný tlak vodní páry vnitřního vzduchu $p_v$ |                        |           |
|--|--|------------------------|-----------|
|  | < 1402 Pa  | > 1402 Pa<br>< 1985 Pa | > 1985 Pa |
| Vnitřní konstrukce, kde nedochází ke kondenzaci vodní páry                   | 0  | 1.00                   | 1.20      |
| Vnitřní konstrukce, kde dochází ke kondenzaci vodní páry a konstrukce vnější | 1.00   | 1.50                   | 2.00      |

Tabulka T 1.4 Součinitel vnitřního prostředí  $z_1$

### 1.2.3. Měrná tepelná kapacita

V technické praxi se obvykle výpočtová hodnota měrné tepelné kapacity stavebního materiálu stanoví tak, že se uvažuje rovná hodnotě normové měrné tepelné kapacity materiálu v suchém stavu, tak jak je uvedena např. v tab. P 02, sloupec 3.

Stejně tak pro nehomogenní jednovrstvé stavební konstrukce a výrobky se klade rovnítko mezi výpočtovou ekvivalentní hodnotou měrné tepelné kapacity a normovou ekvivalentní hodnotou měrné tepelné kapacity - viz tab. P 03, sloupec 4.

V případě, že chceme přesněji stanovit výpočtovou hodnotu měrné tepelné kapacity s ohledem na reálný vlhkostní vztah stavebního materiálu, postupujeme podle vztahu

$$c_v = \frac{(2,2 \cdot 10^{-4} \cdot c_n \cdot \rho_n - 1) \cdot (c_n + 35 \cdot u_n)}{2,2 \cdot 10^{-6} \cdot c_n \cdot \rho_n \cdot (100 + u_n)} \quad (1.7)$$

kde je

- $c_n$  normová hodnota měrné tepelné kapacity ( $J \cdot kg^{-1} \cdot K^{-1}$ )  
 $\rho_n$  normová hodnota objemové hmotnosti materiálu v suchém stavu ( $kg \cdot m^{-3}$ ),  
 tab. P 02, sloupec 2  
 $u_n$  normová hmotnostní vlhkost materiálu (%).

### 1.2.5. Výpočtové hodnoty ostatních veličin

Výpočtové hodnoty všech ostatních tepelně technických vlastností stavebních materiálů a konstrukcí lze stanovit pouze z tabulek, způsob jejich přesnějšího stanovení v závislosti na dalších ovlivňujících faktorech norma ČSN 73 0540 neuvádí.

*Poznámka: Očekává se, že revidovaná ČSN 73 0540-2 stanoví parametry vnějšího a vnitřního prostředí poněkud odlišným způsobem, což se promítne i do používaných výpočtových programů.*

## 2. SOUČINITELE PROSTUPU TEPLA (tepelný odpor)

Součinitel prostupu tepla je základní tepelně technickou veličinou, vyjadřující tepelně izolační schopnosti stavebních konstrukcí. Od padesátých let minulého století, kdy byla publikována první československá tepelně technická norma až do roku 2002, kdy byla revidována ČSN 73 0540-2, se na našem území jako základní hodnotící tepelně technická veličina používal tepelný odpor konstrukce. V roce 2002 v rámci zajištění provázanosti českých norem s mezinárodními a evropskými normami přešla česká legislativa na užívání součinitele prostupu tepla. Tato veličina se však u nás používala již dříve, jak pro některé specifické výpočty tak především pro hodnocení průsvitných stavebních konstrukcí.

### 2.1. ZPŮSOBY ŠÍŘENÍ TEPLA

Teplo je druh energie, která se šíří v libovolném prostředí, pokud v tomto prostředí jsou místa s rozdílnými teplotami. Vzhledem ke snaze o vyrovnání teplotního stavu tělesa nebo prostoru dochází k šíření tepla od míst s vyšší teplotou do míst s teplotou nižší.

V závislosti na tom, v jakém prostředí se teplo šíří a podle jakých fyzikálních zákonů se toto šíření tepla uskutečňuje, rozeznáváme tři způsoby šíření tepla, a to:

- vedení (kondukci)
- proudění (konvekci) a
- sálání (radiaci).

#### 2.1.1. Vedení tepla

K šíření tepla vedením dochází především v pevných látkách. Z hlediska stavební tepelné techniky se jedná o nejběžnější způsob šíření tepla, protože se uplatňuje prakticky u všech stavebních konstrukcí.

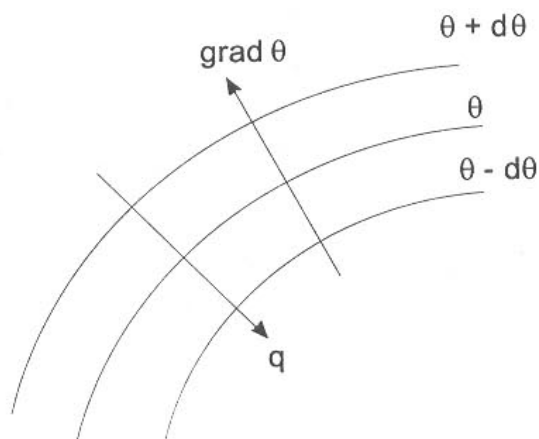
Základními fyzikálními zákony, které popisují vedení tepla jsou první a druhý Fourierův zákon. První Fourierův zákon definuje závislost tepelného toku na gradientu teploty, to znamená na teplotním spádu. Tento zákon vychází z předpokladu ustáleného (stacionárního) teplotního pole, tedy stavu, kdy rozložení teplot v tělese se s časem nemění. Dalším předpokladem je homogenita a izotropnost tělesa. Matematicky lze první Fourierův zákon formulovat jako

$$q = -\text{grad } \theta = -\lambda \frac{d\theta}{dx} \quad (2.1)$$

kde je

- |                       |                                       |
|-----------------------|---------------------------------------|
| $q$                   | hustota tepelného toku ( $W m^{-2}$ ) |
| $\text{grad } \theta$ | teplotní spád ( $K m^{-1}$ )          |

Záporné znaménko na pravé straně vztahu respektuje stav, kdy směr tepelného toku je protichůdný gradientu teploty, neboť teplo se šíří od míst s vyšší teplotou do míst s teplotou nižší - viz obr 2.1.



Obr. 2.1: Vztah gradientu a směru tepelného toku

Zatímco výše uvedená formulace prvního Fourierova zákona platí pro jednorozměrné teplotní pole a ustálený teplotní stav, obecná formulace druhého Fourierova zákona (2.2) popisuje vztah mezi časovou a místní změnou teploty, to znamená že se týká neustáleného (časově proměnného) teplotního pole v trojrozměrném prostoru.

Ve 2. Fourierově zákonu

$$\frac{\partial \theta}{\partial t} = a \cdot \left( \frac{\partial^2 \theta}{\partial x^2} + \frac{\partial^2 \theta}{\partial y^2} + \frac{\partial^2 \theta}{\partial z^2} \right) \quad (2.2)$$

|       |          |   |
|-------|----------|---|
| značí | $\theta$ | teplotu ( $^{\circ}\text{C}$ )  |
|       | t        | čas (s)   |
|       | x,y,z    | souřadné osy trojrozměrného prostoru  |
|       | a        | součinitel teplotní vodivosti ( $\text{m}^2 \text{s}^{-1}$ ), který lze určit ze vztahu |

$$a = \frac{\lambda}{\rho \cdot c} \quad (2.3)$$

|        |           |  |
|--------|-----------|--|
| kde je | $\lambda$ | součinitel tepelné vodivosti ( $\text{W m}^{-1} \text{K}^{-1}$ ) |
|        | $\rho$    | objemová hmotnost materiálu ( $\text{kg m}^{-3}$ ).              |
|        | c         | měrná tepelná kapacita ( $\text{J kg}^{-1} \text{K}^{-1}$ )      |

### 2.1.2. Šíření tepla prouděním

K šíření tepla prouděním dochází v kapalných a plynných látkách. Rozlišujeme jednak přirozené proudění, které vzniká přemísťováním částic různé hmotnosti při zahřátí látky a vynucené proudění, kde je proudění vyvoláno vnějšími vlivy - v technické praxi obvykle čerpadlem nebo ventilátorem.

Jedním ze základních fyzikálních zákonů, užívaných při výpočtu proudění je Newtonův zákon (2.4), který popisuje hustotu tepelného toku při proudění.

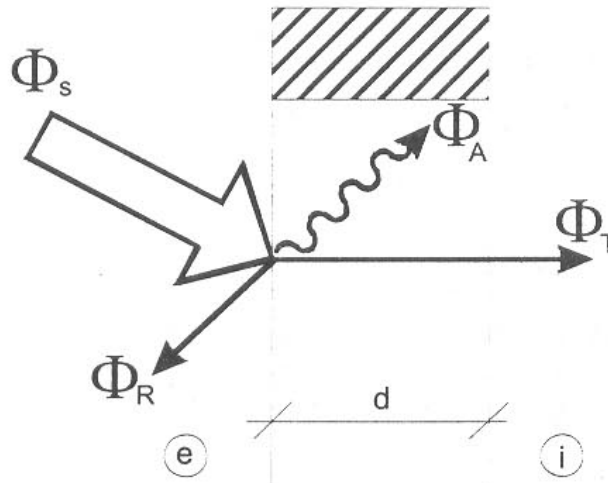
$$q_c = h_c \cdot (\theta_i - \theta_{si}) \quad (2.4)$$

kde je

|               |  |
|---------------|--|
| $q_c$         | hustota tepelného toku při proudění ( $W m^{-2}$ )           |
| $h_c$         | součinitel přestupu tepla při proudění ( $W m^{-2} K^{-1}$ ) |
| $\theta_i$    | teplota vnitřního vzduchu ( $^{\circ}C$ )                    |
| $\theta_{si}$ | teplota vnitřního povrchu konstrukce ( $^{\circ}C$ ).        |

### 2.1.3. Šíření tepla sáláním

Šíření tepla sáláním je v podstatě přenos elektromagnetického záření, především záření infračerveného. Toto záření vydává každé těleso o teplotě vyšší než 0 K; takovéto těleso nejen záření vydává, ale částečně i pohlcuje, odráží a propouští. Rozdělení celkového sálavého toku dopadajícího na stavební konstrukci, na tyto jednotlivé složky, je patrné ze schématu na obr. 2.2.



Obr. 2.2: Schéma rozdělení sálavého tepelného toku

Z uvedeného rozdělení je zřejmé, že lze psát rovnici

$$\Phi_s = \Phi_A + \Phi_R + \Phi_T \quad (W) \quad (2.5)$$

kde je

|          |   |
|----------|---|
| $\Phi_s$ | celkový sálavý tepelný tok , dopadající na konstrukci |
| $\Phi_A$ | část energie konstrukcí pohlcená                      |
| $\Phi_R$ | část energie konstrukcí odražená                      |
| $\Phi_T$ | část energie konstrukcí procházející.                 |

Po jednoduché matematické úpravě

$$\frac{\Phi_A}{\Phi_s} + \frac{\Phi_R}{\Phi_s} + \frac{\Phi_T}{\Phi_s} = 1 \quad (2.6)$$

můžeme psát

$$A + R + T = 1 \quad (2.7)$$

kde je

|   |                     |
|---|---------------------|
| A | pohltivost záření   |
| R | odrazivost záření   |
| T | propustnost záření. |

Ze vztahu 2.6 je zřejmé, že se ve všech případech jedná o bezrozměrné relativní veličiny, které nabývají teoreticky hodnoty mezi 0 a 1.

V případě, že  $A = 1,0$  a  $R = T = 0$  je všechna dopadající sálavá energie pohlcena a jedná se o dokonale černé těleso. Dokonale černé těleso je pojem z teoretické fyziky, v technické praxi se vždy jedná o tělesa "šedá", jejichž pohltivost je nižší než  $A = 1,0$ .

Je-li  $R = 1,0$  a  $A = T = 0$ , jedná se o dokonale odrazivé těleso, neboli dokonale zrcadlo.

Při  $T = 1,0$  a  $A = R = 0$  se jedná o dokonale propustné těleso.

Mezi základní zákony v oblasti sálání patří Stefan-Boltzmannův zákon, který popisuje hustotu sálavého tepelného toku, a sice

$$q_{\epsilon} = C_{\epsilon} \cdot \left( \frac{T}{100} \right)^4 \quad (2.8)$$

kde je

|                |  |
|----------------|--|
| $q_{\epsilon}$ | hustota sálavého tepelného toku ( $W m^{-2}$ )                   |
| $C_{\epsilon}$ | součinitel sálání absolutně černého tělesa ( $W m^{-2} K^{-4}$ ) |
| T              | absolutní teplota tělesa ( K ).                                  |

V praxi se pro ostatní tělesa, z hlediska sálání takzvaná šedá tělesa používá součinitele sálání "šedého" tělesa, který je roven

$$C = A \cdot C_{\epsilon} \quad (2.9)$$

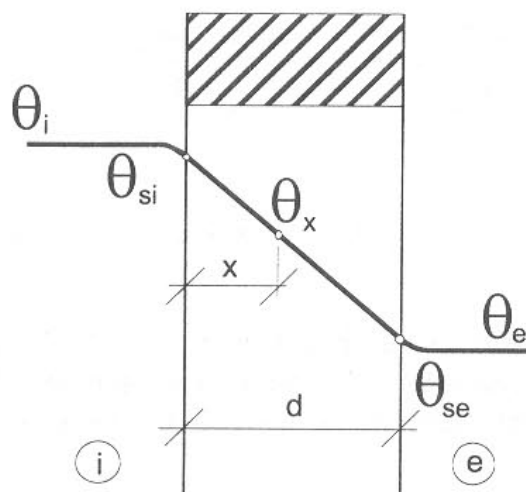
kde je

|                                       |   |
|---------------------------------------|---|
| A                                     | pohltivost sálání " šedého" tělesa ( - )      |
| $C_{\epsilon} = 5,67 W m^{-2} K^{-4}$ | - součinitel sálání absolutně černého tělesa. |

## 2.2. TEPELNÝ ODPOR, SOUČINITELE PROSTUPU TEPLA

### 2.2.1. Tepelný odpor

Pojem tepelného odporu stavební konstrukce je odvozen pro jednorozměrné teplotní pole za předpokladu ustáleného teplotního stavu. Předpokládejme tedy, že jednovrstvá stavební konstrukce rozděluje dvě prostředí s různými, ale konstantními teplotami. Rozdělení teplot v konstrukci musí být též konstantní a libovolný bod v konstrukci lze jednoznačně popsat pomocí jedné jeho souřadnice, to je souřadnice x. Schéma konstrukce včetně vyznačení okrajových podmínek ( předpokládáme zimní období ) je na obr. 2.3.



Obr. 2.3: Schéma konstrukce pro odvození tepelného odporu

Vzhledem k tomu, že předpokládáme šíření tepla vedením, použijeme k odvození pojmu tepelného odporu první a druhý Fourierův zákon.

$$q = -\lambda \frac{d\theta}{dx} \quad (2.10)$$

$$\frac{\partial \theta}{\partial t} = a \cdot \frac{\partial^2 \theta}{\partial x^2} \quad (2.11)$$

Úpravou druhého Fourierova zákona pro podmínky ustáleného teplotního stavu a jednorozměrného teplotního pole pak získáme vztah

$$\frac{\partial \theta}{\partial t} = 0 \rightarrow \frac{\partial^2 \theta}{\partial x^2} = 0 \quad (2.12)$$

Dosazením okrajových podmínek a řešením diferenciální rovnice (podrobně viz např. [4]) získáme vztah pro určení teploty v libovolném místě konstrukce

$$\theta = \theta_{si} - \frac{\theta_{si} - \theta_{se}}{d} x \quad (2.13)$$

z něhož je zřejmé, že teplota v konstrukci je lineárně závislá na souřadnici  $x$ , že se tedy jedná o rovnici přímky, jejíž směrnice je

$$\operatorname{tg} \alpha = \frac{\theta_{si} - \theta_{se}}{d} \quad (2.14)$$

## Součinitel prostupu tepla

Lze tedy psát

$$q = \lambda \frac{\theta_{si} - \theta_{se}}{d} = \frac{\theta_{si} - \theta_{se}}{\frac{d}{\lambda}} = \frac{\theta_{si} - \theta_{se}}{R} \quad (2.15)$$

kde je  $R = \frac{d}{\lambda}$  tepelný odpor konstrukce ( $\text{m}^2 \text{K W}^{-1}$ ). (2.16)

Vztah 2.16 platí pro jednovrstvou konstrukci za předpokladu homogenity této vrstvy a její kolmosti ke směru tepelného toku. Za stejného předpokladu lze vyčíslit i tepelný odpor vícevrstvé konstrukce, kdy vzhledem k tomu, že tepelný odpor je aditivní veličina, lze napsat

$$R = \sum_{j=1}^{j=n} R_j = R_1 + R_2 + \dots + R_n = \sum_{j=1}^{j=n} \frac{d_j}{\lambda_j} \quad (2.17)$$

### Tepelný odpor uzavřené vzduchové vrstvy

Z výše uvedeného textu je zřejmé, že pojem tepelného odporu je odvozen pro případ, kdy dochází k šíření tepla vedením. Tento předpoklad je splněn prakticky u všech stavebních materiálů a konstrukcí, výjimku však tvoří konstrukce, jejíž součástí je uzavřená vzduchová vrstva. V tomto případě totiž dochází i k šíření tepla prouděním a sáláním, takže klasické vztahy pro výpočet tepelného odporu nelze v této situaci použít.

I když je možné přesně vyčíslit tepelný odpor konstrukce s uzavřenou vzduchovou vrstvou především v závislosti na pohltivosti vnitřních povrchů konstrukcí, obklopujících vzduchovou mezeru a na tloušťce této mezery, v technické praxi se běžně používá tabelárních hodnot tepelných odporů uzavřených vzduchových vrstev (viz tab.T 2.1), stanovených za předpokladu užití běžných materiálů a standardních okrajových podmínek.

| tloušťka vzduchové vrstvy [mm] | $R_{\text{uzav}} [\text{m}^2 \text{K W}^{-1}]$ |           |      |
|--------------------------------|--|-----------|------|
|                                | směr tepelného toku                            |           |      |
|                                | nahoru   | vodorovně | dolů |
| 0                              | 0,00   | 0,00      | 0,00 |
| 5                              | 0,11   | 0,11      | 0,11 |
| 7                              | 0,13   | 0,13      | 0,13 |
| 10                             | 0,16   | 0,15      | 0,15 |
| 15                             | 0,16   | 0,17      | 0,17 |
| 25                             | 0,16   | 0,18      | 0,19 |
| 50                             | 0,16   | 0,18      | 0,21 |
| 100                            | 0,16   | 0,18      | 0,22 |
| 300                            | 0,16   | 0,18      | 0,23 |

Tab. 2.1: Tepelný odpor uzavřených vzduchových vrstev dle ČSN EN ISO 6946 [12]

*Tepelný odpor nehomogenních vrstev*

Jestliže konstrukce obsahuje nehomogenní vrstvu, určí se pro tuto vrstvu náhradní hodnota součinitele tepelné vodivosti jako vážený průměr součinitelů vodivosti jednotlivých materiálů, obvykle podle poměru jejich plošného zastoupení ve vrstvě. S takto získanou hodnotou součinitele tepelné vodivosti nehomogenní vrstvy  $\lambda_{NV}$  se pracuje standardním způsobem.

$$\lambda_{NV} = \frac{\lambda_1 A_1 + \lambda_2 A_2 + \dots + \lambda_n A_n}{A_1 + A_2 + \dots + A_n} \quad (\text{Wm}^{-1}\text{K}^{-1}) \quad (2.18)$$

kde  $\lambda_1 \dots \lambda_n$  jsou součinitele tepelné vodivosti jednotlivých materiálů vrstvy ( $\text{Wm}^{-1}\text{K}^{-1}$ )

$A_1 \dots A_n$  je plocha těchto materiálů v charakteristickém výseku nehomogenní vrstvy ( $\text{m}^2$ )

V případě, že se jedná o nehomogenity prostorového charakteru, určuje se náhradní hodnota součinitele tepelné vodivosti na základě poměru objemového zastoupení jednotlivých materiálů ve vrstvě.

Popsaný způsob výpočtu je pouze orientační, přesné výsledky lze získat pouze výpočtem dvoj nebo trojrozměrného teplotního pole.

### 2.2.2. Součinitel prostupu tepla

Na povrchu stavební konstrukce, v mezní vrstvě, dochází k výměně tepla mezi konstrukcí a okolním prostředím. Tuto výměnu tepla nazýváme přestupem tepla a dochází k ní jak na vnitřním tak i na vnějším povrchu konstrukce, takže rozlišujeme součinitel přestupu tepla na vnitřním, eventuálně na vnějším povrchu. K přestupovým jevům dochází na základě proudění vzduchu na povrchu konstrukce a sálání mezi povrchem konstrukce a okolními tělesy (stěnami, budovami apod.).

Součinitel přestupu tepla stavební konstrukce, který zahrnuje dvě složky, a sice součinitel přestupu tepla při proudění a součinitel přestupu tepla při sálání udává hustotu tepelného toku, přestupujícího ze vzduchu do konstrukce (nebo i v opačném směru) při jednotkovém rozdílu teplot.

V tepelně technických výpočtech se používá převrácená hodnota součinitele přestupu tepla, nazývaná odpor při přestupu tepla. takže

$$R_{si} = \frac{1}{h_{si}} \quad R_{se} = \frac{1}{h_{se}} \quad (2.19)$$

kde je

|          |  |
|----------|--|
| $R_{si}$ | odpor při přestupu tepla na vnitřní straně konstrukce ( $\text{m}^2 \text{K W}^{-1}$ )     |
| $R_{se}$ | odpor při přestupu tepla na vnější straně konstrukce ( $\text{m}^2 \text{K W}^{-1}$ )      |
| $h_{si}$ | součinitel přestupu tepla na vnitřní straně konstrukce ( $\text{W m}^{-2} \text{K}^{-1}$ ) |
| $h_{se}$ | součinitel přestupu tepla na vnější straně konstrukce ( $\text{W m}^{-2} \text{K}^{-1}$ )  |

Pro použití v technické praxi jsou hodnoty součinitelů přestupu tepla i odporů při přestupu tepla pro standardní okrajové podmínky tabelovány, viz např. tab. T 2.2 a T 2.3.

Další veličinou, která souvisí s prostupem tepla konstrukcí je odpor při prostupu tepla  $R_T$ , který se pro jednovrstvou konstrukci určí ze vztahu

$$R_T = R_{si} + R + R_{se} \quad (2.20)$$

případně pro vícevrstvou konstrukci ze vztahu

$$R_T = R_{si} + \sum_{j=1}^{j=n} R_j + R_{se} \quad (2.21)$$

Reciprokou hodnotou odporu při prostupu tepla je součinitel prostupu tepla, pro který platí vztah

$$U = \frac{1}{R_T} \quad (2.22)$$

| Povrch, poloha a druh stavební konstrukce   |  | Součinitel přestupu tepla<br>$h_{si}, h_{se}$<br>[Wm <sup>-2</sup> K <sup>-1</sup> ] | Odpor při přestupu tepla<br>$R_{si}, R_{se}$<br>[m <sup>2</sup> KW <sup>-1</sup> ] |       |
|---|--|--|--|-------|
| 1   | objekty pozemních staveb kromě ad 2  |  |  |       |
| vnější                                      | zimní období   | 23   | 0,043  |       |
|   | zimní období, při nadmořské výšce > 1000 m.n.m   | 30   | 0,033  |       |
|   | letní období   | 15   | 0,067  |       |
| vnitřní,<br>zimní i letní<br>období         | svislá konstrukce  | 8  | 0,125  |       |
|   | vodorovná<br>konstrukce při<br>tepelném toku   | zdola nahoru   | 8  | 0,125 |
|   |  | shora dolů   | 6  | 0,167 |
| vnitřní kouty<br>místnosti,<br>zimní období | svislé   | 5,2  | 0,192  |       |
|   | vodorovné  | 4,7  | 0,123  |       |
| kontakt se zemí                             | svislé, vodorovné  | → ∞ *  | 0  |       |
| 2   | produkční stáje zemědělských objektů, průmyslové haly teplovzdušně vytápěné a s výraznými zdroji tepla |  |  |       |
| vnitřní<br>zimní období                     | svislé konstrukce  | 14   | 0,071  |       |
|   | vodorovné konstrukce   | 14   | 0,071  |       |

\* Pro běžné výpočty dostačuje  $h_{si} = 100$

**Poznámka 1:** Uvedené hodnoty platí za předpokladu, že nedochází k povrchové kondenzaci vodní páry

**Poznámka 2:** V otevřené vzduchové dutině se započítává součinitel přestupu tepla rovný polovině hodnoty součinitele přestupu tepla na vnější straně konstrukce  $h_{se}$

**Poznámka 3:** „Letní období“ v tomto smyslu platí pro teploty vnějšího vzduchu  $t_a > 15$  °C.

Tab. 2.2: Součinitele přestupu tepla a odpory při přestupu tepla dle ČSN 73 0540

| expozice povrchu  |   | Odpor při přestupu tepla<br>$R_{si}, R_{se}$<br>[m <sup>2</sup> K.W <sup>-1</sup> ] | součinitel přestupu tepla<br>$h_{si}, h_{se}$<br>[W.m <sup>-2</sup> K <sup>-1</sup> ] |
|---|---|---|---|
| vnější povrch*  | zimní období  | 0,04  | 23  |
|   | zimní období, nadm.výška > 1000 m                     | 0,03  | 30  |
|   | letní období (při $t_e > 15$ °C)                      | 0,07  | 15  |
| vnitřní povrch**<br>výpočet tepelného odporu a tepelných toků   | směr tepelného toku nahoru                            | 0,10  | 10  |
|   | směr tepelného toku dolů                              | 0,17  | 6   |
|   | směr tepelného toku vodorovně                         | 0,13  | 8   |
| vnitřní povrch**<br>výpočet povrchových teplot, tepelných mostů | zasklení  | 0,13  | 8   |
|   | horní polovina místnosti                              | 0,25  | 4   |
|   | dolní polovina místnosti                              | 0,35  | 3   |
|   | místa významného plošného stínění (za nábytkem apod.) | 0,50  | 2   |
| kontakt se zemínou***   | svislé, vodorovné                                     | 0   | -> ∞  |

\* Na povrchu dvouplášťové konstrukce směrem do vzduchové vrstvy se uvažuje odpor při přestupu tepla jako na vnitřním povrchu.

\*\* Podrobněji v ČSN EN ISO 6946 (lokální nerovnoměrnosti sdílení tepla na vnitřních površích místnosti).

\*\*\* Konstrukce v kontaktu se zemínou také podle ČSN EN ISO 13370. [5]

Tab. 2.3: Součinitele přestupu tepla a odporu při přestupu tepla dle ČSN EN ISO 6946 [12]

### 2.3. NORMOVÉ POŽADAVKY

Hlavním kritériem pro stanovení současných normových hodnot součinitelů prostupu tepla je jednoznačně kritérium energetické, to znamená že se projevuje snaha o omezení potřeby tepla na vytápění objektů. Souběžně s tímto požadavkem se uplatňuje i požadavek na vyloučení stavebně fyzikálních poruch, především zamezení vzniku a následnému nepříznivému vlivu kondenzace vodní páry na vnitřních površích stavebních konstrukcí. Je však třeba konstatovat, že při návrhu konstrukcí v souladu s normativními hodnotami součinitelů prostupu tepla vykazují vnitřní povrchové teploty konstrukcí takovou rezervu, že vzniku povrchové kondenzace je naprosto spolehlivě zabráněno a jako zcela jasně prioritní se jeví hledisko energetické.

Podle ČSN 73 0540 [1] musí stavební konstrukce ve vytápěných nebo klimatizovaných budovách s relativní vlhkostí vnitřního vzduchu  $\phi_i \leq 60\%$  vykazovat takovou hodnotu součinitele prostupu tepla, aby platilo

$$U < U_N \quad (2.23)$$

## Součinitel prostupu tepla

Pro budovy s převažující návrhovou vnitřní teplotou  $\theta_{im} = 20 \text{ °C}$  lze hodnoty součinitele prostupu tepla stanovit přímo z tab. T 2.4.

| Popis konstrukce  | Součinitel prostupu tepla<br>$U_N$ [W/(m <sup>2</sup> ·K)] |  |                       |
|---|--|--|-----------------------|
|   | Požadované hodnoty   | Doporučené hodnoty                             |                       |
| Střecha plochá a šikmá se sklonem do 45° včetně<br>Podlaha nad venkovním prostorem  | 0,24   | 0,16   |                       |
| Strop pod nevytápěnou půdou se střechou bez tepelné izolace<br>Podlaha a stěna s vytápěním (vnější vrstvy od vytápění)  | 0,30   | 0,20   |                       |
| Stěna vnější  | lehká  | 0,30   | 0,20                  |
| Střecha strmá se sklonem nad 45°  | těžká  | 0,38   | 0,25                  |
| Podlaha a stěna přilehlá k zemině (s výjimkou případů podle poznámky 2)<br>Strop a stěna vnitřní z vytápěného k nevytápěnému prostoru   | 0,60   | 0,40   |                       |
| Strop a stěna vnitřní z vytápěného k částečně vytápěnému prostoru<br>Strop a stěna vnější z částečně vytápěného prostoru k venkovnímu prostředí   | 0,75   | 0,50   |                       |
| Stěna mezi sousedními budovami<br>Strop mezi prostory s rozdílem teplot do 10 °C včetně   | 1,05   | 0,70   |                       |
| Stěna mezi prostory s rozdílem teplot do 10 °C včetně   | 1,30   | 0,90   |                       |
| Strop vnitřní mezi prostory s rozdílem teplot do 5 °C včetně  | 2,2  | 1,45   |                       |
| Stěna vnitřní mezi prostory s rozdílem teplot do 5 °C včetně  | 2,7  | 1,80   |                       |
| Okno, dveře a jiná výplň otvoru ve vnější stěně a strmé střeše,<br>z vytápěného prostoru do venkovního prostředí<br>Pro rámy nových výplň otvorů přitom platí $U_f \leq 2,0 \text{ W/(m}^2\cdot\text{K)}$   | nová<br>upravená   | 1,7<br>2,0                                     | 1,2                   |
| Okno, dveře a jiná výplň otvoru ve stěně a strmé střeše,<br>z vytápěného do částečně vytápěného prostoru nebo<br>z částečně vytápěného prostoru do venkovního prostředí   |  | 3,5  | 2,3                   |
| Šikmé střešní okno, světlík a jiná šikmá výplň otvoru se sklonem do 45°,<br>z vytápěného prostoru do venkovního prostředí<br>Pro jejich rámy včetně tepelně izolačního obkladu přitom platí $U_f \leq 2,0 \text{ W/(m}^2\cdot\text{K)}$   |  | 1,5  | 1,1                   |
| Šikmé střešní okno, světlík a jiná šikmá výplň otvoru se sklonem do 45°,<br>z vytápěného do částečně vytápěného prostoru nebo<br>z částečně vytápěného prostoru do venkovního prostředí   |  | 2,6  | 1,7                   |
| Lehký obvodový plášť, hodnocený jako smontovaná sestava včetně<br>nosných prvků, s průsvitnou výplň otvoru o poměrné ploše<br>$f_w = A_w / A$ , v m <sup>2</sup> /m <sup>2</sup> ,<br>kde $A$ je celková plocha lehkého obvodového pláště (LOP);<br>$A_w$ plocha průsvitné výplně otvoru v LOP<br>Pro rámy lehkých obvodových plášťů přitom platí $U_f \leq 2,0 \text{ W/(m}^2\cdot\text{K)}$ | $f_w \leq 0,50$<br>$f_w > 0,50$                            | $0,3 + 1,4 \cdot f_w$<br>$0,7 + 0,6 \cdot f_w$ | $0,2 + 1,0 \cdot f_w$ |

Tab. T 2.4: Požadované a doporučené hodnoty součinitele prostupu tepla pro budovy s převažující návrhovou vnitřní teplotou  $\theta_{im} = 20 \text{ °C}$ .

Pro ostatní budovy se stanoví ze vztahu

$$U_N = U_{N,20} \cdot e \cdot \frac{35}{\Delta\theta_{ie}} \quad (2.24)$$

kde  $e$  je součinitel, vyčíslený ze vztahu

$$e = \frac{20}{\theta_{im}} \quad (2.25)$$

kde  $\Delta\theta_{ie}$  je základní rozdíl teplot vnitřního a vnějšího prostředí ve  $^{\circ}\text{C}$ , stanovený ze vztahu

$$\Delta\theta_{ie} = \theta_{im} - \theta_e \quad (2.26)$$

$U_{N,20}$  je součinitel prostupu tepla z tabulky T 2.4.

Hodnoty základního tepelného odporu  $U_N$  jsou v citované normě stanoveny ve dvou úrovních, a sice

- požadovaná hodnota  $U_{rq}$
- doporučená hodnota  $U_{rc}$

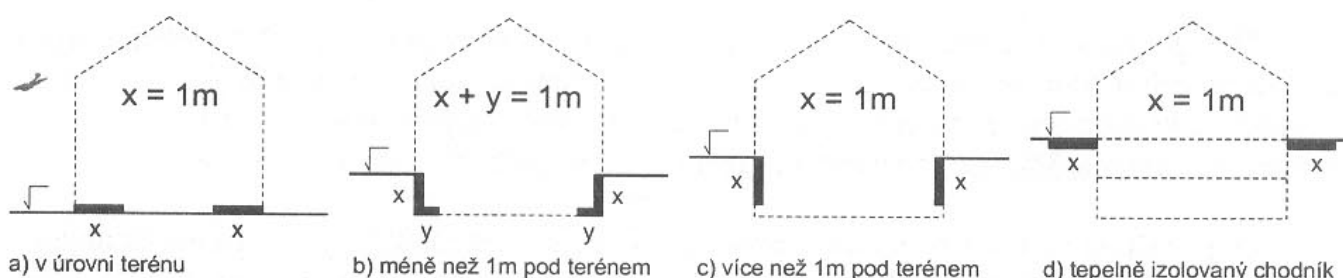
Požadovanou hodnotu součinitele prostupu tepla konstrukce je třeba chápat jako maximálně přípustnou hodnotu, která zabezpečuje všechny základní požadavky na kvalitu vnitřního mikroklimatu, s ohledem na potřebu tepla na vytápění objektu se však jedná o hodnotu ryze standardní, bez možnosti dosažení výraznějších energetických úspor.

Doporučená hodnota součinitele prostupu tepla dává předpoklady pro velmi racionální využití tepelné energie a užitím této hodnoty můžeme bezprostředně ovlivnit kvalitu vnějšího prostředí formou snížení požadavků na energetické zdroje. Především z tohoto pohledu se návrh stavební konstrukce v oblasti doporučených hodnot součinitele prostupu tepla jeví jako optimální.

Pro použití hodnot z tabulky T 2.4 platí:

- Je-li plošná hmotnost vnitřních vrstev - tedy vrstev od vnitřního povrchu až po tepelně izolační vrstvu s rozhodujícím účinkem na tepelnou ochranu včetně - vnější konstrukce menší než  $100 \text{ kg m}^{-2}$ , jedná se o konstrukci s nízkou tepelnou setrvačností, to znamená konstrukci „lehkou“. Ostatní konstrukce jsou považovány za konstrukce „těžké“, to znamená za konstrukce s vysokou tepelnou setrvačností.
- Pro konstrukce přilehlé k zemině do vzdálenosti 1,0 metru od rozhraní zeminy a vnějšího vzduchu na vnějším povrchu konstrukce (viz obr. 2.4) se uplatňují hodnoty součinitele prostupu tepla, platné pro vnější stěny. Ve větší vzdálenosti platí hodnoty pro podlahy, případně stěny přilehlé k zemině. Do výpočtu lze v tomto případě zahrnout i tepelnou izolaci podél základů, pokud navazuje na tepelnou izolaci stěny.

- Při návrhu nízkoenergetických domů se doporučuje dosahovat hodnot součinitelů prostupu tepla okolo 2/3 hodnot doporučených.
- Sousední vytápěné byty se považují za prostory s rozdílem teplot do 10 °C včetně. Částečně vytápěný prostor má teplotu mezi teplotou vytápěného a nevytápěného prostoru v rozmezí 20% od jejich průměru.
- Není-li pod výplní otvoru otopné těleso, doporučuje se pro výplň otvoru snížit požadovanou hodnotu  $U_N$ .
- Změna Z1 ČSN 73 0540 podrobně řeší i problematiku tepelných vazeb mezi konstrukcemi, vyjádřenou prostřednictvím lineárního a bodového součinitele prostupu tepla. Ve stadiu architektonického návrhu budovy však obvykle není ještě dostatek technických informací, nezbytných pro stanovení těchto součinitelů. U kvalitně navržených staveb lze očekávat, že působení tepelných vazeb mezi konstrukcemi je menší než 5% hodnoty nejnižšího součinitele prostupu tepla navazujících konstrukcí - tato situace nastává, navazuje-li mezi jednotlivými konstrukcemi hlavní tepelná izolace bez výrazných zeslabení a neprocházejí-li jí výrazně vodivé prvky. V souladu s normovým ustanovením pak není třeba tepelné vazby mezi konstrukcemi hodnotit. Přesnější vyčíslení součinitele prostupu tepla se provádí buď metodou charakteristického výseku nebo metodou charakteristických tepelných mostů – viz ČSN 73 0540-4. Z uvedených důvodů nebude v tomto textu problematika činitelů prostupu tepla podrobněji probírána.



Obr. 2.4: Stanovení vzdálenosti 1,0 metru od rozhraní zeminy a vnějšího vzduchu

Pro konstrukce budov s relativní vlhkostí vnitřního vzduchu  $\phi_i > 60\%$  se požadovaná hodnota součinitele prostupu tepla  $U_N$  stanoví jako nižší z hodnot určených ze vztahu 2.24, případně z tab. T 2.4 a z podmínky 2.27 pro zvýšenou vlhkost prostředí

$$U_{\omega,N} = \frac{0,6 \cdot (\theta_{ai} - \theta_w)}{R_{si} \cdot (\theta_{ai} - \theta_e)} \quad (2.27)$$

kde  $\theta_{ai}$  je návrhová teplota vnitřního vzduchu (°C)  
 $\theta_w$  je teplota rosného bodu vnitřního vzduchu (°C)

## 2.4. PŘÍKLADY VÝPOČTU

Určete hodnotu součinitele prostupu tepla dále uvedených konstrukcí. Vypočtené hodnoty porovnejte s normovými požadavky.

**Příklad 2.1: Obvodová stěnová konstrukce**

|  | d (m) | $\lambda$ ( $\text{W m}^{-1} \text{K}^{-1}$ ) |
|--|-------|---|
| <input type="checkbox"/> omítka YTONG vnitřní  | 0,003 | 0,350   |
| <input type="checkbox"/> zdivo z tvárnic YTONG | 0,300 | 0,120   |
| <input type="checkbox"/> omítka YTONG vnější   | 0,004 | 0,190   |

Poznámka: Hodnoty součinitele tepelné vodivosti  $\lambda$  jsou převzaty z tabulek P 02, P 03 a P 04 v příloze, hodnoty součinitelů přestupu tepla jsou stanoveny z tabulky T 2.3.

$$R = \sum_{j=1}^3 \frac{d_j}{\lambda_j} = \frac{0,003}{0,35} + \frac{0,3}{0,12} + \frac{0,004}{0,19} = 2,53 \text{ m}^2 \text{ K W}^{-1}$$

$$U = \frac{1}{\frac{1}{8} + 2,53 + \frac{1}{23}} = 0,37 \text{ W m}^{-2} \text{ K}^{-1}$$

Použito je zdivo YTONG s objemovou hmotností  $400 \text{ kg m}^{-3}$ , plošná hmotnost zdiva je  $120 \text{ kg m}^{-2}$ . Jedná se tedy o konstrukci těžkou, pro kterou platí požadovaná hodnota  $U_N = 0,38 \text{ W m}^{-2} \text{ K}^{-1}$  a doporučená hodnota  $U_N = 0,25 \text{ W m}^{-2} \text{ K}^{-1}$ .

- Navržená konstrukce odpovídá normou požadované hodnotě součinitele prostupu tepla, normou doporučenou hodnotu však nesplňuje.

**Příklad 2.2: Dvouplášťová střecha šikmá (sklon do 45°)**

|  | d (m) | $\lambda$ ( $\text{W m}^{-1} \text{K}^{-1}$ ) |
|--|-------|---|
| <input type="checkbox"/> sádrokarton               | 0,012 | 0,220   |
| <input type="checkbox"/> parozábrana Sarvanap 1000 | 0,001 | -   |
| <input type="checkbox"/> izolační deska ORSIL S    | 0,240 | 0,040   |
| <input type="checkbox"/> difúzní folie             | 0,001 | -   |
| <input type="checkbox"/> otevřená vzduchová vrstva | -     | -   |
| <input type="checkbox"/> tašková krytina           | -     | -   |

Poznámka: U dvouplášťových konstrukcí se silně větranou vzduchovou vrstvou se do výpočtu tepelného odporu zahrnují pouze vrstvy od vnitřního lince konstrukce až ke vzduchové vrstvě. Součinitel přestupu tepla na vnější straně, to znamená uvnitř vzduchové vrstvy je v tomto případě dle ČSN EN ISO 6946 [12] shodný se součinitelem přestupu tepla na vnitřní straně téže konstrukce. Klasifikace vzduchových vrstev dle ČSN EN ISO 6946 - viz tabulka P 05. Velmi tenké vrstvy lze ve výpočtu tepelného odporu zanedbat.

$$R = \frac{0,012}{0,22} + \frac{0,24}{0,04} = 6,05 \text{ m}^2 \text{ K W}^{-1}$$

$$U = \frac{1}{\frac{1}{10} + 6,05 + \frac{1}{10}} = 0,16 \text{ Wm}^{-2}\text{K}^{-1} < 0,24 \text{ Wm}^{-2}\text{K}^{-1}$$

$$= 0,16 \text{ Wm}^{-2}\text{K}^{-1}$$

Konstrukce odpovídá normou požadované i doporučené hodnotě součinitele prostupu tepla.

**Příklad 2.3: Podlahová konstrukce na terénu**

|   | d (m)  | $\lambda$ ( W m <sup>-2</sup> K <sup>-1</sup> ) |
|---|--------|---|
| <input type="checkbox"/> betonová mazanina    | 0,04   | 1,23  |
| <input type="checkbox"/> lepenka A 400 H      | 0,0007 | -   |
| <input type="checkbox"/> pěnový polystyrén    | 0,08   | 0,044   |
| <input type="checkbox"/> živičná hydroizolace | 0,0044 | -   |
| <input type="checkbox"/> podkladní beton      | 0,08   | -   |
| <input type="checkbox"/> zemina               | -      | -   |

*Poznámka: U konstrukcí , které jsou v kontaktu se zeminou ( podlaha na terénu, suterénní stěna a pod.) se obvykle do výpočtu zahrnují pouze vrstvy konstrukce, situované od hydroizolace směrem k vnitřnímu povrchu konstrukce. Vrstvy umístěné vně hydroizolační vrstvy lze započítat jen zcela výjimečně, pokud jsou schopny trvale odolávat nepříznivým účinkům vlhkosti a pokud je možno přesně definovat jejich dlouhodobé tepelně izolační parametry.*

*Norma ČSN EN ISO 13 370 ( 5 ) popisuje podrobný způsob výpočtu součinitele prostupu tepla podlahové konstrukce na terénu. Pro účely architektonické praxe se obvykle používá jednoduchý postup výpočtu, který je uveden v následujícím textu.*

*Pro výpočet této vnitřní konstrukce se uvažuje s následujícími vstupními hodnotami*

- $\theta_i = +15^\circ\text{C}$  (vedlejší vytápěná místnost - viz tabulka P 01 v příloze)
- $\theta_{az} = +5^\circ\text{C}$  (teplota zeminy pod podlahou)

*V místě kontaktu podlahové konstrukce se zeminou nedochází k přestupu tepla, takže*

$$R = \frac{0,04}{1,23} + \frac{0,08}{0,044} = 1,85 \text{ m}^2 \text{ K W}^{-1}$$

$$U = \frac{1}{\frac{1}{6} + 1,85} = 0,50 \text{ Wm}^{-2}\text{K}^{-1} < 0,60 \text{ Wm}^{-2}\text{K}^{-1}$$

$$> 0,40 \text{ Wm}^{-2}\text{K}^{-1}$$

*Jedná se o podlahovou konstrukci ve vzdálenosti větší než 1,0 metru od rozhraní zeminy a vnějšího vzduchu na vnějším povrchu konstrukce, proto jsou užity hodnoty  $U_N = 0,60$  respektive  $0,40 \text{ Wm}^{-2}\text{K}^{-1}$ . V případě, že by šlo o podlahu v oblasti blíže než 1,0 metru od rozhraní zeminy a vnějšího vzduchu, bylo by nutné použít hodnotu pro vnější stěnu.*

Podlaha odpovídá normou požadované hodnotě součinitele prostupu tepla, normou doporučenou hodnotu však nespĺňuje.

### 3. DIFÚZE A KONDENZACE VODNÍ PÁRY

K difúzi vodní páry ve stavebních konstrukcích dochází za předpokladu, že konstrukce odděluje dvě prostředí s rozdílnými částečnými tlaky vodní páry. V důsledku takto vzniklého gradientu částečných tlaků vodních par dochází v makrokapilárách stavebních materiálů, jejichž rozměr je větší než střední volná dráha molekul vody, k pohybu vlhkosti podle zákonů difúze od místa s vyšším parciálním tlakem vodní páry k místu s tlakem nižším.

Mezi vedením tepla a difúzí vodní páry existuje analogie, takže řada vztahů popisujících vedení tepla má v oblasti difúze vodní páry analogické výrazy. Analogické jsou i pojmy ustálený a neustálený stav nebo jedno či vícerozměrné vedení tepla nebo vlhkosti.

Pro ustálený difúzní tok a jednorozměrné difúzní pole lze hustotu difúzního toku vodní páry vyjádřit vztahem

$$g = - \delta_p \text{ grad } p_v \quad (3.1)$$

kde je

|            |   |
|------------|---|
| $g$        | hustota difúzního toku vodní páry ( $\text{kg m}^{-2} \text{ s}^{-1}$ ) |
| $\delta_p$ | součinitel difúze vodní páry (s)  |
| $p_v$      | skutečný částečný tlak vodní páry (Pa)                                  |

#### 3.1. ZÁKLADNÍ VELIČINY

Součinitel difúze vodní páry  $\delta_p$  (někdy též nazývaný součinitel difúzní vodivosti) je jednou ze základních veličin, charakterizujících difúzní schopnost materiálu. Ze vztahu 3.1 plyne, že tento součinitel je konstantou úměrnosti mezi hustotou difúzního toku a gradientem částečného tlaku vodní páry.

Součinitel difúze vodní páry je možno považovat za již tradiční způsob vyjádření difúzních vlastností materiálu, který se v české odborné literatuře užíval po několik desetiletí. V současné době se více využívá faktor difúzního odporu  $\mu$ , což je bezrozměrná veličina udávající, kolikrát je příslušný materiál pro vodní páru méně propustný než vzduch.

Pro vzájemný přepočítání těchto dvou jednotek platí vztah

$$\mu = \frac{\delta_{\text{VZD}}}{\delta_p} = \frac{1}{\delta \cdot N} \quad (3.2)$$

kde je

|                       |  |
|-----------------------|--|
| $\delta_{\text{VZD}}$ | součinitel difúze vodní páry vzduchu (s)   |
| $N$                   | teplotně difúzní funkce. Pro běžné výpočty - viz např. [6] - se užívá konstantní hodnoty $N = 5,312 \cdot 10^9 \text{ s}^{-1}$ . |

Další veličinou, vypovídající o difúzních vlastnostech materiálu je ekvivalentní difúzní tloušťka vrstvy  $s_d$ . Tento parametr udává, jaká by musela být tloušťka vzduchové vrstvy, aby

měla stejný difúzní odpor jako vrstva zkoumaného materiálu. Ekvivalentní difúzní tloušťka se používá především pro rychlé porovnání difúzních kvalit nátěrových a fóliových materiálů.

Ekvivalentní difúzní tloušťku materiálu lze určit ze vztahu

$$s_d = \mu \cdot d \quad (\text{m}) \quad (3.3)$$

Analogicky k tepelnému odporu se užívá i pojem difúzní odpor konstrukce  $Z_p$ . Pro jeho vyčíslení lze užít buď součinitele difúze vodní páry, faktoru difúzního odporu nebo ekvivalentní difúzní tloušťky.

Pro jednovrstvou konstrukci pak platí vztah

$$Z_p = \frac{d}{\delta_p} \quad (\text{m s}^{-1}) \quad (3.4)$$

kde je  $d$  tloušťka konstrukce (m),

nebo

$$Z_p = \mu d N \quad (\text{m s}^{-1}) \quad (3.5)$$

nebo

$$Z_p = s_d N \quad (\text{m s}^{-1})$$

Difúzní odpor vícevrstvé konstrukce ( s homogenními vrstvami kolnými ke směru difúzního toku ) pak platí

$$Z_p = \sum_{j=1}^{j=n} \frac{d_j}{\delta_{pj}} = \sum_{j=1}^{j=n} Z_{pj} \quad (\text{m s}^{-1}) \quad (3.6)$$

kde je  $n$  počet vrstev konstrukce,

případně

$$Z_p = \sum_{j=1}^{j=n} \mu_j \cdot d_j \cdot N \quad (\text{m s}^{-1}) \quad (3.7)$$

Analogicky k veličině "odpor při prostupu tepla  $R_T$ " existuje i odpor při prostupu vodní páry  $Z_{pT}$ , který lze vyčíslet jako

$$Z_{pT} = Z_{pi} + Z_p + Z_{pe} = \frac{1}{h_{pi}} + Z_p + \frac{1}{h_{pe}} \quad (\text{m s}^{-1}) \quad (3.8)$$

kde je

$Z_{pi}$  odpor při přestupu vodní páry na vnitřní straně konstrukce ( $\text{m} \cdot \text{s}^{-1}$ )

$Z_{pe}$  odpor při přestupu vodní páry na vnější straně konstrukce ( $\text{m} \cdot \text{s}^{-1}$ )

|          |  |
|----------|--|
| $h_{pi}$ | součinitel přestupu vodní páry na vnitřní straně konstrukce ( $\text{sm}^{-1}$ ) |
| $h_{pe}$ | součinitel přestupu vodní páry na vnější straně konstrukce ( $\text{sm}^{-1}$ )  |

*Poznámka: Hodnoty odporů při přestupu vodní páry na vnější a vnitřní straně jsou obvykle v porovnání s ostatními difúzními odpory vstupujícími do výpočtu tak malé, že se zanedbávají, což vede k zjednodušení výpočtových postupů.*

### 3.2. ZJIŠTĚNÍ VÝSKYTU KONDENZACE VODNÍ PÁRY UVNITŘ KONSTRUKCE

Metodika zjištění výskytu kondenzace vodní páry uvnitř stavebních konstrukcí vychází z porovnání hodnot částečných (parciálních) tlaků vodní páry - skutečného částečného tlaku vodní páry a částečného tlaku nasycené vodní páry - v konstrukci. Částečný tlak vodní páry ve vzduchu je funkcí teploty a vlhkosti vzduchu, obvykle udávané v procentech ve formě relativní vlhkosti vzduchu.

Skutečný částečný tlak vodní páry  $p_v$  lze vyjádřit vztahem

$$p_v = p_{v,sat} \cdot \frac{\varphi_a}{100} \quad (\text{Pa}) \quad (3.9)$$

|        |             |   |
|--------|-------------|---|
| kde je | $p_{v,sat}$ | částečný tlak nasycené vodní páry ve vzduchu ( Pa ), zjištěný obvykle z tabulek, viz tabulka P 06 v příloze |
|        | $\varphi_a$ | relativní vlhkost vzduchu ( % ).  |

Částečný tlak nasycené vodní páry  $p_{v,sat}$  je tlak, při němž je vzduch ( při dané teplotě ) vodní parou absolutně nasycen, to znamená, že hodnota relativní vlhkosti vzduchu je v daném případě  $\varphi_a = 100\%$ .

Zjištění výskytu kondenzace vodní páry v konstrukci se provádí pro okrajové podmínky, odpovídající největšímu rozdílu parciálních tlaků vodní páry ve vnitřním a vnějším prostředí, což odpovídá současně i největšímu rozdílu teplotnímu; výpočet se tedy vždy provádí pro podmínky zimního období.

Ke kondenzaci vodní páry v konstrukci dochází, dosáhne -li skutečný částečný tlak vodní páry v libovolném průřezu konstrukce alespoň hodnoty tlaku nasyceného, to znamená že

$$p_v \geq p_{v,sat} \quad (\text{Pa}) \quad (3.10)$$

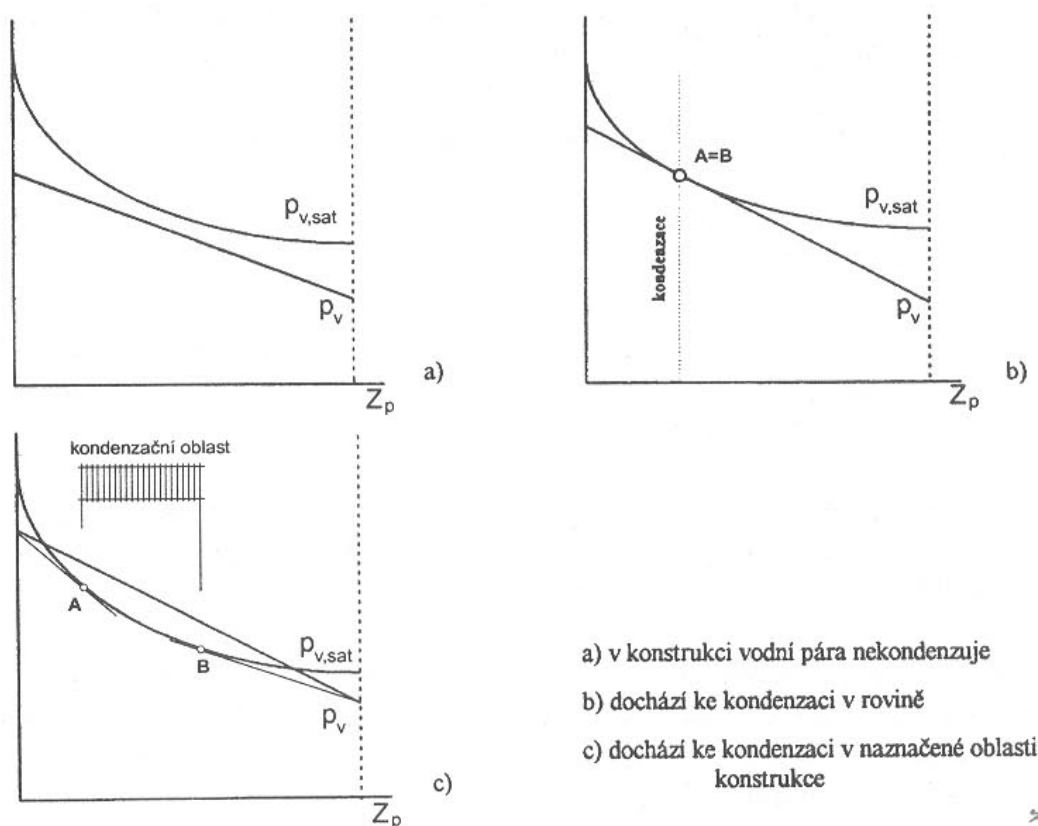
Zjištění výskytu kondenzace lze provádět buď graficko početní metodou nebo pomocí počítače ( v současné době je vzhledem k pracnosti, časové náročnosti a omezené přesnosti graficko početní metody používána pro zjištění výskytu kondenzace pouze výpočetní technika ).

Obě uvedené metody však vycházejí ze stejného výpočetního postupu, který zahrnuje následující postupné kroky:

- určení průběhu teplot v konstrukci
- určení průběhu skutečných částečných tlaků vodní páry v konstrukci
- určení průběhu částečných tlaků nasycené vodní páry v konstrukci
- vymezení kondenzační zóny
- určení zkondenzovaného množství vodní páry.

Poslední dva kroky výpočtu se samozřejmě provádějí pouze v případě, že v konstrukci dochází ke kondenzaci. Není-li tomu tak, výpočet je ukončen po třetím postupném kroku výpočtu konstatováním, že v konstrukci nedochází k výskytu kondenzace vodní páry.

S ohledem na vzájemný vztah mezi čarou skutečných částečných tlaků vodní páry  $p_v$  a křivkou částečných tlaků nasycené vodní páry  $p_{v,sat}$  lze identifikovat tři základní situace - viz obr. 3.1:

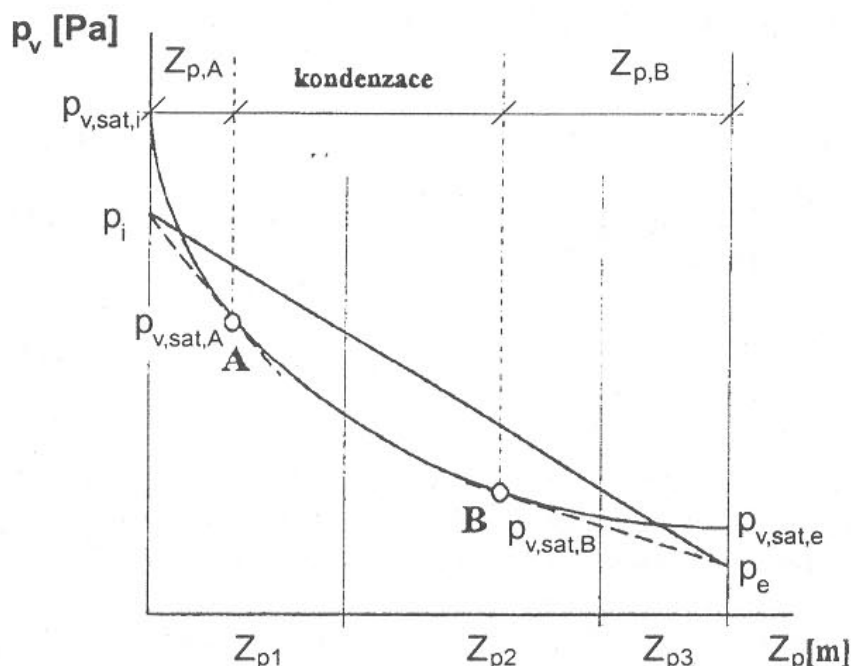


Obr. 3.1: Vyšetření výskytu kondenzace vodní páry v konstrukci

- obr 3.1.a: křivka částečných tlaků nasycené vodní páry a čára skutečných částečných tlaků vodní páry se vzájemně neprotínají, v celém rozsahu konstrukce platí  $p_v < p_{v,sat}$ , což znamená, že v konstrukci nedochází ke kondenzaci vodní páry,
- obr. 3.1.b: přímka, znázorňující průběh skutečných částečných tlaků vodní páry je tečnou křivky částečných tlaků nasycené vodní páry. Dochází k tak zvané plošné či rovinné kondenzaci, která nastává v rovině proložené dotykovým bodem  $A = B$ .  
*Poznámka: K rovinné kondenzaci může dojít i v případě, kdy se čáry obou tlaků vzájemně protínají, dotykové body A a B se však ztotožní.*

- Obr. 3.1.c: čára skutečných částečných tlaků vodní páry protíná křivku částečných tlaků vodní páry - v konstrukci dochází ke kondenzaci.

V případě, že v konstrukci dochází ke kondenzaci vodní páry, provede se určení kondenzační zóny a stanovení zkondenzovaného množství vodní páry následujícím způsobem - viz obr. 3.2:



Obr. 3.2: Stanovení zkondenzovaného množství vodní páry v konstrukci

- z bodů  $p_i$  a  $p_e$  se vedou tečny ke křivce částečných tlaků nasycené vodní páry  $p_{v,sat}$
- dotykové body těchto tečen se označí A ( levý dotykový bod ) a B ( pravý dotykový bod ).
- vodorovná osa grafu, na níž je konstrukce vynesena v měřítku difúzních odporů jednotlivých vrstev je těmito dotykovými body rozdělena na tři části, a to:
  - $Z_{pA}$ , což je difúzní odpor od vnitřního povrchu konstrukce k dotykovému bodu A
  - oblast kondenzace mezi dotykovými body A a B
  - $Z_{pB}$ , což je difúzní odpor od dotykového bodu B k vnějšímu povrchu konstrukce
- vertikální pořadnice dotykových bodů A a B označíme  $p_{v,sat,A}$  a  $p_{v,sat,B}$  - jedná se o hodnoty částečného tlaku nasycené vodní páry v těchto bodech
- označíme-li hustotu toku vodní páry, který vstupuje z interiéru do konstrukce jako

$$g_A = \frac{p_i - p_{v,sat,A}}{Z_{pA}} \quad (3.11)$$

a hustotu toku vodní páry, který prostupuje od bodu B k vnějšímu povrchu konstrukce jako

$$g_B = \frac{p_{v,\text{sat},B} - p_e}{Z_{pB}} \quad (3.12)$$

pak logicky množství vodní páry, které ve formě kondenzátu zůstává v konstrukci je dáno jako

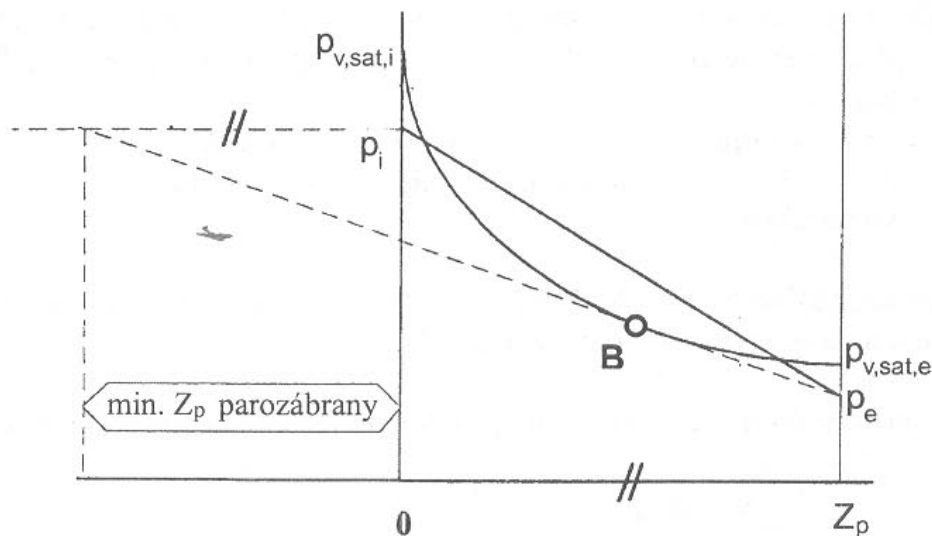
$$\Delta g = g_A - g_B \quad (\text{kg m}^{-2} \text{ s}^{-1}) \quad (3.13)$$

V případě, že v konstrukci nedochází ke kondenzaci vodní páry, lze vyčíslit množství vodní páry, které konstrukcí difunduje, což je

$$g = \frac{p_i - p_e}{Z_p} \quad (\text{kg m}^{-2} \text{ s}^{-1}) \quad (3.14)$$

Ze vztahů 3.11 a 3.14 je zřejmé, že množství vodní páry, které vstupuje do konstrukce nebo jí difunduje, je nepřímo úměrné hodnotě difúzního odporu konstrukce. Konstrukcemi s vysokým difúzním odporem tedy prochází malé množství vodní páry, zatímco u konstrukcí s nízkou hodnotou difúzního odporu je difundující množství vodní páry vysoké (analogicky samozřejmě platí toto tvrzení i pro tepelný odpor konstrukce a pro prostupující množství tepla).

Je-li kondenzace vodní páry v konstrukci principiálně nepřipustná a při výpočtovém ověření se prokázalo, že v konstrukci ke kondenzaci dochází, lze kondenzaci vyloučit návrhem parozábrany, která bude umístěna na vnitřním líci konstrukce. Minimální potřebný difúzní odpor této přídavné parotěsné vrstvy  $\Delta Z_p$  určíme jednoduchým postupem s použitím grafů průběhu skutečných částečných tlaků vodní páry a částečných tlaků nasycené vodní páry - viz obr. 3.3.



Obr. 3.3: Dimenzování dodatečné parozábrany

### 3.3. DIFÚZE VODNÍ PÁRY SPÁRAMI A OTVORY

V praxi se vyskytuje řada konstrukcí, které jsou buď zcela, nebo téměř nepropustné pro difundující vodní páru. Buď se jedná o konstrukce ze zcela paronepropustných materiálů (např. horní plášť dvouplášťové střechy z tvarovaných plechových prvků), nebo některá z vrstev konstrukce je zcela nebo omezeně paronepropustná (např. mechanicky kotvená parotěsná fólie ve skladbě lehkého obvodového pláště). V tomto není možno uvažovat příslušnou konstrukci jako bezsparou plošnou vrstvu, ale je třeba do výpočtu zahrnout vliv difúze vodní páry spárami, případně otvory.

Difúzní odpor parotěsné vrstvy, která se skládá z dílčích prvků a pravidelného systému spar se stanoví podle vztahu

$$Z_{p,dl} = \frac{A}{\delta_{dl} \cdot l} \quad (\text{m s}^{-1}) \quad (3.15)$$

kde je

|               |  |
|---------------|--|
| A             | plocha charakteristického výseku konstrukce ( m <sup>2</sup> ) |
| $\delta_{dl}$ | spárová difúzní vodivost ( s ) viz tab. T 3.1                  |
| l             | délka spáry v charakteristickém výseku konstrukce ( m )        |

Experimentální výzkum, provedený v oblasti difúze vodních par bodově poškozenými materiály prokázal, že pokud podíl otvorů činí více než 1% celkové plochy základního materiálu, difúzní vlastnosti perforovaného prvku již nezávisí na jeho materiálu a například takto poškozená parotěsná fólie je z pohledu jejích difúzních vlastností zcela nefunkční.

Podrobnosti k problematice spárové difúze a parotěsnosti bodově poškozených materiálů viz např. [7 a 8].

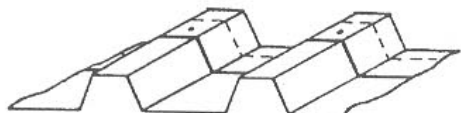
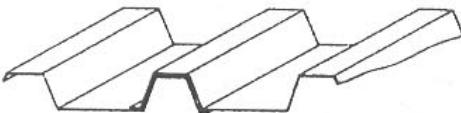
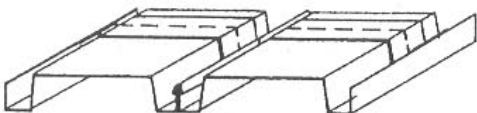
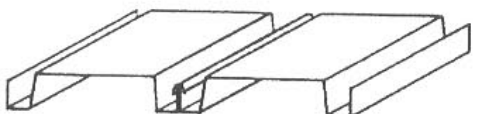
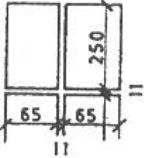
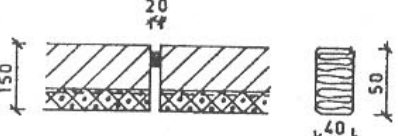
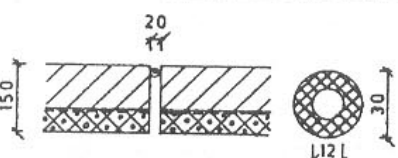
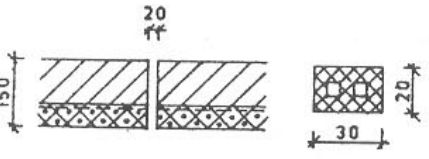
### 3.4. ROČNÍ BILANCE KONDENZACE A VYPAŘOVÁNÍ VODNÍ PÁRY

V případě, že v konstrukci dochází ke kondenzaci vodní páry, je dalším krokem výpočtového posouzení výpočet roční bilance kondenzace a vypařování vodní páry.

Metodika dle ČSN 73 0540 předpokládá dvě modifikace výpočtu a sice:

- výpočet bez vlivu slunečního záření a
- výpočet s vlivem slunečního záření.

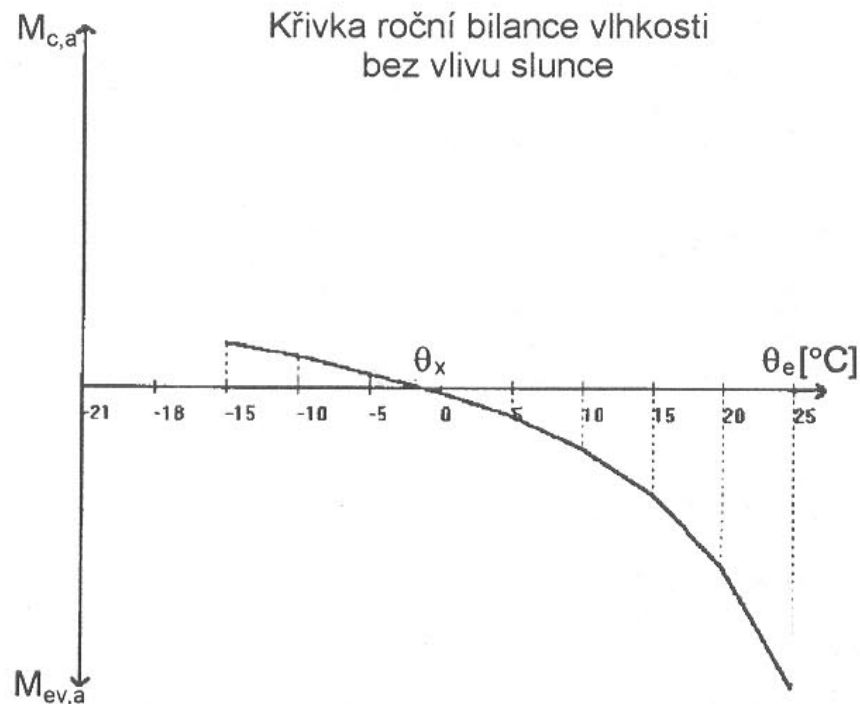
Zatímco první způsob výpočtu je třeba použít pro dvouplášťové stavební konstrukce nebo v případě, že konstrukce je po celou dobu životnosti před slunečním zářením chráněna, výpočet s uvážením příznivého vlivu sluneční radiace, kdy při oslunění v důsledku zvýšení teploty osluněné konstrukce dochází k snížení intenzity kondenzace a zvýšení intenzity vypařování vlhkosti z konstrukce, lze využít pro stavební konstrukce, které nejsou a nebudou po dobu jejich životnosti zastíněny či jiným způsobem před působením slunečního záření chráněny. Tento způsob výpočtu se s výhodou využívá především u jednoplášťových plochých střešních konstrukcí.

|   | Popis spáry   | Schéma   | Těsnění                                  | $\delta_{dl} \cdot 10^9$<br>(s) |
|---|---|--|--|---------------------------------|
| 1 | Tvarovaný ocelový plech VSŽ, příčná spára, plechy vzájemně spojeny šrouby |    | volná                                    | 0,042 06                        |
|   |   |  | tmelená TPT                              | 0,003 116                       |
| 2 | Tvarovaný ocelový plech VSŽ, podélná spára                                |    | volná                                    | 0,1354                          |
|   |   |  | tmelená TPT                              | 0,03476                         |
| 3 | Ocelová střešní krytina, příčná spára krytá příšroubovaným prvkem         |    | volná                                    | 0,036 03                        |
|   |   |  | tmelená TPT                              | 0                               |
| 4 | Ocelová střešní krytina, podélná spára krytá lištou                       |    | volná                                    | 0,059 2                         |
|   |   |  | tmelená TPT                              | 0,036 03                        |
| 5 | Obklad glazovanými pásky, spárovány                                       |    | vodotěsná omítka                         | 0,015 47                        |
| 6 | Spára mezi železobetonovými panely  |  | fibrex v PE fólii                        | 0,189 5                         |
| 7 | Spára mezi železobetonovými panely  |  | kruhový profil z mikro-porézní pryže     | 0,0691                          |
| 8 | Spára mezi železobetonovými panely  |  | obdélníkový profil z mikro-porézní pryže | 0,0482                          |

Tab. 3.1: Difúzní spárová vodivost některých typů spár

Výpočet bilance vychází z množství zkondenzované, případně vypařené vlhkosti pro řadu vnějších teplot od výpočtové teploty vnějšího vzduchu až po teplotu  $\theta_e = + 25^\circ\text{C}$ . Příslušné dílčí hodnoty pro každou tuto teplotu se získají přenásobením hodnoty zkondenzovaného (vypařeného) množství vodní páry četností výskytu příslušné teploty v průběhu ročního cyklu. Zkondenzované množství má výslednou dílčí hodnotu s kladným znaménkem, vypařenou vodní páru lze identifikovat podle znaménka záporného.

Roční zkondenzované množství  $M_{c,a}$  je pak sumací kladných dílčích hodnot zkondenzovaného množství vodní páry, ročně vypařené množství vodní páry  $M_{ev,a}$  získáme součtem absolutních hodnot záporných dílčích množství.



Obr. 3.4: Křivka roční bilance vlhkosti

Průběh roční bilance kondenzace a vypařování vodní páry lze znázornit křivkou roční bilance vlhkosti (obr. 3.4). Na vodorovné ose grafu jsou vyneseny teploty vnějšího vzduchu, nad osou příslušná zkondenzovaná množství a pod osou vypařená množství vodní páry pro příslušné teploty. Teplota  $\theta_x$ , daná bodem v němž bilanční křivka protíná vodorovnou osu grafu, je rovnovážná teplota na rozhraní mezi kondenzací a vypařováním vodní páry.

Výsledná hodnota roční bilance je buď aktivní (kladná), to znamená, že veškerá vlhkost, zkondenzovaná v průběhu ročního cyklu se během téhož cyklu vypaří neboli

$$M_{c,a} \leq M_{ev,a} \quad (\text{kg m}^{-2} \text{ a}) \quad (3.16)$$

nebo je

$$M_{c,a} > M_{ev,a} \quad (\text{kg m}^{-2} \text{ a}) \quad (3.17)$$

roční bilance je pak pasivní (záporná), zkondenzovaná vlhkost není schopna se v průběhu ročního cyklu v plném rozsahu vypařit a dochází k jejímu dlouhodobému hromadění uvnitř konstrukce.

Při výpočtu s uvažováním vlivu slunečního záření se řada vnějších teplot, pro něž je bilance vyčíslována, doplní o ekvivalentní teplotu vnějšího vzduchu, která transformuje vliv slunečního záření formou zvýšení teploty vnějšího vzduchu. Četnost trvání teplot je pak rozčleněna na období se zataženou a jasnou oblohou.

Ekvivalentní teplota vnějšího vzduchu  $\theta_{e,ev}$  se určí ze vztahu

$$\theta_{e,ev} = \theta_e + a \cdot A \cdot J_m \cdot R_{se} \quad (^\circ\text{C}) \quad (3.18)$$

kde je

- a redukční součinitel expozice dle tab. T 3.2
- A pohltivost slunečního záření vnějšího povrchu konstrukce - viz tab. P 07
- $J_m$  střední intenzita globálního slunečního záření ( $\text{W m}^{-2}$ ) - tab. P 08.

| Expozice konstrukce | Redukční součinitel expozice<br>a [-] |
|---------------------|---------------------------------------|
| Horizontální        | 1,0                                   |
| Západ               | 1,0                                   |
| Jih                 | 0,8                                   |
| Východ              | 0,5                                   |

Tab. 3.2: Redukční součinitele expozice

### 3.4. NORMOVÉ POŽADAVKY

Kondenzace vodní páry uvnitř konstrukce se vždy hodnotí s bezpečnostní vlhkostní přírážkou  $\varphi_i = 5\%$ . Kromě případů hodnocení konstrukcí ve vlhkých nebo mokřích provozech se tedy běžně uvažuje  $\varphi_i + \Delta\varphi_i = 55\%$ .

Norma ČSN 73 0540 doporučuje navrhovat stavební konstrukce tak, aby v nich nedocházelo ke kondenzaci vodní páry.

V případě, že ke kondenzaci vodní páry v konstrukci dochází, musí být splněny tři následující požadavky:

- kondenzace vodní páry nesmí ohrozit funkci konstrukce ( např. změnou statických nebo fyzikálních vlastností materiálu, vznikem plísní, degradací materiálu nebo výrazným snížením životnosti konstrukce),
- roční bilance kondenzace a vypařování musí být aktivní
- ročně zkondenzované množství vodní páry nesmí přesáhnout normativní limit, který činí

$$M_{c,a} \leq 0,1 \text{ kg m}^{-2}\text{a} \text{ pro jednoplášťové střechy, konstrukce (3.19)} \\ \text{s vnějším tepelně izolačním systémem, vnějším obkladem} \\ \text{či jinými difuzně málo propustnými vnějšími vrstvami}$$

$$\text{případně nižší z hodnot} \\ M_{c,a} \leq 0,5 \text{ kg m}^{-2}\text{a} \text{ nebo} \\ 0,5\% \text{ plošné hmotnosti materiálu pro ostatní konstrukce (3.20)}$$

U konstrukcí s větranou vzduchovou vrstvou norma požaduje, aby po celé délce této vrstvy nedocházelo ke kondenzaci vodní páry.

### 3.5. ZÁSADY PRO NAVRHOVÁNÍ STAVEBNÍCH KONSTRUKCÍ Z HLEDISKA DIFÚZE A KONDENZACE VODNÍ PÁRY

Hlavní zásadou pro navrhování vrstvených stavebních konstrukcí z hlediska difúze a kondenzace vodní páry je správné řazení jednotlivých vrstev konstrukce z hlediska jejich difúzního odporu. Optimální skladba je v tomto případě taková skladba, kde difúzní odpor vrstev klesá směrem od vnitřního k vnějšímu povrchu. Znamená to, že vrstva s nejvyšším difúzním odporem je situována na vnitřním líci konstrukce, vrstva s nejnižším difúzním odporem naopak na líci vnějším. Někteří autoři, např. ČSN 730540, doporučují, aby se velikost součinu součinitele tepelné vodivosti a faktoru difúzního odporu jednotlivých vrstev od interiéru směrem k interiéru snižovala.

Tuto zásadu je třeba chápat jako teoretický návod pro ideální návrh konstrukce-její striktní dodržení v praxi je někdy téměř nemožné a vyskytuje se řada konstrukcí, jejichž vrstvy jsou řazeny v přímém protikladu s uvedenou zásadou. Klasickým příkladem je konstrukce jednoplášťové ploché střechy, kde na vnějším líci konstrukce je vrstva s nejvyšším difúzním odporem – vrstva hydroizolační. I takovouto skladbu lze navrhnout tak, aby splňovala normativní požadavky, kvalifikovaný návrh konstrukce však vyžaduje určité zkušenosti a obvykle jsou normativní požadavky z hlediska zkondenzovaného množství a roční bilance kondenzace a vypařování vlhkosti splněny jen s minimální rezervou – míra spolehlivosti takovéto konstrukce je svým způsobem omezená.

V případě, že je třeba navrhnout skladbu konstrukce, na jejímž vnějším líci je vrstva s velmi vysokým nebo i absolutním difúzním odporem (sklo, plech apod.), jsou teoreticky možné dva přístupy řešení:

- před vnější parotěsnou vrstvu vřadit odvětranou vzduchovou vrstvu a konstrukci řešit jako dvouplášťovou.
- také na vnitřní líc konstrukce navrhnout vrstvu se stejným, nebo je – li to možné vyšším difúzním odporem, než je na líci vnějším. V tomto případě je však třeba zajistit, aby materiály, které jsou uvnitř skladby konstrukce v podstatě parotěsně uzavřeny, měly v době zabudování minimální vlhkostní obsah. Nedodržení tohoto požadavku by mohlo způsobit ohrožení základních funkcí konstrukce a výrazné omezení její životnosti.

Z hlediska výpočtového hodnocení navrhovaných konstrukcí je třeba v případě, že skladba konstrukce obsahuje parotěsné vrstvy se spárami, styky nebo spoji, uvažovat vliv spár na snížení difúzního odporu těchto vrstev a vždy do výpočtu zahrnout vliv spárové difúzní vodivosti. Nedodržení této zásady velmi často vede k výraznému zkreslení skutečného chování konstrukce a výskytu obtížně odstranitelných poruch.

### 3.6. PŘÍKLADY VÝPOČTŮ

Výpočtové posouzení výskytu difúze a kondenzace vodní páry i roční bilance kondenzace a vypařování se v současné době provádí výhradně s použitím výpočetní techniky. Existuje řada programů, které tento výpočet umožňují, obvykle jako součást

rozsáhlejších programů, sloužících ke komplexnímu hodnocení základních tepelně technických vlastností konstrukcí. Kromě problematiky difúze je většinou hodnocen i prostup tepla konstrukcí (součinitel prostupu tepla, vnitřní povrchová teplota ) a některé parametry neustáleného teplotního stavu (teplotní útlum, fázový posun teplotního kmitu ).

Ústav stavitelství II Fakulty architektury ČVUT v Praze je pro potřeby výuky vybaven souborem programů ze stavební tepelné techniky, jejichž autorem je Doc.ing. Dr. Z. Svoboda. Veškeré příklady využití výpočetní techniky v tomto textu budou proto směřovat k tomuto programovému vybavení.

Pro potřeby komplexního posouzení tepelně technických vlastností stavebních konstrukcí je používán program TEPLŮ 2005, provádějící výpočet jak podle metodiky ČSN 73 0540, tak i podle ČSN EN ISO 13 788 [15]. Obě metodiky výpočtu jsou považovány za rovnocenné.

Výpočet pracuje s referenčním klimatickým rokem a provádí výpočet po jednotlivých měsících, přičemž počáteční měsíc a počet ročních cyklů výpočtu lze libovolně zvolit.

Ve výpočtu lze využít možnost vyhodnocení redistribuce vlhkosti v konstrukci nebo zadat nestandardní hodnoty počáteční vlhkosti jednotlivých materiálů.

### 3.6.1. Zadávání vstupních údajů

Pro výpočet se zadávají následující vstupní údaje:

- typ konstrukce
- skladba konstrukce - zadávají se postupně jednotlivé vrstvy konstrukce od interiéru směrem k exteriéru. Pro zadání fyzikálních vlastností materiálů lze použít údaje obsažené v položce " Katalog ", je třeba doplnit pouze tloušťku vrstev.

- parametry exteriéru

- teplota  $\theta_e$
- odpor při přestupu tepla  $R_{se}$
- relativní vlhkost  $\varphi_e$
- pohltivost slunečního záření vnějšího povrchu konstrukce
- součinitel orientace konstrukce  $Z_4$

- parametry interiéru

- teplota  $\theta_a$
- odpor při přestupu tepla  $R_{si}$
- relativní vlhkost vzduchu  $\phi_i$

Při zadávání všech vstupních údajů je možno s výhodou použít nápovědy, která se otvírá pomocí klávesy F1.

- doplňující parametry výpočtu

### 3.6.2. Tiskový výstup výpočtu

Tiskový výstup výpočtu obsahuje:

- rekapitulaci vstupních údajů
- hodnoty základních tepelně technických parametrů konstrukce
- výsledek vyšetření kondenzace vodní páry v konstrukci

### 3.6.3. Grafický výstup výpočtu

Program umožňuje přímý tisk

- průběhu teplot v konstrukci
- průběhu částečných tlaků vodní páry v konstrukci, včetně případného vymezení kondenzační zóny - lze zvolit zobrazení konstrukce buď v měřítku tloušťek jednotlivých vrstev nebo v měřítku jejich difúzních odporů
- křivku roční bilance zkondenzované a vypařené vlhkosti
- graf akumulovaného množství zkondenzované vodní páry
- graf měsíčních hodnot zkondenzovaného případně vypařeného množství vodní páry

### 3.6.4. Příklad 3.1:

Proveďte hodnocení difúze a kondenzace vodní páry pro konstrukci z příkladu 2.1. Současně porovnejte programem vyčíslenou hodnotu tepelného odporu s výsledkem, získaným ručním výpočtem.

### Zadání vstupních údajů:

**Popis konstrukce a okrajových podmínek**

Úpravy Formulář Pomůcky Rychlé posuny Konec práce s daty

Skladba konstrukce | Okrajové podmínky výpočtu | Doplnující parametry výpočtu

Obecné údaje:

Konstrukce:  Zakázka: SFII

Zpracovatel: FK Datum: říjen 2005

Typ konstrukce: Stěna (tepelný tok vodorovně)

Korekce souč. prostupu tepla na vliv systematických tep. mostů DeltaU: 0,000 W/m<sup>2</sup>K  při výpočtu uvažovat redistribuci vlhkosti

Základní parametry konstrukce | Doplnující parametry

Skladba konstrukce (od interiéru):

| Vrstva | Název  | D [m]  | Lambda | M.teplo | M.hmotnost | Faktor Mi |
|--------|--|--------|--------|---------|------------|-----------|
| 1      | <input checked="" type="checkbox"/> Ytong omítka v | 0,0030 | 0,350  | 1000,0  | 1000,0     | 10,0      |
| 2      | <input checked="" type="checkbox"/> Ytong P2-400   | 0,3000 | 0,120  | 1000,0  | 400,0      | 7,0       |
| 3      | <input checked="" type="checkbox"/> Ytong omítka v | 0,0040 | 0,190  | 1000,0  | 800,0      | 35,0      |
| 4      | <input type="checkbox"/>                           | 0,0000 | 0,000  | 0,0     | 0,0        | 0,0       |
| 5      | <input type="checkbox"/>                           | 0,0000 | 0,000  | 0,0     | 0,0        | 0,0       |
| 6      | <input type="checkbox"/>                           | 0,0000 | 0,000  | 0,0     | 0,0        | 0,0       |
| 7      | <input type="checkbox"/>                           | 0,0000 | 0,000  | 0,0     | 0,0        | 0,0       |
| 8      | <input type="checkbox"/>                           | 0,0000 | 0,000  | 0,0     | 0,0        | 0,0       |
| 9      | <input type="checkbox"/>                           | 0,0000 | 0,000  | 0,0     | 0,0        | 0,0       |
| 10     | <input type="checkbox"/>                           | 0,0000 | 0,000  | 0,0     | 0,0        | 0,0       |

Formulář: +

Formulář č. 1

Blok 1- 1

Akt. pomůcky:

**Popis konstrukce a okrajových podmínek**

Úpravy Formulář Pomůcky Rychlé posuny Konec práce s daty

Skladba konstrukce **Okrajové podmínky výpočtu** Doplnující parametry výpočtu

**Vnitřní vlhkostní podmínky:**

je známa vnitřní vlhkost (např. v klimatizovaných a vlhkých provozech)

je známa třída vnitřní vlhkosti: 4. třída (vysoká vlhkost - byt domy, kuchyně, sport.haly)

je známa produkce vodní páry a výměna vzduchu

Výměna n: 0,0 1/h Produkce v.p. G: 0,000 kg/h Objem V: 0,0 m<sup>3</sup>

**Teplotné odpory při přestupu tepla (pro výpočet souč. prostupu):**

... na vnitřní straně Rsi: 0,13 ... na vnější straně Rse: 0,04 m<sup>2</sup>K/W

Vložit standardní podmínky

**Okrajové podmínky | Informace k zadávání podmínek**

Návrhové hodnoty pro výpočet bilance dle ČSN 730540:

|                               |                     |                               |                     |
|-------------------------------|---------------------|-------------------------------|---------------------|
| Návrhové hodnoty pro interier | Teplota Tai: 21,0 C | Návrhové hodnoty pro exteriér | Teplota Te: -15,0 C |
|                               | Vlhkost Fii: 50,0 % |                               | Vlhkost Fie: 84,0 % |

Měsíční průměrné hodnoty pro výpočet bilance dle ČSN EN ISO 13788:

| Měsíc: | Dny: | Interiér |      |      | Exteriér |       |      |      |      |      |      |
|--------|------|----------|------|------|----------|-------|------|------|------|------|------|
|        |      | Tai      | Fii  | Te   | Fie      | Te    | Fie  |      |      |      |      |
| I.     | 31,0 | 21,0     | 48,8 | -2,5 | 81,3     | VII.  | 31,0 | 21,0 | 60,8 | 17,6 | 70,3 |
| II.    | 28,0 | 21,0     | 51,2 | -0,8 | 80,8     | VIII. | 31,0 | 21,0 | 60,7 | 17,5 | 70,4 |
| III.   | 31,0 | 21,0     | 51,9 | 3,0  | 79,5     | IX.   | 30,0 | 21,0 | 56,2 | 13,1 | 74,2 |
| IV.    | 30,0 | 21,0     | 53,2 | 8,6  | 77,0     | X.    | 31,0 | 21,0 | 53,0 | 8,3  | 77,1 |
| V.     | 31,0 | 21,0     | 56,2 | 13,0 | 74,3     | XI.   | 30,0 | 21,0 | 51,9 | 3,0  | 79,5 |
| VI.    | 30,0 | 21,0     | 59,0 | 15,9 | 72,0     | XII.  | 31,0 | 21,0 | 51,6 | -0,5 | 80,7 |

Formuláře: +

- 1 3 1
- 2 3 2
- 3 5 1
- 4 5 2

Formulář č. 1

Blok 1- 1

Akt. pomůcky:

**Popis konstrukce a okrajových podmínek**

Úpravy Formulář Pomůcky Rychlé posuny Konec práce s daty

Skladba konstrukce **Okrajové podmínky výpočtu** Doplnující parametry výpočtu

**Teplotný odpor při přestupu tepla (pro výpočet kondenzace):**

... na vnitřní straně Rsi: 0,25 ... na vnější straně Rse: 0,04 m<sup>2</sup>K/W

ČSN EN ISO 13788 předepisuje pro výpočty kondenzace vodní páry standardní hodnotu tepelného odporu při přestupu na vnitřní straně Rsi=0,25 m<sup>2</sup>K/W a na vnější straně Rse=0,04 m<sup>2</sup>K/W.

**Počáteční měsíc a délka výpočtu:**

počáteční měsíc stanovovat výpočtem podle ČSN EN ISO 13788

Při výpočtu kondenzace uvažovat výchozí měsíc výpočtu: 10

Počet hodnocených let: 1

**Bezpečnostní přírázka k vnitřní relativní vlhkosti dle ČSN 730540 a ČSN EN ISO 13788:**

Bezpečnostní přírázka k vnitřní relativní vlhkosti: 5,0 %

Normy ČSN 730540 a ČSN EN ISO 13788 předepisují pro výpočet difuze vodní páry přírázku k vnitřní relativní vlhkosti 5%. Tato přírázka zohledňuje nepříznivé kolísání teplot a vlhkosti.

**Hustota dělení konstrukce:**

Max. počet vrstev, na které bude provedeno dělení konstrukce (10-150): 100

Formuláře: +

- 1 3 1
- 2 3 2
- 3 5 1
- 4 5 2

Formulář č. 1

Blok 1- 1

Akt. pomůcky:

## Výstupní protokol výpočtu:

**ZÁKLADNÍ KOMPLEXNÍ TEPELNĚ TECHNICKÉ  
POSOUZENÍ STAVEBNÍ KONSTRUKCE**

podle ČSN EN ISO 13788, ČSN EN ISO 6946, ČSN 730540 a STN 730540

**Teplo 2005**

Název úlohy : 3.1  
 Zpracovatel : FK  
 Zakázka : SFII  
 Datum : říjen 2005

**KONTROLNÍ TISK VSTUPNÍCH DAT :**

Typ hodnocené konstrukce : Stěna  
 Korekce součinitele prostupu dU : 0.000 W/m<sup>2</sup>K

**Skladba konstrukce (od interiéru) :**

| Číslo | Název          | D[m]   | L[W/mK] | C[J/kgK] | Ro[kg/m <sup>3</sup> ] | Mi[-] | Ma[kg/m <sup>2</sup> ] |
|-------|----------------|--------|---------|----------|------------------------|-------|------------------------|
| 1     | Ytong omítka v | 0.0030 | 0.3500  | 1000.0   | 1000.0                 | 10.0  | 0.0000                 |
| 2     | Ytong P2-400   | 0.3000 | 0.1200  | 1000.0   | 400.0                  | 7.0   | 0.0000                 |
| 3     | Ytong omítka v | 0.0040 | 0.1900  | 1000.0   | 800.0                  | 35.0  | 0.0000                 |

**Okrajové podmínky výpočtu :**

Tepelný odpor při přestupu tepla v interiéru Rsi : 0.13 m<sup>2</sup>K/W  
 dtto pro výpočet kondenzace a povrch. teplot Rsi : 0.25 m<sup>2</sup>K/W  
 Tepelný odpor při přestupu tepla v exteriéru Rse : 0.04 m<sup>2</sup>K/W  
 dtto pro výpočet kondenzace a povrch. teplot Rse : 0.04 m<sup>2</sup>K/W

Návrhová venkovní teplota Te : -15.0 C  
 Návrhová teplota vnitřního vzduchu Tai : 21.0 C  
 Návrhová relativní vlhkost venkovního vzduchu RHe : 84.0 %  
 Návrhová relativní vlhkost vnitřního vzduchu RHi : 55.0 %

| Měsíc | Délka[dny] | Tai[C] | RHi[%] | Pi[Pa] | Te[C] | RHe[%] | Pe[Pa] |
|-------|------------|--------|--------|--------|-------|--------|--------|
| 1     | 31         | 21.0   | 53.8   | 1337.2 | -2.5  | 81.3   | 403.2  |
| 2     | 28         | 21.0   | 56.2   | 1396.9 | -0.8  | 80.8   | 461.7  |
| 3     | 31         | 21.0   | 56.9   | 1414.3 | 3.0   | 79.5   | 602.1  |
| 4     | 30         | 21.0   | 58.2   | 1446.6 | 8.6   | 77.0   | 859.9  |
| 5     | 31         | 21.0   | 61.2   | 1521.2 | 13.0  | 74.3   | 1112.2 |
| 6     | 30         | 21.0   | 64.0   | 1590.8 | 15.9  | 72.0   | 1300.1 |
| 7     | 31         | 21.0   | 65.8   | 1635.5 | 17.6  | 70.3   | 1414.1 |
| 8     | 31         | 21.0   | 65.7   | 1633.0 | 17.5  | 70.4   | 1407.2 |
| 9     | 30         | 21.0   | 61.2   | 1521.2 | 13.1  | 74.2   | 1118.0 |
| 10    | 31         | 21.0   | 58.0   | 1441.6 | 8.3   | 77.1   | 843.7  |
| 11    | 30         | 21.0   | 56.9   | 1414.3 | 3.0   | 79.5   | 602.1  |
| 12    | 31         | 21.0   | 56.6   | 1406.8 | -0.5  | 80.7   | 472.8  |

Pro vnitřní prostředí byla uplatněna přírážka k vnitřní relativní vlhkosti : 5.0 %  
 Výchozí měsíc výpočtu bilance se stanovuje výpočtem dle ČSN EN ISO 13788.  
 Počet hodnocených let : 1

## TISK VÝSLEDKŮ VYŠETŘOVÁNÍ :

### Teplotní odpor a součinitel prostupu tepla dle ČSN EN ISO 6946:

Teplotní odpor konstrukce R : 2.53 m<sup>2</sup>K/W  
 Součinitel prostupu tepla konstrukce U : 0.37 W/m<sup>2</sup>K

Součinitel prostupu zabudované kce U<sub>kc</sub> : 0.39 / 0.42 / 0.47 / 0.57 W/m<sup>2</sup>K  
 Uvedené orientační hodnoty platí pro různou kvalitu řešení tep. mostů vyjádřenou přibližnou přírážkou dle poznámek k čl. B.9.2 v ČSN 730540-4.

Difuzní odpor konstrukce Z<sub>pT</sub> : 1.2E+0010 m/s  
 Teplotní útlum konstrukce N<sub>y</sub>\* : 73.0  
 Fázový posun teplotního kmitu Psi\* : 10.6 h

### Teplota vnitřního povrchu dle ČSN 730540 a teplotní faktor dle ČSN EN ISO 13788:

Vnitřní povrchová teplota v návrhových podmínkách T<sub>si,p</sub> : 17.81 C

| Číslo měsíce | Minimální požadované hodnoty při max. rel. vlhkosti na vnitřním povrchu: |                      |                       |                      | Vypočtené hodnoty   |                   |                      |
|--------------|--|----------------------|-----------------------|----------------------|---------------------|-------------------|----------------------|
|              | ----- 80% -----  |                      | ----- 100% -----      |                      | T <sub>si</sub> [C] | f,R <sub>si</sub> | RH <sub>si</sub> [%] |
|              | T <sub>si</sub> ,m[C]  | f,R <sub>si</sub> ,m | T <sub>si</sub> ,m[C] | f,R <sub>si</sub> ,m |                     |                   |                      |
| 1            | 14.7   | 0.732                | 11.3                  | 0.587                | 18.9                | 0.911             | 61.2                 |
| 2            | 15.4   | 0.742                | 11.9                  | 0.585                | 19.1                | 0.911             | 63.3                 |
| 3            | 15.6   | 0.698                | 12.1                  | 0.507                | 19.4                | 0.911             | 62.8                 |
| 4            | 15.9   | 0.590                | 12.5                  | 0.313                | 19.9                | 0.911             | 62.3                 |
| 5            | 16.7   | 0.464                | 13.2                  | 0.031                | 20.3                | 0.911             | 63.9                 |
| 6            | 17.4   | 0.298                | 13.9                  | -----                | 20.5                | 0.911             | 65.8                 |
| 7            | 17.9   | 0.076                | 14.4                  | -----                | 20.7                | 0.911             | 67.0                 |
| 8            | 17.8   | 0.095                | 14.3                  | -----                | 20.7                | 0.911             | 67.0                 |
| 9            | 16.7   | 0.457                | 13.2                  | 0.018                | 20.3                | 0.911             | 63.9                 |
| 10           | 15.9   | 0.596                | 12.4                  | 0.325                | 19.9                | 0.911             | 62.2                 |
| 11           | 15.6   | 0.698                | 12.1                  | 0.507                | 19.4                | 0.911             | 62.8                 |
| 12           | 15.5   | 0.744                | 12.1                  | 0.584                | 19.1                | 0.911             | 63.7                 |

Poznámka: RH<sub>si</sub> je relativní vlhkost na vnitřním povrchu,  
 T<sub>si</sub> je vnitřní povrchová teplota a f,R<sub>si</sub> je teplotní faktor.

### Difuze vodní páry v návrhových podmínkách a bilance vlhkosti dle ČSN 730540: (bez vlivu zabudované vlhkosti a sluneční radiace)

Průběh teplot a tlaků v návrhových okrajových podmínkách:

| rozhraní:   | i    | 1-2  | 2-3   | e     |
|-------------|------|------|-------|-------|
| tepl.[C]:   | 17.8 | 17.7 | -14.2 | -14.5 |
| p [Pa]:     | 1367 | 1351 | 214   | 138   |
| p,sat [Pa]: | 2038 | 2024 | 177   | 173   |

Při venkovní návrhové teplotě dochází v konstrukci ke kondenzaci vodní páry.

| Kond.zóna číslo | Hranice kondenzační zóny [m] |        | Kondenzující množství vodní páry [kg/m <sup>2</sup> s] |
|-----------------|------------------------------|--------|--|
|                 | levá                         | pravá  |  |
| 1               | 0.1909                       | 0.2940 | 7.416E-0008  |

#### Celoroční bilance vlhkosti:

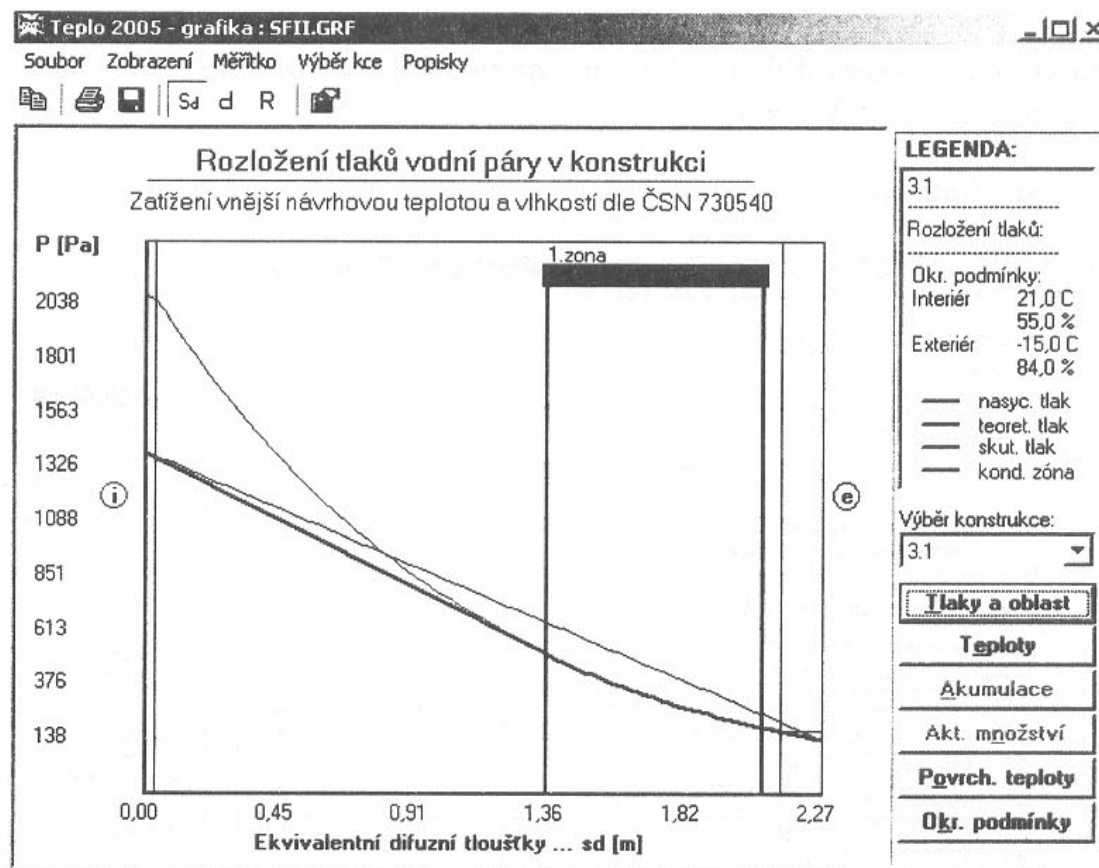
Množství zkondenzované vodní páry M<sub>c,a</sub>: 0.072 kg/m<sup>2</sup>,rok  
 Množství vypařitelné vodní páry M<sub>ev,a</sub>: 5.477 kg/m<sup>2</sup>,rok  
 Ke kondenzaci dochází při venkovní teplotě nižší než -5.0 C.

### Bilance zkondenzované a vypařené vlhkosti dle ČSN EN ISO 13788:

#### Roční cyklus č. 1

V konstrukci nedochází během modelového roku ke kondenzaci.  
**STOP, Teplo 2005**

## Grafický výstup výpočtu:

**Posouzení:**

Hodnocená konstrukce splňuje normativní kritéria, týkající se difúze a kondenzace vodní páry:

- při hodnocení dle ČSN EN ISO 13 788 nedochází v konstrukci ke kondenzaci vodní páry

Hodnota součinitele prostupu tepla konstrukce, vyčíslená ručním i počítačovým výpočtem je shodná.

### 3.6.5. PŘÍKLAD 3.2:

Proved'te hodnocení difuze a kondenzace vodní páry pro konstrukci z příkladu 2.2. Porovnejte hodnoty tepelných odporů.

#### Zadání vstupních údajů:

**Popis konstrukce a okrajových podmínek**

Úpravy Formulář Pomůcky Rychlé posuny Konec práce s daty

Skladba konstrukce Okrajové podmínky výpočtu Doplnující parametry výpočtu

**Obecné údaje:**

Konstrukce: 3.2 Zakázka: SF II  
 Zpracovatel: FK Datum: říjen 2005

Typ konstrukce: Střecha, strop (tepelný tok zdola nahoru)

Korekce souč. prostupu tepla na vliv systematických tep. mostů DeltaU: 0,000 W/m<sup>2</sup>K  při výpočtu uvažovat redistribuci vlhkosti

**Základní parametry konstrukce | Doplnující parametry**

Skladba konstrukce (od interiéru):

| Vrstva | Název   | D [m]   | Lambda | M.teplo | M.hmotnost | Faktor Mi |
|--------|---|---------|--------|---------|------------|-----------|
| 1      | <input checked="" type="checkbox"/> Sádrokarton   | 0,0120  | 0,220  | 1060,0  | 750,0      | 9,0       |
| 2      | <input checked="" type="checkbox"/> Sarnavap 1000 | 0,00022 | 0,350  | 1470,0  | 1800,0     | 900000,0  |
| 3      | <input checked="" type="checkbox"/> ORSIL N       | 0,2400  | 0,043  | 1150,0  | 100,0      | 1,1       |
| 4      | <input checked="" type="checkbox"/> Jutadach 135  | 0,0002  | 0,390  | 1700,0  | 675,0      | 100,0     |
| 5      | <input type="checkbox"/>                          | 0,0000  | 0,000  | 0,0     | 0,0        | 0,0       |
| 6      | <input type="checkbox"/>                          | 0,0000  | 0,000  | 0,0     | 0,0        | 0,0       |
| 7      | <input type="checkbox"/>                          | 0,0000  | 0,000  | 0,0     | 0,0        | 0,0       |
| 8      | <input type="checkbox"/>                          | 0,0000  | 0,000  | 0,0     | 0,0        | 0,0       |
| 9      | <input type="checkbox"/>                          | 0,0000  | 0,000  | 0,0     | 0,0        | 0,0       |
| 10     | <input type="checkbox"/>                          | 0,0000  | 0,000  | 0,0     | 0,0        | 0,0       |

Formulář: 1 3.1, 3 5.1, 4 5.2

Formulář č. 2  
 Blok 1-1

Akt. pomůcky:

#### Výstupní protokol výpočtu:

## ZÁKLADNÍ KOMPLEXNÍ TEPELNĚ TECHNICKÉ POSOUZENÍ STAVEBNÍ KONSTRUKCE

podle ČSN EN ISO 13788, ČSN EN ISO 6946, ČSN 730540 a STN 730540

Teplo 2005

Název úlohy : 3.2  
 Zpracovatel : FK  
 Zakázka : SF II  
 Datum : říjen 2005

#### KONTROLNÍ TISK VSTUPNÍCH DAT :

Typ hodnocené konstrukce : Strop, střecha - tepelný tok zdola  
 Korekce součinitele prostupu dU : 0.000 W/m<sup>2</sup>K

**Skladba konstrukce (od interiéru) :**

| Číslo | Název         | D[m]   | L[W/mK] | C[J/kgK] | Ro[kg/m3] | Mi[-]    | Ma[kg/m2] |
|-------|---------------|--------|---------|----------|-----------|----------|-----------|
| 1     | Sádrokarton   | 0.0120 | 0.2200  | 1060.0   | 750.0     | 9.0      | 0.0000    |
| 2     | Sarnavap 1000 | 0.0002 | 0.3500  | 1470.0   | 1800.0    | 900000.0 | 0.0000    |
| 3     | ORSIL N       | 0.2400 | 0.0430  | 1150.0   | 100.0     | 1.1      | 0.0000    |
| 4     | Jutadach 135  | 0.0002 | 0.3900  | 1700.0   | 675.0     | 100.0    | 0.0000    |

**Okrajové podmínky výpočtu :**

Tepelný odpor při přestupu tepla v interiéru  $R_{si}$  : 0.10 m2K/W  
 dtto pro výpočet kondenzace a povrch. teplot  $R_{si}$  : 0.25 m2K/W  
 Tepelný odpor při přestupu tepla v exteriéru  $R_{se}$  : 0.10 m2K/W  
 dtto pro výpočet kondenzace a povrch. teplot  $R_{se}$  : 0.04 m2K/W

Návrhová venkovní teplota  $T_e$  : -15.0 C  
 Návrhová teplota vnitřního vzduchu  $T_{ai}$  : 21.0 C  
 Návrhová relativní vlhkost venkovního vzduchu  $R_{He}$  : 84.0 %  
 Návrhová relativní vlhkost vnitřního vzduchu  $R_{Hi}$  : 55.0 %

| Měsíc | Délka[dny] | $T_{ai}[C]$ | $R_{Hi}[%]$ | $P_i[Pa]$ | $T_e[C]$ | $R_{He}[%]$ | $P_e[Pa]$ |
|-------|------------|-------------|-------------|-----------|----------|-------------|-----------|
| 1     | 31         | 21.0        | 53.8        | 1337.2    | -2.5     | 81.3        | 403.2     |
| 2     | 28         | 21.0        | 56.2        | 1396.9    | -0.8     | 80.8        | 461.7     |
| 3     | 31         | 21.0        | 56.9        | 1414.3    | 3.0      | 79.5        | 602.1     |
| 4     | 30         | 21.0        | 58.2        | 1446.6    | 8.6      | 77.0        | 859.9     |
| 5     | 31         | 21.0        | 61.2        | 1521.2    | 13.0     | 74.3        | 1112.2    |
| 6     | 30         | 21.0        | 64.0        | 1590.8    | 15.9     | 72.0        | 1300.1    |
| 7     | 31         | 21.0        | 65.8        | 1635.5    | 17.6     | 70.3        | 1414.1    |
| 8     | 31         | 21.0        | 65.7        | 1633.0    | 17.5     | 70.4        | 1407.2    |
| 9     | 30         | 21.0        | 61.2        | 1521.2    | 13.1     | 74.2        | 1118.0    |
| 10    | 31         | 21.0        | 58.0        | 1441.6    | 8.3      | 77.1        | 843.7     |
| 11    | 30         | 21.0        | 56.9        | 1414.3    | 3.0      | 79.5        | 602.1     |
| 12    | 31         | 21.0        | 56.6        | 1406.8    | -0.5     | 80.7        | 472.8     |

Pro vnitřní prostředí byla uplatněna přírážka k vnitřní relativní vlhkosti : 5.0 %  
 Výchozí měsíc výpočtu bilance se stanovuje výpočtem dle ČSN EN ISO 13788.  
 Počet hodnocených let : 1

**TISK VÝSLEDKŮ VYŠETŘOVÁNÍ :**

**Tepelný odpor a součinitel prostupu tepla dle ČSN EN ISO 6946:**

Tepelný odpor konstrukce  $R$  : 5.64 m2K/W  
 Součinitel prostupu tepla konstrukce  $U$  : 0.17 W/m2K

Součinitel prostupu zabudované kce  $U_{kc}$  : 0.19 / 0.22 / 0.27 / 0.37 W/m2K  
 Uvedené orientační hodnoty platí pro různou kvalitu řešení tep. mostů vyjádřenou přibližnou přírážkou dle poznámek k čl. B.9.2 v ČSN 730540-4.

Difuzní odpor konstrukce  $Z_{pT}$  : 1.0E+0012 m/s  
 Teplotní útlum konstrukce  $N_{y^*}$  : 99.7  
 Fázový posun teplotního kmitu  $\Psi_{si^*}$  : 6.8 h

**Teplota vnitřního povrchu dle ČSN 730540 a teplotní faktor dle ČSN EN ISO 13788:**

Vnitřní povrchová teplota v návrhových podmínkách  $T_{si,p}$  : 19.48 C

| Číslo měsíce | Minimální požadované hodnoty při max. rel. vlhkosti na vnitřním povrchu: |              |                  |              | Vypočtené hodnoty |            |              |
|--------------|--|--------------|------------------|--------------|-------------------|------------|--------------|
|              | ----- 80% -----  |              | ----- 100% ----- |              | $T_{si}[C]$       | $f,R_{si}$ | $R_{Hsi}[%]$ |
|              | $T_{si,m}[C]$  | $f,R_{si,m}$ | $T_{si,m}[C]$    | $f,R_{si,m}$ |                   |            |              |
| 1            | 14.7   | 0.732        | 11.3             | 0.587        | 20.0              | 0.958      | 57.2         |
| 2            | 15.4   | 0.742        | 11.9             | 0.585        | 20.1              | 0.958      | 59.5         |

## Difuze a kondenzace vodní páry

|    |      |       |      |       |      |       |      |
|----|------|-------|------|-------|------|-------|------|
| 3  | 15.6 | 0.698 | 12.1 | 0.507 | 20.2 | 0.958 | 59.6 |
| 4  | 15.9 | 0.590 | 12.5 | 0.313 | 20.5 | 0.958 | 60.1 |
| 5  | 16.7 | 0.464 | 13.2 | 0.031 | 20.7 | 0.958 | 62.5 |
| 6  | 17.4 | 0.298 | 13.9 | ----- | 20.8 | 0.958 | 64.9 |
| 7  | 17.9 | 0.076 | 14.4 | ----- | 20.9 | 0.958 | 66.4 |
| 8  | 17.8 | 0.095 | 14.3 | ----- | 20.9 | 0.958 | 66.3 |
| 9  | 16.7 | 0.457 | 13.2 | 0.018 | 20.7 | 0.958 | 62.5 |
| 10 | 15.9 | 0.596 | 12.4 | 0.325 | 20.5 | 0.958 | 59.9 |
| 11 | 15.6 | 0.698 | 12.1 | 0.507 | 20.2 | 0.958 | 59.6 |
| 12 | 15.5 | 0.744 | 12.1 | 0.584 | 20.1 | 0.958 | 59.9 |

Poznámka: RHsi je relativní vlhkost na vnitřním povrchu,  
Tsi je vnitřní povrchová teplota a f,Rsi je teplotní faktor.

### Difuze vodní páry v návrhových podmínkách a bilance vlhkosti dle ČSN 730540: (bez vlivu zabudované vlhkosti a sluneční radiace)

Průběh teplot a tlaků v návrhových okrajových podmínkách:

| rozhraní:   | i    | 1-2  | 2-3  | 3-4   | e     |
|-------------|------|------|------|-------|-------|
| tepl.[C]:   | 19.5 | 19.2 | 19.1 | -14.8 | -14.8 |
| p [Pa]:     | 1367 | 1366 | 140  | 139   | 138   |
| p,sat [Pa]: | 2263 | 2217 | 2216 | 169   | 168   |

Při venkovní návrhové teplotě nedochází v konstrukci ke kondenzaci vodní páry.

Množství difundující vodní páry Gd : 1.238E-0009 kg/m2s

### Bilance zkondenzované a vypařené vlhkosti dle ČSN EN ISO 13788:

#### Roční cyklus č. 1

V konstrukci nedochází během modelového roku ke kondenzaci.

STOP, Teplo 2005

### **Posouzení:**

V konstrukci nedochází ke kondenzaci vodní páry.

Hodnoty součinitelů prostupu tepla získané oběma způsoby výpočtu jsou v podstatě shodné.

## 4. NEJNIŽŠÍ VNITŘNÍ POVRCHOVÁ TEPLOTA KONSTRUKCE

Teplota vnitřního povrchu stavebních konstrukcí bezprostředně ovlivňuje kvalitu interního mikroklimatu v budovách a má tedy i přímý vliv na uživatelský komfort stavebního objektu.

Poklesem vnitřní povrchové teploty konstrukce pod teplotu rosného bodu vnitřního vzduchu jsou splněny fyzikální podmínky pro vznik kondenzace vodní páry na vnitřním povrchu této konstrukce. Obvyklým důsledkem kondenzačního procesu je výskyt plísní na vlhkostí atakovaných površích. Často vzniká riziko výskytu plísní již v situaci, kdy vlhkost vnitřního vzduchu v bezprostředním kontaktu s vnitřním povrchem konstrukce dosahuje dlouhodobě hodnoty vyšší než 80%.

Vzhledem k tomu, že současné normové požadavky na součinitel prostupu tepla stavebních konstrukcí bytových a občanských staveb jsou s ohledem na zajištění potřebné vnitřní povrchové teploty konstrukcí více než dostatečné, je u běžných plošných stavebních konstrukcí - to je konstrukcí bez výrazných změn jejich geometrického tvaru a při užití homogenních materiálů ve směru kolmém na směr tepelného toku, to znamená v ploše konstrukce - navržených v souladu s normativními požadavky, dosahováno takové hodnoty vnitřní povrchové teploty, která je nejen se značnou rezervou nad teplotou rosného bodu vnitřního vzduchu, ale je i dostatečně vysoká s pohledu požadavků na kvalitu vnitřního mikroklimatu.

Je tedy zřejmé, že u plošných stavebních konstrukcí není zajištění potřebné hodnoty vnitřní povrchové teploty akutním problémem. Rozdílná situace je však v případě, kdy teplotní pole konstrukce je deformováno, ať již z důvodů geometrických nebo materiálových. V takovýchto případech již nejde o jednorozměrné šíření tepla, tak jak je známé u homogenních plošných konstrukcí, ale jedná se o dvojrozměrné, případně i trojrozměrné teplotní pole. Obvykle se v této situaci používá termín tepelný most, případně tepelná vazba, což je oblast konstrukce, ve které je dosaženo nižší vnitřní povrchové teploty, než je na ideálním fragmentu konstrukce při uvažování jednorozměrného šíření tepla.

Zcela specifickým problémem jsou z pohledu vnitřní povrchové teploty obalové konstrukce staveb, namáhaných vlhkým a mokřím vnitřním prostředím, kde - v případě požadavku na zamezení vnitřní povrchové kondenzace vodní páry - návrh takovéto konstrukce vychází pouze z předpokládaných parametrů vnitřního vzduchu a neužívá se běžných normových hodnot.

### 4.1. VÝPOČTOVÉ METODY

V závislosti na způsobu šíření tepla v konstrukci mohou být pro výpočtové hodnocení vnitřní povrchové teploty konstrukce použity odpovídající výpočtové metody, které se vztahují k

- jednorozměrnému šíření tepla
- dvojrozměrnému šíření tepla
- trojrozměrnému šíření tepla.

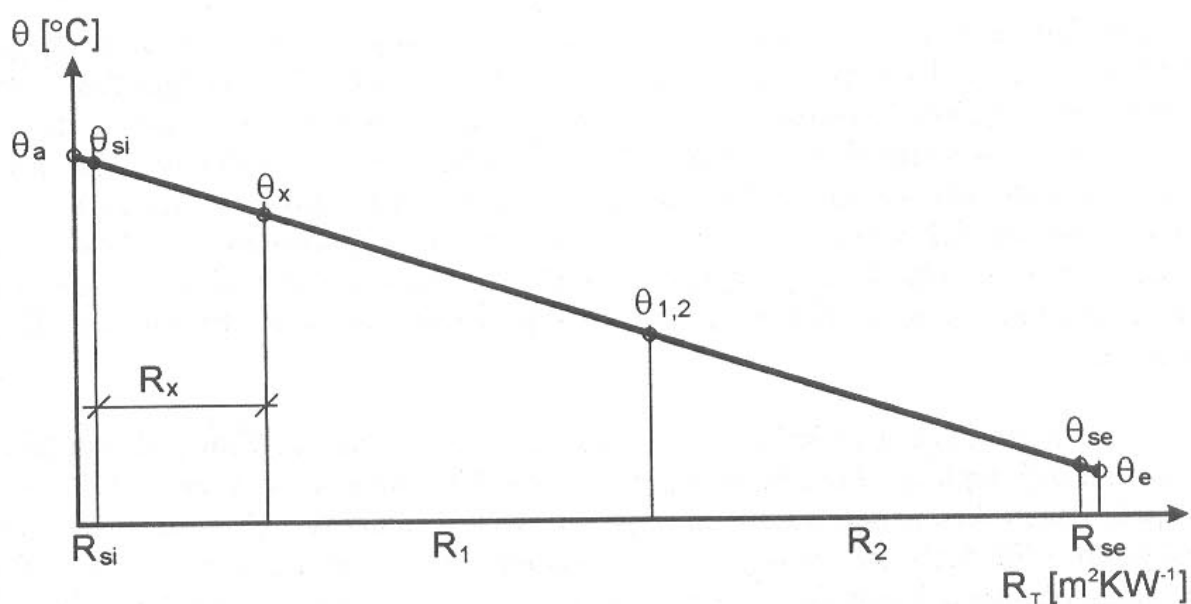
## 4.1.1. Jednorozměrné šíření tepla

Výpočet nejnižší vnitřní povrchové teploty konstrukce ze předpokladu jednorozměrného šíření tepla ( to znamená pro ideální fragment konstrukce ) vychází ze vztahu pro výpočet teploty v libovolném místě konstrukce

$$\theta_x = \theta_a - U ( R_{si} + R_x ) \cdot ( \theta_a - \theta_e ) \quad (^\circ\text{C}) \quad (4.1)$$

kde je

$\theta_x$  teplota v průřezu x konstrukce ( $^\circ\text{C}$ )  
 $R_x$  tepelný odpor části konstrukce mezi vnitřním povrchem a průřezem x - viz obr. 4.1.



Obr. 4.1: Průběh teploty v konstrukci

Ze vztahu 4.1 pak dosazením hodnoty  $R_x = 0$  dostaneme vztah pro nejnižší vnitřní povrchovou teplotu konstrukce

$$\theta_{si} = \theta_a - U \cdot ( \theta_a - \theta_e ) \cdot R_{si} \quad (^\circ\text{C}) \quad (4.2)$$

kde je

$R_{si}$  součinitel přestupu tepla na vnitřní straně konstrukce (  $\text{W m}^{-2} \text{K}^{-1}$  ).

Stanovení teploty v libovolném průřezu konstrukce, to znamená i vnitřní povrchové teploty lze provést i grafickým způsobem. Z hlediska přesnosti je třeba preferovat numerickou metodu, výhodou metody grafické je především její přehlednost a názornost.

Princip grafického stanovení teploty v libovolném místě konstrukce je patrný z obr. 4.1. Zobrazíme-li konstrukci v měřítku tepelných odporů jejich jednotlivých vrstev včetně odporů při přestupu tepla na vnitřní a vnější straně, je průběh teploty v konstrukci znázorněn

přímkou, spojující body s hodnotami teplot  $\theta_a$  a  $\theta_e$ . Teplota v libovolném průřezu konstrukce  $x$  je pak dána průsečíkem přímky průběhu teploty s hranicí odpovídajícího tepelného odporu  $R_x$ .

## 4.2. DVOJROZMĚRNÉ ŠÍŘENÍ TEPLA

### 4.2.1. Přesná výpočtová metoda

Výpočet vychází z druhého Fourierova zákona, předpokládá se dvojrozměrné šíření tepla a ustálený teplotní stav, takže Fourierova diferenciální rovnice nabývá tvaru

$$\frac{\partial^2 \theta}{\partial x^2} = 0 \quad (4.3)$$

Řešená oblast se pokryje pravoúhlou sítí, kde pro každý uzlový bod sítě lze stanovit teplotu v tomto bodě jako funkci teplot čtyř sousedních uzlových bodů. Tímto způsobem vznikne soustava diferenčních lineárních rovnic, jejichž počet se rovná počtu uzlů sítě.

I z tohoto velmi stručného popisu principu výpočtu dvojrozměrných teplotní polí je zřejmé, že ke zvládnutí výpočtu je třeba použít výpočetní techniky. V poslední době se pro výpočet dvojrozměrných teplotních polí využívá především metody konečných prvků. Používané programy obvykle umožňují kromě numerického výstupu i grafický výstup výsledků např. ve formě zobrazení izoterm, směru a hustoty tepelných toků nebo simulaci termovizního zobrazení.

## 4.3. TROJROZMĚRNÉ ŠÍŘENÍ TEPLA

Trojrozměrné vedení tepla není ve stavebních konstrukcích příliš obvyklým jevem, vyskytuje se především u složitých prostorových prvků nebo styků, kde kromě rozměrové variability prvků se projevuje i variabilita materiálů.

Přesný výpočet trojrozměrného teplotního pole vychází z obdobných principů jako výpočet pole dvojrozměrného (Fourierova rovnice vedení tepla, ustálený teplotní stav, prostorová síť), jednoznačně vyžaduje užití výpočetní techniky, navíc však takovýto výpočet je třeba považovat za nadstandardní, protože zadávání vstupních údajů je časově náročné a výpočet vyžaduje výkonnou výpočetní techniku.

Proto se výpočty trojrozměrných teplotních polí neprovádějí příliš často. Obvykle se volí zjednodušení úlohy a její převedení na řešení dvojrozměrného teplotního pole s použitím korekčních koeficientů.

## 4.4. NORMOVÉ POŽADAVKY

Pro stavební konstrukce v prostorách s relativní vlhkostí vnitřního vzduchu  $\phi_i \leq 60\%$  je v zimním období v rámci snížení rizika povrchové kondenzace a prevence vzniku plísní požadováno, aby vnitřní povrchová teplota v libovolném místě konstrukce byla

## Nejnižší vnitřní povrchová teplota

$$\theta_{si} \geq \theta_{si,N} \quad (^\circ\text{C}) \quad (4.4)$$

kde je

$\theta_{is,N}$  požadovaná hodnota nejnižší vnitřní povrchové teploty ( $^\circ\text{C}$ ), stanovená ze vztahu

$$\theta_{si,N} = \theta_{si,cr} + \Delta\theta_{si} \quad (4.5)$$

kde je

$\theta_{si,cr}$  kritická vnitřní povrchová teplota, při které by vnitřní vzduch s návrhovou teplotou  $\theta_{ai}$  a návrhovou relativní vlhkostí  $\varphi_i$  dosáhl kritické vnitřní povrchové vlhkosti  $\varphi_{si,cr}$  – viz tab. P 12 a P 13.

$\varphi_{si,cr}$  kritická vnitřní povrchová vlhkost v %. Je to vlhkost vzduchu bezprostředně na vnitřním povrchu konstrukce. Pro stavební konstrukce je kritická vnitřní povrchová vlhkost  $\varphi_{si,cr} = 80\%$ , pro výplně otvorů je kritická vnitřní povrchová vlhkost  $\varphi_{si,cr} = 100\%$ , to znamená že je rovna teplotě rosného bodu vnitřního vzduchu  $\theta_{\omega i}$ .

$\varphi_i$  návrhová relativní vlhkost vnitřního vzduchu v %, stanovená bez bezpečnostní přírážky – to znamená, že  $\Delta\varphi_i = 0$  (srovnej s kap.3). Kromě prostorů s vlhkými a mokrymi provozy se uvažuje  $\varphi_i = 50\%$ .

$\Delta\theta_{si}$  bezpečnostní teplotní přírážka ve  $^\circ\text{C}$ , stanovená pro výplně otvorů z tab T 4.1 a pro ostatní konstrukce z tab. T 4.2.

|  | Otopná tělesa pod výplněmi otvorů  |     |
|--|--|-----|
|  | Ano  | Ne  |
| <b>Způsob vytápění</b>   | <b>Bezpečnostní teplotní přírážka <math>\Delta\theta_{si}</math> [<math>^\circ\text{C}</math>]</b> |     |
| Nepřerušované  | -1,0   | 0   |
| Tlumené s poklesem výsledné teploty $\theta$ rovným a menším než $7^\circ\text{C}$ | -0,5   | 0,5 |
| Přerušované s poklesem výsledné teploty $\theta$ větším než $7^\circ\text{C}$      | 0  | 1,0 |

Tab. T4.1: Hodnoty bezpečnostní teplotní přírážky pro výplně otvorů

|  | Stavební konstrukce  |       |
|--|--|-------|
|  | Těžká  | Lehká |
| <b>Způsob vytápění</b>   | <b>Bezpečnostní teplotní přírážka <math>\Delta\theta_{si}</math> [<math>^\circ\text{C}</math>]</b> |       |
| Nepřerušované  | 0  | 0,5   |
| Tlumené s poklesem výsledné teploty $\theta$ rovným a menším než $7^\circ\text{C}$ | 0,5  | 1,0   |
| Přerušované s poklesem výsledné teploty $\theta$ větším než $7^\circ\text{C}$      | 1,0  | 1,5   |

Tab. T4.2: Hodnoty bezpečnostní teplotní přírážky pro konstrukce kromě výplně otvorů

Pro obytné místnosti s parametry vnitřního vzduchu  $\theta_{ai} = 21^\circ\text{C}$  a  $\varphi_i = 50\%$  je například hodnota kritické vnitřní povrchové teploty pro stavební konstrukce  $\theta_{si,cr} = 13,6^\circ\text{C}$  a pro výplně otvorů  $\theta_{si,cr} = 10,2^\circ\text{C}$ .

| $\theta$<br>°C | Relativní vlhkost vzduchu $\varphi$ v % |        |        |       |       |       |       |       |
|----------------|---|--------|--------|-------|-------|-------|-------|-------|
|                | 20                                      | 30     | 40     | 50    | 60    | 70    | 80    | 90    |
| 0              | -18,22                                  | -13,86 | -10,68 | -8,16 | -6,06 | -4,26 | -2,68 | -1,27 |
| 1              | -17,45                                  | -13,07 | -9,87  | -7,33 | -5,22 | -3,40 | -1,82 | -0,40 |
| 2              | -16,69                                  | -12,28 | -9,05  | -6,50 | -4,37 | -2,55 | -0,95 | -0,54 |
| 3              | -15,92                                  | -11,49 | -8,24  | -5,67 | -3,54 | -1,70 | -0,09 | 1,52  |
| 4              | -15,16                                  | -10,70 | -7,43  | -4,85 | -2,70 | -0,88 | 0,87  | 2,51  |
| 5              | -14,40                                  | -9,91  | -6,63  | -4,03 | -1,86 | -0,01 | 1,84  | 3,50  |
| 6              | -13,64                                  | -9,12  | -5,82  | -3,20 | -1,03 | 0,95  | 2,82  | 4,49  |
| 7              | -12,88                                  | -8,34  | -5,02  | -2,39 | -0,20 | 1,91  | 3,79  | 5,48  |
| 8              | -12,13                                  | -7,56  | -4,22  | -1,57 | 0,72  | 2,87  | 4,77  | 6,46  |
| 9              | -11,38                                  | -6,78  | -3,42  | -0,75 | 1,66  | 3,83  | 5,74  | 7,45  |
| 10             | -10,62                                  | -6,00  | -2,62  | 0,07  | 2,60  | 4,79  | 6,71  | 8,44  |
| 11             | -9,87                                   | -5,22  | -1,82  | 0,99  | 3,54  | 5,75  | 7,69  | 9,42  |
| 12             | -9,13                                   | -4,45  | -1,03  | 1,91  | 4,48  | 6,70  | 8,66  | 10,41 |
| 13             | -8,38                                   | -3,68  | -0,24  | 2,83  | 5,42  | 7,66  | 9,63  | 11,40 |
| 14             | -7,64                                   | -2,91  | 0,63   | 3,75  | 6,36  | 8,62  | 10,61 | 12,39 |
| 15             | -6,89                                   | -2,14  | 1,52   | 4,67  | 7,30  | 9,58  | 11,58 | 13,37 |
| 16             | -6,15                                   | -1,37  | 2,42   | 5,59  | 8,24  | 10,53 | 12,55 | 14,36 |
| 17             | -5,41                                   | -0,60  | 3,31   | 6,51  | 9,18  | 11,49 | 13,52 | 15,35 |
| 18             | -4,67                                   | 0,18   | 4,21   | 7,43  | 10,12 | 12,45 | 14,50 | 16,33 |
| 19             | -3,94                                   | 1,05   | 5,10   | 8,35  | 11,06 | 13,40 | 15,47 | 17,32 |
| 20             | -3,21                                   | 1,91   | 5,99   | 9,26  | 12,00 | 14,36 | 16,44 | 18,31 |
| 21             | -2,48                                   | 2,77   | 6,89   | 10,18 | 12,94 | 15,32 | 17,42 | 19,30 |
| 22             | -1,75                                   | 3,64   | 7,78   | 11,10 | 13,88 | 16,27 | 18,39 | 20,28 |
| 23             | -1,02                                   | 4,50   | 8,68   | 12,02 | 14,81 | 17,23 | 19,36 | 21,27 |
| 24             | -0,29                                   | 5,36   | 9,56   | 12,93 | 15,75 | 18,19 | 20,33 | 22,26 |
| 25             | 0,49                                    | 6,22   | 10,46  | 13,85 | 16,69 | 19,14 | 21,30 | 23,24 |

Tab. T 4.3: Hodnoty teploty rosného bodu

Konstrukce v prostorech, jejichž relativní vlhkost vnitřního vzduchu v zimním období je  $\varphi_i > 60\%$  a které nesplňují požadavek 4.4, musí vykazovat součinitel prostupu tepla podle ustanovení ČSN 73 0540-2. Dále musí být zajištěna bezchybná funkce konstrukce v podmínkách povrchové kondenzace a vyloučen vliv nepříznivého působení kondenzátu na navazující konstrukce, případně i zajištěn odvod kondenzátu.

U konstrukcí s větranou vzduchovou vrstvou musí část této konstrukce mezi vzduchovou vrstvou a vnějším prostředím (tzv. vnější plášť konstrukce) v zimním období vykazovat vnitřní povrchovou teplotu vyšší než je hodnota  $\theta_{si,N}$ , stanovená pro kritickou relativní vlhkost  $\varphi_{si,cr} = 90\%$  a pro bezpečnostní teplotní přírůstek  $\Delta\theta = 0,5\text{ }^{\circ}\text{C}$ .

### 4.5. PŘÍKLADY VÝPOČTU

K výpočtu dvojrozměrných teplotních polí ve stacionárním teplotním stavu se užívá program AREA, který umožňuje jednak výpočet teplotních polí podle individuálního zadání, jednak nabízí katalog běžně se vyskytujících konstrukčních detailů, pro které jsou již připraveny základní vstupní údaje a které je možno v rámci programem stanovených podmínek dále upravovat jak z hlediska rozměrů, použitých materiálů i okrajových podmínek.

Katalogový způsob výpočtu dvojrozměrných teplotních polí umožňuje rychlé a dostatečně přesné tepelně technické hodnocení tepelných mostů a je v architektonické praxi stále více využíván především pro možnost rychlého nalezení optimální varianty konstrukčního řešení jednotlivých detailů.

#### Zadání výpočtu

- Po výběru odpovídajícího detailu z katalogu se otevře tabulka *Rychlá úprava detailu*, která umožňuje úpravy materiálového a geometrického řešení detailu. Z katalogu materiálů lze vybrat odpovídající materiálové řešení jednotlivých homogenních oblastí, které posuzovaný detail vytvářejí. Stejně tak lze upravovat i oba rozměry materiálových homogenních oblastí.
- V téže tabulce program umožňuje provést kontrolu eventuálně i změnu interiérových i exteriérových okrajových podmínek, které zahrnují příslušnou teplotu vzduchu a součinitel přestupu tepla. V případě, že je požadován pouze výpočet teplotního pole a ne pole parciálních tlaků vodní páry, se vlhkostní parametry do výpočtu nezadávají.
- Veškeré změny původního zadání musí být průběžně ukládány zpět do paměti počítače.

#### Numerický výstup výpočtu

Výstupní protokol výpočtu obsahuje:

- rekapitulaci vstupních údajů
- teploty v uzlových bodech sítě
- hodnotu nejnižší povrchové teploty pro vnitřní prostředí
- hodnotu nejnižší povrchové teploty pro vnější prostředí.

#### Grafický výstup výpočtu

Program nabízí následující grafické výstupy:

- kontrolu okrajových podmínek
- průběh vybraných izoterm
- rozložení a směr tepelných toků
- zobrazení pole teplot
- průběh teplot ve zvolených řezech konstrukcí.

### Příklad 4.1

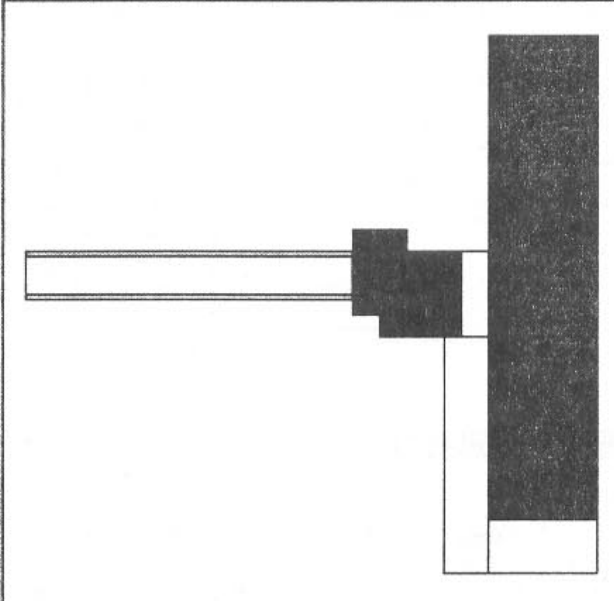
Vyčíslete nejnižší vnitřní povrchovou teplotu detailu osazení okenní konstrukce v obvodovém plášti budovy. Geometrie a materiálová skladba detailu je patrná z jednotlivých zadávacích tabulek výpočtu.

Předpokládá se tlumený způsob vytápění s poklesem výsledné teploty do 7 °C včetně.

### Zadání vstupních údajů a geometrie detailu:

Rychlá úprava detailu : 41.APF

Homogenní oblasti | Okrajové podmínky | Doplnující údaje



Číslo upravované oblasti:

Číslo upravované oblasti můžete vybrat i myší ve vedlejším schématu.

Parametry oblasti | Barva oblasti | Nastavení

Název:

Souč. tep. vodivosti  
 Lambda [W/mK]:

Faktor difuzního odporu  
 Mi [-]:

Pokud budete chtít počítat jen pole teplot, můžete zadat hodnotu Mi nulovou.

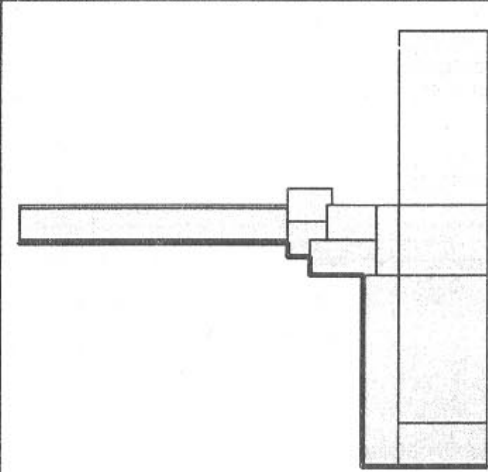
Šířka oblasti:  m

Výška oblasti:  m

Rychlá úprava detailu : 41.APF

Homogenní oblasti | Okrajové podmínky | Doplnující údaje

Číslo upravované skupiny podmínek:



Parametry podmínky | Komentář | Vliv otopných těles

Teplota:  °C

Souč. přestupu tepla:  W/m<sup>2</sup>K

Povrch:

Relativní vlhkost:  %

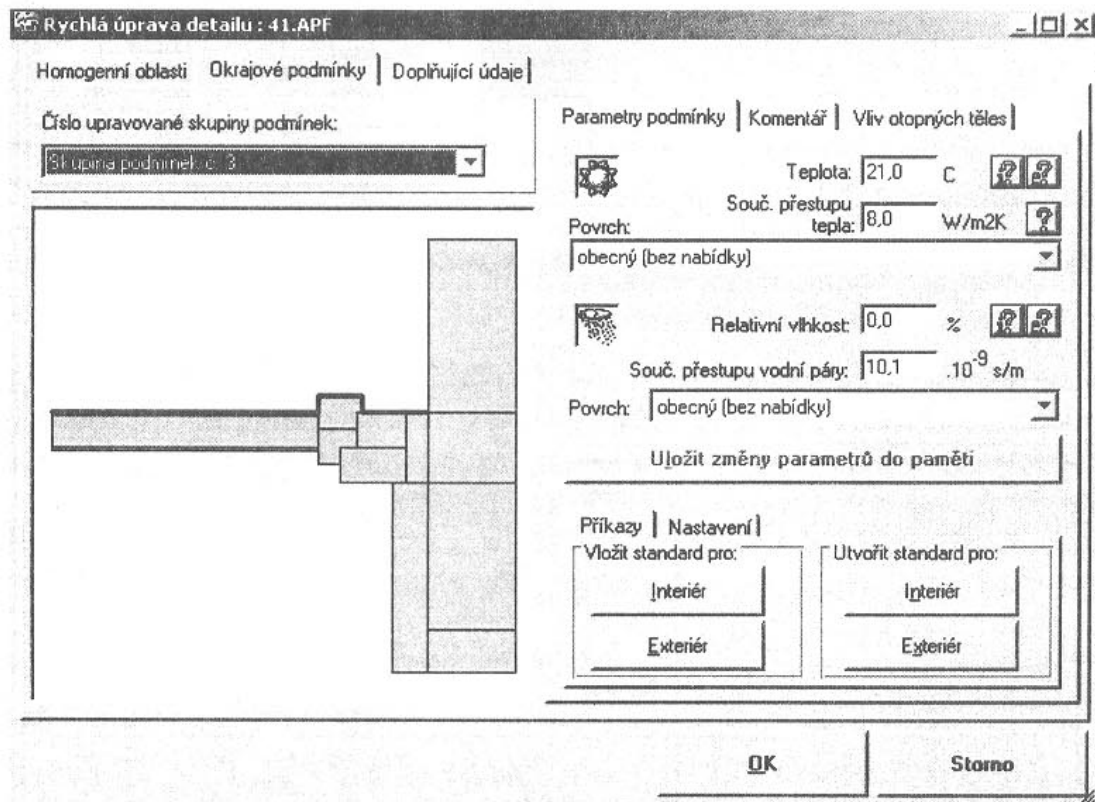
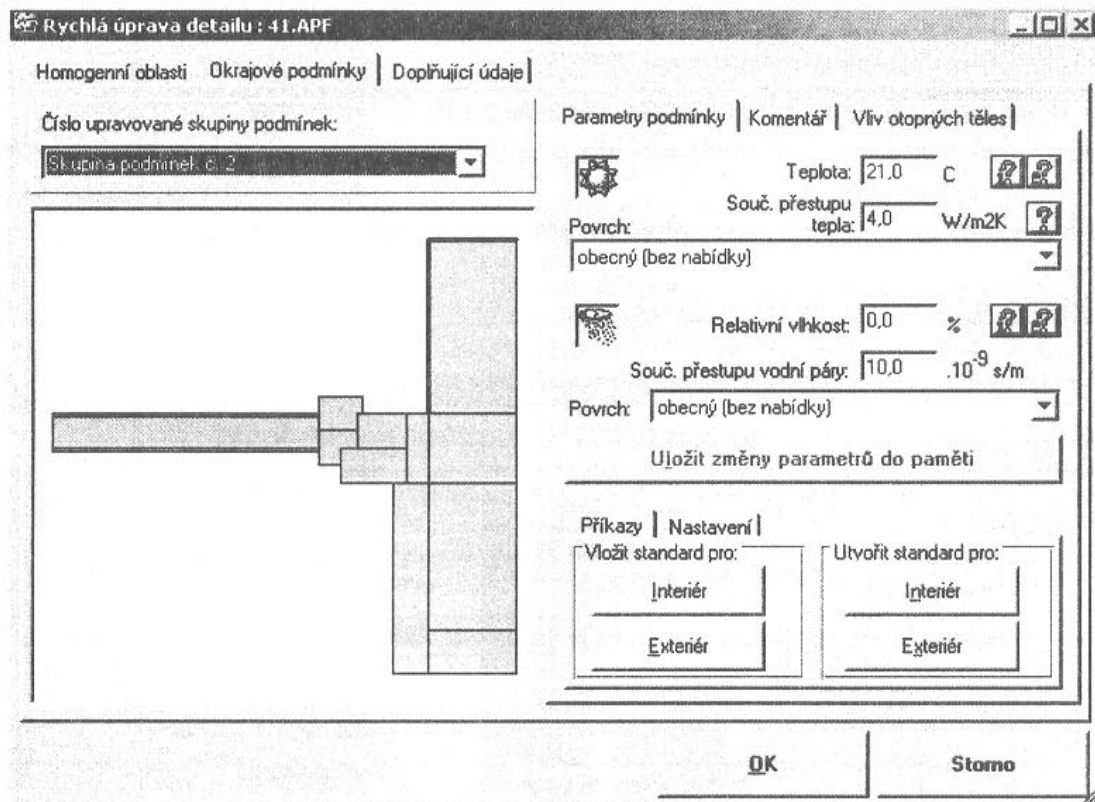
Souč. přestupu vodní páry:  · 10<sup>-9</sup> s/m

Povrch:

Příkazy | Nastavení

Vložit standard pro:

Utvorit standard pro:



## Výstupní protokol výpočtu:

**DVOUROZMĚRNÉ STACIONÁRNÍ POLE TEPLOT  
A ČÁSTEČNÝCH TLAKŮ VODNÍ PÁRY**

podle ČSN EN ISO 10211-1 a ČSN 730540 - Metoda konečných prvků

## Area 2005

Název úlohy : Ostění  
 Varianta  
 Zpracovatel : FK  
 Zakázka : SFII  
 Datum : říjen 2005

**KONTROLNÍ TISK VSTUPNÍCH DAT :****Základní parametry úlohy :**Parametry pro výpočet teplotního faktoru:

Teplota vzduchu v exteriéru: -15.0 C  
 Teplota vzduchu v interiéru: 21.0 C

Parametry charakterizující rozsah úlohy:

Počet svislých os: 126  
 Počet vodorovných os: 200  
 Počet prvků: 49750  
 Počet uzlových bodů: 25200

Souřadnice os sítě - osa x (m) :

|        |        |        |        |        |        |        |        |        |        |
|--------|--------|--------|--------|--------|--------|--------|--------|--------|--------|
| 0.0000 | 0.0031 | 0.0062 | 0.0093 | 0.0124 | 0.0155 | 0.0186 | 0.0217 | 0.0248 | 0.0279 |
| 0.0310 | 0.0341 | 0.0372 | 0.0403 | 0.0434 | 0.0465 | 0.0496 | 0.0527 | 0.0558 | 0.0589 |
| 0.0620 | 0.0651 | 0.0682 | 0.0713 | 0.0744 | 0.0775 | 0.0806 | 0.0837 | 0.0868 | 0.0899 |
| 0.0930 | 0.0961 | 0.0992 | 0.1022 | 0.1052 | 0.1082 | 0.1112 | 0.1142 | 0.1172 | 0.1202 |
| 0.1232 | 0.1272 | 0.1312 | 0.1352 | 0.1392 | 0.1436 | 0.1480 | 0.1524 | 0.1568 | 0.1612 |
| 0.1656 | 0.1700 | 0.1744 | 0.1794 | 0.1844 | 0.1894 | 0.1944 | 0.1994 | 0.2056 | 0.2119 |
| 0.2182 | 0.2244 | 0.2291 | 0.2338 | 0.2385 | 0.2432 | 0.2479 | 0.2526 | 0.2573 | 0.2620 |
| 0.2667 | 0.2714 | 0.2761 | 0.2808 | 0.2855 | 0.2902 | 0.2949 | 0.2996 | 0.3043 | 0.3090 |
| 0.3137 | 0.3184 | 0.3231 | 0.3278 | 0.3325 | 0.3372 | 0.3419 | 0.3466 | 0.3513 | 0.3560 |
| 0.3607 | 0.3654 | 0.3701 | 0.3748 | 0.3795 | 0.3842 | 0.3889 | 0.3936 | 0.3983 | 0.4030 |
| 0.4077 | 0.4124 | 0.4171 | 0.4218 | 0.4265 | 0.4312 | 0.4359 | 0.4406 | 0.4453 | 0.4500 |
| 0.4547 | 0.4594 | 0.4641 | 0.4688 | 0.4735 | 0.4782 | 0.4829 | 0.4876 | 0.4923 | 0.4970 |
| 0.5017 | 0.5064 | 0.5111 | 0.5158 | 0.5205 | 0.5252 |        |        |        |        |

Souřadnice os sítě - osa y (m) :

|        |        |        |        |        |        |        |        |        |        |
|--------|--------|--------|--------|--------|--------|--------|--------|--------|--------|
| 0.0000 | 0.0031 | 0.0062 | 0.0093 | 0.0124 | 0.0155 | 0.0186 | 0.0217 | 0.0248 | 0.0279 |
| 0.0310 | 0.0341 | 0.0372 | 0.0403 | 0.0434 | 0.0465 | 0.0496 | 0.0524 | 0.0552 | 0.0580 |
| 0.0608 | 0.0636 | 0.0664 | 0.0692 | 0.0720 | 0.0748 | 0.0776 | 0.0804 | 0.0832 | 0.0860 |
| 0.0888 | 0.0916 | 0.0944 | 0.0972 | 0.1000 | 0.1028 | 0.1056 | 0.1084 | 0.1112 | 0.1140 |
| 0.1168 | 0.1196 | 0.1224 | 0.1252 | 0.1280 | 0.1308 | 0.1336 | 0.1364 | 0.1392 | 0.1417 |
| 0.1442 | 0.1467 | 0.1492 | 0.1517 | 0.1542 | 0.1567 | 0.1592 | 0.1617 | 0.1642 | 0.1667 |
| 0.1692 | 0.1717 | 0.1742 | 0.1767 | 0.1792 | 0.1817 | 0.1842 | 0.1867 | 0.1892 | 0.1917 |
| 0.1942 | 0.1967 | 0.1992 | 0.2017 | 0.2042 | 0.2067 | 0.2092 | 0.2117 | 0.2142 | 0.2167 |
| 0.2192 | 0.2217 | 0.2242 | 0.2267 | 0.2292 | 0.2317 | 0.2342 | 0.2367 | 0.2392 | 0.2411 |
| 0.2430 | 0.2449 | 0.2468 | 0.2487 | 0.2506 | 0.2525 | 0.2544 | 0.2554 | 0.2564 | 0.2574 |
| 0.2584 | 0.2594 | 0.2606 | 0.2618 | 0.2630 | 0.2642 | 0.2654 | 0.2666 | 0.2678 | 0.2690 |
| 0.2702 | 0.2714 | 0.2726 | 0.2738 | 0.2750 | 0.2762 | 0.2775 | 0.2787 | 0.2807 | 0.2827 |
| 0.2847 | 0.2867 | 0.2887 | 0.2907 | 0.2927 | 0.2947 | 0.2967 | 0.2987 | 0.3012 | 0.3037 |
| 0.3062 | 0.3087 | 0.3112 | 0.3137 | 0.3162 | 0.3187 | 0.3215 | 0.3243 | 0.3271 | 0.3299 |
| 0.3327 | 0.3355 | 0.3383 | 0.3411 | 0.3439 | 0.3467 | 0.3495 | 0.3523 | 0.3551 | 0.3579 |

## Nejnižší vnitřní povrchová teplota

|        |        |        |        |        |        |        |        |        |        |
|--------|--------|--------|--------|--------|--------|--------|--------|--------|--------|
| 0.3607 | 0.3635 | 0.3663 | 0.3691 | 0.3719 | 0.3747 | 0.3775 | 0.3803 | 0.3831 | 0.3859 |
| 0.3887 | 0.3915 | 0.3943 | 0.3971 | 0.3999 | 0.4027 | 0.4055 | 0.4083 | 0.4111 | 0.4139 |
| 0.4167 | 0.4195 | 0.4223 | 0.4251 | 0.4279 | 0.4307 | 0.4335 | 0.4363 | 0.4391 | 0.4419 |
| 0.4447 | 0.4475 | 0.4503 | 0.4531 | 0.4559 | 0.4587 | 0.4615 | 0.4643 | 0.4671 | 0.4699 |
| 0.4727 | 0.4755 | 0.4783 | 0.4811 | 0.4839 | 0.4867 | 0.4895 | 0.4923 | 0.4951 | 0.4979 |

### Zadané materiály :

| č. | Název               | Lambda | Mi          | X1 | X2  | Y1  | Y2  |
|----|---------------------|--------|-------------|----|-----|-----|-----|
| 1  | Dřevo               | 0.1800 | 157.0000    | 53 | 62  | 118 | 136 |
| 2  | Dřevo               | 0.1800 | 157.0000    | 54 | 62  | 89  | 118 |
| 3  | Sklo stavební       | 0.7600 | 700000.0000 | 62 | 126 | 97  | 128 |
| 4  | Pen.polyuretan      | 0.0480 | 2.5000      | 33 | 41  | 81  | 128 |
| 5  | Vzduch tl.37 mm     | 0.1850 | 1.0000      | 62 | 126 | 101 | 126 |
| 6  | Dřevo               | 0.1800 | 157.0000    | 41 | 54  | 102 | 128 |
| 7  | Dřevo               | 0.1800 | 157.0000    | 41 | 58  | 81  | 102 |
| 8  | Zdivo CP 2          | 0.8600 | 9.0000      | 1  | 33  | 17  | 81  |
| 9  | Zdivo CP 2          | 0.8600 | 9.0000      | 1  | 33  | 81  | 128 |
| 10 | Zdivo CP 2          | 0.8600 | 9.0000      | 1  | 33  | 128 | 200 |
| 11 | Pěnový polystyren 2 | 0.0440 | 50.0000     | 1  | 33  | 1   | 17  |
| 12 | Pěnový polystyren 2 | 0.0440 | 50.0000     | 33 | 45  | 1   | 81  |

### Zadané okrajové podmínky a jejich rozmístění :

| číslo | 1.uzel | 2.uzel | Teplota [C] | h [W/m2K] | Pd [kPa] | h,p [s/m] |
|-------|--------|--------|-------------|-----------|----------|-----------|
| 1     | 1      | 6401   | -15.00      | 23.00     | 0.00     | 20.00     |
| 2     | 6401   | 8801   | -15.00      | 23.00     | 0.00     | 20.00     |
| 3     | 8801   | 8881   | -15.00      | 23.00     | 0.00     | 20.00     |
| 4     | 8881   | 11481  | -15.00      | 23.00     | 0.00     | 20.00     |
| 5     | 11481  | 11489  | -15.00      | 23.00     | 0.00     | 20.00     |
| 6     | 11489  | 12289  | -15.00      | 23.00     | 0.00     | 20.00     |
| 7     | 12289  | 12297  | -15.00      | 23.00     | 0.00     | 20.00     |
| 8     | 12297  | 25097  | -15.00      | 23.00     | 0.00     | 20.00     |
| 9     | 200    | 6600   | 21.00       | 4.00      | 0.00     | 10.00     |
| 10    | 6528   | 6600   | 21.00       | 4.00      | 0.00     | 10.00     |
| 11    | 6528   | 8128   | 21.00       | 8.00      | 0.00     | 10.10     |
| 12    | 8128   | 10528  | 21.00       | 8.00      | 0.00     | 10.10     |
| 13    | 10528  | 10536  | 21.00       | 8.00      | 0.00     | 10.10     |
| 14    | 10536  | 12336  | 21.00       | 8.00      | 0.00     | 10.10     |
| 15    | 12328  | 12336  | 21.00       | 8.00      | 0.00     | 10.10     |
| 16    | 12328  | 25128  | 21.00       | 8.00      | 0.00     | 10.10     |

### TEPLOTY (ve stupních Celsia) : (příklad výpisu, kráceno)

|     | 26    | 25    | 24    | 23    | 22    | 21    | 20    | 19    | 18    | 17    |
|-----|-------|-------|-------|-------|-------|-------|-------|-------|-------|-------|
| 200 | 18.14 | 18.11 | 18.08 | 18.05 | 18.03 | 18.00 | 17.98 | 17.95 | 17.93 | 17.91 |
| 199 | 18.10 | 18.07 | 18.04 | 18.01 | 17.99 | 17.96 | 17.94 | 17.91 | 17.89 | 17.87 |
| 198 | 18.06 | 18.03 | 18.00 | 17.97 | 17.95 | 17.92 | 17.90 | 17.87 | 17.85 | 17.83 |
| 197 | 18.02 | 17.99 | 17.96 | 17.93 | 17.90 | 17.88 | 17.85 | 17.83 | 17.81 | 17.79 |
| 196 | 17.98 | 17.95 | 17.92 | 17.89 | 17.86 | 17.84 | 17.81 | 17.79 | 17.76 | 17.74 |
| 195 | 17.94 | 17.91 | 17.88 | 17.85 | 17.82 | 17.79 | 17.77 | 17.74 | 17.72 | 17.70 |
| 194 | 17.90 | 17.86 | 17.83 | 17.80 | 17.78 | 17.75 | 17.72 | 17.70 | 17.67 | 17.65 |
| 193 | 17.85 | 17.82 | 17.79 | 17.76 | 17.73 | 17.70 | 17.68 | 17.65 | 17.63 | 17.61 |
| 192 | 17.81 | 17.78 | 17.74 | 17.71 | 17.68 | 17.66 | 17.63 | 17.60 | 17.58 | 17.56 |
| 191 | 17.76 | 17.73 | 17.70 | 17.67 | 17.64 | 17.61 | 17.58 | 17.56 | 17.53 | 17.51 |
| 190 | 17.72 | 17.68 | 17.65 | 17.62 | 17.59 | 17.56 | 17.53 | 17.51 | 17.48 | 17.46 |
| 189 | 17.67 | 17.63 | 17.60 | 17.57 | 17.54 | 17.51 | 17.48 | 17.46 | 17.43 | 17.41 |
| 188 | 17.62 | 17.59 | 17.55 | 17.52 | 17.49 | 17.46 | 17.43 | 17.40 | 17.38 | 17.35 |
| 187 | 17.57 | 17.54 | 17.50 | 17.47 | 17.44 | 17.41 | 17.38 | 17.35 | 17.33 | 17.30 |
| 186 | 17.52 | 17.48 | 17.45 | 17.42 | 17.38 | 17.35 | 17.32 | 17.30 | 17.27 | 17.25 |
| 185 | 17.47 | 17.43 | 17.40 | 17.36 | 17.33 | 17.30 | 17.27 | 17.24 | 17.22 | 17.19 |
| 184 | 17.41 | 17.38 | 17.34 | 17.31 | 17.27 | 17.24 | 17.21 | 17.19 | 17.16 | 17.13 |
| 183 | 17.36 | 17.32 | 17.29 | 17.25 | 17.22 | 17.19 | 17.16 | 17.13 | 17.10 | 17.07 |
| 182 | 17.30 | 17.27 | 17.23 | 17.19 | 17.16 | 17.13 | 17.10 | 17.07 | 17.04 | 17.01 |

|     |       |       |       |       |       |       |       |       |       |       |
|-----|-------|-------|-------|-------|-------|-------|-------|-------|-------|-------|
| 181 | 17.25 | 17.21 | 17.17 | 17.14 | 17.10 | 17.07 | 17.04 | 17.01 | 16.98 | 16.95 |
| 180 | 17.19 | 17.15 | 17.11 | 17.08 | 17.04 | 17.01 | 16.98 | 16.95 | 16.92 | 16.89 |
| 179 | 17.13 | 17.09 | 17.05 | 17.02 | 16.98 | 16.95 | 16.91 | 16.88 | 16.86 | 16.83 |
| 178 | 17.07 | 17.03 | 16.99 | 16.95 | 16.92 | 16.88 | 16.85 | 16.82 | 16.79 | 16.76 |
| 177 | 17.01 | 16.97 | 16.93 | 16.89 | 16.85 | 16.82 | 16.79 | 16.76 | 16.73 | 16.70 |
| 176 | 16.95 | 16.90 | 16.86 | 16.83 | 16.79 | 16.75 | 16.72 | 16.69 | 16.66 | 16.63 |
| 175 | 16.88 | 16.84 | 16.80 | 16.76 | 16.72 | 16.69 | 16.65 | 16.62 | 16.59 | 16.56 |
| 174 | 16.82 | 16.77 | 16.73 | 16.69 | 16.65 | 16.62 | 16.58 | 16.55 | 16.52 | 16.49 |
| 173 | 16.75 | 16.71 | 16.66 | 16.62 | 16.59 | 16.55 | 16.51 | 16.48 | 16.45 | 16.42 |
| 172 | 16.68 | 16.64 | 16.59 | 16.55 | 16.51 | 16.48 | 16.44 | 16.41 | 16.38 | 16.35 |
| 171 | 16.61 | 16.57 | 16.52 | 16.48 | 16.44 | 16.40 | 16.37 | 16.33 | 16.30 | 16.27 |
| 170 | 16.54 | 16.49 | 16.45 | 16.41 | 16.37 | 16.33 | 16.29 | 16.26 | 16.23 | 16.19 |
| 169 | 16.47 | 16.42 | 16.38 | 16.33 | 16.29 | 16.25 | 16.22 | 16.18 | 16.15 | 16.12 |
| 168 | 16.39 | 16.35 | 16.30 | 16.26 | 16.22 | 16.18 | 16.14 | 16.10 | 16.07 | 16.04 |
| 167 | 16.32 | 16.27 | 16.22 | 16.18 | 16.14 | 16.10 | 16.06 | 16.02 | 15.99 | 15.96 |
| 166 | 16.24 | 16.19 | 16.15 | 16.10 | 16.06 | 16.02 | 15.98 | 15.94 | 15.91 | 15.87 |
| 165 | 16.16 | 16.11 | 16.06 | 16.02 | 15.98 | 15.93 | 15.90 | 15.86 | 15.82 | 15.79 |
| 164 | 16.08 | 16.03 | 15.98 | 15.94 | 15.89 | 15.85 | 15.81 | 15.77 | 15.74 | 15.70 |
| 163 | 16.00 | 15.95 | 15.90 | 15.85 | 15.81 | 15.77 | 15.73 | 15.69 | 15.65 | 15.62 |
| 162 | 15.91 | 15.86 | 15.81 | 15.77 | 15.72 | 15.68 | 15.64 | 15.60 | 15.56 | 15.53 |
| 161 | 15.83 | 15.78 | 15.73 | 15.68 | 15.63 | 15.59 | 15.55 | 15.51 | 15.47 | 15.44 |
| 160 | 15.74 | 15.69 | 15.64 | 15.59 | 15.54 | 15.50 | 15.46 | 15.42 | 15.38 | 15.34 |
| 159 | 15.65 | 15.60 | 15.55 | 15.50 | 15.45 | 15.41 | 15.36 | 15.32 | 15.29 | 15.25 |
| 158 | 15.56 | 15.51 | 15.45 | 15.40 | 15.36 | 15.31 | 15.27 | 15.23 | 15.19 | 15.15 |
| 157 | 15.47 | 15.41 | 15.36 | 15.31 | 15.26 | 15.22 | 15.17 | 15.13 | 15.09 | 15.06 |
| 156 | 15.37 | 15.32 | 15.26 | 15.21 | 15.16 | 15.12 | 15.07 | 15.03 | 14.99 | 14.96 |
| 155 | 15.28 | 15.22 | 15.16 | 15.11 | 15.06 | 15.02 | 14.97 | 14.93 | 14.89 | 14.85 |
| 154 | 15.18 | 15.12 | 15.06 | 15.01 | 14.96 | 14.91 | 14.87 | 14.83 | 14.79 | 14.75 |
| 153 | 15.08 | 15.02 | 14.96 | 14.91 | 14.86 | 14.81 | 14.76 | 14.72 | 14.68 | 14.64 |
| 152 | 14.97 | 14.91 | 14.86 | 14.80 | 14.75 | 14.70 | 14.66 | 14.61 | 14.57 | 14.54 |
| 151 | 14.87 | 14.81 | 14.75 | 14.70 | 14.64 | 14.59 | 14.55 | 14.51 | 14.46 | 14.43 |
| 150 | 14.76 | 14.70 | 14.64 | 14.59 | 14.53 | 14.48 | 14.44 | 14.39 | 14.35 | 14.31 |
| 149 | 14.65 | 14.59 | 14.53 | 14.47 | 14.42 | 14.37 | 14.32 | 14.28 | 14.24 | 14.20 |
| 148 | 14.54 | 14.47 | 14.41 | 14.36 | 14.31 | 14.26 | 14.21 | 14.16 | 14.12 | 14.08 |
| 147 | 14.42 | 14.36 | 14.30 | 14.24 | 14.19 | 14.14 | 14.09 | 14.05 | 14.00 | 13.96 |
| 146 | 14.30 | 14.24 | 14.18 | 14.12 | 14.07 | 14.02 | 13.97 | 13.93 | 13.88 | 13.84 |
| 145 | 14.18 | 14.12 | 14.06 | 14.00 | 13.95 | 13.90 | 13.85 | 13.80 | 13.76 | 13.72 |
| 144 | 14.06 | 13.99 | 13.93 | 13.88 | 13.82 | 13.77 | 13.72 | 13.68 | 13.64 | 13.60 |
| 143 | 13.93 | 13.87 | 13.81 | 13.75 | 13.69 | 13.64 | 13.59 | 13.55 | 13.51 | 13.47 |
| 142 | 13.80 | 13.74 | 13.68 | 13.62 | 13.56 | 13.51 | 13.46 | 13.42 | 13.38 | 13.34 |
| 141 | 13.67 | 13.60 | 13.54 | 13.48 | 13.43 | 13.38 | 13.33 | 13.29 | 13.25 | 13.21 |
| 140 | 13.53 | 13.47 | 13.41 | 13.35 | 13.29 | 13.24 | 13.20 | 13.15 | 13.11 | 13.07 |
| 139 | 13.40 | 13.33 | 13.27 | 13.21 | 13.16 | 13.11 | 13.06 | 13.01 | 12.97 | 12.94 |
| 138 | 13.25 | 13.19 | 13.12 | 13.07 | 13.01 | 12.96 | 12.92 | 12.87 | 12.83 | 12.80 |
| 137 | 13.11 | 13.04 | 12.98 | 12.92 | 12.87 | 12.82 | 12.77 | 12.73 | 12.69 | 12.66 |

**NEJNIŽŠÍ POVRCHOVÉ TEPLoty A HUSToty TEPELNÉHO TOKU:**

| Prostředí | T [C] | h [W/m <sup>2</sup> K] | R.H. [%] | Ts,min [C] | Tep.tok Q [W/m] | Propust. L [W/mK] |
|-----------|-------|------------------------|----------|------------|-----------------|-------------------|
| 1         | -15.0 | 23.0                   | ???      | -14.98     | -40.927         | 1.137             |
| 2         | 21.0  | 4.0                    | ???      | 12.42      | 5.058           | 0.141             |
| 3         | 21.0  | 8.0                    | ???      | 9.01       | 35.870          | 0.996             |

Vysvětlivky:

- T zadaná teplota v daném prostředí [C]
- h zadaný součinitel přestupu tepla v daném prostředí [W/m<sup>2</sup>K]
- R.H. zadaná relativní vlhkost v daném prostředí [%]
- Ts,min minimální povrchová teplota v daném prostředí [C]
- Tep.tok Q hustota tepelného toku z daného prostředí [W/m]  
(hodnota je vztažena na 1m délky tepelného mostu, přičemž ztráta je kladná a zisk je záporný)
- Propust. L tepelná propustnost mezi daným prostředím a okolím [W/mK]  
(lze určit jen pro maximálně 2 prostředí; pro určité charakteristické výšky lze získat průměrný součinitel prostupu tepla vydělením hodnoty L šířkou hodnoceného výseku konstrukce)

# Nejnižší vnitřní povrchová teplota

## NEJNIŽŠÍ POVRCHOVÉ TEPLoty, TEPLOTNÍ FAKTORY A RIZIKO KONDENZACE:

| Prostředí | Tw [C] | Ts,min [C] | f,Rsi [-] | KOND. | RH,max [%] | T,min [C] |
|-----------|--------|------------|-----------|-------|------------|-----------|
| 1         | ???    | -14.98     | 0.00      | ??    | ---        | ---       |
| 2         | ???    | 12.42      | 0.76      | ??    | ---        | ---       |
| 3         | ???    | 9.01       | 0.67      | ??    | ---        | ---       |

Vysvětlivky:

Tw teplota rosného bodu v daném prostředí [C] - lze určit jen pro teploty do 100 C  
 Ts,min minimální povrchová teplota v daném prostředí [C]  
 f,Rsi teplotní faktor dle ČSN EN ISO 10211-1 a ČSN EN ISO 13788 [-]  
 (rozdíl minimální povrchové teploty a teploty vnějšího vzduchu podělený rozdílem vnitřní ( 21.0 C) a vnější (-15.0 C) teploty - lze určit jen pro max. 2 prostředí a pro rozdílnou vnitřní a vnější teplotu)  
 KOND. označuje vznik povrchové kondenzace  
 RH,max maximální možná relativní vlhkost při dané teplotě v daném prostředí, která zajistí odstranění povrchové kondenzace [%]  
 T,min minimální potřebná teplota při dané absolutní vlhkosti v daném prostředí, která zajistí odstranění povrchové kondenzace [C] - platí jen pro případ dvou prostředí

Poznámka: Zde uvedené vyhodnocení rizika kondenzace neodpovídá hodnocení ani podle ČSN 730540, ani podle ČSN EN ISO 13788 (neobsahuje bezpečnostní přírážky). Pro vyhodnocení výsledků podle těchto norem je nutné použít postup dle čl. 5.1 v ČSN 730540-2 či čl. 5 v ČSN EN ISO 13788.

### ODHAD CHYBY VÝPOČTU:

Součet tepelných toků: 0.0013 W/m  
 Součet abs.hodnot tep.toků: 81.8547 W/m  
 Podíl: 0.0000  
 Podíl je menší než 0.001 - požadavek ČSN EN ISO 10211-1 je splněn.

STOP, Area 2005

### Grafický výstup výpočtu:

Požadavky ČSN 730540-2 'Teplná ochrana budov', Změna 1 (2005)

Požadavky ČSN 730540-2 Požadavky Vyhlášky č. 291

Vnitřní povrchová teplota | Souč. prostupu tepla | Lin. činitel prostupu | Šíření vlhkosti |  
 Stěny, střechy, stropy a podlahy | Výplně a rámy oken a dveří |

Okrajové podmínky:  
 Návrhová teplota vnitřního vzduchu Tai [C]: 21 ?  
 Pozn.: Návrhová teplota vnitřního vzduchu se stanoví orientačně dle ČSN 730540-3, čl. 8.2.3 ze vztahu:  $T_{ai} = T_i + \Delta T_{ai}$ , kde  $T_i$  je návrhová vnitřní teplota dle tab.11 v ČSN 730540-3 (pro byt. a obč. stavby obvykle 20 C) a  $\Delta T_{ai}$  je přírážka podle ČSN 730540-3, tab.12

Rel. vlhkost vzduchu v interiéru Fii [%]: 50 Teplota v exteriéru Te [C]: -15 ?

Typ konstrukce:  
 konstrukce těžká  
 konstrukce lehká, tj. konstrukce s plošnou hmotností vrstev od interiéru k tep. izolaci včetně do 100 kg/m<sup>2</sup>

Způsob vytápění:  
 nepřerušované  
 tlumené s poklesem výsl. teploty do 7 K  
 přerušované s poklesem výsledné teploty nad 7 K včetně

Požadavek ČSN 730540-2/Z1 (2005), čl. 5.1:  
 Minimální požadovaná vnitřní povrchová teplota ve všech místech konstrukce v zimním období:  
 Tsi,N = 14,07 C

Doplňující údaje:

Výpočet proveden dle ČSN 730540-2, čl. 5.1.

**Výpočet požadavku**

Návrat

Požadavky ČSN 730540-2 'Tepelná ochrana budov', Změna 1 (2005)

Požadavky ČSN 730540-2      Požadavky Vyhlášky č. 291

Vnitřní povrchová teplota | Souč. prostupu tepla | Lin. činitel prostupu | Šíření vlhkosti

Stěny, střechy, stropy a podlahy | **Výplně a rámy oken a dveří**

Okrajové podmínky:  
 Návrhová teplota vnitřního vzduchu  $T_{ai}$  [C]: 21 ?  
 Pozn.: Návrhová teplota vnitřního vzduchu se stanoví orientačně dle ČSN 730540-3, čl. 8.2.3 ze vztahu:  $T_{ai} = T_i + \Delta T_{ai}$ , kde  $T_i$  je návrhová vnitřní teplota dle tab.11 v ČSN 730540-3 (pro byt a obc. stavby obvykle 20 C) a  $\Delta T_{ai}$  je přírůžka podle ČSN 730540-3, tab.12.

Rel. vlhkost vzduchu v interiéru  $F_i$  [%]: 50      Teplota v exteriéru  $T_e$  [C]: -15 ?

Vliv otopné soustavy:  
 otopná tělesa pod okny  
 otopná tělesa mimo okna, podlahové vytápění, sálavé vytápění

Způsob vytápění:  
 nepřerušované  
 tlumené s poklesem výsl. teploty do 7 K  
 přerušované s poklesem výsledné teploty nad 7 K včetně

Požadavek ČSN 730540-2/Z1 (2005), čl. 5.1:  
 Minimální požadovaná vnitřní povrchová teplota ve všech místech konstrukce v zimním období:  
 $T_{si,N} = 9,69$  C

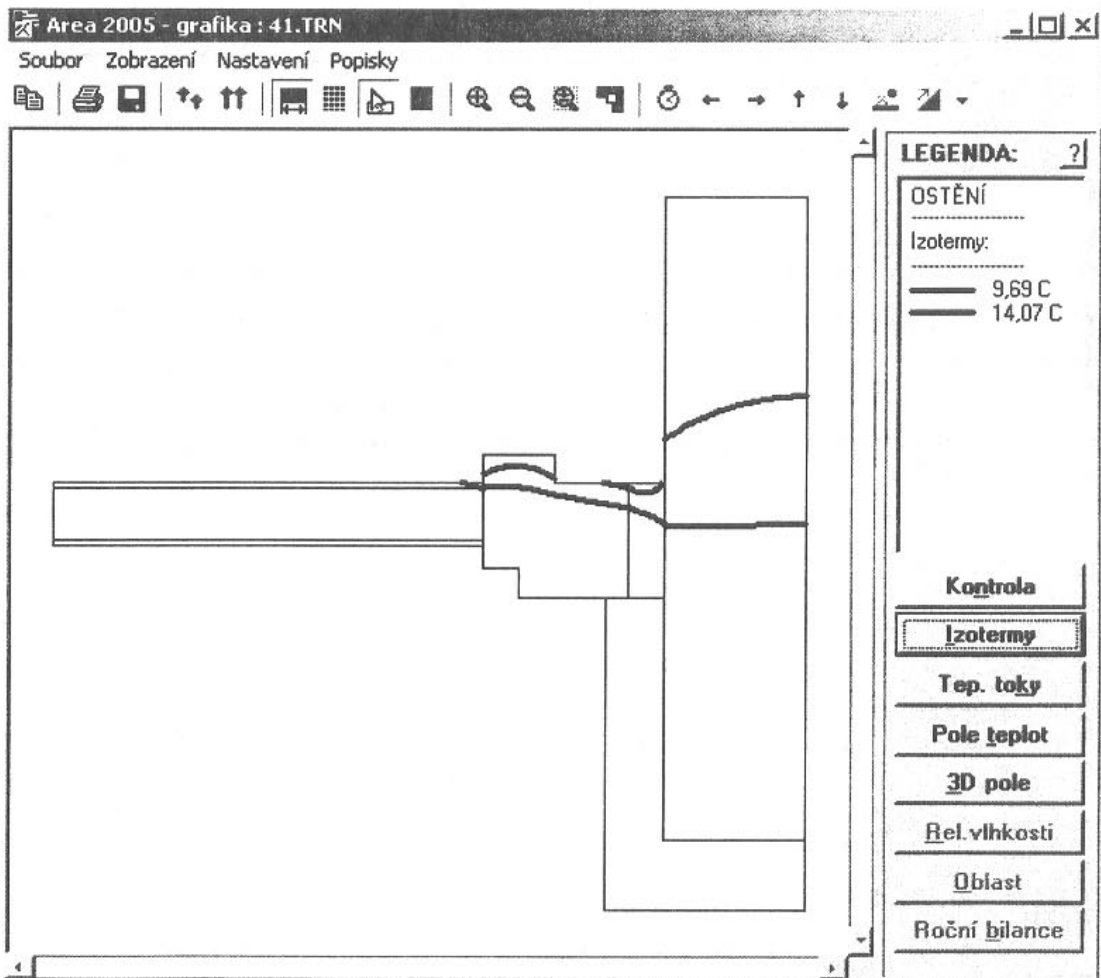
Doplňující údaje:

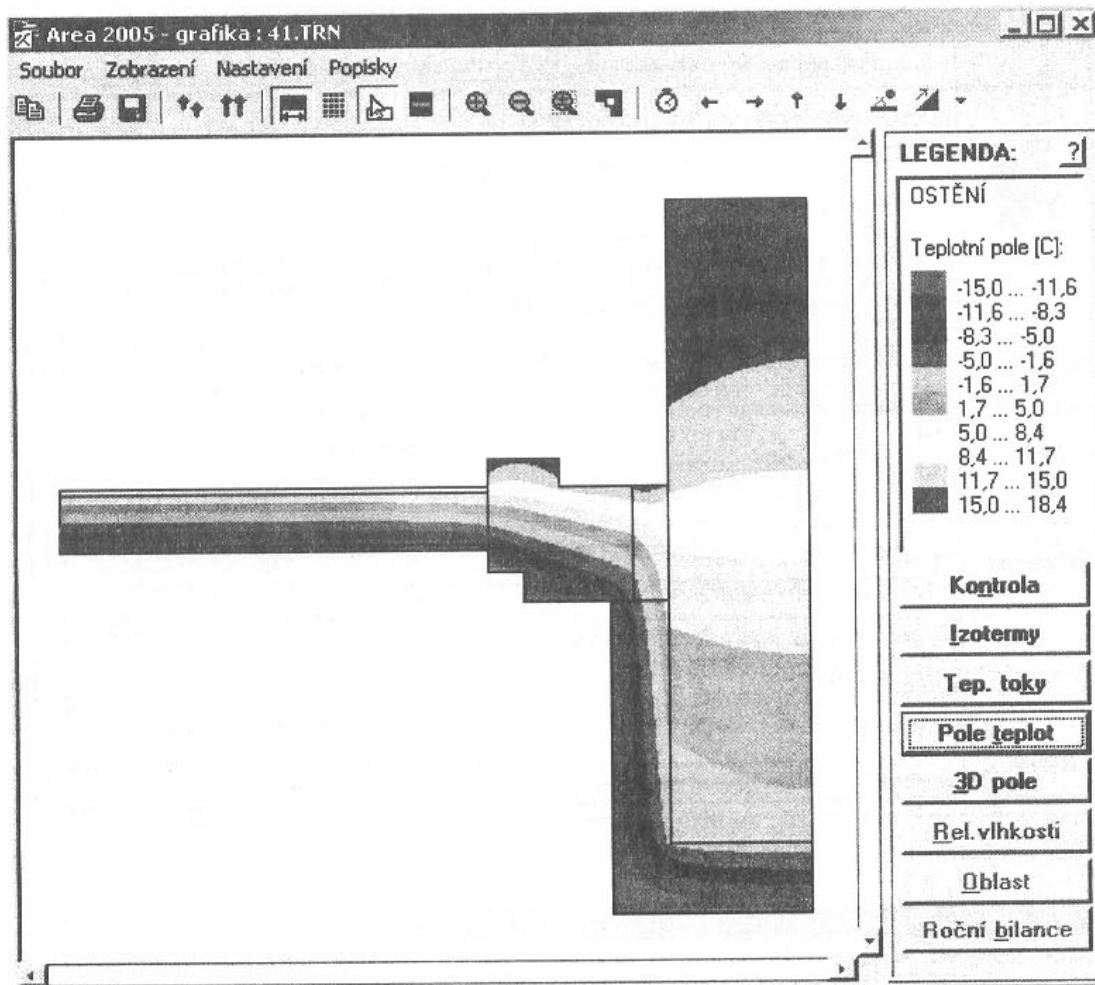
Výpočet proveden dle ČSN 730540-2, čl. 5.1.

**Výpočet požadavku**

**Návrat**

Ve vedlejším panelu jsou uvedeny požadavky ČSN 730540, které je možné hodnotit tímto programem.





## Posouzení:

Z numerického výstupu výpočtu je patrné, že minimální hodnota teploty vnitřního povrchu ostění je  $\theta_{si,min} = 12,42^{\circ}\text{C}$  a teplota povrchu okenní konstrukce je  $\theta_{si,min} = 9,01^{\circ}\text{C}$ , zatímco normou požadované hodnoty minimálních teplot jsou  $\theta_{si,N} = 14,07^{\circ}\text{C}$ , respektive  $\theta_{si,N} = 9,69^{\circ}\text{C}$ . Posuzovaný detail tedy nesplňuje normové požadavky.

Ke stejnému závěru lze dospět i z průběhu izoterm normových teplot, které obě protínají vnitřní povrch odpovídajících částí detailu.

## 5. POKLES DOTYKOVÉ TEPLoty PODLAHOVÉ KONSTRUKCE

Stanovením poklesu dotykové teploty podlahové konstrukce hodnotíme podlahu z hlediska odnímatelnosti tepla, to znamená z hlediska kontaktního ochlazovacího účinku na lidský organismus.

Při dotyku nohy s povrchem podlahové konstrukce dochází k ochlazení nohy, přičemž intenzita ochlazení závisí na povrchové teplotě podlahové konstrukce a především na odnímatelnosti tepla podlahové konstrukce jako celku. Jedná se o klasický případ neustáleného teplotního stavu, kdy sledujeme změnu teploty v kontaktní ploše mezi lidskou nohou a nášlapnou vrstvou podlahy.

Tepelná jímavost podlahy se určuje v zimním období za předpokladu neustáleného teplotního stavu a za těchto okrajových podmínek:

- počáteční teplota povrchu nohy  $\theta_k = 33^\circ\text{C}$
- doba kontaktu nohy s podlahovou konstrukcí  $t = 600$  sekund.

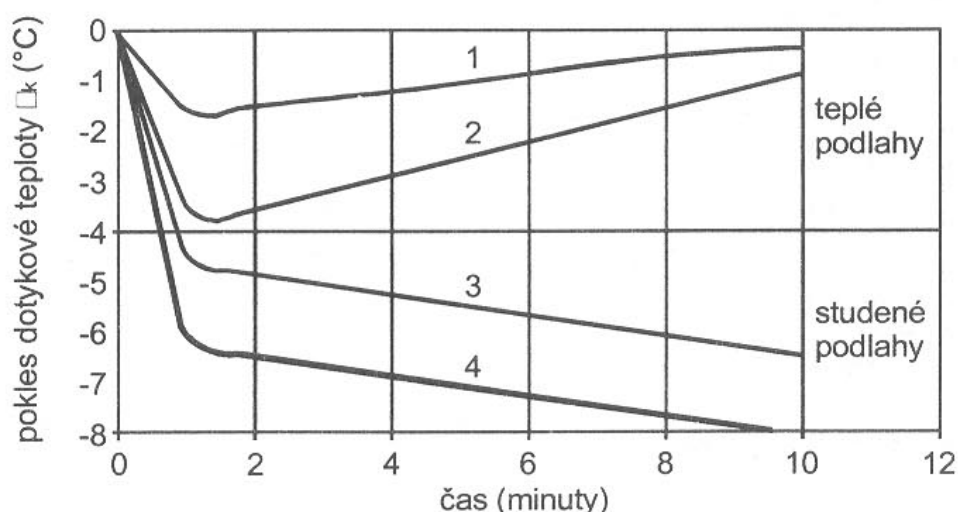
S ohledem na časovou změnu kontaktní teploty lze normativní dobu 600 sekund rozdělit na dvě základní stadia:

- počáteční stadium, kdy po krátké počáteční prodlevě dochází k poklesu kontaktní teploty nohy,
- stadium reakce, kdy se začíná uplatňovat termoregulační systém lidského těla, dochází k přísunu tepla z těla ke kontaktní ploše.

Podle schopnosti podlahy odnímat teplo pak dochází ve stadiu reakce buď

- k dalšímu ( i když pozvolnějšimu ) poklesu kontaktní teploty a podlahu pak zařazujeme do kategorie studených podlah, nebo
- k nárůstu kontaktní teploty a pak podlahu řadíme do kategorie podlah teplých.

Charakteristický průběh kontaktní teploty pro některé typy nášlapných podlahových vrstev je na obr. 5.1.



Obr. 5.1: Průběh poklesu dotykové teploty vybraných podlahových konstrukcí dle [4]  
1 - korkové parkety; 2 - dřevěná podlaha; 3 - PVC Izolit; 4 - betonová podlaha

## 5.1. VÝPOČET POKLESU DOTYKOVÉ TEPLoty

Hodnotu poklesu dotykové teploty podlahové konstrukce stanovíme z tepelné jímavosti podlahové konstrukce, která je rovna tepelné jímavosti horního povrchu nášlapné - to znamená nejvýše položené - vrstvy podlahy. Tepelnou jímavost horního povrchu nášlapné vrstvy stanovíme postupným výpočtem tepelných jímavostí horního povrchu jednotlivých vrstev podlahové konstrukce, a to vždy od vrstvy nejnižše položené k nejvýše položené vrstvě podlahy.

Tepelná jímavost podlahové konstrukce jako celku je tedy rovna

$$B = B_1 \quad (\text{W s}^{0,5} \text{ m}^{-2} \text{ K}^{-1}) \quad (5.1)$$

kde je

- B tepelná jímavost podlahové konstrukce
- B<sub>1</sub> tepelná jímavost horního povrchu nášlapné vrstvy podlahy.

Tepelnou jímavost horního povrchu j - té vrstvy určíme ze vztahu

$$B_j = B_{\text{mat},j} (1 + K_j) \quad (5.2)$$

kde je

- K<sub>j</sub> součinitel, stanovující zvýšení, případně snížení tepelné jímavosti horního povrchu vrstvy proti jímavosti vrstvy jako celku,

$$B_{\text{mat},j} = \sqrt{(\lambda_j \cdot c_j \cdot \rho_j)} \quad (\text{W s}^{0,5} \text{ m}^{-2} \text{ K}^{-1}) \quad (5.3)$$

Hodnotu součinitele K<sub>j</sub> lze stanovit dvěma způsoby:

- z nomogramu - viz obr. 5.2
- výpočtem s použitím vztahu

$$K_j = 2 \sum \frac{h_j^n}{\exp(n^2 \cdot y_j)} \quad (5.4)$$

kde je

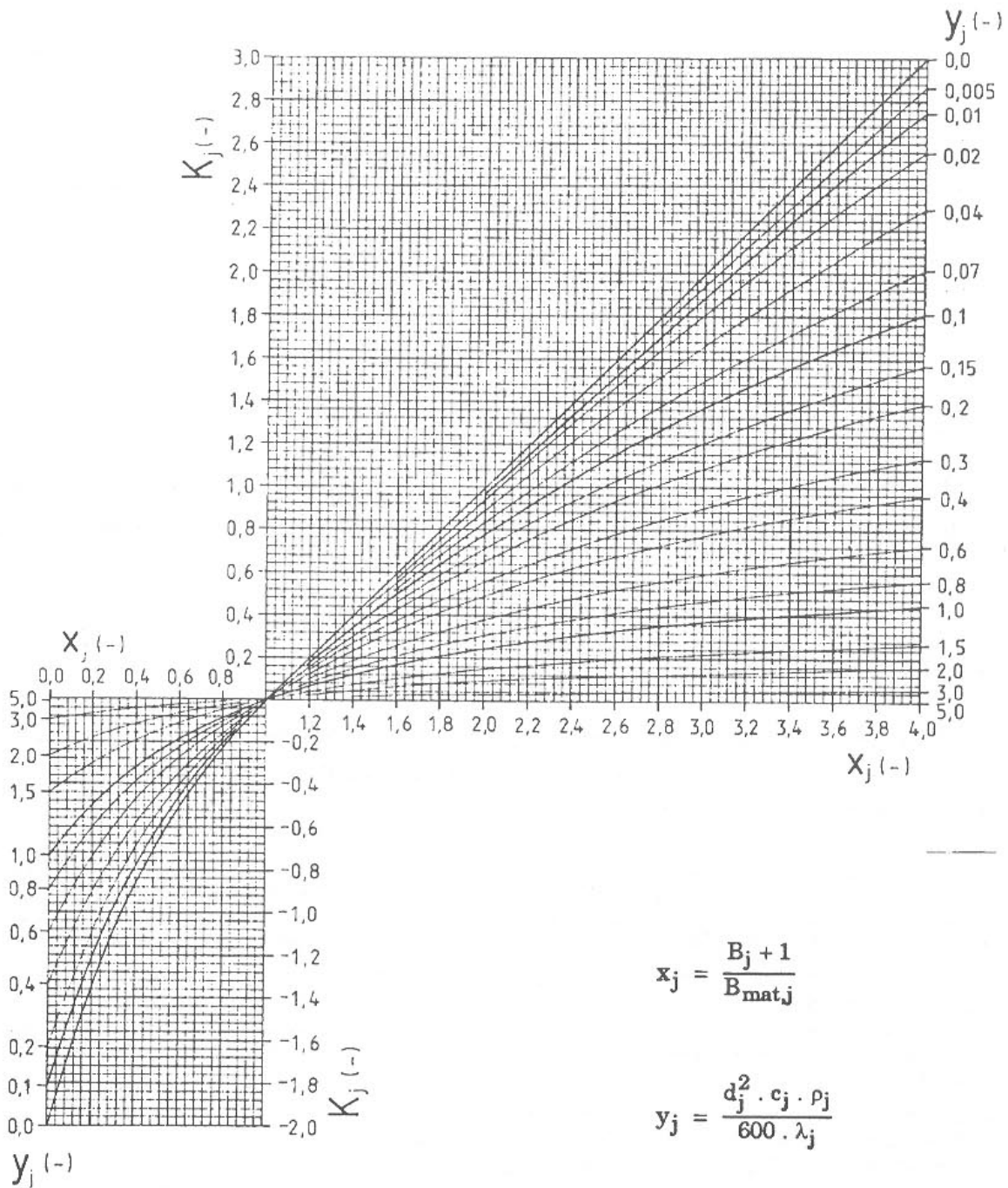
$$h_j = \frac{x_j - 1}{x_j + 1} \quad (5.5)$$

a dále

$$x_j = \frac{B_j + 1}{B_{\text{mat},j}} \quad (5.6)$$

$$n = 1, 2, 3, \dots, \infty$$

$$y_j = \frac{d_j^2 \cdot c_j \cdot \rho_j}{600 \cdot \lambda_j} \quad (5.7)$$



Obr. 5.2: Stanovení součinitele  $K_j$  pro tepelnou jímavost podlahových konstrukcí

Výpočet součinitele  $K_j$  podle vztahu 5.4 se ukončí, je - li při sumaci splněna podmínka

$$ABS \frac{h_j^n}{\exp(n^2 - y_j)} < 0,000001 \quad (5.8)$$

Pro nejnižší vrstvu podlahové konstrukce platí

$$K_j = 0, B_j = B_{mat,j} \quad (5.9)$$

## Pokles dotykové teploty podlahové konstrukce

přičemž za nejnižší vrstvu podlahové konstrukce se pro tyto účely považuje

- u podlah na terénu vrstva nad hydroizolací, případně
- nosná vrstva stropní konstrukce.

Hodnota poklesu dotykové teploty podlahové konstrukce se pak stanoví ze vztahu

$$\Delta\theta_{10} = \frac{(33 - \theta_{\text{is,min}})B}{(1117 + B)} \text{ (}^\circ\text{C)} \quad (5.10)$$

kde je

$\theta_{\text{si,min}}$  průměrná teplota povrchu nášlapné vrstvy ve  $^\circ\text{C}$ .

Výpočet poklesu dotykové teploty podlahové konstrukce se obvykle provádí pomocí výpočetní techniky. Ruční výpočet je reálně použitelný pouze u podlahových konstrukcí s malým počtem vrstev.

### 5.2. NORMOVÉ POŽADAVKY

Podle druhu budovy a místnosti, v níž je podlaha situována, se v souladu s ČSN 73 0540 podlahové konstrukce člení do čtyř kategorií s odpovídajícími hodnotami poklesu dotykové teploty - viz tab. 5.1.

| Druh budovy a místnosti   | Kategorie podlahy | $\Delta\theta_{10}$ [ $^\circ\text{C}$ ] |
|---|-------------------|--|
| Obytná budova: dětský pokoj, ložnice;<br>Občanská budova: dětská místnost jeslí, školky, pokoj intenzivní péče, pokoj nemocných dětí;   | I. Velmi teplá    | do 3,8 včetně                            |
| Obytná budova: obývací pokoj, pracovna, předsíň sousedící s pokoji, kuchyň;<br>Občanská budova: operační sál, předsálí, ordinace, přípravná, vyšetřovna, služební místnost, chodba a předsíň nemocnice, pokoj dospělých nemocných, kancelář, rýsovna, kreslárna, pracovna, tělocvična, učebna, kabinet, laboratoř, restaurační místnost, kino, divadlo, hotelový pokoj;<br>Výrobní průmyslová budova: trvalé pracovní místo při sedavé práci; | II. Teplá         | od 3,8 do 5,5 včetně                     |
| Obytná budova: koupelna, WC, předsíň před vstupem do bytu;<br>Občanská budova: WC, lázeň, převlékárna lázně, chodby, čekárny, schodiště nemocnice, taneční sál, výstavní síň, muzeum, jednací místnost, sklad se stálou obsluhou, prodejna potravin, noclehárna;<br>Výrobní průmyslová budova: trvalé pracovní místo bez podlážky nebo předepsané teplé obuvi;  | III. Méně teplá   | od 5,5 do 6,9 včetně                     |
| Budovy a místnosti bez požadavků  | IV. Studená       | od 6,9                                   |

Tab. 5.1: Kategorizace podlah

Pokles dotykové teploty se nemusí ověřovat u podlah s trvalou nášlapnou celoplošnou vrstvou z textilní podlahoviny a u podlah s povrchovou teplotou trvale vyšší než  $26^\circ\text{C}$ .

Takovéto typy podlah lze tedy použít pro libovolnou místnost bez ohledu na kategorizaci podlah.

Pro podlahy s podlahovým vytápěním se hodnota  $\Delta\theta_{10}$  stanoví pro vnitřní povrchovou teplotu podlahy, vypočtenou bez vlivu vytápění při návrhové venkovní teplotě  $\theta_e = 13\text{ °C}$ .

Pokles dotykové teploty hodnocené podlahové konstrukce musí být menší nebo roven normové hodnotě poklesu pro danou kategorii podlahy, to znamená, že

$$\Delta\theta_{10} \leq \Delta\theta_{10,N} \quad (\text{°C}) \quad (5.11)$$

### 5.3. PŘÍKLADY VÝPOČTU

Pro výpočet poklesu dotykové teploty podlahové konstrukce se používá programu TEPLO. Tento specifický typ výpočtu se automaticky zvolí v případě, kdy při zadávání typu konstrukce v tabulce *Popis konstrukce a okrajových podmínek* je zvolena varianta *Podlaha (pokles dotykové teploty)*.

#### Zadání výpočtu

- Oproti běžnému výpočtu prováděnému programem TEPLO je počet zadávaných vstupních údajů redukován. Zadává se:
  - skladba konstrukce od interiéru k exteriéru.
  - teplota vzduchu v interiéru
  - odpor při přestupu tepla na vnitřní straně konstrukce
  - exteriérová teplota
  - odpor při přestupu tepla na vnější straně konstrukce
  - doplňující parametry výpočtu
- Pro použití programu TEPLO platí běžná pravidla tak, jak již byla uvedena v kapitole 3.

#### Numerický výstup výpočtu

Výstupní protokol výpočtu obsahuje:

- rekapitulaci vstupních údajů
- hodnotu součinitele prostupu tepla konstrukce
- hodnotu povrchové teploty konstrukce
- hodnotu tepelné jímavosti podlahy
- hodnotu poklesu dotykové teploty podlahové konstrukce.

#### Příklad 5.1

Vypočtete pokles dotykové teploty podlahové konstrukce z příkladu 2.3.

Jedná se o podlahu na terénu, takže do výpočtu jsou zahrnuty jen vrstvy nad hydroizolací. Teplota pod podlahovou konstrukcí je  $\theta_{ap} = 5\text{ °C}$ , odpor při přestupu tepla na vnější straně je v souladu s náповědou programu stanoven ve výši  $R_{se} = 0\text{ Wm}^{-2}\text{K}^{-1}$ , neboť na vnějším povrchu konstrukce nedochází ke kontaktu se vzduchem a odpor při přestupu tepla je tedy nulový.

## Zadání vstupních hodnot:

**Popis konstrukce a okrajových podmínek**

Úpravy Formulář Pomůcky Rychlé posuny Konec práce s daty

Skladba konstrukce | Okrajové podmínky výpočtu | Doplnující parametry výpočtu

Obecné údaje:

Konstrukce:  Zakázka: SF II  
 Zpracovatel: FK Datum: říjen 2005

Typ konstrukce: Podlaha (volba pro výpočet poklesu dotyk. teploty)

Korekce souč. prostupu tepla na vliv systematických tep. mostů DeltaU:  W/m<sup>2</sup>K  při výpočtu uvažovat redistribuci vlhkosti

Základní parametry konstrukce | Doplnující parametry

Skladba konstrukce (od interiéru):

| Vrstva | Název             | D [m]  | Lambda | M.teplo | M.hmotnost | Faktor Mi |
|--------|-------------------|--------|--------|---------|------------|-----------|
| 1      | ✓ Beton hutný 1   | 0,0400 | 1,230  | 1020,0  | 2100,0     | 17,0      |
| 2      | ✓ A 400 H         | 0,0007 | 0,210  | 1470,0  | 900,0      | 3150,0    |
| 3      | ✓ Pěnový polystyr | 0,0800 | 0,044  | 1270,0  | 20,0       | 50,0      |
| 4      | Γ                 | 0,0000 | 0,000  | 0,0     | 0,0        | 0,0       |
| 5      | Γ                 | 0,0000 | 0,000  | 0,0     | 0,0        | 0,0       |
| 6      | Γ                 | 0,0000 | 0,000  | 0,0     | 0,0        | 0,0       |
| 7      | Γ                 | 0,0000 | 0,000  | 0,0     | 0,0        | 0,0       |
| 8      | Γ                 | 0,0000 | 0,000  | 0,0     | 0,0        | 0,0       |
| 9      | Γ                 | 0,0000 | 0,000  | 0,0     | 0,0        | 0,0       |
| 10     | Γ                 | 0,0000 | 0,000  | 0,0     | 0,0        | 0,0       |

Formuláře: +  
 1 3.1  
 2 3.2  
 3 5.1  
 4 5.2

Formulář č. 3  
 Blok 1- 1

Akt. pomůcky:

**Popis konstrukce a okrajových podmínek**

Úpravy Formulář Pomůcky Rychlé posuny Konec práce s daty

Skladba konstrukce | Okrajové podmínky výpočtu | Doplnující parametry výpočtu

Vnitřní vlhkostní podmínky:

je známa vnitřní vlhkost (např. v klimatizovaných a vlhkých provozech)  
 je známa třída vnitřní vlhkosti: 4. třída (vysoká vlhkost - byt, domy, kuchyně, sport. haly)  
 je známa produkce vodní páry a výměna vzduchu

Výměna n:  1/h Produkce v.p. G:  kg/h Objem V:  m<sup>3</sup>

Tepelné odpory při přestupu tepla (pro výpočet souč. prostupu):

... na vnitřní straně Rsi:  ... na vnější straně Rse:  m<sup>2</sup>K/W

Okrajové podmínky | Informace k zadávání podmínek | Vložit standardní podmínky ?

Návrhové hodnoty pro výpočet bilance dle ČSN 730540:

Návrhové hodnoty pro interiéru: Teplota Tai:  C, Vlhkost Fi:  %  
 Návrhové hodnoty pro exteriéru: Teplota Te:  C, Vlhkost Fie:  %

Měsíční průměrné hodnoty pro výpočet bilance dle ČSN EN ISO 13788:

| Měsíc: | Dny: | Interiér |      |     | Exteriér |     |     |
|--------|------|----------|------|-----|----------|-----|-----|
|        |      | Tai      | Fii  | Fie | Te       | Fie | Fie |
| I.     | 31,0 | 21,0     | 59,5 | 5,0 | 100,0    |     |     |
| II.    | 28,0 | 21,0     | 59,5 | 5,0 | 100,0    |     |     |
| III.   | 31,0 | 21,0     | 59,5 | 5,0 | 100,0    |     |     |
| IV.    | 30,0 | 21,0     | 59,5 | 5,0 | 100,0    |     |     |
| V.     | 31,0 | 21,0     | 59,5 | 5,0 | 100,0    |     |     |
| VI.    | 30,0 | 21,0     | 59,5 | 5,0 | 100,0    |     |     |
| VII.   | 31,0 | 21,0     | 59,5 | 5,0 | 100,0    |     |     |
| VIII.  | 31,0 | 21,0     | 59,5 | 5,0 | 100,0    |     |     |
| IX.    | 30,0 | 21,0     | 59,5 | 5,0 | 100,0    |     |     |
| X.     | 31,0 | 21,0     | 59,5 | 5,0 | 100,0    |     |     |
| XI.    | 30,0 | 21,0     | 59,5 | 5,0 | 100,0    |     |     |
| XII.   | 31,0 | 21,0     | 59,5 | 5,0 | 100,0    |     |     |

Formuláře: +  
 1 3.1  
 2 3.2  
 3 5.1  
 4 5.2

Formulář č. 3  
 Blok 1- 1

Akt. pomůcky:

Výstupní protokol výpočtu:

## ZÁKLADNÍ KOMPLEXNÍ TEPELNĚ TECHNICKÉ POSOUZENÍ STAVEBNÍ KONSTRUKCE

podle ČSN EN ISO 13788, ČSN EN ISO 6946, ČSN 730540 a STN 730540

**Teplo 2005**

Název úlohy : 5.1  
Zpracovatel : FK  
Zakázka : SF II  
Datum : říjen 2005

**KONTROLNÍ TISK VSTUPNÍCH DAT :**

Typ hodnocené konstrukce : Podlaha - výpočet poklesu dotykové teploty  
Korekce součinitele prostupu dU : 0.000 W/m<sup>2</sup>K

**Skladba konstrukce (od interiéru) :**

| Číslo | Název          | D[m]   | L[W/mK] | C[J/kgK] | Ro[kg/m <sup>3</sup> ] | Mi[-]  | Ma[kg/m <sup>2</sup> ] |
|-------|----------------|--------|---------|----------|------------------------|--------|------------------------|
| 1     | Beton hutný 1  | 0.0400 | 1.2300  | 1020.0   | 2100.0                 | 17.0   | 0.0000                 |
| 2     | A 400 H        | 0.0007 | 0.2100  | 1470.0   | 900.0                  | 3150.0 | 0.0000                 |
| 3     | Pěnový polysty | 0.0800 | 0.0440  | 1270.0   | 20.0                   | 50.0   | 0.0000                 |

**Okrajové podmínky výpočtu :**

Tepelný odpor při přestupu tepla v interiéru Rsi : 0.17 m<sup>2</sup>K/W  
Tepelný odpor při přestupu tepla v exteriéru Rse : 0.00 m<sup>2</sup>K/W

Návrhová venkovní teplota Te : 5.0 C  
Návrhová teplota vnitřního vzduchu Tai : 21.0 C  
Návrhová relativní vlhkost venkovního vzduchu RHe : 100.0 %  
Návrhová relativní vlhkost vnitřního vzduchu RHi : 55.0 %

**TISK VÝSLEDKŮ VYŠETŘOVÁNÍ :**

**Tepelný odpor a součinitel prostupu tepla dle ČSN EN ISO 6946:**

Tepelný odpor konstrukce R : 1.85 m<sup>2</sup>K/W  
Součinitel prostupu tepla konstrukce U : 0.49 W/m<sup>2</sup>K

Součinitel prostupu zabudované kce U<sub>k,c</sub> : 0.51 / 0.54 / 0.59 / 0.69 W/m<sup>2</sup>K  
Uvedené orientační hodnoty platí pro různou kvalitu řešení tep. mostů vyjádřenou přibližnou přírážkou dle poznámek k čl. B.9.2 v ČSN 730540-4.

Difuzní odpor konstrukce ZpT : 3.7E+0010 m/s

**Teplota vnitřního povrchu dle ČSN 730540 a teplotní faktor dle ČSN EN ISO 13788:**

Vnitřní povrchová teplota v návrhových podmínkách Tsi,p : 19.13 C

**Pokles dotykové teploty podlahy dle ČSN 730540:**

Tepelná jímavost podlahové konstrukce B : 1593.20 Ws/m<sup>2</sup>K  
Pokles dotykové teploty podlahy DeltaT : 7.84 C

STOP, Teplo 2005

## Posouzení

Pokles dotykové teploty podlahové konstrukce má hodnotu  $\Delta\theta_{10} = 7,84 \text{ }^\circ\text{C}$ , to znamená, že se jedná o podlahu IV. kategorie - studenou, kterou lze použít pouze v budovách a místnostech bez požadavků.

## Příklad 5.2

Proveďte posouzení poklesu dotykové teploty podlahové konstrukce, určené pro použití v obývacím pokoji.

Skladba konstrukce je patrná ze zadávací tabulky výpočtu.

Vzhledem k tomu, že se jedná o podlahu na stropní konstrukci v typickém podlaží, je za interiérovou i exteriérovou hodnotu teploty zadána hodnota  $\theta_{ap} = 21^\circ\text{C}$ . Ze stejného důvodu jsou voleny i shodné hodnoty součinitelů přestupu tepla na vnější a vnitřní straně konstrukce. Poslední započítatelnou vrstvou je železobetonová nosná stropní konstrukce, omítka stropu se do výpočtu nezahrnuje.

## Zadání vstupních hodnot:

**Popis konstrukce a okrajových podmínek**

Úpravy Formulář Pomůcky Rychlé posuny Konec práce s daty

Skladba konstrukce | Okrajové podmínky výpočtu | Doplnující parametry výpočtu |

**Obecné údaje:**

Konstrukce:  Zakázka:   
 Zpracovatel:  Datum:

Typ konstrukce:  ▾

Korekce souč. prostupu tepla na vliv systematických tep. mostů DeltaU:  W/m<sup>2</sup>K  při výpočtu uvažovat redistribuci vlhkosti

**Základní parametry konstrukce | Doplnující parametry**

Skladba konstrukce (od interiéru):

| Vrstva | Název  | D [m]  | Lambda | M.teplo | M.hmotnost | Faktor Mi |
|--------|--|--------|--------|---------|------------|-----------|
| 1      | <input checked="" type="checkbox"/> Dřevo tvrdé (to) | 0,0220 | 0,220  | 2510,0  | 600,0      | 157,0     |
| 2      | <input checked="" type="checkbox"/> Beton hutný 1    | 0,0400 | 1,230  | 1020,0  | 2100,0     | 17,0      |
| 3      | <input checked="" type="checkbox"/> A 400 H          | 0,0007 | 0,210  | 1470,0  | 900,0      | 3150,0    |
| 4      | <input checked="" type="checkbox"/> Rockwool Floor   | 0,0400 | 0,039  | 840,0   | 100,0      | 2,0       |
| 5      | <input checked="" type="checkbox"/> Železobeton 1    | 0,1400 | 1,430  | 1020,0  | 2300,0     | 23,0      |
| 6      | <input checked="" type="checkbox"/> Omítka vápeno    | 0,0150 | 0,990  | 790,0   | 2000,0     | 19,0      |
| 7      | <input type="checkbox"/>                             | 0,0000 | 0,000  | 0,0     | 0,0        | 0,0       |
| 8      | <input type="checkbox"/>                             | 0,0000 | 0,000  | 0,0     | 0,0        | 0,0       |
| 9      | <input type="checkbox"/>                             | 0,0000 | 0,000  | 0,0     | 0,0        | 0,0       |
| 10     | <input type="checkbox"/>                             | 0,0000 | 0,000  | 0,0     | 0,0        | 0,0       |

Formuláře:

- 1.3.1
- 2.3.2
- 3.5.1
- 4.5.2

Formulář č. 4

Blok 1- 1

Akt. pomůcky:

**Popis konstrukce a okrajových podmínek**

Úpravy Formulář Pomůcky Rychlé posuny Konec práce s daty

Skladba konstrukce Okrajové podmínky výpočtu | Doplňující parametry výpočtu |

Vnitřní vlhkostní podmínky:

je známa vnitřní vlhkost (např. v klimatizovaných a vlhkých provozech)

je známa třída vnitřní vlhkosti: 4. třída (vysoká vlhkost - byt, domy, kuchyně, sport.haly)

je známa produkce vodní páry a výměna vzduchu

Výměna n: 0,0 1/h      Produkce v.p. G: 0,000 kg/h      Objem V: 0,0 m<sup>3</sup>

Tepelné odpory při přestupu tepla (pro výpočet souč. prostupu):

... na vnitřní straně Rsi: 0,17      ... na vnější straně Rse: 0,04 m<sup>2</sup>K/W

Okrajové podmínky | Informace k zadávání podmínek | Vložit standardní podmínky ?

Návrhové hodnoty pro výpočet bilance dle ČSN 730540:

|                                |                     |                                |                      |
|--------------------------------|---------------------|--------------------------------|----------------------|
| Návrhové hodnoty pro interiéru | Teplota Tai: 21,0 C | Návrhové hodnoty pro exteriéru | Teplota Te: 21,0 C   |
|                                | Vlhkost Fii: 50,0 % |                                | Vlhkost Fie: 100,0 % |

Měsíční průměrné hodnoty pro výpočet bilance dle ČSN EN ISO 13788:

| Měsíc: | Dny: | Interiér |      |      | Exteriér |    |     |
|--------|------|----------|------|------|----------|----|-----|
|        |      | Tai      | Fii  | Te   | Fie      | Te | Fie |
| I.     | 31,0 | 21,0     | 98,4 | 21,0 | 100,0    |    |     |
| II.    | 28,0 | 21,0     | 98,4 | 21,0 | 100,0    |    |     |
| III.   | 31,0 | 21,0     | 98,4 | 21,0 | 100,0    |    |     |
| IV.    | 30,0 | 21,0     | 98,4 | 21,0 | 100,0    |    |     |
| V.     | 31,0 | 21,0     | 98,4 | 21,0 | 100,0    |    |     |
| VI.    | 30,0 | 21,0     | 98,4 | 21,0 | 100,0    |    |     |
| VII.   | 31,0 | 21,0     | 98,4 | 21,0 | 100,0    |    |     |
| VIII.  | 31,0 | 21,0     | 98,4 | 21,0 | 100,0    |    |     |
| IX.    | 30,0 | 21,0     | 98,4 | 21,0 | 100,0    |    |     |
| X.     | 31,0 | 21,0     | 98,4 | 21,0 | 100,0    |    |     |
| XI.    | 30,0 | 21,0     | 98,4 | 21,0 | 100,0    |    |     |
| XII.   | 31,0 | 21,0     | 98,4 | 21,0 | 100,0    |    |     |

### Výstupní protokol výpočtu:

## ZÁKLADNÍ KOMPLEXNÍ TEPELNĚ TECHNICKÉ POSOUZENÍ STAVEBNÍ KONSTRUKCE

podle ČSN EN ISO 13788, ČSN EN ISO 6946, ČSN 730540 a STN 730540

**Tepló 2005**

Název úlohy : 5.2  
 Zpracovatel : FK  
 Zakázka : SF II  
 Datum : říjen 2005

### KONTROLNÍ TISK VSTUPNÍCH DAT :

Typ hodnocené konstrukce : Podlaha - výpočet poklesu dotykové teploty  
 Korekce součinitele prostupu dU : 0.000 W/m<sup>2</sup>K

### Skladba konstrukce (od interiéru) :

| Číslo | Název           | D[m]   | L[W/mK] | C[J/kgK] | Ro[kg/m <sup>3</sup> ] | Mi[-]  | Ma[kg/m <sup>2</sup> ] |
|-------|-----------------|--------|---------|----------|------------------------|--------|------------------------|
| 1     | Dřevo tvrdé (t) | 0.0220 | 0.2200  | 2510.0   | 600.0                  | 157.0  | 0.0000                 |
| 2     | Beton hutný 1   | 0.0400 | 1.2300  | 1020.0   | 2100.0                 | 17.0   | 0.0000                 |
| 3     | A 400 H         | 0.0007 | 0.2100  | 1470.0   | 900.0                  | 3150.0 | 0.0000                 |
| 4     | Rockwool Floor  | 0.0400 | 0.0390  | 840.0    | 100.0                  | 2.0    | 0.0000                 |
| 5     | Železobeton 1   | 0.1400 | 1.4300  | 1020.0   | 2300.0                 | 23.0   | 0.0000                 |

# Pokles dotykové teploty podlahové konstrukce

## Okrajové podmínky výpočtu :

|  |                         |
|--|-------------------------|
| Tepelný odpor při přestupu tepla v interiéru $R_{si}$ :  | 0.17 m <sup>2</sup> K/W |
| Tepelný odpor při přestupu tepla v exteriéru $R_{se}$ :  | 0.04 m <sup>2</sup> K/W |
| Návrhová venkovní teplota $T_e$ :                        | 21.0 C                  |
| Návrhová teplota vnitřního vzduchu $T_{ai}$ :            | 21.0 C                  |
| Návrhová relativní vlhkost venkovního vzduchu $R_{He}$ : | 100.0 %                 |
| Návrhová relativní vlhkost vnitřního vzduchu $R_{Hi}$ :  | 55.0 %                  |

| Měsíc | Délka[dny] | $T_{ai}$ [C] | $R_{Hi}$ [%] | $P_i$ [Pa] | $T_e$ [C] | $R_{He}$ [%] | $P_e$ [Pa] |
|-------|------------|--------------|--------------|------------|-----------|--------------|------------|
| 1     | 31         | 21.0         | 99.0         | 2460.7     | 21.0      | 100.0        | 2485.6     |
| 2     | 28         | 21.0         | 99.0         | 2460.7     | 21.0      | 100.0        | 2485.6     |
| 3     | 31         | 21.0         | 99.0         | 2460.7     | 21.0      | 100.0        | 2485.6     |
| 4     | 30         | 21.0         | 99.0         | 2460.7     | 21.0      | 100.0        | 2485.6     |
| 5     | 31         | 21.0         | 99.0         | 2460.7     | 21.0      | 100.0        | 2485.6     |
| 6     | 30         | 21.0         | 99.0         | 2460.7     | 21.0      | 100.0        | 2485.6     |
| 7     | 31         | 21.0         | 99.0         | 2460.7     | 21.0      | 100.0        | 2485.6     |
| 8     | 31         | 21.0         | 99.0         | 2460.7     | 21.0      | 100.0        | 2485.6     |
| 9     | 30         | 21.0         | 99.0         | 2460.7     | 21.0      | 100.0        | 2485.6     |
| 10    | 31         | 21.0         | 99.0         | 2460.7     | 21.0      | 100.0        | 2485.6     |
| 11    | 30         | 21.0         | 99.0         | 2460.7     | 21.0      | 100.0        | 2485.6     |
| 12    | 31         | 21.0         | 99.0         | 2460.7     | 21.0      | 100.0        | 2485.6     |

Pro vnitřní prostředí byla uplatněna přírážka k vnitřní relativní vlhkosti : 5.0 %

## **TISK VÝSLEDKŮ VYŠETŘOVÁNÍ :**

### Tepelný odpor a součinitel prostupu tepla dle ČSN EN ISO 6946:

Tepelný odpor konstrukce  $R$  : 1.26 m<sup>2</sup>K/W  
Součinitel prostupu tepla konstrukce  $U$  : 0.68 W/m<sup>2</sup>K

Součinitel prostupu zabudované kce  $U_{kc}$  : 0.70 / 0.73 / 0.78 / 0.88 W/m<sup>2</sup>K  
Uvedené orientační hodnoty platí pro různou kvalitu řešení tep. mostů vyjádřenou přibližnou přírážkou dle poznámek k čl. B.9.2 v ČSN 730540-4.

Difuzní odpor konstrukce  $Z_pT$  : 5.1E+0010 m/s

### Teplota vnitřního povrchu dle ČSN 730540 a teplotní faktor dle ČSN EN ISO 13788:

Vnitřní povrchová teplota v návrhových podmínkách  $T_{si,p}$  : 21.00 C

### Pokles dotykové teploty podlahy dle ČSN 730540:

Tepelná jímavost podlahové konstrukce  $B$  : 577.76 Ws/m<sup>2</sup>K

Pokles dotykové teploty podlahy  $\Delta T$  : 4.09 C

STOP, Teplo 2005

## **Posouzení**

Pro obývací pokoj je požadována podlaha II. kategorie - teplá s hodnotou poklesu dotykové teploty od 3,8 °C do 5,5 °C. Výpočtem zjištěná hodnota činí  $\Delta\theta_{10} = 4,09^\circ\text{C}$ , to znamená, že podlahu lze pro daný účel použít.

## 6. TEPELNÁ STABILITA MÍSTNOSTI V LETNÍM OBDOBÍ

Hodnocení tepelné stability místnosti je typickým příkladem neustáleného teplotního stavu, neboť zkoumá chování vnitřního prostoru v případě, že je místnost v letním období osluněna a dochází k nárůstu teploty vnitřního vzduchu.

Letní tepelná stabilita místnosti je stále aktuálnější problémem, neboť především u objektů s vysokým podílem prosklených ploch v obvodovém plášti je nebezpečí přehřívání vnitřního prostoru v letním období vysoce akutní.

Výpočtové posouzení letní tepelné stability se provádí pro tzv. kritickou místnost, to znamená pro prostor s předpokládanou nejvyšší tepelnou zátěží. Tímto prostorem jsou obvykle místnosti s největšími přímo osluněnými prosklenými plochami, orientovanými především na východ, západ, jih, jihovýchod a jihozápad.

### 6.1. VÝPOČET

Norma ČSN 73 0540-2 uvádí dvě kritéria pro hodnocení letní tepelné stability místnosti. Obě tato kritéria mají stejnou váhu a místnost je hodnocena jako vyhovující, splňuje-li alespoň jedno z uvedených kritérií.

Pro hodnocení tepelné stability místnosti v letním období se používá buď

- nejvyšší denní vzestup teploty vzduchu v místnosti  $\Delta\theta_{ai,max}$  nebo
- nejvyšší denní teplota vzduchu v místnosti  $\theta_{ai,max}$ .

#### 6.1.2. Nejvyšší denní vzestup teploty vzduchu v místnosti

Výpočet této veličiny, který podrobně specifikuje ČSN 73 0540-4, vychází z upraveného Kirscherova vztahu (9)

$$\Delta\theta_{ai,max} = 24 \cdot \left(1 - \frac{1}{\exp\left(\frac{t \cdot \Phi_{z,max}}{\sum E}\right)}\right) \quad (^\circ\text{C}) \quad (6.1)$$

kde je

- $\Phi_{z,max}$  maximální tepelný zisk (W)
- $t$  doba jedné denní periody ( $t = 86\,400$  sekund)
- $\sum E$  akumulovaná tepelná energie v neosluněných konstrukcích tvořících místnost (J), stanovená dle vztahu

$$\sum E = \sum_1^m A_m \cdot \sum_1^j (c_{j,m} \cdot \rho_{j,m} \cdot d_{j,m} \cdot \theta_{mj,m}) \quad (\text{J}) \quad (6.2)$$

kde je

- $A_m$  plocha vnitřního povrchu  $m$ -té konstrukce místnosti ( $\text{m}^2$ )
- $c_{j,m}$  měrná tepelná kapacita  $j$ -té vrstvy  $m$ -té konstrukce místnosti ( $\text{J} \cdot \text{kg}^{-1} \cdot \text{K}^{-1}$ )

- $\rho_{j,m}$  objemová hmotnost  $j$ -té vrstvy  $m$ -té konstrukce místnosti ( $\text{kg m}^{-3}$ )  
 $d_{j,m}$  tloušťka  $j$ -té vrstvy  $m$ -té konstrukce místnosti (m)  
 $\theta_{mj,m}$  střední teplota  $j$ -té vrstvy  $m$ -té konstrukce místnosti v čase ustáleného vytápění na počátku chladnutí ( $^{\circ}\text{C}$ ), která se pro všechny vnitřní konstrukce uvažuje ve výši  $\theta_{ap}$  a pro vnější konstrukce se stanoví ze vztahu

$$\theta_{mj,m} = \theta_{ai} - U^* \cdot (R_i + \sum R_{mj,m}) \cdot (\theta_{ai} - \theta_{em}^*) \quad (^{\circ}\text{C}) \quad (6.3)$$

kde je

- $\sum R_{mj,m}$  součet tepelných odporů (ekvivalentních tepelných odporů) vnitřních vrstev až do poloviny  $j$ -té vrstvy  $m$ -té konstrukce ( $\text{m}^2 \cdot \text{K} \cdot \text{W}^{-1}$ )  
 $\theta_{em}^*$  návrhová teplota venkovního vzduchu v letním období ( $^{\circ}\text{C}$ ),  $\theta_{em}^* = 20,5^{\circ}\text{C}$

Maximální tepelný zisk místnosti je dán jako součet tepelné zátěže, a to

- tepelných zisků prostupem tepla vnějšími konstrukcemi  $\sum \Phi_{ej}$
- tepelných zisků od prostupem slunečního záření průsvitnými obvodovými konstrukcemi  $\sum \Phi_{wj}$ .

$$\sum \Phi_{ej} = 0,5 \cdot A_v^* \cdot \sum \left( \frac{A_{ej} \cdot h_{si,j}^*}{v_j^*} \right) \quad (6.4)$$

kde je

- $A_v^*$  výsledná teplotní amplituda venkovního prostředí v letním období ( $^{\circ}\text{C}$ ), stanovená dle ČSN 73 0540-3  
 $A_{ej}$  plocha vnějších konstrukcí ( $\text{m}^2$ )  
 $h_{si,j}^*$  součinitel přestupu tepla na vnitřní straně konstrukce v letním období ( $\text{W} \cdot \text{m}^{-2} \cdot \text{K}^{-1}$ )  
 $v_j^*$  teplotní útlum konstrukce v letním období

$$\sum \Phi_{wj} = \sum (A_{w,j} \cdot J_{m,j} \cdot \tau_j) \quad (6.5)$$

kde je

- $A_{w,j}$  plocha zaklení  $j$ -té výplně otvorů (bez okenních rámců) ( $\text{m}^2$ )  
 $J_{m,j}$  střední intenzita globálního slunečního záření dopadajícího kolmo na  $j$ -tou výplňovou konstrukci ( $\text{W} \cdot \text{m}^{-2}$ ), dle ČSN 73 0540-3  
 $\tau_j$  propustnost slunečního záření  $j$ -tou výplňovou konstrukcí, dle ČSN 73 0540-3, tabulka T 6.1

### 6.1.2 Nejvyšší denní teplota vzduchu v místnosti

Pro výpočet této veličiny se obvykle používá některá z metodik, převzatá z evropských norem (např. ČSN EN ISO 13791:2005 [16]) ovšem s použitím okrajových podmínek podle ČSN 73 0540-3.

| Položka | Druh zasklení, stínící prostředky                     | Propustnost slunečního záření<br>$\tau$ |
|---------|---|---|
| 1       | Jednoduché sklo obyčejné                              | 0,90                                    |
| 2       | Dvojité sklo obyčejné                                 | 0,81                                    |
| 3       | Okenní sklo světle zelené                             | 0,74                                    |
| 4       | Sklo šedé (Ombra)                                     | 0,70                                    |
| 5       | Světlezelené sklo                                     | 0,61                                    |
| 6       | Tmavozelené sklo                                      | 0,54                                    |
| 7       | Odráživé sklo (Reflex)                                | 0,64                                    |
| 8       | Sklo Determal   | 0,64                                    |
| 9       | Sklo Spektrofloat                                     | 0,57                                    |
| 10      | Vnější Determal, vnitřní obyčejné                     | 0,54                                    |
| 11      | Vnější Spektrofloat, vnitřní obyčejné                 | 0,54                                    |
| 12      | Barevné vrstvy stříkané, světlé                       | 0,72                                    |
| 13      | Zdvojené reflexní sklo Thermopan                      | 0,27                                    |
| 14      | Vitrasilk normal                                      | 0,29                                    |
| 15      | Vitrasilk special                                     | 0,30                                    |
| 16      | Vnitřní žaluzie, lamely 45°, světlé                   | 0,50                                    |
| 17      | Vnitřní žaluzie, lamely 45°, střední barvy            | 0,59                                    |
| 18      | Vnitřní žaluzie, lamely 45°, tmavé                    | 0,68                                    |
| 19      | Vnější žaluzie, lamely 45°, světlé                    | 0,14                                    |
| 20      | Vnější žaluzie, lamely 45°, ven světlé, dovnitř tmavé | 0,12                                    |
| 21      | Meziokenní žaluzie, prostor větrán                    | 0,27                                    |
| 22      | Meziokenní žaluzie, prostor nevětrán                  | 0,45                                    |
| 23      | Závěsy (bavlna, umělá vlákna)                         | 0,72                                    |
| 24      | Reflexní folie tmavá                                  | 0,23                                    |
| 25      | Reflexní fólie světlá                                 | 0,38                                    |
| 26      | Reflexní záclony světlé (vnější reflexní vrstva)      | 0,54                                    |
| 27      | Reflexní záclony tmavé (vnější reflexní vrstva)       | 0,63                                    |
| 28      | Okno se třemi obyčejnými skly                         | 0,73                                    |

Tab. T6.1: Propustnost slunečního záření průsvitnými konstrukcemi a stínícími prvky

## 6.2. NORMOVÉ POŽADAVKY

Kritická místnost je z hlediska tepelné stability v letním období vyhovující, platí-li

a) buď

$$\Delta\theta_{ai,max} \leq \Delta\theta_{ai,max,N} \quad (6.4)$$

b) nebo

$$\theta_{ai,max} \leq \theta_{ai,max,N} \quad (6.5)$$

Normou požadované hodnoty nejvyššího denního vzestupu teploty vnitřního vzduchu v místnosti a nejvyšší denní teploty vzduchu v místnosti jsou uvedeny v tab. T 6.2.

Budovy s klimatizací musí v případě výpadku klimatizačního zařízení splňovat buď

□ podmínku

$$\Delta\theta_{ai,max} \leq 12,0 \text{ } ^\circ\text{C}, \text{ nebo} \quad (6.6)$$

- podmínku

$$\theta_{ai,max} \leq 32,0 \text{ } ^\circ\text{C}. \quad (6.7)$$

Při hodnocení klimatizovaných místností se do výpočtu nezahrnuje chladicí výkon klimatizačního zařízení, ani tepelné zisky od technologických zařízení nebo kancelářského vybavení.

| Druh budovy                      | Nejvyšší denní vzestup teploty vzduchu v místnosti v letním období $\Delta\theta_{ai,max,N}$ [ $^\circ\text{C}$ ] | Nejvyšší denní teplota vzduchu v místnosti v letním období $\theta_{ai,max,N}$ [ $^\circ\text{C}$ ] |
|----------------------------------|---|---|
| Nevýrobní                        | 5,0   | 27,0  |
| Ostatní s vnitřním zdrojem tepla | – do 25 W/m <sup>3</sup> včetně   | 29,5  |
|                                  | – nad 25 W/m <sup>3</sup>   | 31,5  |

Tab. T6.2: Požadované hodnoty  $\Delta\theta_{ai,max,N}$  a  $\theta_{ai,max,N}$

### 6.3. ZÁSADY PRO NAVRHOVÁNÍ

Z hlediska letní tepelné stability místnosti jsou limitujícím prvkem průsvitné konstrukce. Jejich plocha, orientace a případné clonění mají rozhodující vliv na nárůst teploty vnitřního vzduchu při oslunění místnosti.

V případě, že otopný systém objektu je v zimním období schopen akceptovat energetické zisky od slunečního záření, jsou průsvitné konstrukce jednoznačně aktivním prvkem v celkové energetické bilanci budovy. Je tedy návrh průsvitných prvků obalových konstrukcí budovy svázán se dvěma v podstatě protichůdnými požadavky, to je s minimalizací tepelných zisků v letním období a získáním co největšího množství solární energie v období zimním.

Řešení tohoto problému je v praxi obvykle takové, že návrh průsvitných konstrukcí upřednostňuje akceptaci solárních zisků v zimním období, pro letní období je pak třeba zajistit takovou míru clonění otvorových výplní, aby byly zajištěny nezbytné požadavky na kvalitu vnitřního mikroklimatu. Z popsané situace vyplývá, že navržené clony by měly umožňovat případnou regulaci tepelných zisků pomocí manipulace s clonícími prvky.

Z tohoto pohledu jsou preferovány všechny typy žaluzií, naopak použití reflexních folií je z hlediska stavební fyziky dosti problematické. Nejvyšší účinnost mají žaluzie na vnější straně oken, naopak nejméně účinné jsou žaluzie vnitřní.

Optimálním řešením je obvykle kombinace nastavitelných stínících prvků s pevnými clonícími stavebními prvky jako jsou markýzy, římsy, balkonové desky nebo i přesahující střešní konstrukce. Návrh těchto pevných clonících prvků však musí být velmi pečlivě prověřen jak s ohledem na orientace cloněné stěny vůči světovým stranám, tak i z hlediska kvality denního osvětlení interiérů a možnosti aktivního využití solárních zisků v zimním období.

Mezi další faktory, které jsou schopny příznivě ovlivnit letní stabilitu místnosti patří:

- snížení tepelného toku neprůsvitnými obalovými konstrukcemi vhodnou volbou barvy a struktury jejich vnějšího povrchu - výhodné jsou především světlé barvy
- návrh obalových konstrukcí budovy formou dvouplášťových konstrukcí s provětrávanou vzduchovou vrstvou, kdy vnější plášť konstrukce působí jako radiční clona, snižující prostup energie do interiéru,
- návrh obalových konstrukcí se zvýšenou akumulací schopností - to znamená preference situování vrstev s vysokou objemovou hmotností k vnitřnímu líci konstrukce,
- návrh akumulčních prvků uvnitř budovy - jedná se především o stropní konstrukce a vnitřní dělicí konstrukce, realizované jako masivní konstrukce se zvýšenou akumulací schopností.

## 6.4. PŘÍKLADY VÝPOČTŮ

Pro výpočet tepelné stability místnosti v letním i zimním období se užívá program STABILITA. Vstupní údaje jsou pro oba výpočty společné, po zadání všech potřebných parametrů se volí požadovaný druh výpočtu.

### Zadání výpočtu

- Do formuláře *Základní popis místnosti* se zadávají parametry vnějšího a vnitřního prostředí a základní charakteristika místnosti.
- Údaje o obalových konstrukcích místnosti se vyplňují do formulářů *Popis obalových konstrukcí místnosti*. Počet těchto formulářů v zásadě odpovídá počtu neprůsvitných obalových konstrukcí místnosti.
- Pro jednotlivé neprůsvitné konstrukce se zadávají základní geometrické a klimatické údaje, popis skladby se provádí po jednotlivých vrstvách od vnitřního k vnějšímu líci. Do výpočtu se zadávají pouze vrstvy s výrazným akumulčním účinkem, tenké vrstvy do tloušťky 20 mm se zanedbávají; program umožňuje i případné sloučení takovýchto tenkých vrstev s vrstvou následující.
- Do stejného formuláře se zadávají i údaje o průsvitných konstrukcích.

### Numerický výstup výpočtu

Protokol o výpočtu obsahuje:

- popis obalových konstrukcí místnosti včetně jejich tepelně technických parametrů
- bilanci tepelných zisků včetně jejich lokalizace v čase
- hodnotu nejvyššího denního vzestupu teploty.

### Grafický výstup výpočtu

Program umožňuje zobrazení časového rozložení amplitud tepelných zisků.

## Příklad 6.1

Proveďte posouzení letní tepelné stability pro nárožní místnost v posledním podlaží bytového objektu. Otvorové výplně jsou zaskleny kombinací obyčejného skla a skla Vitrasilk special. Skladba obalových konstrukcí je patrná z tiskového výstupu výpočtu.

### Zadání vstupních hodnot:

| Základní popis místnosti   |                           |
|--|---------------------------|
| Úpravy Pomůcky Konec práce s daty  |                           |
| Název úlohy: 6.1   | Zakázka: SFII             |
| Zpracovatel: FK  | Datum: říjen 2005         |
| Vstupní hodnoty   Poznámku k přípravě vstupních dat                        |                           |
| Okrajové podmínky:   |                           |
| Tepelný oblast v letním období: A - většina ČR, jih SR                     |                           |
| Venkovní teplota v zimním období $T_e$ :                                   | -15,0 C                   |
| Návrhová vnitřní teplota $T_i$ :   | 20,0 C                    |
| Přirážka $\Delta T_{ai}$ (rozdíl mezi $T_i$ a $T_{ai}$ ):                  | 1,0 C                     |
| Měrné objemové teplo vzduchu $c_v$ :                                       | 1217,0 J/m <sup>3</sup> K |
| Časový úsek pro výpočet zimní stability:                                   | 3600,0 s                  |
| Souč. přestupu h,i:  |                           |
| Léto:  | 7,7 W/m <sup>2</sup> K    |
| Zima:  | 7,7 W/m <sup>2</sup> K    |
| Souč. přestupu h,e:  |                           |
| Léto:  | 14,3 W/m <sup>2</sup> K   |
| Zima:  | 25,0 W/m <sup>2</sup> K   |
| Parametry místnosti:   |                           |
| Vnitřní trvalé tepelné zisky (od osob, technologie, přístrojů, osvětlení): | 0,0 W                     |
| Objem vzduchu v místnosti:   | 62,81 m <sup>3</sup>      |
| Násobnost výměny vzduchu v místnosti:                                      | 0,3 1/h                   |
| Doplňující formulář   Komentář   |                           |
| Popis jednotlivých obalových konstrukcí hodnocené místnosti                |                           |

**Popis obalových konstrukcí místnosti**

Úpravy Formulář Pomůcky Rychlé posuny Konec práce s daty

Neprůsvitná konstrukce (resp. průsvitná vnitřní):

OK Typ: obvodová (vnější) Plocha: 10,77 m<sup>2</sup>  
 Alfa: 0,93 Orientace: jih Te (zima): -15,0 C

| Vrstva                                | Název vrstvy        | d [m] | Lambda | Měrné teplo | Ro    |
|---------------------------------------|---------------------|-------|--------|-------------|-------|
| 1 <input checked="" type="checkbox"/> | Porotherm 44 P+D na | 0,44  | 0,149  | 960,0       | 800,0 |
| 2 <input type="checkbox"/>            |                     | 0,0   | 0,000  | 0,0         | 0,0   |
| 3 <input type="checkbox"/>            |                     | 0,0   | 0,000  | 0,0         | 0,0   |
| 4 <input type="checkbox"/>            |                     | 0,0   | 0,000  | 0,0         | 0,0   |
| 5 <input type="checkbox"/>            |                     | 0,0   | 0,000  | 0,0         | 0,0   |
| 6 <input type="checkbox"/>            |                     | 0,0   | 0,000  | 0,0         | 0,0   |
| 7 <input type="checkbox"/>            |                     | 0,0   | 0,000  | 0,0         | 0,0   |
| 8 <input type="checkbox"/>            |                     | 0,0   | 0,000  | 0,0         | 0,0   |
| 9 <input type="checkbox"/>            |                     | 0,0   | 0,000  | 0,0         | 0,0   |
| 10 <input type="checkbox"/>           |                     | 0,0   | 0,000  | 0,0         | 0,0   |

interiér  
exteriér

Průsvitná konstrukce vnější (okno, dveře):

OK Název: Jednoduché okno s dv Souč. prostupu tepla: 1,2 W/m<sup>2</sup>K  
 Celková propustnost slunečního záření: 0,09 Orientace: jih  
 Plocha okenní konstrukce: 5,76 m<sup>2</sup> Te (zima): -15,0 C

Zařizovací předmět, topné těleso (jen pro zimní stabilitu):

OK Součinitel přestupu: 0,0 W/m<sup>2</sup>K Počáteční teplota tělesa: 0,0 C  
 Plocha: 0,0 m<sup>2</sup> Akumulace: 0,00E+0 J/K

Formuláře: +  
 1. konstr.  
 2. konstr.  
 3. konstr.  
 4. konstr.  
 5. konstr.

Formulář č. 1  
 Blok 1-1

Akt. pomůcky:

**Popis obalových konstrukcí místnosti**

Úpravy Formulář Pomůcky Rychlé posuny Konec práce s daty

Neprůsvitná konstrukce (resp. průsvitná vnitřní):

OK Typ: vnitřní neochlazená Plocha: 21,66 m<sup>2</sup>  
 Alfa: 0,0 Orientace: vnitřní konstrukce Te (zima): 21,0 C

| Vrstva                                | Název vrstvy         | d [m] | Lambda | Měrné teplo | Ro     |
|---------------------------------------|----------------------|-------|--------|-------------|--------|
| 1 <input checked="" type="checkbox"/> | Dřevo tvrdé (tok kol | 0,022 | 0,220  | 2510,0      | 600,0  |
| 2 <input checked="" type="checkbox"/> | Beton hutný 2        | 0,04  | 1,300  | 1020,0      | 2200,0 |
| 3 <input checked="" type="checkbox"/> | ORSIL T              | 0,03  | 0,045  | 1150,0      | 150,0  |
| 4 <input checked="" type="checkbox"/> | Železobeton 2        | 0,14  | 1,580  | 1020,0      | 2400,0 |
| 5 <input type="checkbox"/>            |                      | 0,0   | 0,000  | 0,0         | 0,0    |
| 6 <input type="checkbox"/>            |                      | 0,0   | 0,000  | 0,0         | 0,0    |
| 7 <input type="checkbox"/>            |                      | 0,0   | 0,000  | 0,0         | 0,0    |
| 8 <input type="checkbox"/>            |                      | 0,0   | 0,000  | 0,0         | 0,0    |
| 9 <input type="checkbox"/>            |                      | 0,0   | 0,000  | 0,0         | 0,0    |
| 10 <input type="checkbox"/>           |                      | 0,0   | 0,000  | 0,0         | 0,0    |

interiér  
exteriér

Průsvitná konstrukce vnější (okno, dveře):

OK Název: Souč. prostupu tepla: 0,0 W/m<sup>2</sup>K  
 Celková propustnost slunečního záření: 0,0 Orientace: východ  
 Plocha okenní konstrukce: 0,0 m<sup>2</sup> Te (zima): 0,0 C

Zařizovací předmět, topné těleso (jen pro zimní stabilitu):

OK Součinitel přestupu: 0,0 W/m<sup>2</sup>K Počáteční teplota tělesa: 0,0 C  
 Plocha: 0,0 m<sup>2</sup> Akumulace: 0,00E+0 J/K

Formuláře: +  
 1. konstr.  
 2. konstr.  
 3. konstr.  
 4. konstr.  
 5. konstr.

Formulář č. 2  
 Blok 1-1

Akt. pomůcky:

# Tepelná stabilita místnosti v letním období

**Popis obalových konstrukcí místnosti**

Úpravy Formulář Pomůcky Rychlé posuny Konec práce s daty

Neprůsvitná konstrukce (resp. průsvitná vnitřní):

OK Typ: obvodová (vnější) Plocha: 8,14 m<sup>2</sup>  
 Alfa: 0,93 Orientace: západ Te (zima): -15,0 C

| Vrstva | Název vrstvy        | d [m] | Lambda | Měrné teplo | R <sub>0</sub> |
|--------|---------------------|-------|--------|-------------|----------------|
| 1      | Porotherm 44 P+D na | 0,44  | 0,149  | 960,0       | 800,0          |
| 2      |                     | 0,0   | 0,000  | 0,0         | 0,0            |
| 3      |                     | 0,0   | 0,000  | 0,0         | 0,0            |
| 4      |                     | 0,0   | 0,000  | 0,0         | 0,0            |
| 5      |                     | 0,0   | 0,000  | 0,0         | 0,0            |
| 6      |                     | 0,0   | 0,000  | 0,0         | 0,0            |
| 7      |                     | 0,0   | 0,000  | 0,0         | 0,0            |
| 8      |                     | 0,0   | 0,000  | 0,0         | 0,0            |
| 9      |                     | 0,0   | 0,000  | 0,0         | 0,0            |
| 10     |                     | 0,0   | 0,000  | 0,0         | 0,0            |

Průsvitná konstrukce vnější (okno, dveře):

OK Název: Jednoduché okno s dv Souč. prostupu tepla: 1,2 W/m<sup>2</sup>K  
 Celková propustnost slunečního záření: 0,09 Orientace: západ  
 Plocha okenní konstrukce: 2,88 m<sup>2</sup> Te (zima): -15,0 C

Zařizovací předmět, topné těleso (jen pro zimní stabilitu):

OK Součinitel přestupu: 0,0 W/m<sup>2</sup>K Počáteční teplota tělesa: 0,0 C  
 Plocha: 0,0 m<sup>2</sup> Akumulace: 0,00E+0 J/K

Formuláře: +  
 1. konstr.  
 2. konstr.  
 3. konstr.  
 4. konstr.  
 5. konstr.

Formulář č. 3  
 Blok 1- 1

Akt. pomůcky:

**Popis obalových konstrukcí místnosti**

Úpravy Formulář Pomůcky Rychlé posuny Konec práce s daty

Neprůsvitná konstrukce (resp. průsvitná vnitřní):

OK Typ: vnitřní neochlazená Plocha: 25,97 m<sup>2</sup>  
 Alfa: 0,0 Orientace: vnitřní konstrukce Te (zima): 21,0 C

| Vrstva | Název vrstvy         | d [m] | Lambda | Měrné teplo | R <sub>0</sub> |
|--------|----------------------|-------|--------|-------------|----------------|
| 1      | Zdivo CDm tl. 1150 m | 0,115 | 0,650  | 960,0       | 1400,0         |
| 2      |                      | 0,0   | 0,000  | 0,0         | 0,0            |
| 3      |                      | 0,0   | 0,000  | 0,0         | 0,0            |
| 4      |                      | 0,0   | 0,000  | 0,0         | 0,0            |
| 5      |                      | 0,0   | 0,000  | 0,0         | 0,0            |
| 6      |                      | 0,0   | 0,000  | 0,0         | 0,0            |
| 7      |                      | 0,0   | 0,000  | 0,0         | 0,0            |
| 8      |                      | 0,0   | 0,000  | 0,0         | 0,0            |
| 9      |                      | 0,0   | 0,000  | 0,0         | 0,0            |
| 10     |                      | 0,0   | 0,000  | 0,0         | 0,0            |

Průsvitná konstrukce vnější (okno, dveře):

OK Název: Souč. prostupu tepla: 0,0 W/m<sup>2</sup>K  
 Celková propustnost slunečního záření: 0,0 Orientace: východ  
 Plocha okenní konstrukce: 0,0 m<sup>2</sup> Te (zima): 0,0 C

Zařizovací předmět, topné těleso (jen pro zimní stabilitu):

OK Součinitel přestupu: 0,0 W/m<sup>2</sup>K Počáteční teplota tělesa: 0,0 C  
 Plocha: 0,0 m<sup>2</sup> Akumulace: 0,00E+0 J/K

Formuláře: +  
 1. konstr.  
 2. konstr.  
 3. konstr.  
 4. konstr.  
 5. konstr.

Formulář č. 4  
 Blok 1- 1

Akt. pomůcky:

**Popis obalových konstrukcí místnosti**

Úpravy Formulář Pomůcky Rychlé posuny Konec práce s daty

Neprůsvitná konstrukce (resp. průsvitná vnitřní):

OK Typ: obvodová (vnější) Plocha: 21,66 m<sup>2</sup>  
 Alfa: 0,93 Orientace: vodorovná kce (střecha) Te (zima): -15,0 C

| Vrstva | Název vrstvy    | d [m] | Lambda | Měrné teplo | Ro     |
|--------|-----------------|-------|--------|-------------|--------|
| 1      | Železobeton 2   | 0,14  | 1,580  | 1020,0      | 2400,0 |
| 2      | Keramzitbeton 1 | 0,1   | 0,280  | 880,0       | 700,0  |
| 3      | ORSIL T-SD      | 0,2   | 0,045  | 1150,0      | 150,0  |
| 4      |                 | 0,0   | 0,000  | 0,0         | 0,0    |
| 5      |                 | 0,0   | 0,000  | 0,0         | 0,0    |
| 6      |                 | 0,0   | 0,000  | 0,0         | 0,0    |
| 7      |                 | 0,0   | 0,000  | 0,0         | 0,0    |
| 8      |                 | 0,0   | 0,000  | 0,0         | 0,0    |
| 9      |                 | 0,0   | 0,000  | 0,0         | 0,0    |
| 10     |                 | 0,0   | 0,000  | 0,0         | 0,0    |

interiér  
exteriér

Formuláře:  
 1. konstr.  
 2. konstr.  
 3. konstr.  
 4. konstr.  
 5. konstr.

Formulář č. 5  
 Blok 1- 1

Průsvitná konstrukce vnější (okno, dveře):  
 OK Název: Souč. prostupu tepla: 0,0 W/m<sup>2</sup>K  
 Celková propustnost slunečního záření: 0,0 Orientace: východ  
 Plocha okenní konstrukce: 0,0 m<sup>2</sup> Te (zima): 0,0 C

Zařizovací předmět, topné těleso (jen pro zimní stabilitu):  
 OK Součinitel přestupu: 0,0 W/m<sup>2</sup>K Počáteční teplota tělesa: 0,0 C  
 Plocha: 0,0 m<sup>2</sup> Akumulace: 0,00E+0 J/K

## Výstupní protokol výpočtu:

# TEPELNÁ STABILITA MÍSTNOSTI V LETNÍM OBDOBÍ

podle ČSN 730540 a STN 730540

### Stabilita 2005

Název ulohy: 6.1  
 Zakázka : SFII  
 Zpracovatel : FK  
 Datum : říjen 2005

### KONTROLNÍ TISK VSTUPNÍCH DAT :

|  |                           |                     |                         |
|--|---------------------------|---------------------|-------------------------|
| Teplotní oblast:                                 | A                         | Souč. přestupu h,e: | 14.3 W/m <sup>2</sup> K |
| Návrh.teplota int.vzduchu Tai:                   | 21.0 C                    | Souč. přestupu h,i: | 7.7 W/m <sup>2</sup> K  |
| Měrné objemové teplo vnitřního vzduchu:          | 1217.0 J/m <sup>3</sup> K |                     |                         |
| Jiné trvalé tepelné zisky či ztráty v místnosti: | 0 W                       |                     |                         |
| Objem vzduchu v hodnocené místnosti:             | 62.8 m <sup>3</sup>       |                     |                         |
| Násobnost výměny vzduchu:                        | 0.3 1/h                   |                     |                         |

# Tepelná stabilita místnosti v letním období

## Jednotlivé konstrukce v místnosti:

### Konstrukce číslo 1 ... Neprůsvitná kce

Typ konstrukce: Obvodová

Plocha konstrukce: 10.77 m<sup>2</sup> Pohltivost vnějšího povrchu: 0.93

| vrstva č. | Název               | d [m]  | Lambda [W/mK] | M.teplo [J/kgK] | M.hmotnost [kg/m <sup>3</sup> ] |
|-----------|---------------------|--------|---------------|-----------------|---------------------------------|
| 1         | Porotherm 44 P+D na | 0.4400 | 0.149         | 960.0           | 800.0                           |

Teplotní útlum: 821.60 Fázové posunutí: 21.28 h

Tepelná energie akumulovaná v konstrukci: 0.0 J

Orientace kce: J

### Konstrukce číslo 2 ... Neprůsvitná kce

Typ konstrukce: Vnitřní neochlazovaná

Plocha konstrukce: 21.66 m<sup>2</sup>

| vrstva č. | Název                | d [m]  | Lambda [W/mK] | M.teplo [J/kgK] | M.hmotnost [kg/m <sup>3</sup> ] |
|-----------|----------------------|--------|---------------|-----------------|---------------------------------|
| 1         | Dřevo tvrdé (tok kol | 0.0220 | 0.220         | 2510.0          | 600.0                           |
| 2         | Beton hutný 2        | 0.0400 | 1.300         | 1020.0          | 2200.0                          |
| 3         | ORSIL T              | 0.0300 | 0.045         | 1150.0          | 150.0                           |
| 4         | Železobeton 2        | 0.1400 | 1.580         | 1020.0          | 2400.0                          |

Tepelná energie akumulovaná v konstrukci: 105255664.0 J

### Konstrukce číslo 3 ... Neprůsvitná kce

Typ konstrukce: Obvodová

Plocha konstrukce: 8.14 m<sup>2</sup> Pohltivost vnějšího povrchu: 0.93

| vrstva č. | Název               | d [m]  | Lambda [W/mK] | M.teplo [J/kgK] | M.hmotnost [kg/m <sup>3</sup> ] |
|-----------|---------------------|--------|---------------|-----------------|---------------------------------|
| 1         | Porotherm 44 P+D na | 0.4400 | 0.149         | 960.0           | 800.0                           |

Teplotní útlum: 821.60 Fázové posunutí: 21.28 h

Tepelná energie akumulovaná v konstrukci: 0.0 J

Orientace kce: Z

### Konstrukce číslo 4 ... Neprůsvitná kce

Typ konstrukce: Vnitřní neochlazovaná

Plocha konstrukce: 25.97 m<sup>2</sup>

| vrstva č. | Název                | d [m]  | Lambda [W/mK] | M.teplo [J/kgK] | M.hmotnost [kg/m <sup>3</sup> ] |
|-----------|----------------------|--------|---------------|-----------------|---------------------------------|
| 1         | Zdivo CDm tl. 1150 m | 0.1150 | 0.650         | 960.0           | 1400.0                          |

Tepelná energie akumulovaná v konstrukci: 41564620.0 J

**Konstrukce číslo 5 ... Neprůsvitná kce**

Typ konstrukce: Obvodová

Plocha konstrukce: 21.66 m<sup>2</sup> Pohltivost vnějšího povrchu: 0.93

| vrstva č. | Název           | d [m]  | Lambda [W/mK] | M.teplo [J/kgK] | M.hmotnost [kg/m <sup>3</sup> ] |
|-----------|-----------------|--------|---------------|-----------------|---------------------------------|
| 1         | Železobeton 2   | 0.1400 | 1.580         | 1020.0          | 2400.0                          |
| 2         | Keramzitbeton 1 | 0.1000 | 0.280         | 880.0           | 700.0                           |
| 3         | ORSIL T-SD      | 0.2000 | 0.045         | 1150.0          | 150.0                           |

Teplotní útlum: 423.88 Fázové posunutí: 15.55 h  
 Tepelná energie akumulovaná v konstrukci: 0.0 J  
 Orientace kce: H

**Konstrukce číslo 6 ... Jednoduché okno s dv**

Typ konstrukce: Okenní vnější

Plocha konstrukce: 5.76 m<sup>2</sup> Propustnost sl. záření Tau: 0.09

Orientace kce: J

**Konstrukce číslo 7 ... Jednoduché okno s dv**

Typ konstrukce: Okenní vnější

Plocha konstrukce: 2.88 m<sup>2</sup> Propustnost sl. záření Tau: 0.09

Orientace kce: Z

**VÝSLEDKY VYŠETŘOVÁNÍ TEPELNÉ STABILITY V LETNÍM OBDOBÍ:**

**I. Výpočet podle metodiky ČSN 730540-4:**

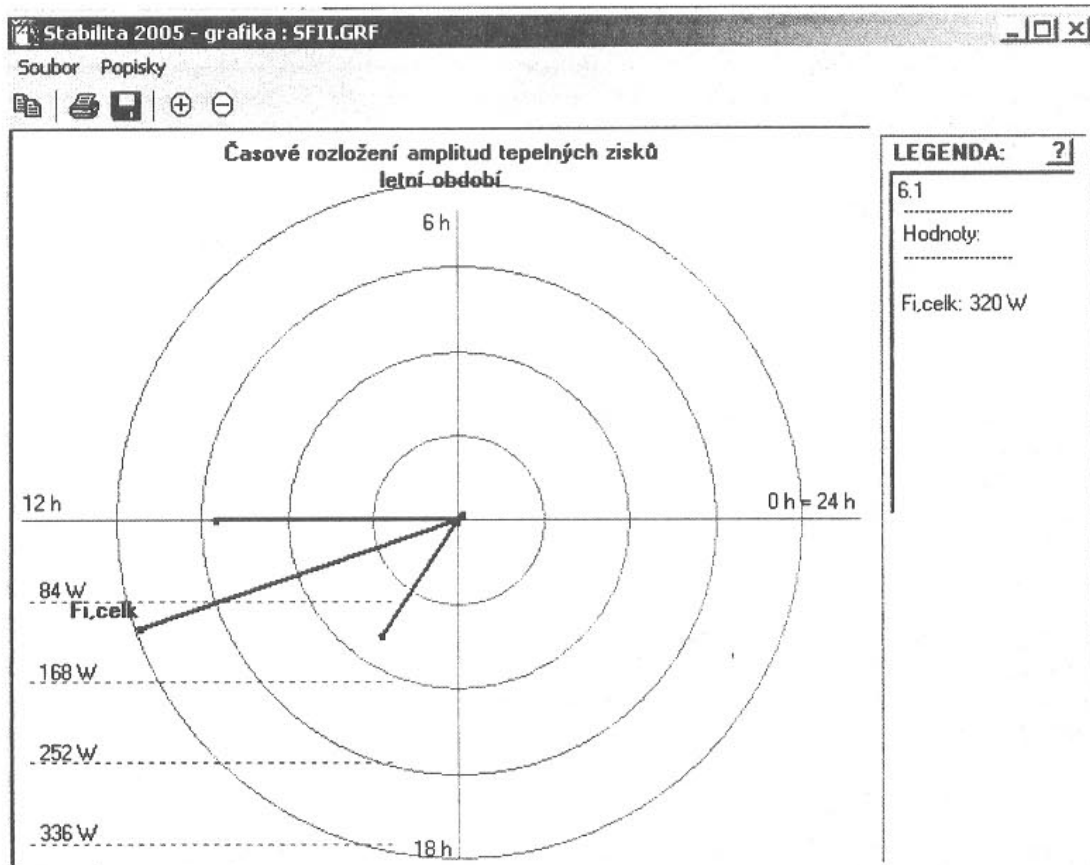
Tepelná energie akumulovaná v neosluněných konstrukcích: 1.468203E+0008 J

| Kce č. | Název           | Stř.intenzita záření | Tau  | Tep.zisk [W] | Doba zisku [h] |
|--------|-----------------|----------------------|------|--------------|----------------|
| 1      | Neprůsvitná kce | 199.0                | 12.0 | 1.62         | 33.8           |
| 3      | Neprůsvitná kce | 215.0                | 16.0 | 1.56         | 37.1           |
| 5      | Neprůsvitná kce | 306.0                | 12.0 | 8.00         | 28.0           |
| 6      | Jednoduché okno | 199.0                | 12.0 | 226.54       | 12.0           |
| 7      | Jednoduché okno | 215.0                | 16.0 | 143.86       | 16.0           |

Tepelný zisk průsvitnými konstrukcemi Qok: 158.89 W  
 Modul vekt.součtu tepl.amplitud tep.zisků Qoka+Qe: 319.61 W  
 Tepelný zisk od vnitřních zdrojů Qi: 0.00 W  
 Tepelná ztráta větráním Qv: 3.40 W  
 (při násobnosti výměny n = 0.30 1/h)  
 Celkový maximální tepelný zisk Qz: 475.10 W

Nejvyšší denní vzestup teploty Delta Ta,max : 5.9 C

## Grafický výstup výpočtu:



### Posouzení:

Výsledná hodnota  $\Delta\theta_{ai,max} = 5,9^{\circ}\text{C}$ , zatímco maximální normou povolená hodnota je  $\Delta\theta_{ai,max,N} = 5,0^{\circ}\text{C}$ . Posuzovaná místnost neodpovídá normovým požadavkům.

## 7. TEPELNÁ STABILITA MÍSTNOSTI V ZIMNÍM OBDOBÍ

Výpočet tepelné stability místnosti v zimním období se zabývá chováním místnosti v době přerušení vytápění místnosti, a to ať již formou otopné přestávky nebo z jiných důvodů, například při havárii otopného systému.

Zimní tepelná stabilita se zkoumá za neustáleného teplotního stavu, předpokládá se konstantní teplota vnějšího vzduchu a v čase proměnná teplota vzduchu vnitřního.

Výpočet vychází z energetické bilance prostoru a zahrnuje tepelné ztráty místnosti prostupem i infiltrací na jedné straně bilanční rovnice, tepelné zisky z chladnoucích konstrukcí, případně i zisky z dalších vnitřních zdrojů tepla (technologická zařízení, nábytek, chladnací otopná tělesa a podobně) na straně druhé.

Hodnotícím kritériem tepelné stability místnosti v zimním období je pokles výsledné teploty v místnosti. Hodnotí se kritická místnost, což je místnost s nejvyšší hodnotou průměrného součinitele prostupu tepla. Obvykle se jedná o místnost s největším podílem prosklených ploch, případně o místnost s největším podílem ploch vnějších ochlazovaných konstrukcí, např. místnost na nároží v posledním podlaží objektu. Kritická místnost pro hodnocení zimní tepelné stability se nemusí shodovat s kritickou místností pro hodnocení tepelné stability letní.

Výhodou počítačového řešení zimní tepelné stability místnosti je možnost získat časový průběh chladnutí místnosti, to znamená průběh výsledné teploty místnosti a vnitřních povrchových teplot jednotlivých konstrukcí i při různých teplotách vnějšího vzduchu. Tyto údaje umožní optimalizovat délku otopné přestávky v dílčích časových úsecích topného období a sledovat případný vznik povrchové kondenzace vodní páry na chladnoucích površích.

Výpočet časového průběhu chladnutí místnosti umožňuje analyzovat některé atypické stavy, jako např. stanovit maximální možnou dobu výluky otopného systému v případě jeho havárie v situaci, kdy pokles teploty vnitřního vzduchu pod technologicky stanovenou hodnotu může nepříznivě ovlivnit výrobu, kvalitu skladovaných produktů a podobně.

Normové hodnocení zimní tepelné stability místnosti vede ke zjištění největší možné délky otopné přestávky při plném využití normových požadavků na pokles výsledné teploty v místnosti..

### 7.1. ORIENTAČNÍ VÝPOČET

Pokles výsledné teploty v místnosti v průběhu otopné přestávky se stanoví ze vztahu

$$\Delta\theta_v(t) = \theta_v(0) - \theta_v(t) \quad (^\circ\text{C}) \quad (7.1)$$

kde je

$\theta_v(0)$  výsledná teplota místnosti na počátku chladnutí místnosti, to znamená

v čase  $t = 0$ , kdy je  $\theta_v = \theta_v(0)$   
 $\theta_v(t)$  výsledná teplota místnosti proměnná v průběhu chladnutí.

Výsledná teplota místnosti

$$\theta_v(t) = \theta_{ai}(t) + 650 \cdot \dot{V}_{LV} \cdot \frac{\theta_{ai}(t) - \theta_e}{\sum (A \cdot h_{si})} \quad (^\circ\text{C}) \quad (7.2)$$

kde je

$\theta_{ai}(t)$  teplota vnitřního vzduchu v době chladnutí  $t$  ( $^\circ\text{C}$ )

$\dot{V}_{LV}$  objemový tok vzduchu proudícího do místnosti ( $\text{m}^3/\text{s}$ ), stanovený v souladu s ČSN EN 12831 [17] při větrání obecně ze vztahu

$$\dot{V}_{LV} = \frac{n \cdot V_s}{3600} \quad (7.3)$$

kde je

$V_s$  objem sledované místnosti (vnitřního prostoru) ( $\text{m}^3$ ) a při spárové průvzdušnosti (infiltraci) ze vztahu

$$\dot{V}_{LV} = B.M. \cdot \sum (i_{LV} \cdot L) \quad (7.4)$$

$\theta_e$  návrhová venkovní teplota (v zimním období) ( $^\circ\text{C}$ ), viz ČSN 73 0540-3

$\sum(A \cdot h_{si})$  součet násobků ploch vnitřních povrchů všech konstrukcí tvořících místnost a součinitelů přestupů tepla na vnitřní straně těchto konstrukcí ( $\text{W} \cdot \text{K}^{-1}$ )

Z hlediska hodnocení tepelné stability a následného stanovení součinitele chladnutí dělíme konstrukce na

- symetricky chladnoucí konstrukce, což jsou obvykle vnitřní konstrukce, rozdělující prostory, jejichž teploty se na počátku chladnutí neliší o více než  $5^\circ\text{C}$ . U těchto konstrukcí dochází v podstatě ke stejnému poklesu teploty na obou stranách konstrukce.
- nesymetricky chladnoucí konstrukce, které rozdělují prostory, jejichž teplota se na počátku chladnutí liší o více než  $5^\circ\text{C}$ . Jedná se buď o vnitřní konstrukce, oddělující prostory s výrazně rozdílnými teplotami nebo o konstrukce obalové, zatížené vnějším a vnitřním prostředím. U vnitřních konstrukcí je pokles teploty na obou stranách konstrukce výrazně rozdílný, u obalových konstrukcí dochází k poklesu teploty pouze na vnitřní straně konstrukce, zatímco vnější strana konstrukce je zatížena konstantní teplotou vnějšího vzduchu.
- konstrukce polonekonečné - konstrukce v kontaktu se zeminou, u kterých dochází v průběhu chladnutí k poklesu teploty pouze na vnitřní straně konstrukce.

Do výpočtu množství tepla, akumulovaného ve vnějších a vnitřních konstrukcích se zahrnují pouze vrstvy s významným akumulacním účinkem.

## 7.2. NORMOVÉ POŽADAVKY

Kritická místnost musí na konci doby chladnutí vykazovat pokles výsledné teploty

$$\theta_v(t) < \theta_v(t)_N \quad (7.5)$$

kde  $\theta_v(t)_N$  je normou požadovaná hodnota poklesu výsledné teploty v místnosti, stanovená z tabulky T 7.1.

| Druh místnosti (prostoru)                                     | $\Delta\theta_{v,t}(t)$ [°C]  |
|---|-------------------------------|
| <b>S pobytem lidí po přerušení vytápění</b>                   |                               |
| - při vytápění radiátory, sálavými panely a teplovzdušně;     | 3                             |
| - při vytápění kamny a podlahovým vytápění;                   | 4                             |
| <b>Bez pobytu lidí po přerušení vytápění</b>                  |                               |
| - při přerušení vytápění otopnou přestávkou - budova masivní; | 6                             |
| - budova lehká;   | 8                             |
| - při předepsané nejnižší výsledné teplotě $\theta_{v, \min}$ | $\theta_i - \theta_{v, \min}$ |
| - při skladování potravin;                                    | $\theta_i - 8$                |
| - při nebezpečí zamrznutí vody;                               | $\theta_i - 1$                |
| Nádrže s vodou (teplota vody).                                | $\theta_i - 1$                |

Tab. T 7.1: Hodnoty poklesu výsledné teploty místnosti

## 7.3. ZÁSADY PRO NAVRHOVÁNÍ

Stejně jako u letní tepelné stability, i v případě zimní tepelné stability místnosti jsou konstrukčním prvkem, rozhodujícím o průběhu chladnutí místnosti, prosklené konstrukce. Z řešení, vedoucí ke zlepšení zimní stability místnosti, je třeba uvést především zlepšení tepelně izolačních vlastností otvorových výplní, a to jak jejich zasklení, tak i konstrukce rámu a křídel i jejich osazení do obalových konstrukcí. Významný vliv má v tomto případě snížení infiltrace vnějšího vzduchu spárami otvíravých okenních konstrukcí.

Z dalších možností, směřujících ke zlepšení tepelné stability místnosti v zimním období, je možno uvést:

- zlepšení tepelně izolačních vlastností obalových konstrukcí,
- zlepšení tepelně izolačních vlastností vnitřních ochlazovaných konstrukcí,
- zvýšení akumulací schopnosti vnitřních vrstev obalových konstrukcí tím, že budou preferovány konstrukce s vrstvami z materiálů o vysoké objemové hmotnosti na vnitřním líci,
- zvýšení akumulací schopnosti vnitřních konstrukcí, především využitím masivních stropních a vnitřních dělicích konstrukcí,
- vytvoření akumuláčnických jader uvnitř objektu.

Stále častěji se - s rostoucími požadavky na tepelně izolační schopnost obalových konstrukcí budov – navrhuje budovy s velmi pružnou otopnou soustavou, které mají minimum akumulčních konstrukcí a u kterých je preferována akceptace solárních tepelných zisků i zisků od vnitřních zdrojů tepla. V takovýchto objektech musí být použit nepřerušovaný, případně tlumený režim vytápění a z hlediska energetického se obvykle jedná o provozně a investičně nejoptimálnější způsob vytápění objektu.

### 7.5. PŘÍKLADY VÝPOČTU

Pro výpočet tepelné stability místnosti v zimním období se používá program STABILITA, zadání je společné jak pro výpočet letní, tak i zimní tepelné stability místnosti (viz kapitola 6).

#### Zadání výpočtu

- Specifickým prvkem zadání vstupních údajů pro výpočet zimní tepelné stability místnosti je zadání časového úseku  $t$ . Tímto prvkem se volí časový interval, pro nějž je výpočet ve 24 cyklech proveden. V běžných případech se volí hodnota tohoto intervalu v rozmezí 1200 až 7200 sekund.

#### Numerický výstup výpočtu

Výstupní protokol obsahuje:

- popis jednotlivých obalových konstrukcí místnosti včetně jejich tepelně technických parametrů
- časový průběh teploty vnitřního povrchu jednotlivých konstrukcí, teploty vnitřního vzduchu, výsledné teploty místnosti a poklesu výsledné teploty místnosti v předem zvoleném časovém intervalu.

#### Grafický výstup výpočtu

Program umožňuje zobrazit křivku časového průběhu poklesu výsledné teploty místnosti.

#### Příklad 7.1

Proveďte posouzení tepelné stability v zimním období pro místnost z příkladu 6.1. Místnost je vytápěna radiátory.

#### Zadání vstupních hodnot:

Viz. příklad 6.1

## Výstupní protokol výpočtu:

**TEPELNÁ STABILITA MÍSTNOSTI V ZIMNÍM OBDOBÍ**

podle ČSN 730540 a STN 730540

**Stabilita 2005**

Název ulohy: 6.1  
 Zakázka : SFII  
 Zpracovatel : FK  
 Datum : říjen 2005

**KONTROLNÍ TISK VSTUPNÍCH DAT :**

Venkovní návrhová teplota  $T_e$ : -15.0 C      Souč.přestupu  $h_e$ : 25.0 W/m<sup>2</sup>K  
 Vnitřní návrhová teplota  $T_i$ : 20.0 C      Souč.přestupu  $h_i$ : 7.7 W/m<sup>2</sup>K

Návrhová teplota vnitřního vzduchu  $T_{ai}$ : 21.0 C  
 Dilčí časový úsek pro hodnocení poklesu teploty  $\tau$ : 1.00 h (celkem 24x $\tau$ )  
 Měrné objemové teplo vzduchu v místnosti  $C_v$ : 1217.0 J/m<sup>3</sup>K  
 Jiné trvalé tepelné zisky v místnosti  $Q_m$ : 0 W  
 Objem vzduchu v hodnocené místnosti  $V$ : 62.8 m<sup>3</sup>  
 Násobnost výměny vzduchu: 0.3 1/h

**Jednotlivé konstrukce v místnosti:****Konstrukce číslo 1 ... Neprůsvitná kce**

Typ konstrukce: Nesymetricky chladnoucí

Plocha konstrukce: 10.77 m<sup>2</sup>      Teplota na vnější straně  $T_e$ : -15.0 C

| vrstva č. | Název               | d [m]  | Lambda [W/mK] | M.teplo [J/kgK] | M.hmotnost [kg/m <sup>3</sup> ] |
|-----------|---------------------|--------|---------------|-----------------|---------------------------------|
| 1         | Porotherm 44 P+D na | 0.4400 | 0.149         | 960.0           | 800.0                           |

Tepelný odpor: 2.953 m<sup>2</sup>K/W      Součinitel prostupu tepla: 0.320 W/m<sup>2</sup>KTep.odpor 1.vrstvy: 2.953 m<sup>2</sup>K/W      Tep. jímavost 1. vrstvy: 114432.0**Konstrukce číslo 2 ... Neprůsvitná kce**

Typ konstrukce: Symetricky chladnoucí

Plocha konstrukce: 21.66 m<sup>2</sup>      Teplota na vnější straně  $T_e$ : 21.0 C

| vrstva č. | Název                 | d [m]  | Lambda [W/mK] | M.teplo [J/kgK] | M.hmotnost [kg/m <sup>3</sup> ] |
|-----------|-----------------------|--------|---------------|-----------------|---------------------------------|
| 1         | Dřevo tvrdé (tok kol) | 0.0220 | 0.220         | 2510.0          | 600.0                           |
| 2         | Beton hutný 2         | 0.0400 | 1.300         | 1020.0          | 2200.0                          |
| 3         | ORSIL T               | 0.0300 | 0.045         | 1150.0          | 150.0                           |
| 4         | Železobeton 2         | 0.1400 | 1.580         | 1020.0          | 2400.0                          |

Tepelný odpor: 0.886 m<sup>2</sup>K/W      Součinitel prostupu tepla: 0.873 W/m<sup>2</sup>KTep.odpor 1.vrstvy: 0.100 m<sup>2</sup>K/W      Tep. jímavost 1. vrstvy: 331320.0

## Tepelná stabilita místnosti v zimním období

### Konstrukce číslo 3 ... Neprůsvitná kce

Typ konstrukce: Nesymetricky chladnoucí

Plocha konstrukce: 8.14 m<sup>2</sup> Teplota na vnější straně Te: -15.0 C

| vrstva č.           | Název               | d [m]                    | Lambda<br>[W/mK]           | M.teplo<br>[J/kgK] | M.hmotnost<br>[kg/m <sup>3</sup> ] |
|---------------------|---------------------|--------------------------|----------------------------|--------------------|------------------------------------|
| 1                   | Porotherm 44 P+D na | 0.4400                   | 0.149                      | 960.0              | 800.0                              |
| Tepelný odpor:      |                     | 2.953 m <sup>2</sup> K/W | Součinitel prostupu tepla: |                    | 0.320 W/m <sup>2</sup> K           |
| Tep.odpor 1.vrstvy: |                     | 2.953 m <sup>2</sup> K/W | Tep. jímavost 1. vrstvy:   |                    | 114432.0                           |

### Konstrukce číslo 4 ... Neprůsvitná kce

Typ konstrukce: Symetricky chladnoucí

Plocha konstrukce: 25.97 m<sup>2</sup> Teplota na vnější straně Te: 21.0 C

| vrstva č.           | Název                | d [m]                    | Lambda<br>[W/mK]           | M.teplo<br>[J/kgK] | M.hmotnost<br>[kg/m <sup>3</sup> ] |
|---------------------|----------------------|--------------------------|----------------------------|--------------------|------------------------------------|
| 1                   | Zdivo CDm tl. 1150 m | 0.1150                   | 0.650                      | 960.0              | 1400.0                             |
| Tepelný odpor:      |                      | 0.177 m <sup>2</sup> K/W | Součinitel prostupu tepla: |                    | 2.290 W/m <sup>2</sup> K           |
| Tep.odpor 1.vrstvy: |                      | 0.177 m <sup>2</sup> K/W | Tep. jímavost 1. vrstvy:   |                    | 873599.9                           |

### Konstrukce číslo 5 ... Neprůsvitná kce

Typ konstrukce: Nesymetricky chladnoucí

Plocha konstrukce: 21.66 m<sup>2</sup> Teplota na vnější straně Te: -15.0 C

| vrstva č.           | Název           | d [m]                    | Lambda<br>[W/mK]           | M.teplo<br>[J/kgK] | M.hmotnost<br>[kg/m <sup>3</sup> ] |
|---------------------|-----------------|--------------------------|----------------------------|--------------------|------------------------------------|
| 1                   | Železobeton 2   | 0.1400                   | 1.580                      | 1020.0             | 2400.0                             |
| 2                   | Keramzitbeton 1 | 0.1000                   | 0.280                      | 880.0              | 700.0                              |
| 3                   | ORSIL T-SD      | 0.2000                   | 0.045                      | 1150.0             | 150.0                              |
| Tepelný odpor:      |                 | 4.890 m <sup>2</sup> K/W | Součinitel prostupu tepla: |                    | 0.198 W/m <sup>2</sup> K           |
| Tep.odpor 1.vrstvy: |                 | 0.089 m <sup>2</sup> K/W | Tep. jímavost 1. vrstvy:   |                    | 3867840.0                          |

### Konstrukce číslo 6 ... Jednoduché okno s dv

Typ konstrukce: Okenní vnější

Plocha konstrukce: 5.76 m<sup>2</sup> Teplota na vnější straně: -15.0 C

Souč. prostupu: 1.20 W/m<sup>2</sup>K

### Konstrukce číslo 7 ... Jednoduché okno s dv

Typ konstrukce: Okenní vnější

Plocha konstrukce: 2.88 m<sup>2</sup> Teplota na vnější straně: -15.0 C

Souč. prostupu: 1.20 W/m<sup>2</sup>K

**VÝSLEDKY VYŠETŘOVÁNÍ CHLADNUTÍ MÍSTNOSTI:**

**Teploty vzduchu, povrchů a výsledné poklesy teploty:**

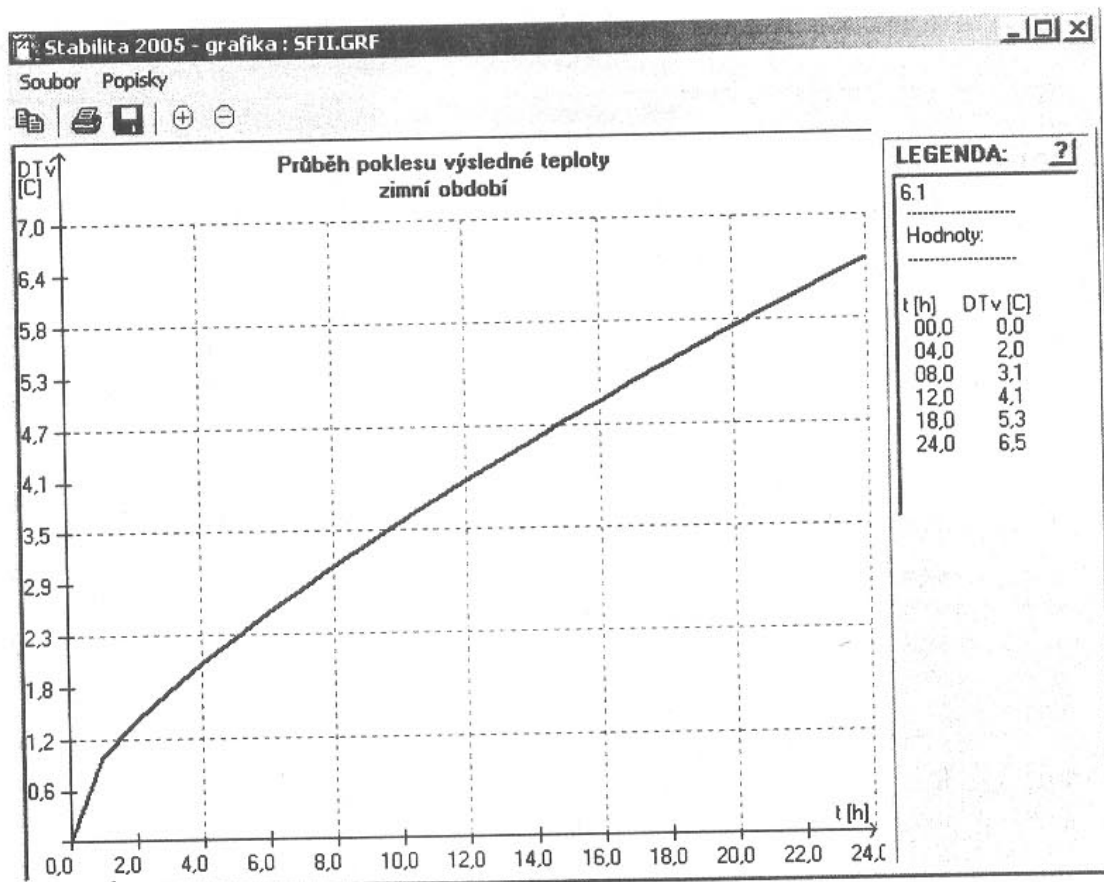
| Hod.:            | 0.00 | 1.00 | 2.00 | 3.00 | 4.00 | 5.00 | 6.00 | 7.00 |
|------------------|------|------|------|------|------|------|------|------|
| <b>Kce č.</b>    |      |      |      |      |      |      |      |      |
| 1                | 19.5 | 18.2 | 17.8 | 17.4 | 17.1 | 16.8 | 16.6 | 16.3 |
| 2                | 21.0 | 20.6 | 20.2 | 19.8 | 19.4 | 19.1 | 18.8 | 18.5 |
| 3                | 19.5 | 18.2 | 17.8 | 17.4 | 17.1 | 16.8 | 16.6 | 16.3 |
| 4                | 21.0 | 20.2 | 19.8 | 19.4 | 19.0 | 18.7 | 18.4 | 18.1 |
| 5                | 20.1 | 19.6 | 19.4 | 19.2 | 19.0 | 18.7 | 18.5 | 18.3 |
| 6                | 14.5 | 12.8 | 12.5 | 12.2 | 12.0 | 11.7 | 11.5 | 11.3 |
| 7                | 14.5 | 12.8 | 12.5 | 12.2 | 12.0 | 11.7 | 11.5 | 11.3 |
| <b>Ta,i [C]:</b> | 21.0 | 18.9 | 18.5 | 18.2 | 17.8 | 17.6 | 17.3 | 17.0 |
| <b>Tv [C]:</b>   | 21.2 | 19.0 | 18.6 | 18.3 | 18.0 | 17.7 | 17.4 | 17.2 |
| <b>DTv [C]:</b>  | ---  | 1.0  | 1.4  | 1.7  | 2.0  | 2.3  | 2.6  | 2.8  |

| Hod.:            | 8.00 | 9.00 | 10.00 | 11.00 | 12.00 | 13.00 | 14.00 | 15.00 | 16.00 |
|------------------|------|------|-------|-------|-------|-------|-------|-------|-------|
| <b>Kce č.</b>    |      |      |       |       |       |       |       |       |       |
| 1                | 16.1 | 15.8 | 15.6  | 15.4  | 15.1  | 14.9  | 14.7  | 14.5  | 14.3  |
| 2                | 18.2 | 17.9 | 17.7  | 17.4  | 17.2  | 16.9  | 16.7  | 16.4  | 16.2  |
| 3                | 16.1 | 15.8 | 15.6  | 15.4  | 15.1  | 14.9  | 14.7  | 14.5  | 14.3  |
| 4                | 17.8 | 17.5 | 17.3  | 17.0  | 16.7  | 16.5  | 16.3  | 16.0  | 15.8  |
| 5                | 18.1 | 17.9 | 17.7  | 17.5  | 17.3  | 17.0  | 16.8  | 16.6  | 16.4  |
| 6                | 11.1 | 10.9 | 10.7  | 10.5  | 10.3  | 10.1  | 9.9   | 9.7   | 9.6   |
| 7                | 11.1 | 10.9 | 10.7  | 10.5  | 10.3  | 10.1  | 9.9   | 9.7   | 9.6   |
| <b>Ta,i [C]:</b> | 16.8 | 16.5 | 16.3  | 16.0  | 15.8  | 15.6  | 15.4  | 15.1  | 14.9  |
| <b>Tv [C]:</b>   | 16.9 | 16.7 | 16.4  | 16.2  | 15.9  | 15.7  | 15.5  | 15.3  | 15.1  |
| <b>DTv [C]:</b>  | 3.1  | 3.3  | 3.6   | 3.8   | 4.1   | 4.3   | 4.5   | 4.7   | 4.9   |

| Hod.:            | 17.00 | 18.00 | 19.00 | 20.00 | 21.00 | 22.00 | 23.00 | 24.00 |
|------------------|-------|-------|-------|-------|-------|-------|-------|-------|
| <b>Kce č.</b>    |       |       |       |       |       |       |       |       |
| 1                | 14.1  | 13.9  | 13.7  | 13.5  | 13.3  | 13.1  | 12.9  | 12.7  |
| 2                | 16.0  | 15.7  | 15.5  | 15.3  | 15.1  | 14.9  | 14.7  | 14.5  |
| 3                | 14.1  | 13.9  | 13.7  | 13.5  | 13.3  | 13.1  | 12.9  | 12.7  |
| 4                | 15.6  | 15.4  | 15.1  | 14.9  | 14.7  | 14.5  | 14.3  | 14.1  |
| 5                | 16.2  | 16.0  | 15.8  | 15.6  | 15.4  | 15.2  | 15.1  | 14.9  |
| 6                | 9.4   | 9.2   | 9.1   | 8.9   | 8.7   | 8.6   | 8.4   | 8.3   |
| 7                | 9.4   | 9.2   | 9.1   | 8.9   | 8.7   | 8.6   | 8.4   | 8.3   |
| <b>Ta,i [C]:</b> | 14.7  | 14.5  | 14.3  | 14.1  | 13.9  | 13.7  | 13.5  | 13.3  |
| <b>Tv [C]:</b>   | 14.9  | 14.7  | 14.4  | 14.2  | 14.1  | 13.9  | 13.7  | 13.5  |
| <b>DTv [C]:</b>  | 5.1   | 5.3   | 5.6   | 5.8   | 5.9   | 6.1   | 6.3   | 6.5   |

Pozn.: Ta,i - teplota vnitřního vzduchu v čase Tau  
 Tv - výsledná teplota v místnosti v čase Tau  
 DTv - pokles výsledné teploty místnosti v čase Tau  
 Ostatní hodnoty v tabulce jsou povrchové teploty jednotlivých konstrukcí.

## Grafický výstup výpočtu:



## Posouzení:

Normou požadovaná hodnota poklesu výsledné teploty v místnosti  $\Delta\theta_v(t)_N = 3^\circ\text{C}$ . Této hodnoty bude dosaženo cca po 7,66 hod. chladnutí místnosti. Tento časový údaj též znamená maximální přípustnou délku otopné přestávky.

## 8. STAVEBNĚ ENERGETICKÉ VLASTNOSTI BUDOV

Metodika hodnocení energetických vlastností budov doznala v posledních letech řadu zásadních změn. Zatímco dle ČSN 73 0540-2 z roku 1994 byla hodnotícím kritériem energetické náročnosti tepelná charakteristika budovy, táž revidovaná norma z roku 2002 se odvolává na Vyhlášku Ministerstva průmyslu a obchodu č. 291/2001, navazující na zákon č. 406/2000 Sb. o hospodaření s energií a určuje za kritériální veličinu měrnou potřebu tepla na vytápění budovy. Změna citované části normy z března 2005 pak zavádí nový pojem „stavebně energetické vlastnosti budovy“ a jako kritérium pro jejich hodnocení udává hodnotu průměrného součinitele prostupu tepla. Současně zavádí místo původního stupně energetické náročnosti (SEN), doporučeného ke klasifikaci budov z energetického hlediska další nový pojem – stupeň tepelné náročnosti (STN) – viz. tab. P 10.

Stavebně energetické vlastnosti budovy pak dle uvedené normy vyjadřují vliv stavebního řešení na úsporu energie na vytápění budovy, případně na její nízkou energetickou náročnost.

Hodnocení stavebně energetických vlastností budovy lze u novostaveb provést dvěma způsoby:

- v případě, kdy plocha otvorových výplní nepřekročí 15% plochy celkové podlahové plochy budovy, lze objekt hodnotit pomocí hodnot součinitele prostupu tepla  $U_N$  jednotlivých konstrukcí,
- přesahuje-li plocha výplní otvorů výše uvedenou hranici, je třeba k hodnocení použít průměrný součinitel prostupu tepla budovy  $U_{em}$ .

Při změnách a opravách budov musí objekt odpovídat kritériím pro hodnocení stavebně energetických vlastností budov, jestliže dochází ke změně či opravě více než 25% plochy obvodového pláště budovy.

### 8.1. HODNOCENÍ PODLE DOPORUČENÝCH HODNOT $U_N$

#### 8.1.1. Metodika výpočtu

V případě, že plocha výplní otvorů nepřekročí 15% celkové podlahové plochy budovy a všechny konstrukce na systémové hranici budovy odpovídají normou doporučeným hodnotám součinitele prostupu tepla, je požadavek na stavebně energetické vlastnosti budovy považován za splněný.

Systémová hranice budovy je definována v ČSN EN 832, ČSN EN ISO 13790 a ČSN 73 0540-4.

Způsob výpočtu součinitele prostupu tepla je popsán v kapitole 2.

#### 8.1.2. Požadavky

Doporučené hodnoty součinitele prostupu tepla pro jednotlivé stavební konstrukce  $U_N$  jsou v tab. T2.4.

## 8.2. HODNOCENÍ PODLE HODNOTY PRŮMĚRNÉHO SOUČINITELE PROSTUPU TEPLA $U_{em}$

### 8.2.1. Metodika výpočtu

V případě, že plocha výplní otvorů překračuje 15% celkové podlahové plochy, hodnotí se budova podle normové hodnoty průměrného součinitele prostupu tepla  $U_{em}$ .

Podrobný postup výpočtu průměrného součinitele prostupu tepla budovy stanoví ČSN 73 0540-4.

V praxi je obvykle hodnota průměrného součinitele prostupu tepla součástí výstupu počítačových programů, používaných pro hodnocení energetických vlastností budovy – např. program ENERGIE.

### 8.2.2. Požadavky

Hodnocená budova musí splňovat podmínku

$$U_{em} \leq U_{em,N} \quad (8.1)$$

Požadované a doporučené hodnoty průměrného součinitele prostupu tepla  $U_{em,N}$  jsou v tabulce T 8.1.

| Faktor tvaru budovy<br>$A/V$ [ $m^2/m^3$ ]    | Průměrný součinitel prostupu tepla $U_{em,N}$ [ $W/(m^2 \cdot K)$ ] |                             |
|---|---|-----------------------------|
|   | Požadované hodnoty  | Doporučené hodnoty          |
| $\leq 0,2$                                    | 1,05  | 0,75                        |
| 0,3   | 0,80  | 0,58                        |
| 0,4   | 0,68  | 0,50                        |
| 0,5   | 0,60  | 0,45                        |
| 0,6   | 0,55  | 0,42                        |
| 0,7   | 0,51  | 0,39                        |
| 0,8   | 0,49  | 0,38                        |
| 0,9   | 0,47  | 0,36                        |
| $\geq 1,0$                                    | 0,45  | 0,35                        |
| Mezilehlé hodnoty<br>(zaokrouhlené na setiny) | $0,30 + \frac{0,15}{(A/V)}$   | $0,25 + \frac{0,10}{(A/V)}$ |

Tab.8.1: Požadované a doporučené hodnoty průměrného součinitele prostupu tepla

*Faktor tvaru budovy  $A/V$  ( $m^2/m^3$ ) je poměr mezi plochou obalových konstrukcí  $A$  a obestavěným prostorem budovy  $V$ .*

Tabulka T 8.1. platí pro všechny obytné budovy a pro nebytové budovy s poměrnou plochou průsvitných konstrukcí v nadzemní části budovy  $f_w \leq 0,50$  s převažující vnitřní návrhovou teplotou  $\theta_{im} = 20$  °C.

Pro nebytové budovy s  $f_w > 0,50$  se připouští požadované hodnoty součinitele prostupu tepla  $U_{em,N,rq}$ , určené ze vztahu 8.2 a doporučené hodnoty téhož součinitele  $U_{em,N,rc}$ , určené ze vztahu 8.3.

$$U_{em,N,rq} = 0,35 + \frac{0,20}{\left(\frac{A}{V}\right)} \quad (8.2)$$

$$U_{em,N,rc} = 0,30 + \frac{0,15}{\left(\frac{A}{V}\right)} \quad (8.3)$$

Pro faktor tvaru budovy  $A/V \leq 0,2$  platí hodnota stanovená pro  $A/V = 0,2$ , pro faktor tvaru budovy  $A/V \geq 1,0$  platí hodnota stanovená pro  $A/V = 1,0$ .

Ve všech ostatních případech se normové hodnoty průměrného součinitele prostupu tepla stanoví ze vztahu

$$U_{em,N} = U_{em,A,20} \cdot e_1 \cdot \frac{35}{\Delta\theta_{ie}} \quad (8.4)$$

kde  $U_{em,A}$  je součinitel prostupu tepla ( $Wm^{-2}K^{-1}$ )

$e_1$  je součinitel typu budovy, bezrozměrný, viz tab. T 1.1

$\Delta\theta_{ie}$  je základní rozdíl teplot vnitřního a venkovního prostředí ( $^{\circ}C$ )

### 8.3. ZÁSADY PRO NAVRHOVÁNÍ BUDOV Z HLEDISKA ENERGETICKÉHO

Zásadami pro optimální návrh objektu z energetického hlediska se podrobně zabývá řada publikací. Komplexně a přehledně je tento problém analyzován např. v (10).

Při architektonickém návrhu je třeba - s ohledem na minimalizaci tepelných ztrát pro vytápění budov - věnovat pozornost především těmto oblastem:

- umístění stavby
- geometrické řešení objektu
- dispoziční řešení objektu.

#### 8.3.1. Umístění stavby

Spotřebu energie na vytápění z hlediska umístění stavby ovlivňují zejména:

- teplota vnějšího vzduchu
- rychlost větru.

Teplotu vnějšího vzduchu ovlivňuje jednak konfigurace terénu, jednak hustota a charakter okolní zástavby. Doporučuje se proto nestavět budovy v uzavřených údolích, kde

dochází ke koncentraci studeného vzduchu a na severních svazích. Stejně tak je z energetického hlediska nevýhodné solitérní umístění budovy, protože v souvislé zástavbě je zimní teplota vyšší než v otevřeném terénu.

Rychlost větru nepříznivě ovlivňuje především tepelnou ztrátu infiltrací. Z tohoto pohledu je třeba označit za nevhodná místa vrcholy kopců a otevřenou krajinu s intenzivními větry, případně i protáhlá údolí.

### 8.3.2. Geometrické řešení objektu

Geometrické řešení objektu ovlivňuje v první řadě tepelnou ztrátu prostupem tepla. S rostoucí plochou obalových konstrukcí dochází i k nárůstu této tepelné ztráty. Optimalizace tvaru objektu je v podstatě hledáním minimální hodnoty faktoru tvaru budovy, to znamená podílu plochy obalových konstrukcí objektu a jeho objemu. Vztahy pro určení optimální výšky objektu při zadaném půdorysném tvaru uvádí (10). Příznivě se z tohoto pohledu projevuje také vzájemné propojení budov ve větší celek.

### 8.3.3. Dispoziční řešení objektu

Dispoziční řešení budovy ovlivňuje jednak orientaci budovy ke světovým stranám, jednak vzájemné vztahy mezi vytápanými a nevytápanými místnostmi.

Solární zisky jsou významným prvkem v energetické bilanci budovy, především s ohledem na plochu a orientaci transparentních konstrukcí. Je proto výhodné orientovat převládající průsvitné plochy na jih a přilehlé světové strany, naopak ve směru severní orientace, kde u transparentních konstrukcí převažují tepelné ztráty nad solárními tepelnými zisky, plochu průsvitných konstrukcí minimalizovat.

Z pohledu dispozičního řešení budovy se jeví jako optimální seskupovat vytápané a nevytápané místnosti do jednotlivých souvislých zón, místnosti s vyšší teplotou situovat pokud možno uvnitř dispozice objektu, k vnějšímu plášti prioritně umísťovat nevytápané prostory případně prostory vytápané na nižší teplotu. Samozřejmou podmínkou úspěšnosti tohoto řešení je oddělení prostorů vytápaných na různou teplotu dveřmi, které budou v průběhu otopné sezóny systematicky zavírány.

Zóny s vytápanými prostory mají být situovány především k jihu, nevytápané zóny k severu.

## 8.4. PŘÍKLADY

K výpočtovému hodnocení energetických vlastností budov se užívá program ENERGIE 2005. Tento program umožňuje hodnotit objekt jak podle ČSN 73 0540 (1) tak i podle Vyhlášky MPO č.291/2001 Sb. (3).

### Zadání výpočtu

Ve výchozí tabulce *Popis objektu a klimatických podmínek* se zvolí požadovaný druh výpočtu a v závislosti na této volbě se doplní (většinou automaticky) potřebné klimatické údaje.

V následné tabulce *Popis jednotlivých zón objektu* se vyplní základní údaje o posuzované zóně a o použitém způsobu větrání.

V dalších tabulkách *Popis neprůsvitných konstrukcí ve styku s vnějším vzduchem*, *Popis okenních konstrukcí*, *Popis konstrukcí ve styku se zemí* a *Popis nevytápěných prostor a zimních zahrad* se zadávají podrobné údaje o jednotlivých typech konstrukcí, jejich plochy a základní tepelně technické parametry.

### Numerický výstup výpočtu

V programu lze volit buď výstup ve formě přehledu výsledků pro jednotlivé zóny nebo ve formě výsledků podrobných.

Protokol s přehledem výsledků obsahuje:

- hodnocení jednotlivých zón včetně solárních zisků
- spotřebu tepla na vytápění
- rozložení měrných tepelných ztrát
- výslednou spotřebu tepelné energie za topné období
- měrnou spotřebu tepla.
- průměrný součinitel prostupu tepla budovy
- stupeň tepelné náročnosti

### Grafický výstup výpočtu

Program umožňuje zobrazit:

- roční energetickou bilanci objektu s přehledem vstupující a vystupující energie
- rozdělení měrných tepelných ztrát zóny formou sloupcového grafu ve dvojrozměrném nebo trojrozměrném zobrazení
- rozdělení měrných tepelných ztrát zóny formou kruhového grafu
- potřebu tepla na vytápění a tepelné zisky
- příkon tepla na vytápění objektu

## Příklad 8.1

Proveďte hodnocení rodinného domu z energetického hlediska.

### Zadání vstupních hodnot výpočtu:

**Popis objektu a klimatických podmínek**

Úpravy Pomůcky Konec práce s daty

**Obecné údaje:**

Název objektu:  Zakázka:   
 Zpracovatel:  Datum:

**Klimatické údaje:**

Typ výpočtu:

Červenec | Srpen | Září | Říjen | Listopad | Prosinec |  
 Leden | Únor | Březen | Duben | Květen | Červen |

Délka úseku:  dnů Prům. vnější teplota:  C

Celk. energie glob. slun. záření dopadající za daný úsek na jednotkové plochy orientované:

|               |  |                  |  |
|---------------|--|------------------|--|
| na sever:     | <input type="text" value="39,0"/> MJ/m <sup>2</sup>  | na severovýchod: | <input type="text" value="0,0"/> MJ/m <sup>2</sup> |
| na jih:       | <input type="text" value="178,0"/> MJ/m <sup>2</sup> | na severozápad:  | <input type="text" value="0,0"/> MJ/m <sup>2</sup> |
| na východ:    | <input type="text" value="68,0"/> MJ/m <sup>2</sup>  | na jihovýchod:   | <input type="text" value="0,0"/> MJ/m <sup>2</sup> |
| na západ:     | <input type="text" value="80,0"/> MJ/m <sup>2</sup>  | na jihozápad:    | <input type="text" value="0,0"/> MJ/m <sup>2</sup> |
| horizontálně: | <input type="text" value="112,0"/> MJ/m <sup>2</sup> |                  |  |

**Formuláře:**

Formulář č. 1  
 Blok 1- 1

**Akt. pomůcky:**

**Popis jednotlivých zón v objektu**      **Popis spojení zón v objektu**

**Popis jednotlivých zón v objektu**

Úpravy Pomůcky Rychlé posuny Konec práce s daty

**Základní popis zóny:**

Název zóny:

Vnitřní teplota:  C      Zadání přerušovaného vytápění

Objem vzduchu v zóně:  m<sup>3</sup>      Průměrné vnitřní tep. zisky:  kW

Zpětně získané teplo:  MJ      Potřeba tepla na ohřev TUV:  MJ

Účinnost vytápěcího systému:  %

je známa časová konstanta zóny      Časová konstanta zóny:  h

vliv tepelných vazeb zahrnout přibližně      Vliv tepelných vazeb:  W/m<sup>2</sup>K

**Popis větracího systému zóny:**

větrání v zóně je nucané (s pomocí vzduchotechniky)

**Přirozené větrání**

Minimální (hygienická) násobnost výměny vzduchu v zóně:  1/h

Návrhová násobnost výměny vzduchu v zóně:  1/h

Při výpočtu měrné potřeby tepla na vytápění podle Vyhlášky MPO č. 291/2001 Sb., ČSN 730540 a STN 730540 se standardně uvažuje přirozené větrání interiéru s intenzitou výměny vzduchu 0,5 1/h.

**Formuláře:**

Formulář č. 1  
 Blok 1- 1

**Akt. pomůcky:**

**Popis hlavních konstrukcí v dané zóně**      **Popis doplňkových konstrukcí v dané zóně**

**Okna**      **Stěny a střecha**      **Podlaha a suterén**      **Nevytápěné prostory**

**ZÓNA č. 1 : Popis okenních konstrukcí**

Úpravy Formulář Pomůcky Rychlé posuny Konec práce s daty

Popis okenní konstrukce

Označení:  Šířka:  m Výška:  m

Součinitel prostupu tepla:  W/m2K Lineární činitel prostupu pro ostění:  W/mK

Činitel teplotní redukce:  ... pro nadpraží:  W/mK

... pro parapet:  W/mK

Orientace:

Celková propustnost slunečního záření:  Korekční činitel rámu:

Korekční činitel clonění:

Korekční činitel stínění jinými budovami:

Korekční činitel stínění přečnívajícími vodorovnými částmi (markýzy apod.):

Korekční činitel stínění přečnívajícími svislými částmi (lodžiové stěny apod.):

Počet těchto oken v zóně:

Na každém formuláři lze vyplnit jeden typ okenní konstrukce. Pokud se v zóně nachází více typů oken, lze další okna zadat do dalších formulářů. Další formulář můžete přidat příkazem Další formulář v nabídce menu Rychlé posuny, stiskem klávesy F4 nebo kliknutím na tlačítko se symbolem šipky na panelu nástrojů vpravo.

**Formuláře:** +

- 1. okno
- 2. okno
- 3. okno
- 4. okno

Formulář č. 1  
Blok 1- 1

**Akt. pomůcky:**

K dispozici je katalog konstrukcí.

**ZÓNA č. 1 : Popis neprůsvitných konstrukcí ve styku s vnějším vzduchem**

Úpravy Formulář Pomůcky Rychlé posuny Konec práce s daty

Plošné stavební konstrukce | Liniové tepelné mosty | Bodové tepelné mosty

| Č.                                    | Označení konstrukce | Plocha konstrukce [m <sup>2</sup> ] | Součinitel prostupu tepla [W/m <sup>2</sup> K] | Činitel b [-] |      |
|---------------------------------------|---------------------|-------------------------------------|--|---------------|------|
| <input checked="" type="checkbox"/> 1 | Stěny               | 91,00                               | Odečíst okna                                   | 0,300         | 1,00 |
| <input type="checkbox"/> 2            |                     | 0,00                                | Odečíst okna                                   | 0,000         | 1,00 |
| <input type="checkbox"/> 3            |                     | 0,00                                | Odečíst okna                                   | 0,000         | 1,00 |
| <input type="checkbox"/> 4            |                     | 0,00                                | Odečíst okna                                   | 0,000         | 1,00 |
| <input type="checkbox"/> 5            |                     | 0,00                                | Odečíst okna                                   | 0,000         | 1,00 |
| <input type="checkbox"/> 6            |                     | 0,00                                | Odečíst okna                                   | 0,000         | 1,00 |
| <input type="checkbox"/> 7            |                     | 0,00                                | Odečíst okna                                   | 0,000         | 1,00 |
| <input type="checkbox"/> 8            |                     | 0,00                                | Odečíst okna                                   | 0,000         | 1,00 |
| <input type="checkbox"/> 9            |                     | 0,00                                | Odečíst okna                                   | 0,000         | 1,00 |
| <input type="checkbox"/> 10           |                     | 0,00                                | Odečíst okna                                   | 0,000         | 1,00 |

Na každém formuláři lze vyplnit 10 neprůsvitných obalových konstrukcí. Pokud se v zóně nachází více neprůsvitných konstrukcí, lze další konstrukce zadat do dalších formulářů. Další formulář můžete přidat příkazem Další formulář v nabídce menu Rychlé posuny, stiskem klávesy F4 nebo kliknutím na tlačítko se symbolem šipky na panelu nástrojů vpravo.

**Formuláře:** +

- 1. sada koci

Formulář č. 1  
Blok 1- 1

**Akt. pomůcky:**

**ZÓNA č. 1 : Popis neprůsvitných konstrukcí ve styku s vnějším vzduchem**

Úpravy Formulář Pomůcky Rychlé posuny Konec práce s daty

Plošné stavební konstrukce  **Liniové tepelné mosty**  Bodové tepelné mosty

| Č.                                    | Dznačení tepelného mostu | Délka tepelného mostu [m] | Lineární čísel prostupu [W/mK] | Čísel b [-] |
|---------------------------------------|--------------------------|---------------------------|--------------------------------|-------------|
| <input checked="" type="checkbox"/> 1 | Styk stěny a stropu      | 36,800                    | 0,001                          | 1,00        |
| <input type="checkbox"/> 2            |                          | 0,000                     | 0,000                          | 1,00        |
| <input type="checkbox"/> 3            |                          | 0,000                     | 0,000                          | 1,00        |
| <input type="checkbox"/> 4            |                          | 0,000                     | 0,000                          | 1,00        |
| <input type="checkbox"/> 5            |                          | 0,000                     | 0,000                          | 1,00        |
| <input type="checkbox"/> 6            |                          | 0,000                     | 0,000                          | 1,00        |
| <input type="checkbox"/> 7            |                          | 0,000                     | 0,000                          | 1,00        |
| <input type="checkbox"/> 8            |                          | 0,000                     | 0,000                          | 1,00        |
| <input type="checkbox"/> 9            |                          | 0,000                     | 0,000                          | 1,00        |
| <input type="checkbox"/> 10           |                          | 0,000                     | 0,000                          | 1,00        |

Na každém formuláři lze vyplnit 10 liniových 2D tepelných mostů. Pokud se v zóně nachází více 2D tepelných mostů, lze další mosty zadat do dalších formulářů. Další formulář můžete přidat příkazem Další formulář v nabídce menu Rychlé posuny, stiskem klávesy F4 nebo kliknutím na tlačítko se symbolem šipky na panelu nástrojů vpravo.

Formuláře: +

1 - sada kci

---

Formulář č. 1

Blok 1- 1

Akt. pomůcky:

**ZÓNA č. 1 : Popis konstrukcí ve styku se zemínou**

Úpravy Formulář Pomůcky Rychlé posuny Konec práce s daty

provést jen přibližný výpočet, neprovádět podrobný výpočet dle ČSN EN ISO 13370

Obecné údaje:

|  |   |
|--|---|
| Součinitel tepelné vodivosti zeminy: 2,00 W/mK | Lineární čísel prostupu pro napojení stěny: 0,00 W/mK |
| Plocha podlahy: 99,00 m <sup>2</sup>           | Čísel Gw (vliv spodní vody): 1,00                     |
|  | Exponovaný obvod podlahy: 36,80 m                     |

Typ podlahové konstrukce:

podlaha na zemině  zvýšená podlaha  vytápěný suterén  částečně či zcela nevytápěný suterén

Tloušťka obvodové stěny: 0,10 m      Tepelný odpor podlahy: 2,00 m<sup>2</sup>K/W

Okrajová izolace podlahy:

žádná není  vodorovná  svislá

doplňková korekce na vliv přídavné izolace je známa

|   |
|---|
| Tloušťka přídavné okrajové tepelné izolace (nebo základu z lehkého betonu): 0,00 m                        |
| Součinitel tepelné vodivosti přídavné okrajové tepelné izolace (nebo základu z lehkého betonu): 0,00 W/mK |
| Šířka vodorovné okrajové tepelné izolace: 0,00 m  |

Formuláře: +

1 - typ podlahy

---

Formulář č. 1

Blok 1- 1

Akt. pomůcky:

**ZÓNA č. 1 : Popis nevytápěných prostor a zimních zahrad**

Úpravy Formulář Pomůcky Rychlé posuny Konec práce s daty

Obecné údaje | Konstrukce na styku s interiérem | Konstrukce na styku s exteriérem a zemínou

Označení nevytápěného prostoru:   Provést přesný výpočet dle ČSN EN ISO 13789

Objem vzduchu v nevytápěném prostoru:  m<sup>3</sup>

Násobnost výměny vzduchu mezi nevytápěným prostorem a interiérem:  1/h

Násobnost výměny vzduchu mezi nevytápěným prostorem a exteriérem:  1/h

**Poznámky:**  
 Za nevytápěný prostor se považují jakékoli místnosti mezi vytápěným interiérem a exteriérem, které nejsou vytápěny (např. garáže, zádveží, zimní zahrady).  
 Pokud jsou nevytápěné místnosti spojeny trvale otevřenými otvory s vytápěným interiérem, považují se za součást interiéru.  
 Pokud hodnotíte zimní zahradu, je nutné vyplnit i příslušné doplňkové údaje, které není nutné zadávat pro ostatní typy nevytápěných prostor.  
 Na následujících záložkách lze zadat obalové konstrukce nevytápěného prostoru - tedy konstrukce oddělující tento prostor od interiéru a od exteriéru a zeminy. Maximální počet jednotlivých typů konstrukcí pro jeden nevytápěný prostor je 10.  
 Pokud hodnocená zóna sousedí s větším počtem nevytápěných prostorů, můžete další nevytápěné prostory zadat na dalších formulářích. Další formulář můžete vytvořit příkazem Další formulář v nabídce menu Pomůcky, stiskem klávesy F4 nebo kliknutím na tlačítko se symbolem šipky.

Formuláře: +  
 1. nevyt. zóna

Formulář č. 1  
 Blok 1- 1

Akt. pomůcky:

## Výstupní protokol výpočtu:

# VÝPOČET POTŘEBY TEPLA NA VYTÁPĚNÍ BUDOV A PRŮMĚRNÉHO SOUČINITELE PROSTUPU TEPLA

podle ČSN EN ISO 13790, ČSN EN 832, ČSN 730540 a STN 730540

Energie 2005

Název úlohy: 8.1  
 Zpracovatel: FK  
 Zakázka: SFII  
 Datum: říjen 2005

## KONTROLNÍ TISK VSTUPNÍCH DAT :

Počet zón v objektu: 1  
 Typ výpočtu potřeby tepla: měsíční (pro jednotlivé měsíce v roce)

## Okrajové podmínky výpočtu :

| Název období | Počet dnů | Teplota exteriéru | Celková energie globálního slunečního záření [MJ/m <sup>2</sup> ] |       |        |       | Horizont |
|--------------|-----------|-------------------|---|-------|--------|-------|----------|
|              |           |                   | Sever   | Jih   | Východ | Západ |          |
| 1. měsíc     | 31        | 0,0 C             | 39,0  | 178,0 | 68,0   | 80,0  | 112,0    |
| 2. měsíc     | 28        | 1,9 C             | 54,0  | 245,0 | 108,0  | 123,0 | 187,0    |
| 3. měsíc     | 31        | 4,6 C             | 88,0  | 319,0 | 193,0  | 193,0 | 339,0    |
| 4. měsíc     | 30        | 9,3 C             | 117,0   | 340,0 | 262,0  | 267,0 | 486,0    |
| 5. měsíc     | 31        | 13,0 C            | 164,0   | 310,0 | 310,0  | 304,0 | 584,0    |
| 6. měsíc     | 30        | 16,7 C            | 186,0   | 312,0 | 345,0  | 332,0 | 663,0    |
| 7. měsíc     | 31        | 18,8 C            | 182,0   | 343,0 | 356,0  | 356,0 | 699,0    |
| 8. měsíc     | 31        | 17,6 C            | 122,0   | 356,0 | 300,0  | 300,0 | 556,0    |
| 9. měsíc     | 30        | 15,1 C            | 93,0  | 365,0 | 223,0  | 239,0 | 405,0    |
| 10. měsíc    | 31        | 10,8 C            | 70,0  | 313,0 | 146,0  | 159,0 | 261,0    |

## Stavebně energetické vlastnosti budov

|           |    |       |      |       |      |      |       |
|-----------|----|-------|------|-------|------|------|-------|
| 11. měsíc | 30 | 5,1 C | 39,0 | 203,0 | 75,0 | 85,0 | 127,0 |
| 12. měsíc | 31 | 0,3 C | 35,0 | 178,0 | 62,0 | 71,0 | 95,0  |

| Název období | Počet dnů | Teplota exteriéru | Celková energie globálního slunečního záření [MJ/m <sup>2</sup> ] |     |     |     |
|--------------|-----------|-------------------|---|-----|-----|-----|
|              |           |                   | SV  | SZ  | JV  | JZ  |
| 1. měsíc     | 31        | 0,0 C             | 0,0   | 0,0 | 0,0 | 0,0 |
| 2. měsíc     | 28        | 1,9 C             | 0,0   | 0,0 | 0,0 | 0,0 |
| 3. měsíc     | 31        | 4,6 C             | 0,0   | 0,0 | 0,0 | 0,0 |
| 4. měsíc     | 30        | 9,3 C             | 0,0   | 0,0 | 0,0 | 0,0 |
| 5. měsíc     | 31        | 13,0 C            | 0,0   | 0,0 | 0,0 | 0,0 |
| 6. měsíc     | 30        | 16,7 C            | 0,0   | 0,0 | 0,0 | 0,0 |
| 7. měsíc     | 31        | 18,8 C            | 0,0   | 0,0 | 0,0 | 0,0 |
| 8. měsíc     | 31        | 17,6 C            | 0,0   | 0,0 | 0,0 | 0,0 |
| 9. měsíc     | 30        | 15,1 C            | 0,0   | 0,0 | 0,0 | 0,0 |
| 10. měsíc    | 31        | 10,8 C            | 0,0   | 0,0 | 0,0 | 0,0 |
| 11. měsíc    | 30        | 5,1 C             | 0,0   | 0,0 | 0,0 | 0,0 |
| 12. měsíc    | 31        | 0,3 C             | 0,0   | 0,0 | 0,0 | 0,0 |

### PŘEHLEDNÉ VÝSLEDKY VÝPOČTU PRO JEDNOTLIVÉ ZÓNY :

#### VÝSLEDKY VÝPOČTU PRO ZÓNU Č. 1 :

|                           |                   |
|---------------------------|-------------------|
| Název zóny:               | RD                |
| Vnitřní teplota:          | 20,0 C            |
| Účinnost otopné soustavy: | 75,0 %            |
| Teplo na přípravu TUV:    | 0,0 MJ (za měsíc) |
| Zpětně získané teplo:     | 0,0 MJ (za měsíc) |

|  |                    |
|--|--------------------|
| Měrná tepelná ztráta větráním Hv:                | 43,350 W/K         |
| Tepelná propustnost mezi zónou a exteriérem Ld:  | 65,337 W/K         |
| Ustálená tepelná propustnost zeminou Ls:         | 28,762 W/K         |
| Měrná ztráta prostupem nevytáp. prostory Hu:     | 19,264 W/K         |
| Měrná ztráta Trombeho stěnami H,tw:              | ---                |
| Měrná ztráta větráními stěnami H,vw:             | ---                |
| Měrná ztráta prvky s transparentní izolací H,ti: | ---                |
| Přídavná měrná ztráta podlahovým vytápěním dHt:  | ---                |
| <b>Výsledná měrná ztráta H:</b>                  | <b>156,712 W/K</b> |

| Měsíc | QI [MJ]  | Qi [MJ] | Qs [MJ]  | Qg [MJ]  | Eta [-] | Qh [MJ]  | Q [MJ]   |
|-------|----------|---------|----------|----------|---------|----------|----------|
| 1     | 8394,757 | 669,600 | 1062,245 | 1731,845 | 0,999   | 6664,043 | 8885,391 |
| 2     | 6862,037 | 604,800 | 1502,194 | 2106,994 | 0,997   | 4762,245 | 6349,660 |
| 3     | 6463,963 | 669,600 | 2113,394 | 2782,994 | 0,987   | 3717,049 | 4956,065 |
| 4     | 4346,317 | 648,000 | 2467,476 | 3115,476 | 0,925   | 1465,671 | 1954,228 |
| 5     | 2938,165 | 669,600 | 2550,931 | 3220,531 | 0,779   | 430,131  | 573,508  |
| 6     | 1340,453 | 648,000 | 2693,239 | 3341,239 | 0,397   | 13,258   | 17,677   |
| 7     | 503,686  | 669,600 | 2870,762 | 3540,362 | 0,142   | 0,067    | 0,089    |
| 8     | 1007,371 | 669,600 | 2649,341 | 3318,941 | 0,303   | 3,285    | 4,380    |
| 9     | 1990,370 | 648,000 | 2432,743 | 3080,743 | 0,611   | 108,465  | 144,621  |
| 10    | 3861,588 | 669,600 | 1935,389 | 2604,989 | 0,937   | 1419,471 | 1892,628 |
| 11    | 6052,349 | 648,000 | 1188,151 | 1836,151 | 0,997   | 4222,175 | 5629,566 |
| 12    | 8268,836 | 669,600 | 1032,818 | 1702,418 | 0,999   | 6567,520 | 8756,693 |

Vysvětlivky: QI je potřeba tepla na pokrytí tepelné ztráty, Qi jsou vnitřní tepelné zisky, Qs jsou solární tepelné zisky, Qg jsou celkové tepelné zisky, Eta je stupeň využitelnosti tepelných zisků, Qh je potřeba tepla na vytápění a Q je celková potřeba energie na vytápění (tj. celkový příkon tepla).

|  |                     |
|--|---------------------|
| <b>Potřeba tepla na vytápění za rok Qh:</b>        | <b>29373,380 MJ</b> |
| <b>Celk. potřeba energie na vytápění za rok Q:</b> | <b>39164,510 MJ</b> |

### PŘEHLEDNÉ VÝSLEDKY VÝPOČTU PRO CELÝ OBJEKT :

#### Rozložení měrných tepelných ztrát

| Zóna    | Položka                                   | Měrná ztráta [W/K] | Procento [%] |
|---------|---|--------------------|--------------|
| 1       | Celková měrná ztráta H:                   | 156,712            | 100,0 %      |
| z toho: | Měrná ztráta výměnou vzduchu Hv:          | 43,350             | 27,7 %       |
|         | Ustálená propustnost zeminou Ls:          | 28,762             | 18,4 %       |
|         | Měrná ztráta přes nevytápěné prostory Hu: | 19,264             | 12,3 %       |
|         | Propustnost tepelnými mosty Ld,tb:        | 0,037              | 0,0 %        |

|   |        |        |
|---|--------|--------|
| Propustnost plošnými kcmi Ld,c:           | 65,300 | 41,7 % |
| Okna... :                                 | 38,000 | 24,2 % |
| Stěny... :                                | 27,300 | 17,4 % |
| Zbýlé méně významné konstrukce:           | 0,000  | 0,0 %  |
| Měrná ztráta speciálními konstrukcemi dH: | ---    | 0,0 %  |

**Měrná ztráta objektu a parametry podle starších předpisů**

|   |                            |
|---|----------------------------|
| Součet celkových měrných tepelných ztrát jednotlivých zón Hc: | 156,712 W/K                |
| Objem budovy stanovený z vnějších rozměrů:                    | 318,8 m <sup>3</sup>       |
| Tepelná charakteristika budovy podle ČSN 730540 (1994):       | 0,49 W/m <sup>3</sup> K    |
| Spotřeba tepla na vytápění podle STN 730540, Zmena 5 (1997):  | 36,1 kWh/m <sup>3</sup> ,a |

Poznámka: Tepelnou ztrátu objektu lze získat vynásobením součtu měrných ztrát jednotlivých zón Hc působícím teplotním rozdílem mezi interiérem a exteriérem.

**Potřeba tepla na vytápění podle ČSN EN 832 a ČSN EN ISO 13790**

| Měsíc | Ql [GJ] | Qi [GJ] | Qs [GJ] | Qg [GJ] | Eta [-] | Qh [GJ] | Q [GJ] |
|-------|---------|---------|---------|---------|---------|---------|--------|
| 1     | 8,395   | 0,670   | 1,062   | 1,732   | 0,999   | 6,664   | 8,885  |
| 2     | 6,862   | 0,605   | 1,502   | 2,107   | 0,997   | 4,762   | 6,350  |
| 3     | 6,464   | 0,670   | 2,113   | 2,783   | 0,987   | 3,717   | 4,956  |
| 4     | 4,346   | 0,648   | 2,467   | 3,115   | 0,925   | 1,466   | 1,954  |
| 5     | 2,938   | 0,670   | 2,551   | 3,221   | 0,779   | 0,430   | 0,574  |
| 6     | 1,340   | 0,648   | 2,693   | 3,341   | 0,397   | 0,013   | 0,018  |
| 7     | 0,504   | 0,670   | 2,871   | 3,540   | 0,142   | 0,000   | 0,000  |
| 8     | 1,007   | 0,670   | 2,649   | 3,319   | 0,303   | 0,003   | 0,004  |
| 9     | 1,990   | 0,648   | 2,433   | 3,081   | 0,611   | 0,108   | 0,145  |
| 10    | 3,862   | 0,670   | 1,935   | 2,605   | 0,937   | 1,419   | 1,893  |
| 11    | 6,052   | 0,648   | 1,188   | 1,836   | 0,997   | 4,222   | 5,630  |
| 12    | 8,269   | 0,670   | 1,033   | 1,702   | 0,999   | 6,568   | 8,757  |

Vysvětlivky: Ql je potřeba tepla na pokrytí tepelné ztráty, Qi jsou vnitřní tepelné zisky, Qs jsou solární tepelné zisky, Qg jsou celkové tepelné zisky, Eta je stupeň využitelnosti tepelných zisků, Qh je potřeba tepla na vytápění a Q je celková potřeba energie na vytápění (tj. celkový příkon tepla).

|  |                  |                   |
|--|------------------|-------------------|
| <b>Potřeba tepla na vytápění za rok Qh:</b>        | <b>29,373 GJ</b> | <b>8,159 MWh</b>  |
| <b>Celk. potřeba energie na vytápění za rok Q:</b> | <b>39,165 GJ</b> | <b>10,879 MWh</b> |

Vysvětlivky: Potřeba tepla na vytápění Qh nezahrnuje vliv účinnosti otopné soustavy, tepla na ohřev TUV a zpětně získaného tepla. Všechny tyto další vlivy zahrnuje celková potřeba energie na vytápění Q (tj. celkový příkon tepla).

Poznámka: Potřeba tepla na vytápění Qh a celková potřeba energie na vytápění Q platí pro budovy s automatickou dynamickou regulací otopného systému. Jen u takových budov lze do energetické bilance započítat vnitřní a vnější tepelné zisky. Pokud je otopný systém budovy bez regulace, je potřeba tepla na vytápění Qh totožná s potřebou tepla na pokrytí tepelné ztráty Ql.

**Měrná potřeba tepla na vytápění podle ČSN EN 832 a ČSN EN ISO 13790**

|   |                                 |
|---|---------------------------------|
| Celk. potřeba tepla na vytápění budovy:           | 10879 kWh                       |
| Objem budovy stanovený z vnějších rozměrů:        | 318,8 m <sup>3</sup>            |
| <b>Měrná potřeba tepla na vytápění budovy Ev:</b> | <b>34,1 kWh/m<sup>3</sup>,a</b> |

**Průměrný součinitel prostupu tepla budovy**

|   |                              |
|---|------------------------------|
| Součet měrných tepelných ztrát prostupem jednotlivých zón Ht: | 113,4 W/K                    |
| Plocha obalových konstrukcí budovy:                           | 308,0 m <sup>2</sup>         |
| <b>Průměrný součinitel prostupu tepla obálky budovy U,em:</b> | <b>0,37 W/m<sup>2</sup>K</b> |

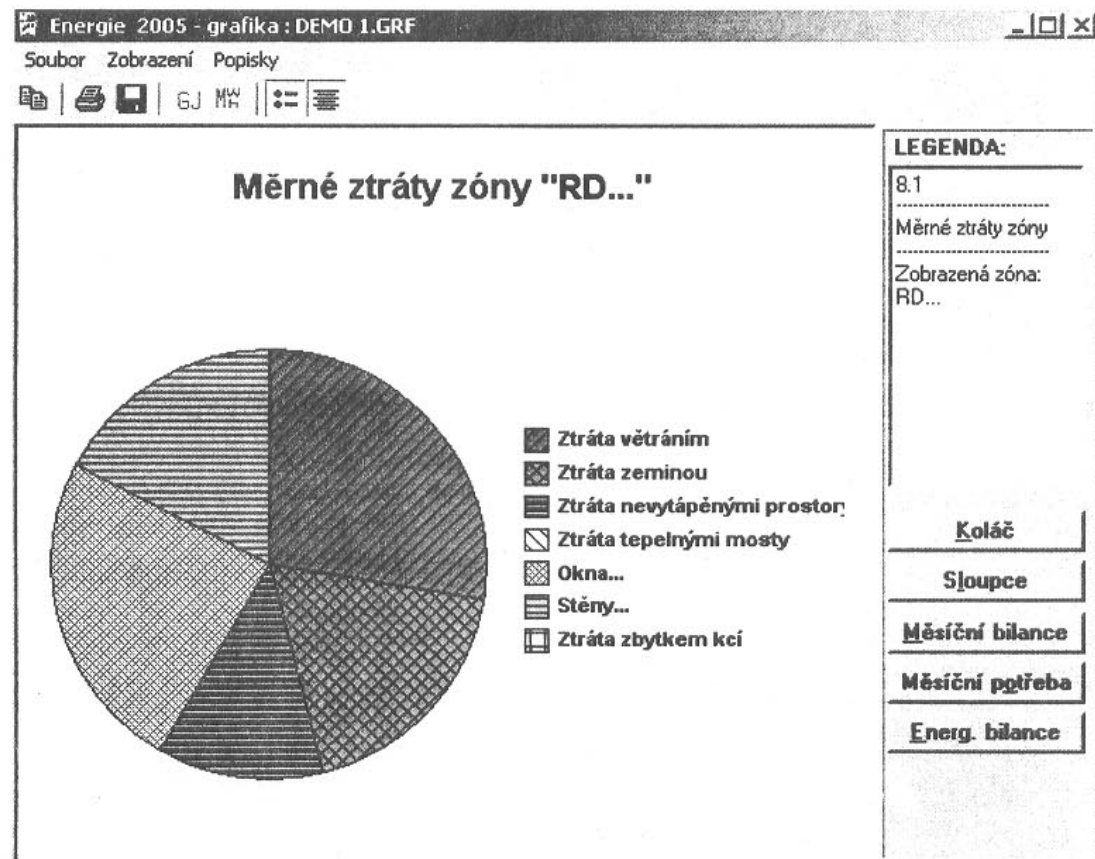
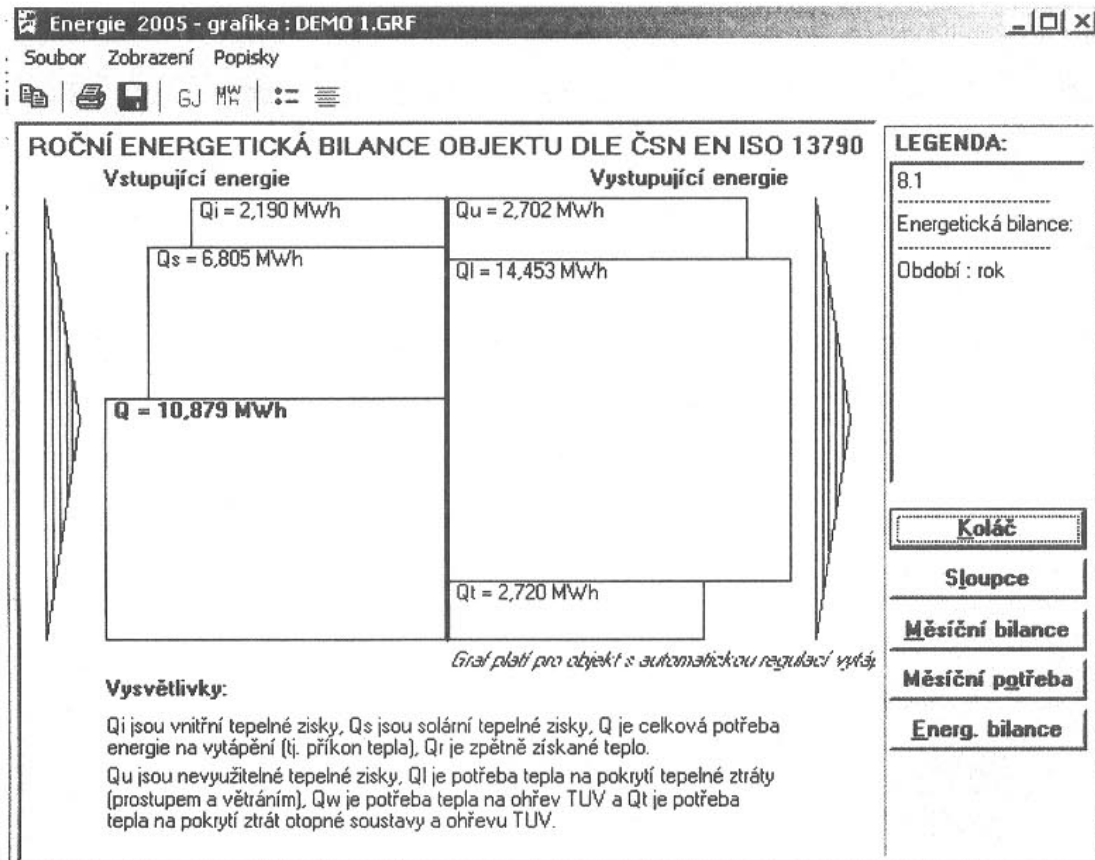
**Stupeň tepelné náročnosti podle ČSN 730540 (2005)**

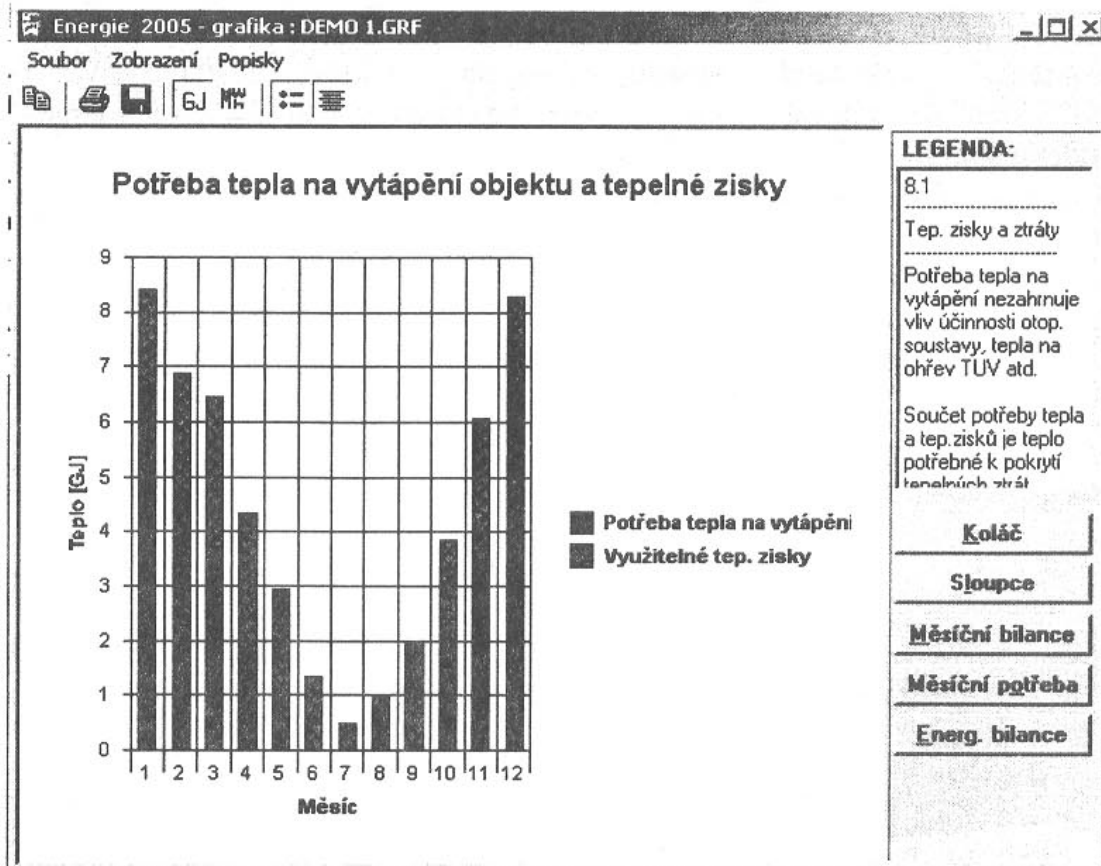
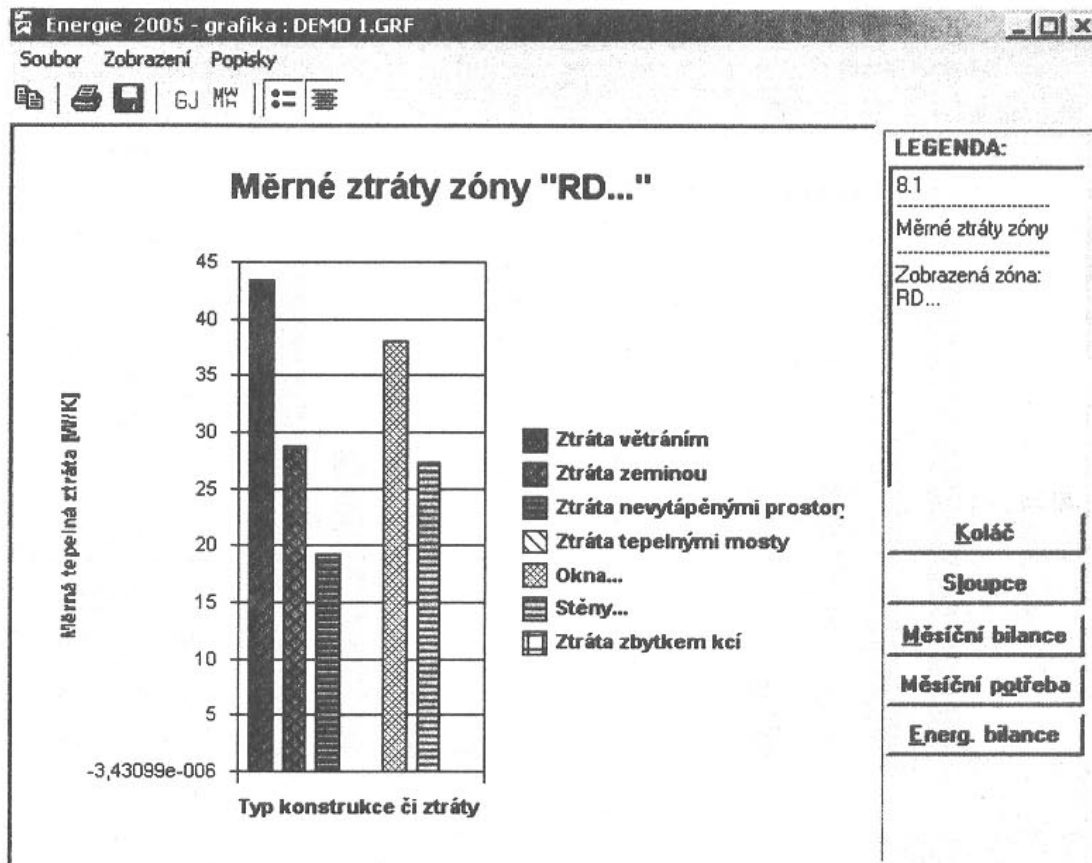
|  |                         |
|--|-------------------------|
| Požadovaný průměrný součinitel prostupu tepla U,em,N:  | 0,46 W/m <sup>2</sup> K |
| Průměrný součinitel prostupu tepla obálky budovy U,em: | 0,37 W/m <sup>2</sup> K |

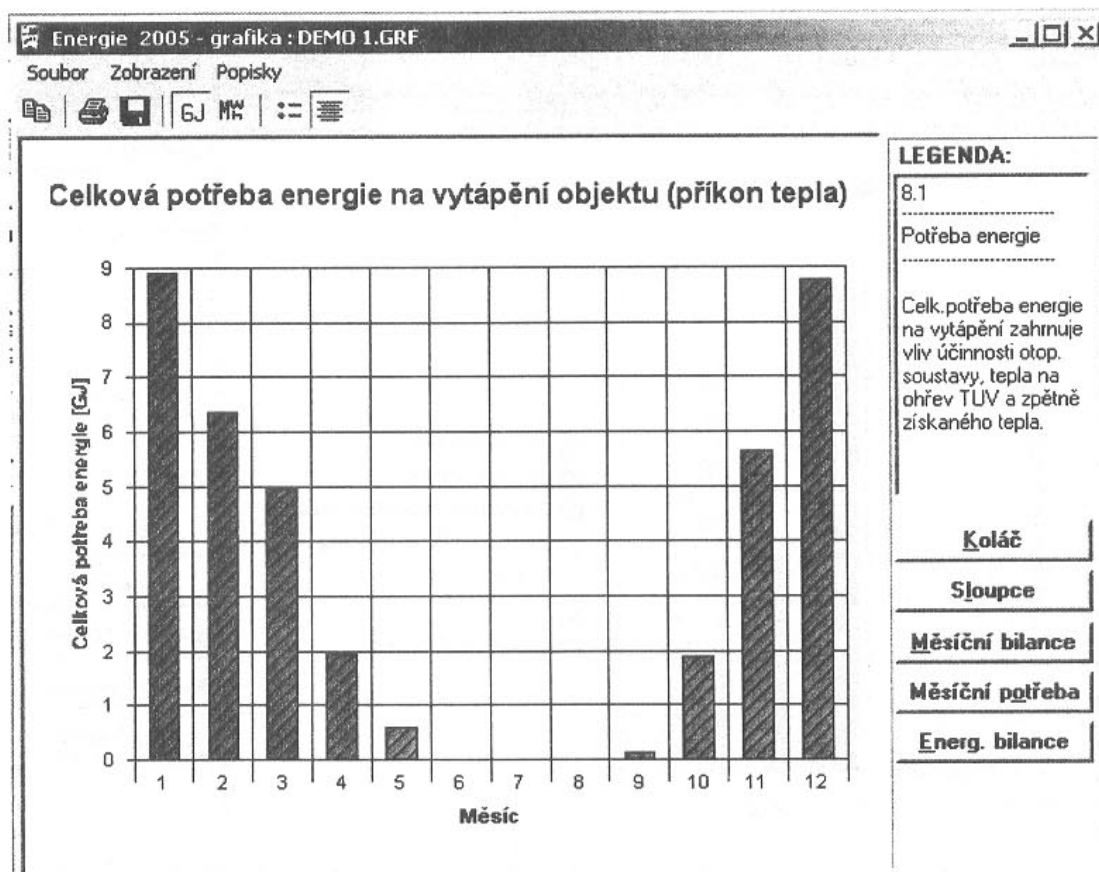
**Stupeň tepelné náročnosti STN: 81 %**

Poznámka: Požadovaný průměrný součinitel prostupu tepla U,em,N a vypočtený stupeň tepelné náročnosti STN platí pro obytné budovy a pro nebytové budovy s plochou prosklení do 50% fasády budovy, pohybuje-li se převažující návrhová vnitřní teplota v budově v rozmezí od 18 do 24 C. Pro ostatní nebytové budovy s převažující návrhovou vnitřní teplotou od 18 do 24 C je hodnota STN na straně bezpečnosti. Přesnou hodnotu STN pro méně běžné budovy je nutné stanovit individuálním výpočtem.

## Grafický výstup výpočtu:







## Posouzení:

Průměrný součinitel prostupu tepla budovy stanovený výpočtem je  $U_{em} = 0,37 \text{ Wm}^{-2}\text{K}^{-1}$ , zatímco normou požadovaná hodnota činí  $U_{em,N} = 0,46 \text{ Wm}^{-2}\text{K}^{-1}$ .

Budova splňuje normové požadavky.

Stupeň tepelné náročnosti budovy  $STN = 81\%$ , jedná se o objekt energeticky vyhovující.

# PŘÍLOHY



**Tabulka P 01 – Výpočtová vnitřní teplota  $\theta_i$  a relativní vlhkost vzduchu  $\varphi_i$  ve vytápěných místnostech**

| Druh vytápěné místnosti   | Výpočtová vnitřní teplota $\theta_i$ (°C) | Relativní vlhkost vzduchu $\varphi_i$ (%) |
|---|---|---|
| <b>1 Obytné budovy</b>  |   |   |
| <b>1.1 trvale užívané</b>   |   |   |
| obývací místnosti, tj. obývací pokoje, ložnice, jídelny, jídelny s kuchyňským koutem, pracovny, dětské pokoje | 20  | 60  |
| kuchyně   | 20  | 60  |
| koupelny  | 24  | 90  |
| klozety   | 20  | 60  |
| vytápěné vedlejší místnosti (předsín, chodby, aj.)  | 15  | 60  |
| vytápěná schodiště  | 10  | 60  |
| <b>1.2 občasně užívané (rekreační)</b>  |   |   |
| – v době provozu  |   |   |
| obývací místnosti, tj. obývací pokoje, ložnice, jídelny, jídelny s kuchyňským koutem, pracovny, dětské pokoje | 20  | 60  |
| kuchyně   | 20  | 60  |
| koupelny  | 24  | 90  |
| klozety   | 20  | 60  |
| vytápěné vedlejší místnosti (předsín, chodby aj.)   | 15  | 60  |
| vytápěná schodiště  | 10  | 60  |
| – mimo provoz   | 5   | 80  |
| <b>2 Administrativní budovy</b>   |   |   |
| kanceláře, čekárny, zasedací síně, jídelny,   | 20  | 60  |
| vytápěné vedlejší místnosti (chodby, hlavní schodiště, klozety aj.)   | 15  | 60  |
| vytápěná vedlejší schodiště   | 10  | 70  |
| haly, místnosti s přepážkami  | 18  | 70  |
| <b>3 Školní budovy</b>  |   |   |
| učebny, kreslírny, rýsovný, kabinety, laboratoře, jídelny   | 20  | 60  |
| učební dílny  | 18  | 65  |
| tělocvičny  | 15  | 70  |
| šatny u tělocvičen  | 20  | 60  |
| lázne a převlékárny   | 24  | 90  |
| ordinace a ošetřovny  | 24  | 80  |
| vytápěné vedlejší místnosti (chodby, schodiště, klozety, šatny jen pro svrchní oděv aj.)                      | 15  |   |
| mateřské školky – učebny, herny, lehárny  | 22  | 50  |
| – šatny pro děti  | 20  | 60  |
| – umývárny pro děti, WC   | 24  | 80  |
| – izolační místnosti  | 22  | 50  |
| <b>4 Zdravotnická zařízení</b>  |   |   |
| <b>4.1 jesle – učebny, herny, lehárny</b>   | 22  | 50  |
| – šatny pro děti  | 20  | 60  |
| – umývárny pro děti, WC   | 24  | 80  |
| – izolační místnosti  | 22  | 50  |
| <b>4.2 zdravotnická střediska, polikliniky, ordinace</b>  | 24  | 50  |
| čekárny, chodby, WC   | 20  | 60  |
| <b>4.3 nemocnice</b>  |   |   |
| pokoje pro nemocné  | 22  | 60  |
| vyšetřovny, přípravný   | 24  | 80  |
| koupelny  | 24  | 90  |
| operační sály   | 25  | 70  |
| předsíně, chodby, WC, schodiště   | 20  | 60  |
| <b>4.4 domovy důchodců</b>  |   |   |
| obývací místnosti, tj. obývací pokoje, ložnice, jídelny, jídelny s kuchyňským koutem, pracovny, kuchyně       | 20  | 60  |
|   | 20  | 60  |

(Pokračování)

| Druh vytápěné místnosti  | Výpočtová vnitřní teplota $\theta_i$ (°C) | Relativní vlhkost vzduchu $\varphi_i$ (%) |
|--|---|---|
| koupelny   | 24  | 90  |
| klozety  | 20  | 60  |
| vytápěné vedlejší místnosti (předsín, chodby aj.)  | 15  | 60  |
| vytápěná schodiště   | 10  | 60  |
| Ostatní zdravotnická zařízení a speciální požadavky – viz. Sborník technických řešení (Tepleně technická zařízení – Zdravoprojekt Praha) |   |   |
| 5 Obchodní   |   |   |
| prodejní místnosti všeobecně   | 20  | 60  |
| prodej trvanlivých potravin  | 18  | 60  |
| prodej masa, mléčných výrobků, ovoce   | 15  | 70  |
| vytápěné vedlejší místnosti (chodby, klozety, aj.)   | 15  | 70  |
| vytápěná schodiště   | 10  | 70  |
| kancelářské místnosti  | 20  | 60  |
| chladírny  | 2 až 5                                    | 80  |
| sklady   | dle požadavků                             | 70 až 90                                  |
| 6 Hotely a restaurace  |   |   |
| pokoje pro hosty   | 20  | 60  |
| koupelny   | 24  | 90  |
| hotelové haly, zasedací místnosti, jídelny, sály   | 20  | 60  |
| hlavní schodiště   | 15  | 70  |
| kuchyně  | 24  | 80  |
| vedlejší místnosti (chodby, klozety, aj.)  | 15  | 70  |
| vedlejší schodiště   | 10  | 70  |
| 7 Koleje a ubytovny  |   |   |
| pokoje, hovorny, společenské místnosti   | 20  | 60  |
| společná noční harna   | 16 až 18                                  | 60  |
| umývárny   | 24  | 80  |
| zařízení mimo provoz   | 5   | 80  |
| 8 Divadla, kina, koncertní sály a jiné kulturní místnosti  |   |   |
| hlediště a sály včetně přílehlých prostorů   | 20  | 60  |
| chodby, schodiště, klozety   | 15  | 70  |
| kancelářské místnosti  | 20  | 60  |
| šatny pro účinkující   | 22 až 24                                  | 60  |
| koupelny   | 24  | 90  |
| výstavní sály, depozitáře  | 15  | 55  |
| (nebo dle zvláštních požadavků)  |   |   |
| 9 Sportovní budovy   |   |   |
| 9.1 sportovní haly   |   |   |
| tělocvičny, haly   | 15  | 70  |
| šatny, převlékárnny  | 22  | 60  |
| umývárny, sprchy, místnosti pro masáž  | 24  | 90  |
| 9.2 bazénové haly  |   |   |
| pro dospělé  | 28  | 85  |
| pro děti   | 30  | 80  |
| klidný provoz (zakrytá hladina)  | 15  | 70  |
| sprchy   | 24  | 90  |
| šatny  | 22  | 80  |
| 9.3 sauny  |   |   |
| sauny  | 115                                       | 0   |
| prohřívárny  | 10  | 90  |
| ochlazovny   | 22  | 60  |
| odpočívárny  | 22  | 60  |

(Pokračování)

| Druh vytápěné místnosti                       | Výpočtová<br>vnitřní<br>teplota<br>$\theta_i$<br>(°C) | Relativní<br>vlhkost<br>vzduchu<br>$\varphi_{ni}$<br>(%) |
|---|---|--|
| 9.4 zimní stadióny                            |   |  |
| tréninkové haly (bez diváků)                  | -5  | 90   |
| haly s diváky                                 | 15 až 20  | 75   |
| 10 Nádraží, letiště                           |   |  |
| čekárny, letištní odbavovny (uzavřené)        | 20  | 60   |
| nádražní haly (uzavřené)                      | 15  | 70   |
| 11 Zemědělské stavby                          |   |  |
| 11.1 stájové                                  |   |  |
| zateplené stáje pro dojnice                   | 14  | 85   |
| výkrm skotu                                   | 6   | 95   |
| odchov mladého dobytka                        | 6   | 85   |
| dochov selat                                  | 18 až 21  | 75   |
| nosnice                                       | 20  | 50   |
| bahnice s jehňaty                             | 6   | 80   |
| 11.2 pěstební                                 |   |  |
| pěstírny žampionů (krátkodobě při desinfekci) | 60  | 100  |
| pěstírny plodnic žampionů čekankových puků    | 16 až 18  | 90   |
| naklíčovny brambor                            | 12  | 90   |
| 11.3 skladovací                               |   |  |
| sklady brambor                                | 2 až 5  | 92   |
| chladiřny ovoce a zeleniny                    | viz ČSN 14 8102                                       |  |

Tabulka P 02 – Normové, charakteristické a výpočtové hodnoty fyzikálních veličin stavebních materiálů

| Hodnoty   |                                 | Normové   |  |  | Charakteristické  |  |  | Výpočtové   | Položka |  |
|---|---------------------------------|---|--|--|---|--|--|---|---------|--|
| Položka   | Materiál                        | Objemová<br>hmotnost<br>v suchém<br>stavu<br>$\rho$<br>kg · m <sup>-3</sup> | Měrná<br>tepelná<br>kapacita<br>v suchém<br>stavu<br>$c$<br>J · kg <sup>-1</sup> · K <sup>-1</sup> | Číselný<br>faktor<br>difúzního<br>odporu<br>$\mu_a$<br>— | Součinitel<br>difúze<br>vodní<br>páry <sup>1)</sup><br>$\delta_a \cdot 10^9$<br>s | Hmot-<br>nost-<br>ní<br>vlhk-<br>ost<br>$w_{v,h}$<br>% | Vlh-<br>kostní<br>souči-<br>nitel<br>mate-<br>riálu<br>$Z_w$ | Součinitel<br>tepelné<br>vodivosti<br>$\lambda_{ch}$<br>W · m <sup>-1</sup> · K <sup>-1</sup> |         | Součinitel<br>tepelné<br>vodivosti<br>$\lambda_w$<br>W · m <sup>-1</sup> · K <sup>-1</sup> |
| 1   | 2                               | 3   | 4  | 4a   | 5   | 6  | 7  | 8   | 9       |  |
| <b>1 Beton hutný</b>  |                                 |   |  |  | $z_2 = 0,0$   |  |  |   |         |  |
| 1.1   | Beton hutný                     |   | 1020   |  |   | 1,5  | 0,080  |   | 1,23    | 1.1  |
| 1.1   | — 2100                          |   |  | 17   | 0,01  |  |  | 1,05  | 1,23    | 1.1  |
| 1.2   | — 2200                          |   |  | 20   | 0,009   |  |  | 1,10  | 1,30    | 1.2  |
| 1.3   | — 2300                          |   |  | 23   | 0,008   |  |  | 1,16  | 1,36    | 1.3  |
| 1.2   | Železobeton                     |   | 1020   |  |   | 1,5  | 0,080  |   | 1,43    | 1.2  |
| 2.1   | — 2300                          |   |  | 23   | 0,008   |  |  | 1,22  | 1,43    | 2.1  |
| 2.2   | — 2400                          |   |  | 29   | 0,007   |  |  | 1,34  | 1,58    | 2.2  |
| 2.3   | — 2500                          |   |  | 32   | 0,006   |  |  | 1,48  | 1,74    | 2.3  |
| <b>2 Betony lehké neautoklávané, též z lehčeného kameniva</b> |                                 |   |  |  | $z_2$ dáno tabulkou B.2   |  |  |   |         |  |
| 2.1   | Beton ze struskové<br>pemzy     |   | 890  | 17   | 0,011   |  |  |   | 0,55    | 2.1  |
| 1.1   | — 1200                          |   |  |  |   | 2,9  | 0,070  | 0,44  | 0,55    | 1.1  |
| 1.2   | — 1300                          |   |  |  |   | 3,1  |  | 0,50  | 0,60    | 1.2  |
| 1.3   | — 1400                          |   |  |  |   | 3,1  | 0,050  | 0,55  | 0,64    | 1.3  |
| 1.4   | — 1500                          |   |  |  |   | 3,2  |  | 0,60  | 0,68    | 1.4  |
| 1.5   | — 1600                          |   |  |  |   | 3,2  | 0,048  | 0,67  | 0,74    | 1.5  |
| 1.6   | — 1700                          |   |  |  |   | 3,2  |  | 0,76  | 0,84    | 1.6  |
| 2.2   | Beton z expandované<br>břidlice |   | 880  |  |   |  |  |   | 0,48    | 2.2  |
| 2.1   | — 900                           |   |  | 4  | 0,048   | 2,7  | 0,065  | 0,38  | 0,48    | 2.1  |
| 2.2   | — 1000                          |   |  | 4  | 0,048   | 2,6  |  | 0,40  | 0,50    | 2.2  |
| 2.3   | — 1100                          |   |  | 5  | 0,038   | 2,9  | 0,055  | 0,43  | 0,51    | 2.3  |
| 2.4   | — 1200                          |   |  | 5  | 0,038   | 2,9  |  | 0,48  | 0,57    | 2.4  |
| 2.5   | — 1300                          |   |  | 6  | 0,031   | 3,0  | 0,045  | 0,54  | 0,61    | 2.5  |
| 2.3   | Beton z keramzitu               |   | 880  |  |   |  |  |   | 0,28    | 2.3  |
| 3.1   | — 700                           |   |  | 8  | 0,024   | 0,2  | 0,045  | 0,23  | 0,28    | 3.1  |
| 3.2   | — 800                           |   |  | 9  | 0,021   | 0,3  |  | 0,26  | 0,31    | 3.2  |
| 3.3   | — 900                           |   |  | 10   | 0,019   | 0,4  |  | 0,30  | 0,34    | 3.3  |
| 3.4   | — 1000                          |   |  | 10   | 0,019   | 0,4  |  | 0,36  | 0,40    | 3.4  |
| 3.5   | — 1100                          |   |  | 11   | 0,017   | 0,5  |  | 0,43  | 0,48    | 3.5  |
| 3.6   | — 1200                          |   |  | 11   | 0,017   | 0,5  |  | 0,50  | 0,56    | 3.6  |
| 3.7   | — 1300                          |   |  | 13   | 0,014   | 0,6  | 0,030  | 0,59  | 0,63    | 3.7  |
| 3.8   | — 1400                          |   |  | 15   | 0,013   | 0,6  |  | 0,70  | 0,75    | 3.8  |
| 3.9   | — 1700                          |   |  | 16   | 0,012   |  | 0,035  | 1,25  | 1,30    | 3.9  |
| 2.4   | Beton ze škváry                 |   | 830  |  |   |  |  |   | 0,52    | 2.4  |
| 4.1   | — 1000                          |   |  | 6  | 0,031   | 0,60   | 0,025  |   | 0,52    | 4.1  |
| 4.2   | — 1100                          |   |  | 6  | 0,031   | 1,2  |  |   | 0,54    | 4.2  |
| 4.3   | — 1200                          |   |  | 6  | 0,031   | 2,9  | 0,012  | 0,57  | 0,67    | 4.3  |
| 4.4   | — 1300                          |   |  | 6  | 0,031   |  |  | 0,60  | 0,69    | 4.4  |
| 4.5   | — 1400                          |   |  | 6  | 0,031   | 3,1  | 0,045  | 0,64  | 0,73    | 4.5  |
| 4.6   | — 1500                          |   |  | 6  | 0,031   |  |  | 0,67  | 0,74    | 4.6  |
| 4.7   | — 1600                          |   |  | 8  | 0,024   | 3,3  | 0,050  | 0,71  | 0,79    | 4.7  |
| 4.8   | — 1700                          |   |  |  |   |  |  | 0,74  | 0,82    | 4.8  |
| 4.9   | — 1800                          |   |  |  |   | 3,7  |  | 0,81  | 0,90    | 4.9  |
| 4.10  | — 1900                          |   |  |  |   |  |  | 0,87  | 0,97    | 4.10   |
| 4.11  | — 2000                          |   |  |  |   |  |  | 0,91  | 1,01    | 4.11   |
| 2.5   | Beton z agloporitu              |   | 890  |  |   |  |  |   | 0,69    | 2.5  |
| 5.1   | — 1350                          |   |  | 20   | 0,009   | 2,0  | 0,050  | 0,60  | 0,69    | 5.1  |
| 5.2   | — 1700                          |   |  | 23   | 0,008   | 2,0  |  | 1,0   | 1,11    | 5.2  |
| 5.3   | — 1750                          |   |  | 23   | 0,008   | 2,0  | 0,045  | 1,10  | 1,20    | 5.3  |
| 5.4   | — 1800                          |   |  | 23   | 0,008   | 2,0  |  | 1,15  | 1,26    | 5.4  |

(Pokračování)

| Hodnoty                                      |  | Normové                        |   |                    | Charakteristické           |               |       | Výpočtové   | Položka |  |       |       |      |         |       |       |     |      |      |     |
|--|--|--------------------------------|---|--------------------|----------------------------|---------------|-------|---|---------|--|-------|-------|------|---------|-------|-------|-----|------|------|-----|
| Položka                                      | Materiál   | $\rho$<br>kg · m <sup>-3</sup> | $c_p$<br>J · kg <sup>-1</sup> · K <sup>-1</sup> | $\mu_n$<br>-       | $\delta_n \cdot 10^9$<br>s | $w_{04}$<br>% | $Z_w$ | $\lambda_{04}$<br>W · m <sup>-1</sup> · K <sup>-1</sup> |         | $\lambda_p$<br>W · m <sup>-1</sup> · K <sup>-1</sup> |       |       |      |         |       |       |     |      |      |     |
| 1  | 2  | 3                              | 4   | 4n                 | 5                          | 6             | 7     | 8   | 9       |  |       |       |      |         |       |       |     |      |      |     |
| 5.5  | Betón z perlitu                                  | -- 1850                        | 1150  | 23                 | 0,008                      | 2,0           | 1,29  | 1,42  | 5.5     |  |       |       |      |         |       |       |     |      |      |     |
| 2.6  |  | -- 300                         |   | 9                  | 0,021                      |               |       |   |         | 0,015  | 0,085 | 0,091 | 2.6  |         |       |       |     |      |      |     |
| 6.1  |  | -- 350                         |   | 9                  | 0,021                      |               |       |   |         |  |       |       |      |         |       |       |     |      |      |     |
| 6.2  |  | -- 400                         |   | 11                 | 0,017                      |               |       |   |         |  |       |       |      |         |       |       |     |      |      |     |
| 6.3  |  | -- 450                         |   | 11                 | 0,017                      |               |       |   |         |  |       |       |      | 0,025   | 0,12  | 0,13  | 6.4 |      |      |     |
| 6.4  |  | -- 500                         |   | 14                 | 0,013                      |               |       |   |         |  |       |       |      |         |       |       |     |      |      |     |
| 6.5  |  | -- 550                         |   | 14                 | 0,013                      |               |       |   |         |  |       |       |      |         |       |       |     |      |      |     |
| 6.6  | -- 600   | 16                             | 0,012   | 10,0               | 0,14                       | 0,15          | 0,16  | 6.7   |         |  |       |       |      |         |       |       |     |      |      |     |
| 2.7  | Betón strusko-pazderový                          | 1300                           | 2 1)  |                    |                            |               |       |   | 0,094   | 5,0  | 0,15  | 0,18  | 2.7  |         |       |       |     |      |      |     |
| 7.1  |  |                                |   |                    |                            |               |       |   |         |  |       |       |      | -- 700  | 5 1)  | 0,038 | 5,0 | 0,19 | 0,22 | 7.2 |
| 7.2  |  |                                |   |                    |                            |               |       |   |         |  |       |       |      | -- 800  | 8 1)  | 0,024 | 5,0 | 0,21 | 0,25 | 7.3 |
| 7.3  |  |                                |   |                    |                            |               |       |   |         |  |       |       |      | -- 900  | 10 1) | 0,019 | 5,0 | 0,24 | 0,28 | 7.4 |
| 7.4  |  |                                |   |                    |                            |               |       |   |         |  |       |       |      | -- 1000 | 12 1) | 0,016 | 5,0 | 0,28 | 0,32 | 7.5 |
| 7.5  |  |                                |   |                    |                            |               |       |   |         |  |       |       |      | -- 1100 | 13 1) | 0,014 | 5,0 | 0,30 | 0,35 | 7.6 |
| 7.6  |  |                                |   | -- 1200            |                            |               |       |   |         |  |       |       |      |         |       |       |     |      |      |     |
| 2.8  | Betón cihlový                                    | 840                            | 8   | 0,024              | 1,0                        | 0,070         | 0,43  | 0,52  | 2.8     |  |       |       |      |         |       |       |     |      |      |     |
| 8.1  |  |                                |   |                    |                            |               |       |   |         | -- 1300  | 8     | 1,0   | 0,48 | 0,58    | 8.2   |       |     |      |      |     |
| 8.2  |  |                                |   |                    |                            |               |       |   |         | -- 1400  | 8     | 1,0   | 0,55 | 0,63    | 8.3   |       |     |      |      |     |
| 8.3  |  |                                |   |                    |                            |               |       |   |         | -- 1500  | 8     | 1,0   | 0,62 | 0,69    | 8.4   |       |     |      |      |     |
| 8.4  |  |                                |   |                    |                            |               |       |   |         | -- 1600  | 9     | 0,021 | 1,0  | 0,70    | 0,78  | 8.5   |     |      |      |     |
| 8.5  |  |                                |   |                    |                            |               |       |   |         | -- 1700  | 10    | 0,019 | 1,0  | 0,80    | 0,89  | 8.6   |     |      |      |     |
| 8.6  | -- 1800  |                                |   |                    |                            |               |       |   |         |  |       |       |      |         |       |       |     |      |      |     |
| 2.9  | Betón pilinový                                   | 1470                           | 9   | 0,021              | 8,0                        | 0,065         | 0,14  | 0,18  | 2.9     |  |       |       |      |         |       |       |     |      |      |     |
| 9.1  |  |                                |   |                    |                            |               |       |   |         | -- 500   | 10    | 0,019 | 8,0  | 0,17    | 0,22  | 9.1   |     |      |      |     |
| 9.2  |  |                                |   |                    |                            |               |       |   |         | -- 700   | 11    | 0,017 | 8,0  | 0,20    | 0,25  | 9.3   |     |      |      |     |
| 9.3  |  |                                |   |                    |                            |               |       |   |         | -- 800   | 12    | 0,016 | 8,0  | 0,26    | 0,32  | 9.4   |     |      |      |     |
| 9.4  |  |                                |   |                    |                            |               |       |   |         | -- 1000  |       |       |      |         |       |       |     |      |      |     |
| <b>3 Betony lehké autoklávané</b>            |  |                                |   |                    | $z_2 = 2,2$                |               |       |   |         |  |       |       |      |         |       |       |     |      |      |     |
| 3.1  | Pískový pórobeton<br>nevztlužený <sup>2)</sup>   | 840                            | 6 - 9   | 0,031 -<br>- 0,02  | 4,5                        | 0,038         | 0,16  | 0,19  | 3.1     |  |       |       |      |         |       |       |     |      |      |     |
| 1.1  |  |                                |   |                    |                            |               |       |   |         | -- 480   | 0,18  | 0,21  | 1.1  |         |       |       |     |      |      |     |
| 1.2  |  |                                |   |                    |                            |               |       |   |         | -- 580   | 0,21  | 0,24  | 1.2  |         |       |       |     |      |      |     |
| 1.3  | plynobeton) -- 680                               |                                |   |                    |                            |               |       |   | 1.3     |  |       |       |      |         |       |       |     |      |      |     |
| 3.2  | Popílkový pórobeton<br>nevztlužený <sup>2)</sup> | 840                            | 7 - 10  | 0,027 -<br>- 0,019 | 5,5                        | 0,030         | 0,16  | 0,18  | 3.2     |  |       |       |      |         |       |       |     |      |      |     |
| 2.1  |  |                                |   |                    |                            |               |       |   |         | -- 480   | 0,18  | 0,20  | 2.1  |         |       |       |     |      |      |     |
| 2.2  |  |                                |   |                    |                            |               |       |   |         | -- 580   | 0,20  | 0,23  | 2.2  |         |       |       |     |      |      |     |
| 2.3  | plynosilikát) -- 680                             |                                |   |                    |                            |               |       |   | 2.3     |  |       |       |      |         |       |       |     |      |      |     |
| <b>4 Malty</b>                               |  |                                |   |                    | $z_2 = 0,0$                |               |       |   |         |  |       |       |      |         |       |       |     |      |      |     |
| 4.1  | Malta vápenná                                    | 840                            | 8 - 10  | 0,024 -<br>- 0,019 | 0,8                        | 0,11          | 0,70  | 0,87  | 4.1     |  |       |       |      |         |       |       |     |      |      |     |
| 1.1  |  |                                |   |                    |                            |               |       |   |         | -- 1600  | 1,1   |       |      |         |       |       |     |      |      |     |
| 4.2  | Malta vápenocementová                            | 840                            | 14  | 0,013              | 1,3                        | 0,070         | 0,86  | 0,97  | 4.2     |  |       |       |      |         |       |       |     |      |      |     |
| 2.1  |  |                                |   |                    |                            |               |       |   |         | -- 1850  | 2.1   |       |      |         |       |       |     |      |      |     |
| 4.3  | Malta cementová, cement.<br>potěr                | 840                            | 19  | 0,01               | 1,8                        | 0,060         | 1,02  | 1,16  | 4.3     |  |       |       |      |         |       |       |     |      |      |     |
| 3.1  |  |                                |   |                    |                            |               |       |   |         | -- 2000  | 3.1   |       |      |         |       |       |     |      |      |     |
| <b>5 Omítky</b>                              |  |                                |   |                    | $z_2 = 0,0$                |               |       |   |         |  |       |       |      |         |       |       |     |      |      |     |
| 5.1  | Omítka vápenná -- 1600                           | 840                            | 6   | 0,031              | 1,8                        | 0,09          | 0,70  | 0,88  | 5.1     |  |       |       |      |         |       |       |     |      |      |     |
| 5.2  | Omítka vápenocementová<br>-- 2000                | 790                            | 19  | 0,01               | 1,3                        | 0,070         | 0,88  | 0,99  | 5.2     |  |       |       |      |         |       |       |     |      |      |     |
| <b>6 Omítky tepelně izolační, silikátové</b> |  |                                |   |                    | $z_2 = 2,5$                |               |       |   |         |  |       |       |      |         |       |       |     |      |      |     |
| 6.1  | Omítka perlitová                                 | 850                            | 7 - 15  | 0,027 -<br>- 0,013 | 4 - 6                      | 0,022         | 0,095 | 0,10  | 6.1     |  |       |       |      |         |       |       |     |      |      |     |
| 1.1  |  |                                |   |                    |                            |               |       |   |         | -- 250   | 0,11  | 1.1   |      |         |       |       |     |      |      |     |
| 1.2  |  |                                |   |                    |                            |               |       |   |         | -- 300   | 0,11  | 1.2   |      |         |       |       |     |      |      |     |

1) Hodnoty součinitele difúze vodní páry a označené hodnoty dalších veličin jsou uváděny orientačními hodnotami  
 2) Fyzikální vlastnosti vyztuženého pórobetonu se určí pro jeho objemovou hmotnost, (včetně podélné výztuže). Příčná výztuž způsobí nárůst součinitele tepelné vodivosti pórobetonu (pórobetonu s podélnou výztuží) o 3 %.

(Pokračování)

| Hodnoty  |  | Normové                        |   |              | Charakteristické           |                         |        | Výpočtové   | Položka |  |
|--|--|--------------------------------|---|--------------|----------------------------|-------------------------|--------|---|---------|--|
| Položka  | Materiál   | $\rho$<br>kg · m <sup>-3</sup> | $c_p$<br>J · kg <sup>-1</sup> · K <sup>-1</sup> | $\mu_n$<br>— | $\delta_n \cdot 10^9$<br>s | $w_{44}$<br>%           | $Z_w$  | $\lambda_{ef}$<br>W · m <sup>-1</sup> · K <sup>-1</sup> |         | $\lambda_p$<br>W · m <sup>-1</sup> · K <sup>-1</sup> |
| 1  | 2  | 3                              | 4   | 4a           | 5                          | 6                       | 7      | 8   | 9       |  |
| 1.3  | Omítka   | — 350                          |   |              |                            |                         | 0,10   | 0,11  | 1.3     |  |
| 1.4  | perlitová  | — 400                          |   |              |                            |                         | 0,11   | 0,12  | 1.4     |  |
| 1.5  |  | — 450                          |   |              |                            |                         | 0,13   | 0,15  | 1.5     |  |
| 1.6  |  | — 500                          |   |              |                            |                         | 0,16   | 0,18  | 1.6     |  |
| 6.2  | Omítka perlitová s PPS<br>granulátem   | — 120                          | 1000  | 7 — 15       | 0,027 —<br>— 0,013         | 4 — 6                   | 0,025  | 0,046   | 0,051   | 6.2  |
| <b>7 Tepelné izolační pěnoplastické materiály</b>        |  |                                |   |              |                            | $z_2 = 4,0$             |        |   |         |  |
| 7.1  | Polystyren pěnový,<br>vypěňovaný — PPS   | — 10                           | 1270  | 40 — 67      | 0,0047 —<br>— 0,002        | 2,5                     | 0,002  | 0,050   | 0,051   | 7.1  |
| 1.2  |  | — 20                           |   |              |                            | 2,0                     |        | 0,043   | 0,044   | 1.2  |
| 1.3  |  | — 30                           |   |              |                            | 0,6                     |        | 0,038   | 0,039   | 1.3  |
| 1.4  |  | — 40                           |   |              |                            |                         |        | 0,036   | 0,037   | 1.4  |
| 1.5  |  | — 50                           |   |              |                            |                         |        | 0,036   | 0,037   | 1.5  |
| 1.6  |  | — 60                           |   |              |                            |                         |        | 0,038   | 0,039   | 1.6  |
| 1.7  |  |                                |   |              |                            |                         |        |   |         | 1.7  |
| 7.2  | Polystyren pěnový,<br>vytlačovaný — EXP  | — 30                           | 2060  | 100          | 0,0019                     |                         | 0,0008 | 0,034   | 0,034   | 7.2  |
| 7.3  | Polymuretan pěnový tuhý<br>pěněný freonem, nepláš-<br>ťovaný                     | — 35                           | 1500  | 180 — 260    | 0,001 —<br>— 0,00072       | 3,0                     | 0,0007 | 0,032   | 0,032   | 7.3  |
| 3.1  |  |                                |   |              |                            |                         |        |   |         | 3.1  |
| 3.2  | plášťovaný plechem   | — 35                           | 1510  |              |                            |                         | 0,0007 | 0,029   | 0,029   | 3.2  |
| 3.3  | Polymuretan pěnový, měkký  | — 35                           | 800   | 2,5          | 0,075                      | 1,1                     | 0,015  | 0,043   | 0,048   | 3.3  |
| 7.4  | Formaldehydová pěnová<br>pryskyřice, struktura<br>otevřená                       | — 20                           | 1250  | 2,5 — 6,5    | 0,075 —<br>— 0,029         | 8 — 10                  | 0,0045 | 0,036   | 0,037   | 7.4  |
| 4.1  |  | — 30                           |   |              |                            |                         |        | 0,040   | 0,041   | 4.1  |
| 4.2  |  | — 40                           |   |              |                            |                         |        | 0,040   | 0,045   | 4.2  |
| 4.3  |  | — 50                           |   |              |                            |                         |        | 0,059   | 0,061   | 4.3  |
| 4.4  |  |                                |   |              |                            |                         |        |   |         | 4.4  |
| 4.5  | Struktura uzavřená   | — 25                           | 1250  | 2,5 — 6,5    | 0,075 —<br>— 0,029         | 8 — 10                  | 0,0045 | 0,040   | 0,041   | 4.5  |
| 4.6  |  | — 30                           | 1510  | 14           | 0,013                      |                         | 0,0023 | 0,049   | 0,050   | 4.6  |
| 4.7  |  | — 50                           |   |              |                            |                         |        | 0,059   | 0,060   | 4.7  |
| 7.5  | PVC pěněné   | — 60                           | 1350  | 265          | 0,00071                    |                         | 0,030  | 0,043   | 0,051   | 7.5  |
| <b>8 Tepelné izolační vláknité materiály</b>             |  |                                |   |              |                            | $z_2 = 2,0$             |        |   |         |  |
| 8.1  | Materiály z minerálních<br>vláken — původní čs. vý-<br>robní technologie         | — 100                          | 880   | 1,1 — 3      | 0,17 —<br>— 0,063          | < 2                     |        |   |         | 8.1  |
| 1.1  |  | — 200                          |   |              |                            |                         | 0,065  | 0,044   | 0,056   | 1.1  |
| 1.2  |  | — 300                          |   |              |                            |                         | 0,075  | 0,048   | 0,064   | 1.2  |
| 1.3  |  |                                |   |              |                            |                         | 0,080  | 0,058   | 0,079   | 1.3  |
| 8.2  | Materiály z minerálních<br>vláken, lisované — původní<br>čs. výrobní technologie | — 150                          | 1150  | 5 — 12       | 0,038 —<br>— 0,016         | 2 — 4                   |        |   |         | 8.2  |
| 2.1  |  | — 250                          |   |              |                            |                         | 0,016  | 0,089   | 0,095   | 2.1  |
| 2.2  |  | — 350                          |   |              |                            |                         | 0,020  | 0,072   | 0,079   | 2.2  |
| 2.3  |  | — 450                          |   |              |                            |                         | 0,008  | 0,052   | 0,054   | 2.3  |
| 2.4  |  | — 500                          |   |              |                            |                         | 0,023  | 0,066   | 0,073   | 2.4  |
| 2.5  |  |                                |   |              |                            |                         | 0,029  | 0,078   | 0,088   | 2.5  |
| 8.3  | Materiály ze skleněné<br>vláken  | — 15                           | 940   | 2,5          | 0,075                      | > 1                     |        |   |         | 8.3  |
|  |  | — 35                           |   |              |                            |                         | 0,002  | 0,042   | 0,046   |  |
|  |  |                                |   |              |                            |                         | 0,013  | 0,046   | 0,050   |  |
| <b>9 Dřevo, materiály z aglomerovaného dřeva a korku</b> |  |                                |   |              |                            | $z_2$ podle tabulky B.2 |        |   |         |  |
| 9.1  | Dřevo tvrdé, tepelný tok   |                                |   |              |                            |                         |        |   |         | 9.1  |
| 1.1  | — kolmo k vláknům  | — 600                          | 2510  | 157          | 0,0012                     | 13                      | 0,025  | 0,18  | 0,22    | 1.1  |
| 1.2  | — rovnoběžně s vláknem   | — 600                          | 2510  | 4,5          | 0,042                      | 13                      | 0,018  | 0,42  | 0,49    | 1.2  |

(Pokračování)

| Hodnoty                      |  | Normové                        |   |                   | Charakteristické                 |               |       | Výpočtové   | Položka    |
|------------------------------|--|--------------------------------|---|-------------------|----------------------------------|---------------|-------|---|------------|
| Položka                      | Materiál   | $\rho$<br>kg · m <sup>-3</sup> | $c_p$<br>J · kg <sup>-1</sup> · K <sup>-1</sup> | $\mu_n$<br>--     | $\delta_n \cdot 10^9$<br>s       | $v_{ch}$<br>% | $Z_w$ | $\lambda_{ch}$<br>W · m <sup>-1</sup> · K <sup>-1</sup> |            |
| 1                            | 2  | 3                              | 4   | 4a                | 5                                | 6             | 7     | 8   | 9          |
| 9.2<br>2.1                   | Dřevo měkké, tepelný tok<br>-- kolmo k vláknům<br>-- 400 | 2510                           | 157   | 0,0012            | 13                               | 0,029         | 0,15  | 0,18  | 9.2<br>2.1 |
| 2.2                          | -- rovnoběžně s vlákny<br>-- 400                         | 2510                           | 4,5   | 0,042             | 13                               | 0,022         | 0,35  | 0,41  | 2.2        |
| 9.3                          | Dřevotřískové desky<br>-- 800                            | 1500                           | 12,5  | 0,015             | 7 - 11                           | 0,013         | 0,10  | 0,11  | 9.3        |
| 9.4                          | Dřevovláknité desky<br>měkké<br>-- 230                   | 1380                           | 5   | 0,038             | 10                               | 0,019         | 0,042 | 0,046   | 9.4        |
| 9.5                          | Desky z korku lisované<br>-- 150                         | 1880                           | 5 - 10  | 0,038 -           | 6,5                              | 0,019         | 0,058 | 0,064   | 9.5        |
| 9.6                          | Desky z dřevitého odpadu<br>s cementem                   | 1580                           | 6,5   | 0,019<br>0,31     | 4,5                              | 0,020         | 0,10  | 0,11  | 9.6        |
| 6.1                          | -- 300   |                                |   |                   | 6                                | 0,020         | 0,13  | 0,15  | 6.1        |
| 6.2                          | -- 400   |                                |   |                   | 6                                | 0,030         | 0,14  | 0,17  | 6.2        |
| 6.3                          | -- 500   |                                |   |                   | 6                                | 0,030         | 0,16  | 0,19  | 6.3        |
| 6.4                          | -- 600   |                                |   |                   | 6                                | 0,040         | 0,19  | 0,24  | 6.4        |
| 6.5                          | -- 800   |                                |   |                   | 6                                | 0,045         | 0,22  | 0,29  | 6.5        |
| 6.5                          | -- 1000  |                                |   |                   | 6                                | 0,050         | 0,26  | 0,35  | 6.5        |
| 6.6                          | -- 1200  |                                |   |                   | 6                                |               |       |   | 6.6        |
| 9.7                          | Desky dřevovláknité,<br>lisované                         | 1630                           | 12,5  | 0,015             | 12                               | 0,11          |       |   | 9.7        |
| 7.1                          | -- 200   |                                |   |                   |                                  |               | 0,070 | 0,075   | 7.1        |
| 7.2                          | -- 400   |                                |   |                   |                                  |               | 0,092 | 0,098   | 7.2        |
| 7.3                          | -- 600   |                                |   |                   |                                  |               | 0,12  | 0,13  | 7.3        |
| 7.4                          | -- 800   |                                |   |                   |                                  |               | 0,14  | 0,15  | 7.4        |
| 7.5                          | -- 1000  |                                |   |                   |                                  |               | 0,16  | 0,17  | 7.5        |
| 10 Deskové materiály ostatní |  |                                |   |                   | z <sub>2</sub> podle tabulky B.2 |               |       |   |            |
| 10.1                         | Azbestocement -- 1800                                    | 960                            | 64 - 310  | 0,003 -<br>0,0006 | 9                                | 0,035         | 0,41  | 0,45  | 10.1       |
| 10.2                         | Sádkokarton -- 750                                       | 1060                           | 9   | 0,021             | 10                               | 0,045         | 0,15  | 0,22  | 10.2       |
| 10.3                         | Desky z PVC -- 1400                                      | 1100                           | 17000   | 0,000011          | < 1                              | 0             | 0,16  | 0,16  | 10.3       |
| 10.4                         | Desky z PE -- 930  | 1470                           | 94000   | 0,000002          | < 1                              | 0             | 0,34  | 0,34  | 10.4       |
| 10.5                         | Polyesterový skelný<br>laminát -- 1600                   | 1050                           |   |                   | 0                                |               | 0,21  | 0,21  | 10.5       |
| 11 Syké materiály            |  |                                |   |                   | z <sub>2</sub> = 1,0             |               |       |   |            |
| 11.1                         | Keramzit<br>Expandovaná břidlice<br>Strusková penza      | 1260                           | 2,5 - 4,5                                       | 0,075 -<br>0,042  | 3                                | 0,025         |       |   | 11.1       |
| 1.1                          | -- 400   |                                |   |                   |                                  |               | 0,12  | 0,13  | 1.1        |
| 1.2                          | -- 500   |                                |   |                   |                                  |               | 0,13  | 0,14  | 1.2        |
| 1.3                          | -- 600   |                                |   |                   |                                  |               | 0,15  | 0,16  | 1.3        |
| 1.4                          | -- 700   |                                |   |                   |                                  |               | 0,17  | 0,18  | 1.4        |
| 1.5                          | -- 800   |                                |   |                   |                                  |               | 0,19  | 0,21  | 1.5        |
| 1.6                          | -- 900   |                                |   |                   |                                  |               | 0,21  | 0,23  | 1.6        |
| 1.7                          | -- 1000  |                                |   |                   |                                  |               | 0,22  | 0,24  | 1.7        |
| 11.2                         | Křemelina -- 600   | 1050                           | 2,5   | 0,075             | 2,5                              | 0,08          | 0,15  | 0,19  | 11.2       |
| 11.3                         | Korková dř -- 45   | 1880                           | 2,5   | 0,075             | 2                                | 0,05          | 0,035 | 0,04  | 11.3       |
| 11.4                         | Přiliny -- 200   | 2510                           | 2,5   | 0,075             | 10                               | 0,07          | 0,10  | 0,12  | 11.4       |
| 11.5                         | Písek -- 1750  | 960                            | 4   | 0,048             | 1                                | 0,30          | 0,55  | 0,95  | 11.5       |
| 11.6                         | Popílek  | 1010                           | 2,5 - 10  | 0,075 -<br>0,009  | 1                                | 0,03          |       |   | 11.6       |
| 6.1                          | -- 85  |                                |   |                   |                                  |               | 0,21  | 0,23  | 6.1        |
| 6.2                          | -- 1050  |                                |   |                   |                                  |               | 0,33  | 0,36  | 6.2        |
| 11.7                         | Škvára -- 750  | 750                            | 3   | 0,063             | 3                                | 0,09          | 0,21  | 0,27  | 11.7       |
| 11.8                         | Štítek -- 1650   |                                | 5 - 23  | 0,038 -<br>0,008  | 0,4                              |               | 0,58  |   | 11.8       |

(Pokračování)

| Hodnoty                          |                                   | Normové                        |   |              |                                  | Charakteristické           |       |  | Výpočtové  | Položka |
|----------------------------------|-----------------------------------|--------------------------------|---|--------------|----------------------------------|----------------------------|-------|--|--|---------|
| Položka                          | Materiál                          | $\rho$<br>kg · m <sup>-3</sup> | $c_p$<br>J · kg <sup>-1</sup> · K <sup>-1</sup> | $\mu_n$<br>— | $\delta_n \cdot 10^9$<br>s       | $\alpha_{\text{obj}}$<br>% | $Z_w$ | $\lambda_{\text{sk}}$<br>W · m <sup>-1</sup> · K <sup>-1</sup> | $\lambda_v$<br>W · m <sup>-1</sup> · K <sup>-1</sup> |         |
| 1                                | 2                                 | 3                              | 4   | 4a           | 5                                | 6                          | 7     | 8  | 9  |         |
| <b>12 Plasty tuhé – nepěňivé</b> |                                   |                                |   |              | $z_2 = 0,0$                      |                            |       |  |  |         |
| 12.1                             | Linoleum – 1200                   | 1880                           | 1880  | 0,0001       |                                  | 0                          | 0,19  | 0,19   | 12.1   |         |
| 12.2                             | Polystylen – 930                  | 1470                           | 94000   | 0,000002     |                                  | 0                          | 0,34  | 0,35   | 12.2   |         |
| 12.3                             | Pertinax – 1400                   | 1590                           |   |              |                                  | 0                          | 0,22  | 0,22   | 12.3   |         |
| 12.4                             | Celuloid – 1400                   | 1260                           |   |              |                                  | 0                          | 0,21  | 0,21   | 12.4   |         |
| 12.5                             | Plexisklo – 1180                  | 1465                           |   |              |                                  | 0                          | 0,19  | 0,19   | 12.5   |         |
| 12.6                             | Novodur – 1380                    |                                |   |              |                                  | 0                          | 0,17  | 0,17   | 12.6   |         |
| 12.8                             | Polystyren – 1050                 | 1340                           |   |              |                                  | 0                          | 0,13  | 0,13   | 12.8   |         |
| 12.9                             | PVC – 1380                        | 1100                           |   |              |                                  | 0                          | 0,20  | 0,20   | 12.9   |         |
| 12.10                            | Silon – 1150                      |                                |   |              |                                  | 0                          | 0,26  | 0,26   | 12.10  |         |
| 12.11                            | Teflon – 2100                     |                                |   |              |                                  | 0                          | 0,24  | 0,24   | 12.11  |         |
| <b>13 Pryž</b>                   |                                   |                                |   |              | $z_2 = 0,0$                      |                            |       |  |  |         |
| 13.1                             | Pryž tvrdá – 1200                 | 1420                           | 55000 <sup>1)</sup>                             | 0,000034     | 0                                | 0                          | 0,16  | 0,16   | 13.1   |         |
| 13.2                             | Pryž pěnová                       |                                |   |              | 0,2                              | 0,002                      |       |  | 13.2   |         |
| 2.1                              | – 150                             | 1510                           | 4700  | 0,00004      |                                  |                            | 0,047 | 0,048  | 2.1  |         |
| 2.2                              | – 230                             |                                | 1450  | 0,00013      |                                  |                            | 0,058 | 0,059  | 2.2  |         |
| <b>14 Tmely</b>                  |                                   |                                |   |              | $z_2 = 0,0$                      |                            |       |  |  |         |
| 14.1                             | Chloroprenový – 1440              | 1300                           | 1350  | 0,00014      | 0                                | 0                          | 0,26  | 0,26   | 14.1   |         |
| 14.2                             | Tmely pro stavební použití – 1500 | 1300                           | 1350  | 0,00014      | 0                                | 0                          | 0,22  | 0,22   | 14.2   |         |
| <b>15 Sklo</b>                   |                                   |                                |   |              | $z_2 = \text{podle tabulky B.2}$ |                            |       |  |  |         |
| 15.1                             | Sklo stavební – 2600              | 840                            | spárová diluze                                  |              | 0                                | 0                          | 0,76  | 0,76   | 15.1   |         |
| 15.2                             | Desky z pěnového skla             | 840                            | 540   | 0,00035      | < 1                              | 0,0002                     |       |  | 15.2   |         |
| 2.1                              | – 140                             |                                |   |              |                                  |                            | 0,060 | 0,060  | 2.1  |         |
| 2.2                              | – 180                             |                                |   |              |                                  |                            | 0,069 | 0,069  | 2.2  |         |
| <b>16 Hydroizolace</b>           |                                   |                                |   |              | $z_2 = 0,0$                      |                            |       |  |  |         |
| 16.1                             | asfaltové pásy a lepenky – 1400   | 1470                           | viz tab. A.3                                    |              | 0                                | 0                          |       |  | 16.1   |         |
| 16.2                             | fólie z PVC – 1400                | 960                            | tab. A.3  |              | 0                                | 0                          | 0,16  | 0,16   | 16.2   |         |
| 16.3                             | fólie z PE – 1470                 | 1470                           | tab. A.3  |              | 0                                | 0                          | 0,35  | 0,35   | 16.3   |         |
| <b>17 Kovy</b>                   |                                   |                                |   |              | $z_2 = 0,0$                      |                            |       |  |  |         |
| 17.1                             | Železo – 7850                     | 440                            |   |              | 0                                | 0                          | 58    | 58   | 17.1   |         |
| 17.2                             | Měď – 8800                        | 380                            |   |              | 0                                | 0                          | 372   | 372  | 17.2   |         |
| 17.3                             | Hliník – 2700                     | 870                            |   |              | 0                                | 0                          | 204   | 204  | 17.3   |         |
| 17.4                             | Ocel uhlíková – 7850              |                                |   |              | 0                                | 0                          | 50    | 50   | 17.4   |         |
| 17.5                             | Legovaná ocel – 7850              |                                |   |              | 0                                | 0                          |       |  | 17.5   |         |
| 5.1                              | – manganová 10–14 % Mn            |                                |   |              |                                  |                            | 15    | 15   | 5.1  |         |
|                                  | – wolframová 5,5 %                |                                |   |              |                                  |                            | 33    | 33   |  |         |
|                                  | – chromová 1 % Cr                 |                                |   |              |                                  |                            | 40    | 40   |  |         |
|                                  | 5 % Cr                            |                                |   |              |                                  |                            | 31    | 31   |  |         |
|                                  | 13 % Cr                           |                                |   |              |                                  |                            | 20    | 20   |  |         |
|                                  | 16 % Cr                           |                                |   |              |                                  |                            | 19    | 19   |  |         |
|                                  | – niklová 3 % Ni                  |                                |   |              |                                  |                            | 38    | 38   |  |         |
|                                  | 5 % Ni                            |                                |   |              |                                  |                            | 32    | 32   |  |         |
|                                  | 10 % Ni                           |                                |   |              |                                  |                            | 25    | 25   |  |         |
|                                  | 25 % Ni                           |                                |   |              |                                  |                            | 18    | 18   |  |         |
|                                  | 36 % Ni                           |                                |   |              |                                  |                            | 11    | 11   |  |         |

(Pokračování)

| Hodnoty                          |  | Normové                        |   |              | Charakteristické           |               |       | Výpočtové   | Položka |
|----------------------------------|--|--------------------------------|---|--------------|----------------------------|---------------|-------|---|---------|
| Položka                          | Materiál   | $\rho$<br>kg · m <sup>-3</sup> | $c_p$<br>J · kg <sup>-1</sup> · K <sup>-1</sup> | $\mu_n$<br>— | $\delta_n \cdot 10^9$<br>s | $w_{ch}$<br>% | $Z_w$ | $\lambda_{vh}$<br>W · m <sup>-1</sup> · K <sup>-1</sup> |         |
| 1                                | 2  | 3                              | 4   | 4a           | 5                          | 6             | 7     | 8   | 9       |
|                                  | — chromniklová<br>22 % Cr, 22 % Ni                       |                                |   |              |                            |               | 15    | 15  |         |
| 17.6                             | Nikl 99,2 %  |                                |   |              | 0                          | 0             | 67    | 67  | 17.6    |
| 17.7                             | Zinek  | 385                            |   |              | 0                          | 0             | 113   | 113   | 17.7    |
| 17.8                             | Mosaz  |                                |   |              | 0                          | 0             | 102   | 102   | 17.8    |
| 17.9                             | Bronz  |                                |   |              | 0                          | 0             | 70    | 70  | 17.9    |
| <b>18 Horniny</b>                |  |                                |   |              | $z_2 = 0,0$                |               |       |   |         |
| 18.1                             | Čedič  |                                |   |              | 0                          | 0             |       |   | 18.1    |
| 1.1                              | — 2880   |                                |   |              |                            |               |       | 2,9   | 1.1     |
| 1.2                              | — 3200   |                                |   |              |                            |               |       | 4,2   | 1.2     |
| 18.2                             | Pískovec   |                                | 23  | 0,0082       | 0                          | 0             |       |   | 18.2    |
| 2.1                              | — 1800   |                                |   |              |                            |               |       | 0,9   | 2.1     |
| 2.2                              | — 2400   |                                |   |              |                            |               |       | 1,4   | 2.2     |
| 2.3                              | — 2600   |                                |   |              |                            |               |       | 1,7   | 2.3     |
| 18.3                             | Porfyr,<br>Bridlice                                      | — 2800                         |   |              | 0                          | 0             |       | 1,7   | 18.3    |
| 18.4                             | Mramor   |                                | 920   |              | 0                          | 0             |       |   | 18.4    |
| 4.1                              | — 2400   |                                |   |              |                            |               |       | 3,0   | 4.1     |
| 4.2                              | — 2800   |                                |   |              |                            |               |       | 3,5   | 4.2     |
| 18.5                             | Vápenc   |                                | 920   |              | 0                          | 0             |       |   | 18.5    |
|                                  | — 2000   |                                |   |              |                            |               |       | 1,2   |         |
|                                  | — 2500   |                                |   |              |                            |               |       | 1,4   |         |
| 18.6                             | Žula   |                                |   |              | 0                          | 0             |       |   | 18.6    |
| 6.1                              | — 2500   |                                |   |              |                            |               |       | 3,1   | 6.1     |
| <b>19 Zeminy</b>                 |  |                                |   |              | $z_2 = 1,5$                |               |       |   |         |
| 19.1                             | Rostlá půda písčítá,<br>hlinitopísčítá<br>— vlhká — 2000 |                                | 2   |              | 20                         | 0,40          |       | 2,3   | 19.1    |
|                                  | — s přirozenou vlhkostí<br>— 1800                        |                                | 1,5 <sup>1)</sup>                               |              |                            |               | 0,85  | 1,4   |         |
| 19.2                             | Hlína suchá — 1600                                       |                                | 1,5 <sup>1)</sup>                               |              |                            | 0,40          | 0,45  | 0,7   | 19.2    |
| <b>20 Voda a její skupenství</b> |  |                                |   |              | $z_2 = 0,0$                |               |       |   |         |
| 20.1                             | Voda při teplotě   | 4200                           |   |              | 0                          |               |       |   | 20.1    |
| 1.1                              | 0 °C — 1000  |                                |   |              |                            |               |       | 0,55  | 1.1     |
| 1.2                              | 10 °C — 1000   |                                |   |              |                            |               |       | 0,57  | 1.2     |
| 1.3                              | 20 °C — 998  |                                |   |              |                            |               |       | 0,60  | 1.3     |
| 1.4                              | 50 °C — 988  |                                |   |              |                            |               |       | 0,65  | 1.4     |
| 1.5                              | 100 °C — 958   |                                |   |              |                            |               |       | 0,68  | 1.5     |
| 20.2                             | Sůl  | 2090                           |   |              | 0                          |               |       |   | 20.2    |
| 2.1                              | — 50   |                                |   |              |                            |               |       | 0,023   | 2.1     |
| 2.2                              | — 100  |                                |   |              |                            |               |       | 0,029   | 2.2     |
| 2.3                              | — 150  |                                |   |              |                            |               |       | 0,064   | 2.3     |
| 2.4                              | — 200  |                                |   |              |                            |               |       | 0,11  | 2.4     |
| 2.5                              | — 250  |                                |   |              |                            |               |       | 0,16  | 2.5     |
| 2.6                              | — 300  |                                |   |              |                            |               |       | 0,26  | 2.6     |
| 2.7                              | — 350  |                                |   |              |                            |               |       | 0,35  | 2.7     |
| 2.8                              | — 400  |                                |   |              |                            |               |       | 0,45  | 2.8     |
| 2.9                              | — 450  |                                |   |              |                            |               |       | 0,57  | 2.9     |
| 2.10                             | — 500  |                                |   |              |                            |               |       | 0,64  | 2.10    |
| 20.3                             | Led — 900  |                                |   |              |                            |               |       | 2,3   | 20.3    |

**Tabulka P 03 – Normové a výpočtové hodnoty fyzikálních veličin nehomogenních vrstev – jednovrstvých stavebních konstrukcí a výrobků**

| Hodnoty   |  | Normové  | Ekvivalentní normové hodnoty <sup>2)</sup>  |  |  |  | Výpočtové   |
|---|--|--|---|--|--|--|---|
| Položka   | Stavební konstrukce <sup>1)</sup>  | Objemová hmotnost v suchém stavu<br>$\rho$<br>kg · m <sup>-3</sup> | Součinitel tepelné vodivosti<br>$\lambda_{\text{tep},n}$<br>W · m <sup>-1</sup> · K <sup>-1</sup> | Měrná tepelná kapacita<br>$c_{\text{tep},n}$<br>J · kg <sup>-1</sup> · K <sup>-1</sup> | Faktor difúzního odporu<br>$\mu_{\text{tep},n}$<br>- | Součinitel difúze vodní páry<br>$\delta_{\text{tep},n}$<br>s <sup>3)</sup> | Ekvivalentní hodnota součinitele tepelné vodivosti<br>$\lambda_{\text{tep},n}$<br>W · m <sup>-1</sup> · K <sup>-1</sup> |
| 1   | 2  |  | 3   | 4  | 5  | 5a   | 6   |
| <b>1 zdivo z keramických cihel a tvarovek, <math>z_2 = 0,7</math></b> |  |  |   |  |  |  |   |
| 1.1   | Zdivo z plných pálených cihel CP rozměrů 290/140/65<br>$Z_{w,c} = 0,13$  | - 1700<br>- 1800   | 0,73<br>0,77  | 900<br>900   | 8,5<br>9,0   | 0,022<br>0,021   | 0,80<br>0,86  |
| 1.2   | Zdivo z cihel metrického formátu CDm <sup>4)</sup> rozměrů 240/115/113, tloušťka 115 mm  | - 1400   | 0,60  | 960  | 7,0  | 0,027  | -   |
| 2.1   |  | - 1500   | 0,67  |  | 7,0  | 0,027  | -   |
| 2.2   |  | - 1350   | 0,51  |  | 7,0  | 0,027  | 0,71  |
| 2.3   | tloušťka 240 mm  | - 1450   | 0,51  |  | 7,0  | 0,027  | 0,72  |
| 2.4   |  | - 1550   | 0,55  |  | 7,0  | 0,027  | 0,77  |
| 2.5   |  | - 1450   | 0,52  |  | 7,0  | 0,027  | 0,69  |
| 2.6   | tloušťka 375 mm  | - 1550   | 0,57  |  | 7,0  | 0,027  | 0,73  |
| 2.7   |  |  |   |  |  |  |   |
| 1.3   | Zdivo z příčně děrovaných cihel CD 36 <sup>4)</sup> , podle ČSN 72 2611, rozměrů 360/240/výška                                       |  |   | 960  |  |  |   |
| 3.1   | tloušťka zdiva 240 mm, výška 113 mm  | - 1200   | 0,59  |  |  |  | 0,63  |
| 3.2   |  | - 1250   | 0,64  |  |  |  | 0,67  |
| 3.3   |  | - 1150   | 0,58  |  |  |  | 0,62  |
| 3.4   |  | - 1250   | 0,65  |  |  |  | 0,69  |
| 3.5   | tloušťka zdiva 360 mm, výška 113 mm  | - 1200   | 0,47  |  |  |  | 0,55  |
| 3.6   |  | - 1250   | 0,49  |  |  |  | -   |
| 3.7   |  | - 1300   | -   |  |  |  | 0,62  |
| 3.8   |  | - 1150   | 0,44  |  |  |  | 0,52  |
| 3.9   |  | - 1250   | 0,49  |  |  |  | 0,58  |
| 1.4   | Zdivo z příčně děrovaných cihel CD 32 <sup>4)</sup> , podle ČSN 72 2611, rozměrů 320/240/výška                                       |  |   | 960  |  |  |   |
| 4.1   | tloušťka zdiva 240 mm, výška 113 mm  | - 1300   | -   |  |  |  | 0,79  |
| 4.2   |  | - 1400   | 0,65  |  |  |  | 0,88  |
| 4.3   |  | - 1350   | 0,64  |  |  |  | 0,79  |
| 4.4   |  | - 1450   | 0,70  |  |  |  | 0,88  |
| 4.5   | tloušťka zdiva 320 mm, výška 113 mm  | - 1300   | 0,51  |  |  |  | 0,58  |
| 4.6   |  | - 1400   | 0,57  |  |  |  | 0,64  |
| 4.7   |  | - 1350   | 0,51  |  |  |  | 0,57  |
| 4.8   |  | - 1450   | 0,53  |  |  |  | 0,63  |
| 1.5   | Zdivo z podélně děrovaných cihel Pk-CD (CpD 8) <sup>4)</sup> rozměrů 290/290/140, podle ČSN 72 2625                                  |  |   | 960  |  |  |   |
| 5.1   | tloušťka 140 mm  | - 750  | -   |  |  |  | 0,49  |
| 5.2   |  | - 800  | 0,49  |  |  |  | -   |
| 5.3   |  | - 850  | 0,55  |  |  |  | 0,55  |
| 5.4   | tloušťka 290 mm  | - 800  | 0,55  |  |  |  | 0,58  |
| 5.5   |  | - 850  | 0,58  |  |  |  | 0,60  |
| 1.6   | Zdivo z příčně děrovaných keramických tvarovek CD TYN I rozměrů 290/190/215 <sup>4)</sup>  |  |   | 960  |  |  |   |
| 6.1   | tloušťka 190 mm  | - 1200   | 0,53  |  |  |  | 0,59  |
| 6.2   |  | - 1300   | 0,58  |  |  |  | 0,64  |
| 6.3   | tloušťka 290 mm  | - 1200   | 0,45  |  |  |  | 0,49  |
| 6.4   |  | - 1300   | 0,48  |  |  |  | 0,53  |
| 1.7   | Zdivo z příčně děrovaných keramických tvarovek CD TYN rozměrů 365/190/215, <sup>4)</sup> podle ČSN 72 2625                           |  |   | 960  |  |  |   |
|   | tloušťka 365 mm  | - 1000   | -   |  |  |  | 0,36  |
| 1.8   | Zdivo z příčně děrovaných keramických tvarovek CD INA-A rozměrů 365/245/140 <sup>4)</sup>  |  |   | 960  |  |  |   |
|   | tloušťka 365 mm  | - 1000   | -   |  |  |  | 0,34  |
| 1.9   | Zdivo z příčně děrovaných keramických tvarovek CD INA-L rozměrů 365/245/140 <sup>4)</sup>  |  |   | 960  | 2  |  |   |
|   | tloušťka 365 mm  | - 1150   | -   |  |  |  | 0,37  |
| 1.10  | Zdivo z příčně děrovaných keramických tvarovek CD IVA-A rozměrů 295/290/140 v kombinaci s CD IVA-B rozměrů 295/140/140 <sup>4)</sup> |  |   | 960  |  |  |   |
|   | tloušťka 440 mm  | - 1100   | -   |  |  |  | 0,35  |

(Pokračování)

| Hodnoty  |   | Normové                        | Ekvivalentní normové hodnoty <sup>2)</sup>                 |   |                    |  | Výpočtové  |
|--|---|--------------------------------|--|---|--------------------|--|--|
| Položka  | Stavební konstrukce <sup>1)</sup>   | $\rho$<br>kg · m <sup>-3</sup> | $\lambda_{ekv,n}$<br>W · m <sup>-1</sup> · K <sup>-1</sup> | $c_{ekv,n}$<br>J · kg <sup>-1</sup> · K <sup>-1</sup> | $\mu_{ekv,n}$<br>- | $\delta_{ekv,n} \cdot 10^9$<br>s <sup>3)</sup> | $\lambda_{ekv,n}$<br>W · m <sup>-1</sup> · K <sup>-1</sup> |
| 1  | 2   |                                | 3  | 4   | 5                  | 5a   | 6  |
| 1.11   | Zdivo z příčně děrovaných keramických tvarovek CD IVA-C rozměrů 295/290/140 v kombinaci s CD IVA-B rozměrů 295/140/140 tloušťka 440 mm – 1100   |                                |  | 960   |                    |  | 0,41   |
| <b>2 zdivo ve škvárbetonových tvárnici z<sub>2</sub> viz tabulka B.2</b>   |   |                                |  |   |                    |  |  |
| 2.1  | Zdivo z příčně děrovaných škvárbetonových tvárnice s třemi vystředanými řadami otvorů NLM 1 rozměrů 440/290/215, podle ČSN 72 3181 tloušťka zdiva 300 mm – 900<br>$Z_{wC} = 0,060$ <sup>3)</sup> – 1100<br>– 1300 |                                | 0,43<br>0,47<br>0,52                                       | 960   |                    |  | 0,52<br>0,56<br>0,62                                       |
| <b>3 Zdivo z tvárnice z kalofrigu</b>  |   |                                |  |   |                    |  |  |
| 3.1  | Zdivo z příčně děrovaných tvárnice z kalofrigu s dvěma řadami otvorů, č. 6 rozměrů 440/290/290, tloušťka 440 mm – 750   |                                |  | 1050  |                    |  | 0,33   |
| <b>4 Stropní konstrukce</b>  |   |                                |  |   |                    |  |  |
| 4.1  | Stropní konstrukce z keramických tvarovek HURDIS, spáry vyplněné MC 50, bez dalších vrstev <sup>5)</sup> – 710  |                                | 0,57   |   | 18                 | 0,011  | 0,60   |
| 4.2  | Stropní konstrukce z keramických tvarovek MIAKO s keramickými nosníky, prostor u nosníků vyplněn maltou na výšku stropnice, výška tvarovky 240 mm, nosníku 160 mm <sup>5)</sup>                                   |                                | 0,80   | nebylo experimentálně stanoveno                       |                    |  | 0,83   |
| <sup>1)</sup> Zdivo provedeno klasickým způsobem, s nepřerušovaným maltováním ložné spáry.<br><sup>2)</sup> Konstrukce se míní bez omítek.<br><sup>3)</sup> Orientační hodnoty.<br><sup>4)</sup> Hodnoty $Z_{wC}$ se stanoví v závislosti na objemové hmotnosti v suchém stavu takto: $\rho_{dn} = 1600 \text{ kg} \cdot \text{m}^{-3}$ ; $Z_{wC} = 0,060$<br>$\rho_{dn} = 1400 \text{ kg} \cdot \text{m}^{-3}$ ; $Z_{wC} = 0,045$<br>$\rho_{dn} = 1200 \text{ kg} \cdot \text{m}^{-3}$ ; $Z_{wC} = 0,025$<br>nestanoví-li se průkazně zkouškou jinak.<br><sup>5)</sup> Stanoveno pro směr tepelného toku s dolů nahoru. |   |                                |  |   |                    |  |  |

Tabulka P 04 – Hodnoty fyzikálních veličin dalších stavebních materiálů podle údajů výrobců a dovozců

| materiál                       | objemová hmotnost v suchém stavu | součinitel tepelné vodivosti                   | měrná tepelná kapacita                    | faktor difuzního odporu |
|--------------------------------|----------------------------------|--|---|-------------------------|
|                                | $\rho$ [kg.m <sup>-3</sup> ]     | $\lambda$ [W.m <sup>-1</sup> K <sup>-1</sup> ] | $c$ [J.kg <sup>-1</sup> K <sup>-1</sup> ] | $\mu$ [-]               |
| <b>zdivo</b>                   |                                  |  |   |                         |
| zdivo z tvárnic YTONG          | 400                              | 0,12   | 1000                                      | 7                       |
| zdivo z tvárnic YTONG          | 600                              | 0,18   | 1000                                      | 7                       |
| zdivo z tvárnic YTONG          | 800                              | 0,27   | 1000                                      | 7                       |
| zdivo z tvárnic HEBEL P2       | 500                              | 0,15   | 835                                       | 7                       |
| zdivo z tvárnic HEBEL P4       | 600                              | 0,18   | 835                                       | 7                       |
| Porotherm 44/Týn               | 800                              | 0,19   | 960                                       | 7                       |
| Porotherm 40/Týn               | 800                              | 0,18   | 960                                       | 7                       |
| Porotherm 36,5                 | 1000                             | 0,32   | 960                                       | 7                       |
| Porotherm 30, Porotherm 24     | 1000                             | 0,42   | 960                                       | 7                       |
| Porotherm příčka               | 1000                             | 0,44   | 960                                       | 7                       |
| <b>omítky</b>                  |                                  |  |   |                         |
| omítky YTONG vnitřní           | 1000                             | 0.35   | 1000                                      | 10                      |
| omítky YTONG vnější            | 800                              | 0.19   | 1000                                      | 35                      |
| perlit. omítka LAVAPERL        | 270-300                          | 0,08   |   | 5                       |
| perlit. omítka LAVAPERL        | 350-400                          | 0,10   |   | 5                       |
| perlit.omítka Terfix           | 280                              | 0,06   | 920                                       |                         |
| perlit.omítka Terfix           | 400                              | 0,07   |   |                         |
| perlit.omítka Terfix           | 450                              | 0,08   |   |                         |
| Baumit Thermo (tl.20-30 mm)    | 1000                             | 0,13   | 850                                       | 8                       |
| Baumit Thermo extra (tl.40 mm) | 1000                             | 0,09   | 850                                       | 8                       |
| Granolan stěrka (tl.2 - 4 mm)  | 1700                             | 0,7  | 840                                       | 121                     |

| materiál                     | objemová hmotnost v suchém stavu | součinitel tepelné vodivosti                   | měrná tepelná kapacita                  | faktor difuzního odporu |
|------------------------------|----------------------------------|--|---|-------------------------|
|                              | $\rho$ [kg.m <sup>-3</sup> ]     | $\lambda$ [W.m <sup>-1</sup> K <sup>-1</sup> ] | c [J.kg <sup>-1</sup> K <sup>-1</sup> ] | $\mu$ [-]               |
| extrudovaný polystyren       |                                  |  |   |                         |
| Dow Chemical Roofmate SL     | 32-35                            | 0,030  |   | 100-200                 |
| Dow Chemical Roofmate SP     | 36                               | 0,030  |   | 150-200                 |
| Dow Chemical Roofmate STD    | 36                               | 0,030  |   | 150-200                 |
| Dow Chemical Roofmate LG     | 32-35                            | 0,035  |   | 100-200                 |
| Dow Chemical Styrofoam IB    | 28                               | 0,040  |   | 100                     |
| Dow Chemical Styrofoam SM-TG | 30                               | 0,035  |   | 80-200                  |
| Dow Chemical Floormate 200   | 25                               | 0,035  |   | 80-150                  |
| Dow Chemical Floormate 500   | 38                               | 0,030  |   | 150-220                 |
| Dow Chemical Floormate 700   | 45                               | 0,030  |   | 150-220                 |
| Dow Chemical Perimate        | 32-35                            | 0,035  |   | 100-200                 |
| Dow Chemical Wallmate CW     | 25                               | 0,035  |   | 80-150                  |
| FINA-XR                      | 28                               | 0,040  |   | 80-150                  |
| FINA-X3                      | 33                               | 0,035  |   | 100-225                 |
| FINA-PERI 030                | 33                               | 0,030  |   | 100-225                 |
| Styrodur 2000                | 28                               | 0,040  |   | 40                      |
| Styrodur 2500                | 25                               | 0,035  |   | 50                      |
| Styrodur 3000                | 33                               | 0,030  |   | 40                      |
| Styrodur 3035                | 33                               | 0,035  |   | 40                      |
| Styrodur 4000                | 40                               | 0,030  |   | 40                      |
| Styrodur 5000                | 45                               | 0,030  |   | 40                      |
| výrobky z min.vlny */        |                                  |  |   |                         |
| Desky ORSIL L                | 50                               | 0,040  |   |                         |
| Desky ORSIL M                | 75                               | 0,040  |   |                         |
| Desky ORSIL N                | 100                              | 0,035  |   |                         |
| Desky ORSIL P                | 120                              | 0,041  |   |                         |
| Desky ORSIL T                | 150                              | 0,040  |   |                         |

\*/ Hodnoty součinitele tepelné vodivosti materiálů ORSIL jsou určeny dle DIN 4108

| materiál                           | objemová<br>hmotnost v<br>suchém stavu | součinitel<br>tepelné<br>vodivosti             | měrná<br>tepelná<br>kapacita              | faktor<br>difuzního<br>odporu |
|------------------------------------|--|--|---|-------------------------------|
|                                    | $\rho$ [kg.m <sup>-3</sup> ]           | $\lambda$ [W.m <sup>-1</sup> K <sup>-1</sup> ] | $c$ [J.kg <sup>-1</sup> K <sup>-1</sup> ] | $\mu$ [-]                     |
| Desky ORSIL S                      | 200                                    | 0,040  |   |                               |
| Pás z min.plsti - ORSIL            | 70                                     | 0,042  |   |                               |
| Prefizol PZ 50                     | 35-50                                  | 0,044  |   |                               |
| Prefizol PZ 75                     | 60-75                                  | 0,040  |   |                               |
| Prefizol PZ 100                    | 76-100                                 | 0,041  |   |                               |
| Prefizol PZ 125                    | 101-125                                | 0,042  |   |                               |
| Rotaflex                           | 18-25                                  | 0,050  |   |                               |
| Rotaflex Super                     |  |  |   |                               |
| Rockwool RFP-L035                  | 100                                    | 0,035  | 840                                       | 1,1                           |
| Rockwool RFP-L040                  | 150                                    | 0,040  | 840                                       | 1,1                           |
| Rockwool RP-PL                     | 120                                    | 0,045  | 840                                       | 1,4                           |
| Rockwool RP-SD                     | 150                                    | 0,04   | 840                                       | 1,4                           |
| Rockwool Hardrock II               | 180                                    | 0,04   | 840                                       | 1,4                           |
| G+H ISOVER Isophen-035             |  | 0,035  |   | 1,1                           |
| G+H ISOVER Isophen-040             |  | 0,040  |   | 1,1                           |
| G+H ISOVER Izol.desky DP           |  | 0,040  |   |                               |
| G+H ISOVER Plst 320                |  | 0,040  |   |                               |
| G+H ISOVER Fasád. desky SPF-035    |  | 0,035  |   |                               |
| G+H ISOVER Fasád.desky SPF-040     |  | 0,040  |   |                               |
| G+H ISOVER Příkladová plst CW      |  | 0,040  |   |                               |
| NOBASIL JPS                        | 150                                    | 0,040  |   | 1,4                           |
| NOBASIL TF                         |  | 0,040  |   | 1,4                           |
| NOBASIL 120 S                      | 120                                    | 0,040  |   | 1,4                           |
| NOBASIL LF                         |  | 0,040  |   | 1,1                           |
| NOBASIL PP                         | 100                                    | 0,040  |   | 1,1                           |
| NOBASIL M 50                       | 50                                     | 0,040  |   | 1,1                           |
| NOBASIL M 75                       | 75                                     | 0,040  |   | 1,1                           |
| NOBASIL M 90                       | 90                                     | 0,040  |   | 1,1                           |
| Rotizol (volná vlna) - Isol Kladno | 185                                    | 0,041  |   |                               |

| materiál                            | objemová hmotnost v suchém stavu | součinitel tepelné vodivosti                   | měrná tepelná kapacita                    | faktor difuzního odporu |
|-------------------------------------|----------------------------------|--|---|-------------------------|
|                                     | $\rho$ [kg.m <sup>-3</sup> ]     | $\lambda$ [W.m <sup>-1</sup> K <sup>-1</sup> ] | $c$ [J.kg <sup>-1</sup> K <sup>-1</sup> ] | $\mu$ [-]               |
| výrobky z papírového granulátu      |                                  |  |   |                         |
| Climatizer Plus                     | 27                               | 0,037  |   | 1,0                     |
| Climatizer Plus                     | 50                               | 0,049  |   | 1,0                     |
| Tempelan                            | 40-50                            | 0,041  |   | 1,0                     |
| Isodan CS                           | 40-77                            | 0,039  |   | 1,0                     |
| Isofloc                             | 35-60                            | 0,045  |   | 1,0                     |
| výrobky z pěnového skla             |                                  |  |   |                         |
| Foamglas T4                         | 120                              | 0,040  |   |                         |
| Foamglas S3                         | 135                              | 0,044  |   |                         |
| desky z heraklitu a pěn.polystyrenu |                                  |  |   |                         |
| heraklit 5 mm, PPS 20 mm            | 400                              | 0,047  | 1800                                      | 50                      |
| heraklit 5 mm, PPS 45 mm            | 400                              | 0,044  | 1800                                      | 50                      |
| heraklit 2x5 mm, PPS 15 mm          | 500                              | 0,056  | 1800                                      | 50                      |
| heraklit 2x5 mm, PPS 40 mm          | 500                              | 0,047  | 1800                                      | 50                      |
| heraklit 2x5 mm, PPS 90 mm          | 500                              | 0,046  | 1800                                      | 50                      |

**Tabulka P 05 – Vzduchové vrstvy podle ČSN EN ISO 6946**

**Nevětraná vzduchová vrstva**

Vzduchová vrstva spojená s vnějším prostředím malými otvory může být považována za nevětranou, jestliže uspořádání těchto otvorů neumožní zřetelné proudění ve vzduchové vrstvě a jestliže tyto otvory nepřesahují:

- pro svislé vzduchové vrstvy  $500 \text{ mm}^2$  na každý m délky vzduchové vrstvy
- pro vodorovné vzduchové vrstvy  $500 \text{ mm}^2$  na každý  $\text{m}^2$  plochy povrchu.

**Slabě větraná vzduchová vrstva**

Slabě větraná vzduchová vrstva je taková, ve které probíhá pouze omezená výměna vzduchu s vnějším prostředím otvory v rozsahu:

- pro svislé vzduchové vrstvy od  $500 \text{ mm}^2$  do  $1500 \text{ mm}^2$  na každý m délky vzduchové vrstvy.
- pro vodorovné vzduchové vrstvy od  $500 \text{ mm}^2$  do  $1500 \text{ mm}^2$  na každý  $\text{m}^2$  plochy povrchu.

Výpočtový tepelný odpor slabě větrané vzduchové vrstvy je roven **jedné polovině** odpovídající hodnoty z tab.T.2.4, nejvýše však  $0,15 \text{ m}^2\text{K.W}^{-1}$ .

**Silně větraná vzduchová vrstva**

Silně větraná vzduchová vrstva je taková, ve které probíhá výměna vzduchu s vnějším prostředím otvory v rozsahu větším než u vrstev slabě větraných (viz výše). V takovém případě se do tepelného odporu konstrukce započítávají pouze vrstvy zevnitř až ke vzduchové vrstvě. Jako odpor při přestupu tepla na vnější straně konstrukce se pak použije hodnota odpovídající klidnému vzduchu - tj. hodnota **shodná s hodnotou odporu při přestupu tepla na vnitřní straně téže konstrukce.**

Tabulka P 06 – Výpočtové hodnoty částečných tlaků nasycené vodní páry  $p_{v,sat}$  v Pa, v závislosti na teplotě vzduchu  $\theta_a$ 

| °C  | ,0   | ,1   | ,2   | ,3   | ,4   | ,5   | ,6   | ,7   | ,8   | ,9   |
|-----|------|------|------|------|------|------|------|------|------|------|
| 30  | 4238 | 4262 | 4286 | 4311 | 4336 | 4360 | 4382 | 4410 | 4436 | 4461 |
| 29  | 4001 | 4024 | 4017 | 4071 | 4094 | 4018 | 4141 | 4165 | 4189 | 4214 |
| 28  | 3776 | 3798 | 3820 | 3841 | 3864 | 3886 | 3909 | 3932 | 3955 | 3978 |
| 27  | 3562 | 3582 | 3603 | 3624 | 3646 | 3667 | 3689 | 3710 | 3732 | 3753 |
| 26  | 3358 | 3378 | 3398 | 3418 | 3438 | 3458 | 3479 | 3499 | 3520 | 3541 |
| 25  | 3165 | 3184 | 3203 | 3222 | 3241 | 3260 | 3280 | 3299 | 3319 | 3338 |
| 24  | 2982 | 2999 | 3017 | 3035 | 3053 | 3072 | 3090 | 3109 | 3127 | 3146 |
| 23  | 2807 | 2824 | 2841 | 2858 | 2876 | 2893 | 2911 | 2928 | 2946 | 2963 |
| 22  | 2642 | 2658 | 2674 | 2691 | 2707 | 2723 | 2740 | 2756 | 2773 | 2790 |
| 21  | 2485 | 2501 | 2516 | 2531 | 2547 | 2563 | 2578 | 2594 | 2610 | 2626 |
| 20  | 2337 | 2351 | 2366 | 2380 | 2395 | 2410 | 2425 | 2440 | 2455 | 2470 |
| 19  | 2196 | 2210 | 2224 | 2238 | 2251 | 2262 | 2279 | 2294 | 2308 | 2322 |
| 18  | 2063 | 2076 | 2089 | 2102 | 2114 | 2129 | 2142 | 2155 | 2169 | 2182 |
| 17  | 1937 | 1949 | 1961 | 1974 | 1986 | 1999 | 2012 | 2024 | 2037 | 2050 |
| 16  | 1817 | 1829 | 1741 | 1853 | 1864 | 1876 | 1888 | 1900 | 1912 | 1925 |
| 15  | 1704 | 1716 | 1727 | 1738 | 1749 | 1760 | 1772 | 1783 | 1794 | 1806 |
| 14  | 1598 | 1608 | 1618 | 1629 | 1640 | 1651 | 1661 | 1672 | 1683 | 1694 |
| 13  | 1497 | 1507 | 1517 | 1527 | 1537 | 1547 | 1557 | 1567 | 1577 | 1588 |
| 12  | 1402 | 1411 | 1421 | 1430 | 1440 | 1449 | 1459 | 1470 | 1478 | 1488 |
| 11  | 1212 | 1321 | 1330 | 1339 | 1348 | 1357 | 1366 | 1375 | 1384 | 1393 |
| 10  | 1228 | 1236 | 1244 | 1252 | 1261 | 1269 | 1279 | 1286 | 1295 | 1304 |
| 9   | 1148 | 1156 | 1163 | 1171 | 1179 | 1187 | 1195 | 1203 | 1211 | 1219 |
| 8   | 1073 | 1080 | 1087 | 1095 | 1102 | 1110 | 1117 | 1125 | 1132 | 1140 |
| 7   | 1002 | 1009 | 1016 | 1023 | 1030 | 1037 | 1044 | 1051 | 1058 | 1065 |
| 6   | 935  | 941  | 948  | 955  | 961  | 968  | 975  | 981  | 988  | 995  |
| 5   | 872  | 878  | 884  | 891  | 897  | 904  | 909  | 916  | 922  | 929  |
| 4   | 758  | 763  | 769  | 774  | 779  | 785  | 791  | 796  | 802  | 807  |
| 3   | 758  | 763  | 769  | 774  | 779  | 785  | 791  | 796  | 802  | 807  |
| 2   | 706  | 711  | 716  | 621  | 726  | 731  | 736  | 742  | 747  | 752  |
| 1   | 657  | 661  | 666  | 671  | 676  | 681  | 686  | 691  | 696  | 701  |
| 0   | 611  | 615  | 620  | 624  | 629  | 633  | 638  | 643  | 647  | 652  |
| -0  | 611  | 606  | 601  | 596  | 591  | 586  | 581  | 576  | 572  | 567  |
| -1  | 562  | 578  | 553  | 548  | 544  | 539  | 535  | 530  | 526  | 522  |
| -2  | 517  | 512  | 509  | 504  | 500  | 496  | 492  | 488  | 484  | 480  |
| -3  | 476  | 472  | 468  | 464  | 460  | 456  | 452  | 448  | 445  | 441  |
| -4  | 437  | 433  | 430  | 426  | 422  | 419  | 415  | 412  | 408  | 405  |
| -5  | 401  | 398  | 395  | 391  | 388  | 385  | 381  | 378  | 375  | 372  |
| -6  | 368  | 365  | 362  | 359  | 356  | 353  | 350  | 347  | 344  | 341  |
| -7  | 338  | 335  | 332  | 329  | 326  | 323  | 321  | 318  | 315  | 312  |
| -8  | 310  | 307  | 304  | 302  | 299  | 296  | 294  | 291  | 289  | 286  |
| -9  | 284  | 281  | 279  | 276  | 274  | 271  | 269  | 267  | 264  | 262  |
| -10 | 260  | 257  | 255  | 253  | 250  | 248  | 246  | 244  | 242  | 240  |
| -11 | 237  | 235  | 233  | 231  | 229  | 227  | 225  | 223  | 221  | 219  |
| -12 | 217  | 215  | 213  | 211  | 209  | 207  | 206  | 204  | 202  | 200  |
| -13 | 198  | 196  | 195  | 193  | 191  | 189  | 188  | 186  | 184  | 183  |
| -14 | 181  | 179  | 178  | 176  | 174  | 173  | 171  | 170  | 168  | 167  |
| -15 | 165  | 164  | 162  | 161  | 159  | 158  | 156  | 155  | 153  | 152  |
| -16 | 150  | 150  | 148  | 146  | 145  | 144  | 142  | 141  | 140  | 138  |
| -17 | 137  | 136  | 134  | 133  | 132  | 131  | 130  | 128  | 127  | 126  |
| -18 | 125  | 124  | 122  | 121  | 120  | 119  | 118  | 117  | 116  | 115  |
| -19 | 113  | 112  | 111  | 110  | 109  | 108  | 107  | 106  | 105  | 104  |
| -20 | 103  | 102  | 101  | 100  | 99,2 | 98,3 | 97,3 | 96,4 | 95,4 | 94,5 |
| -21 | 93,6 | 92,7 | 91,8 | 90,9 | 90,1 | 89,2 | 88,3 | 87,5 | 86,6 | 85,8 |
| -22 | 85,0 | 84,1 | 83,3 | 82,5 | 81,7 | 80,9 | 80,1 | 79,3 | 78,6 | 77,8 |
| -23 | 77,0 | 76,3 | 75,5 | 74,8 | 74,1 | 73,3 | 72,6 | 71,9 | 71,2 | 70,5 |
| -24 | 69,8 | 69,1 | 68,4 | 67,7 | 67,1 | 66,4 | 65,8 | 65,1 | 64,5 | 63,8 |
| -25 | 63,2 | 62,6 | 61,9 | 61,3 | 60,7 | 60,1 | 59,5 | 58,9 | 58,3 | 57,7 |
| °C  | ,0   | ,1   | ,2   | ,3   | ,4   | ,5   | ,6   | ,7   | ,8   | ,9   |

Tabulka P 07 – normové hodnoty pohltivosti a odrazivosti slunečního záření materiálů

| Položka                     | Materiál                     | Pohltivost<br>slunečního záření<br>$A_n$ | Odrazivost<br>slunečního záření<br>$P_n$ |
|-----------------------------|------------------------------|--|--|
| 1                           | 2                            | 3  | 4  |
| <b>1 Kovy</b>               |                              |  |  |
| 1.1.1                       | Hliník leštěný               | 0,05                                     | 0,95                                     |
| 2                           | drsný                        | 0,07                                     | 0,93                                     |
| 3                           | oxidovaný                    | 0,20 – 0,30                              | 0,80 – 0,70                              |
| 1.2.1                       | Litina opracovaná            | 0,60 – 0,70                              | 0,40 – 0,30                              |
| 2                           | oxidovaná                    | 0,93                                     | 0,07                                     |
| 1.3.1                       | Měď leštěná                  | 0,05                                     | 0,95                                     |
| 2                           | válcovaná                    | 0,63                                     | 0,37                                     |
| 3                           | oxidovaná                    | 0,78                                     | 0,22                                     |
| 1.4.1                       | Mosaz leštěná                | 0,05                                     | 0,95                                     |
| 2                           | oxidovaná                    | 0,60                                     | 0,40                                     |
| 1.5.1                       | Ocel jemně opracovaná,       | 0,24                                     | 0,76                                     |
| 2                           | válcovaná                    | 0,77                                     | 0,23                                     |
| 3                           | oxidovaná                    | 0,80                                     | 0,20                                     |
| 4                           | zrezavělá                    | 0,85                                     | 0,15                                     |
| 1.6.1                       | Plech pocínovaný             | 0,09                                     | 0,91                                     |
| 2                           | pozinkovaný                  | 0,23                                     | 0,77                                     |
| 3                           | oxidovaný                    | 0,52                                     | 0,48                                     |
| <b>2 Stavební materiály</b> |                              |  |  |
| 2.1                         | Azbestocem. desky            | 0,96                                     | 0,04                                     |
| 2                           | Beton                        | 0,89                                     | 0,11                                     |
| 3                           | Břidlice                     | 0,66                                     | 0,34                                     |
| 4                           | Pálené cihly                 | 0,93                                     | 0,07                                     |
| 5                           | Šamotové cihly               | 0,85                                     | 0,15                                     |
| 6                           | Čedič                        | 0,68                                     | 0,32                                     |
| 7                           | Dřevo                        | 0,90                                     | 0,10                                     |
| 8                           | Střešní živičná hydroizolace | 0,93                                     | 0,07                                     |
| 9                           | Mramor                       | 0,93                                     | 0,07                                     |
| 10                          | Vápenná omítka               | 0,93                                     | 0,07                                     |
| 11                          | Pískovec                     | 0,58                                     | 0,42                                     |
| 12                          | Sádra                        | 0,89                                     | 0,11                                     |
| 13                          | Vápenec                      | 0,58                                     | 0,42                                     |
| 14                          | Žula                         | 0,32                                     | 0,58                                     |
| <b>3 Ostatní materiály</b>  |                              |  |  |
| 3.1.1                       | Přez měkká                   | 0,86                                     | 0,14                                     |
| 3.1.2                       | Přez tvrdá                   | 0,93                                     | 0,07                                     |
| 3.2                         | Papír                        | 0,90                                     | 0,10                                     |
| 3                           | Porcelán                     | 0,92                                     | 0,08                                     |
| 4                           | Saze                         | 0,93                                     | 0,04                                     |
| 5                           | Sklo                         | 0,92                                     | 0,08                                     |
| 6                           | Tkaniny                      | 0,80 – 0,90                              | 0,20 – 0,10                              |
| 7                           | Voda, led                    | 0,92                                     | 0,08                                     |
| 3.8                         | Nátěry                       |  |  |
| 3.8.1                       | hliníkový bronz              | 0,20 – 0,40                              | 0,80 – 0,60                              |
| 2                           | olejové laky a emaily        | 0,92 – 0,96                              | 0,08 – 0,04                              |
| 3                           | syntetické laky              | 0,85 – 0,90                              | 0,15 – 0,10                              |
| 4                           | saze s vodním sklem          | 0,96                                     | 0,04                                     |
| 5                           | želak                        | 0,82                                     | 0,18                                     |

Tabulka P 08 – Výpočtové hodnoty relativní vlhkosti vnějšího vzduchu, doby trvání teplot vnějšího vzduchu a střední intenzity globálního slunečního záření

| Teplota vnějšího vzduchu $\theta_e$ °C | Vnější vzduch                   |                                   |                                       |                                    | Doba trvání teplot vnějšího vzduchu v (s), při zatažené a jasné obloze a doba celková |                                       |                                    |                                    |                                       |                                    |                                    |                                    |  |  |  |  | Střední intenzita globálního slunečního záření $J_m$ W·m <sup>-2</sup> |
|--|---------------------------------|-----------------------------------|---------------------------------------|------------------------------------|---|---------------------------------------|------------------------------------|------------------------------------|---------------------------------------|------------------------------------|------------------------------------|------------------------------------|--|--|--|--|--|
|  | Relativní vlhkost $\varphi_e$ % | Částečný tlak vodní páry $P_e$ Pa | pro $\theta_e = -15$ °C               |                                    |   | pro $\theta_e = -18$ °C               |                                    |                                    | pro $\theta_e = -21$ °C               |                                    |                                    | celková doba $t_c \cdot 10^{-3}$ s |  |  |  |  |  |
|  |                                 |                                   | zatažená obloha $t_z \cdot 10^{-3}$ s | jasná obloha $t_j \cdot 10^{-3}$ s | celková doba $t_c \cdot 10^{-3}$ s  | zatažená obloha $t_z \cdot 10^{-3}$ s | jasná obloha $t_j \cdot 10^{-3}$ s | celková doba $t_c \cdot 10^{-3}$ s | zatažená obloha $t_z \cdot 10^{-3}$ s | jasná obloha $t_j \cdot 10^{-3}$ s | celková doba $t_c \cdot 10^{-3}$ s |                                    |  |  |  |  |  |
| 1                                      | 2                               | 3                                 | 4                                     | 5                                  | 6   | 7                                     | 8                                  | 9                                  | 10                                    | 11                                 | 12                                 | 13                                 |  |  |  |  |  |
| -21                                    | 85                              | 79,6                              | —                                     | —                                  | —   | —                                     | —                                  | —                                  | —                                     | —                                  | —                                  | —                                  |  |  |  |  |  |
| -20                                    | 85                              | 87,6                              | —                                     | —                                  | —   | 151,2                                 | 21,6                               | 172,8                              | 194,4                                 | 21,6                               | 216,0                              |                                    |  |  |  |  |  |
| -18                                    | 85                              | 104,8                             | —                                     | —                                  | —   | —                                     | —                                  | —                                  | —                                     | —                                  | —                                  |                                    |  |  |  |  |  |
| -15                                    | 84                              | 138,6                             | 583,2                                 | 21,6                               | 604,8   | 410,4                                 | 21,6                               | 432,0                              | 237,6                                 | 21,6                               | 259,2                              | 70                                 |  |  |  |  |  |
| -10                                    | 83                              | 215,4                             | 907,2                                 | 86,4                               | 993,6   | 1404,0                                | 64,8                               | 1468,8                             | 1576,8                                | 64,8                               | 1641,6                             |                                    |  |  |  |  |  |
| -5                                     | 82                              | 329,1                             | 2440,8                                | 151,2                              | 2592,0  | 3283,0                                | 129,6                              | 3412,8                             | 4276,8                                | 129,6                              | 4406,4                             |                                    |  |  |  |  |  |
| 0                                      | 81                              | 488,6                             | 5162,4                                | 151,2<br>259,2                     | 5572,8  | 5313,6                                | 64,8<br>324,0                      | 5702,4                             | 5572,8                                | 64,8<br>324,0                      | 5961,6                             |                                    |  |  |  |  |  |
| 5                                      | 79                              | 689,0                             | 5356,8                                | 432,0                              | 5788,8  | 5594,4                                | 172,8<br>194,4                     | 5961,6                             | 5464,8                                | 172,8<br>194,4                     | 5832,0                             | 140                                |  |  |  |  |  |
| 10                                     | 76                              | 933,0                             | 5119,2                                | 496,8                              | 5616,0  | 5313,6                                | 475,2                              | 5788,8                             | 6436,8                                | 475,2                              | 6912,0                             | 302                                |  |  |  |  |  |
| 15                                     | 73                              | 1244,4                            | 5162,4                                | 345,6<br>324,0                     | 5832,0  | 5011,2                                | —<br>475,2                         | 5486,4                             | 5616,0                                | —<br>475,2                         | 6091,2                             |                                    |  |  |  |  |  |
| 20                                     | 68                              | 1589,0                            | 3758,4                                | 345,6                              | 4104,0  | 2808,0                                | 129,6                              | 2937,6                             | 158,4                                 | 57,6                               | 216,0                              | 430                                |  |  |  |  |  |
| 25                                     | 59                              | 1835,6                            | 367,2                                 | 64,8                               | 432,0   | 172,8                                 | —                                  | 172,8                              | —                                     | —                                  | —                                  |                                    |  |  |  |  |  |
| $\Sigma$                               | —                               | —                                 | 28857,6                               | 2678,4                             | 31536,0   | 29462,4                               | 2073,6                             | 31536,0                            | 29534,4                               | 2001,6                             | 31536,0                            | —                                  |  |  |  |  |  |

**Tabulka P 09 – Výpočtové hodnoty výsledné teplotní amplitudy vnějšího prostředí  $A_v$  a doby jejího maxima  $t_{max}$  v závislosti na orientaci stavební konstrukce a pohltivosti záření  $A_n$  pro teplotní oblasti**

| $S_p$ | Teplotní oblast |             | Orientace stavební konstrukce |      |      |      |      |      |      |      |                 |
|-------|-----------------|-------------|-------------------------------|------|------|------|------|------|------|------|-----------------|
|       |                 |             | V                             | JV   | J    | JZ   | Z    | SZ   | S    | SV   | H <sup>1)</sup> |
| 0,40  | A               | $A_{vp}$    | 14,5                          | 15,7 | 17,0 | 20,1 | 21,2 | 17,1 | 8,6  | 9,5  | 20,5            |
|       |                 | $t_{max,p}$ | 9,8                           | 11,2 | 13,1 | 14,7 | 15,7 | 16,2 | 15,8 | 9,5  | 12,9            |
|       | B               | $A_{vp}$    | 14,7                          | 16,3 | 17,9 | 21,0 | 22,2 | 18,0 | 9,6  | 9,7  | 21,4            |
|       |                 | $t_{max,p}$ | 10,0                          | 11,4 | 13,2 | 14,7 | 15,7 | 16,2 | 15,7 | 9,9  | 13,0            |
| 0,45  | A               | $A_{vp}$    | 16,1                          | 17,3 | 18,4 | 21,7 | 23,1 | 18,4 | 8,9  | 10,7 | 22,4            |
|       |                 | $t_{max,p}$ | 9,6                           | 11,0 | 13,0 | 14,7 | 15,7 | 16,3 | 15,8 | 9,2  | 12,8            |
|       | B               | $A_{vp}$    | 16,3                          | 17,8 | 19,3 | 22,7 | 24,0 | 19,3 | 9,8  | 10,8 | 23,2            |
|       |                 | $t_{max,p}$ | 9,8                           | 11,2 | 13,1 | 14,7 | 15,7 | 16,2 | 15,8 | 9,6  | 12,9            |
| 0,50  | A               | $A_{vp}$    | 17,8                          | 18,8 | 19,8 | 23,4 | 24,9 | 19,7 | 9,1  | 11,8 | 24,2            |
|       |                 | $t_{max,p}$ | 9,4                           | 10,9 | 12,9 | 14,6 | 15,7 | 16,4 | 15,9 | 9,0  | 12,8            |
|       | B               | $A_{vp}$    | 18,0                          | 19,3 | 20,6 | 24,4 | 25,9 | 20,7 | 10,1 | 11,9 | 25,0            |
|       |                 | $t_{max,p}$ | 9,6                           | 11,1 | 13,0 | 14,7 | 15,7 | 16,3 | 15,8 | 9,3  | 12,8            |
| 0,55  | A               | $A_{vp}$    | 19,6                          | 20,4 | 21,2 | 25,1 | 26,7 | 21,1 | 9,4  | 13,0 | 26,1            |
|       |                 | $t_{max,p}$ | 9,3                           | 10,8 | 12,9 | 14,6 | 15,8 | 16,4 | 16,0 | 8,8  | 12,7            |
|       | B               | $A_{vp}$    | 19,7                          | 20,9 | 22,0 | 26,1 | 27,7 | 22,0 | 10,3 | 13,0 | 26,9            |
|       |                 | $t_{max,p}$ | 9,5                           | 10,9 | 13,0 | 14,7 | 15,7 | 16,3 | 15,9 | 9,1  | 12,8            |
| 0,60  | A               | $A_{vp}$    | 21,3                          | 22,0 | 22,6 | 26,7 | 28,5 | 22,4 | 9,6  | 14,3 | 27,9            |
|       |                 | $t_{max,p}$ | 9,2                           | 10,7 | 12,8 | 14,6 | 15,8 | 16,4 | 16,0 | 8,6  | 12,7            |
|       | B               | $A_{vp}$    | 21,4                          | 22,4 | 23,4 | 27,7 | 29,5 | 23,4 | 10,6 | 14,2 | 28,8            |
|       |                 | $t_{max,p}$ | 9,4                           | 10,8 | 12,9 | 14,6 | 15,7 | 16,4 | 15,9 | 8,9  | 12,7            |
| 0,65  | A               | $A_{vp}$    | 23,0                          | 23,6 | 24,0 | 28,4 | 30,4 | 23,8 | 9,9  | 15,5 | 29,8            |
|       |                 | $t_{max,p}$ | 9,1                           | 10,6 | 12,8 | 14,6 | 15,8 | 16,5 | 16,1 | 8,5  | 12,6            |
|       | B               | $A_{vp}$    | 23,1                          | 24,0 | 24,9 | 29,4 | 31,4 | 24,7 | 10,9 | 15,4 | 30,6            |
|       |                 | $t_{max,p}$ | 9,3                           | 10,7 | 12,8 | 14,6 | 15,8 | 16,4 | 16,0 | 8,7  | 12,7            |
| 0,70  | A               | $A_{vp}$    | 24,8                          | 25,2 | 25,4 | 30,1 | 32,2 | 25,1 | 10,2 | 16,8 | 31,7            |
|       |                 | $t_{max,p}$ | 9,0                           | 10,5 | 12,7 | 14,6 | 15,8 | 16,5 | 16,2 | 8,4  | 12,6            |
|       | B               | $A_{vp}$    | 24,8                          | 25,6 | 26,3 | 31,1 | 33,2 | 26,1 | 11,1 | 16,7 | 32,5            |
|       |                 | $t_{max,p}$ | 9,2                           | 10,7 | 12,8 | 14,6 | 15,8 | 16,4 | 16,1 | 8,6  | 12,6            |

(pokračování)

| $S_f$ | Teplotní oblast | Orientace stavební konstrukce |      |      |      |      |      |      |      |                 |      |
|-------|-----------------|-------------------------------|------|------|------|------|------|------|------|-----------------|------|
|       |                 | V                             | JV   | J    | JZ   | Z    | SZ   | S    | SV   | H <sup>1)</sup> |      |
| 0,75  | A               | $A_{1,p}$                     | 26,6 | 26,8 | 26,9 | 31,8 | 34,0 | 26,5 | 10,4 | 18,1            | 33,6 |
|       |                 | $t_{mou,p}$                   | 8,9  | 10,5 | 12,7 | 14,6 | 15,8 | 16,5 | 16,2 | 8,3             | 12,5 |
|       | B               | $A_{1,p}$                     | 26,6 | 27,2 | 27,7 | 32,8 | 35,0 | 27,4 | 11,4 | 17,9            | 34,4 |
|       |                 | $t_{mou,p}$                   | 9,1  | 10,6 | 12,8 | 14,6 | 15,8 | 16,5 | 16,1 | 8,5             | 12,6 |
| 0,80  | A               | $A_{1,p}$                     | 28,4 | 28,4 | 28,3 | 33,4 | 35,9 | 27,9 | 10,7 | 19,4            | 35,5 |
|       |                 | $t_{mou,p}$                   | 8,9  | 10,4 | 12,6 | 14,6 | 15,8 | 16,5 | 16,3 | 8,2             | 12,5 |
|       | B               | $A_{1,p}$                     | 28,4 | 28,8 | 29,1 | 34,4 | 36,9 | 28,8 | 11,7 | 19,2            | 36,3 |
|       |                 | $t_{mou,p}$                   | 9,0  | 10,5 | 12,7 | 14,6 | 15,8 | 16,5 | 16,1 | 8,4             | 12,6 |
| 0,85  | A               | $A_{1,p}$                     | 30,2 | 30,1 | 29,7 | 35,1 | 37,7 | 29,2 | 11,0 | 20,7            | 37,3 |
|       |                 | $t_{mou,p}$                   | 8,8  | 10,4 | 12,6 | 14,6 | 15,8 | 16,6 | 16,3 | 8,1             | 12,5 |
|       | B               | $A_{1,p}$                     | 30,1 | 30,4 | 30,5 | 36,1 | 38,7 | 30,1 | 11,9 | 20,5            | 38,1 |
|       |                 | $t_{mou,p}$                   | 9,0  | 10,5 | 12,7 | 14,6 | 15,8 | 16,5 | 16,2 | 8,3             | 12,6 |
| 0,90  | A               | $A_{1,p}$                     | 32,0 | 31,7 | 31,1 | 36,8 | 39,5 | 30,6 | 11,3 | 22,0            | 39,2 |
|       |                 | $t_{mou,p}$                   | 8,8  | 10,3 | 12,6 | 14,6 | 15,8 | 16,6 | 16,3 | 8,0             | 12,5 |
|       | B               | $A_{1,p}$                     | 31,9 | 32,0 | 31,9 | 37,8 | 40,5 | 31,5 | 12,2 | 21,8            | 40,0 |
|       |                 | $t_{mou,p}$                   | 8,9  | 10,4 | 12,7 | 14,6 | 15,8 | 16,5 | 16,2 | 8,2             | 12,5 |
| 0,95  | A               | $A_{1,p}$                     | 33,8 | 33,3 | 32,6 | 38,4 | 41,4 | 31,9 | 11,5 | 23,3            | 41,1 |
|       |                 | $t_{mou,p}$                   | 8,7  | 10,3 | 12,6 | 14,6 | 15,8 | 16,6 | 16,4 | 8,0             | 12,4 |
|       | B               | $A_{1,p}$                     | 33,7 | 33,7 | 33,4 | 39,4 | 42,3 | 32,8 | 12,5 | 23,1            | 41,9 |
|       |                 | $t_{mou,p}$                   | 8,9  | 10,4 | 12,6 | 14,6 | 15,8 | 16,6 | 16,3 | 8,1             | 12,5 |
| 1,00  | A               | $A_{1,p}$                     | 35,6 | 35,0 | 34,0 | 40,1 | 43,2 | 33,3 | 11,8 | 24,7            | 43,0 |
|       |                 | $t_{mou,p}$                   | 8,7  | 10,2 | 12,5 | 14,6 | 15,9 | 16,6 | 16,4 | 7,9             | 12,4 |
|       | B               | $A_{1,p}$                     | 35,5 | 35,3 | 34,8 | 41,1 | 44,2 | 34,2 | 12,7 | 24,4            | 43,8 |
|       |                 | $t_{mou,p}$                   | 8,8  | 10,3 | 12,6 | 14,6 | 15,8 | 16,6 | 16,3 | 8,1             | 12,5 |

<sup>1)</sup> H – horizontální poloha.

Tabulka P 10 – Klasifikace energetické náročnosti budov

| Stupeň tepelné náročnosti budov STN [%] | Klasifikace energetické náročnosti budovy | Slovní vyjádření klasifikace budovy |
|---|---|-------------------------------------|
| $\leq 40$                               | A   | Mimořádně úsporná                   |
| $\leq 60$                               | B   | Velmi úsporná                       |
| $\leq 80$                               | C   | Úsporná                             |
| $\leq 100$                              | D   | <b>Vyhovující</b>                   |
| $\leq 120$                              | E   | Nevyhovující                        |
| $\leq 150$                              | F   | Výrazně nevyhovující                |
| $> 150$                                 | G   | Mimořádně nevyhovující              |

Tabulka P 11 – Normové a výpočtové hodnoty fyzikálních veličin okenních a dveřních konstrukcí

| Ploška  | Druhy oken   | Normové hodnoty   |  | Výpočtová hodnota součinitele prostupu tepla $U_{ov}$<br>$W \cdot m^{-2} \cdot K^{-1}$ |
|---|--|---|--|--|
|   |  | Součinitel prostupu tepla $U_{ov}$<br>$W \cdot m^{-2} \cdot K^{-1}$ | Součinitel spárové průvzdušnosti $g_v \cdot 10^{-4}$<br>$m^3 \cdot s^{-1} \cdot Pa^{-1}$ |  |
| 1   | 2  | 3   | 4  | 5  |
| <b>Okna dřevěná, kombinovaná a z plastů</b>           |  |   |  |  |
| <b>1 Jednoduchá okna</b>                              |  |   |  |  |
| 1.1   | s jedním sklem   | 4,5   | 1,9  | 5,2  |
| 1.2   | s přidavným sklem v rámečku z plastu nebo kovu (sdružené křídlo)   | 2,6   | 1,9  | 3,0  |
| 1.3   | s izolačním dvojsklem bez selektivní vrstvy  | 2,5   | 1,9  | 2,9  |
| 1.4   | s izolačním dvojsklem se selektivní vrstvou  | 1,8   | 1,9  | 2,1  |
| 1.5   | s izolačním dvojsklem bez selektivní vrstvy a s přidavným sklem v rámečku z plastu nebo kovu (sdružené křídlo) | 1,9   | 1,9  | 2,2  |
| 1.6   | s izolačním trojsklem  | 1,8   | 1,9  | 2,1  |
| <b>2 Zdvojená okna</b>                                |  |   |  |  |
| 2.1   | se dvěma skly  | 2,4   | 1,4  | 2,8  |
| 2.2   | se třemi skly s izolačním dvojsklem na vnitřní straně okna   | 1,7   | 1,4  | 2,0  |
| 2.3   | se třemi skly, třetí sklo v rámečku mezi křídly  | 1,65  | 1,4  | 1,9  |
| <b>3 Dvojitá okna dřevěná, kombinovaná a z plastů</b> |  |   |  |  |
| 3.1   | dvojitá, dvě skla  | 2,35  | 1,2  | 2,7  |
| 3.2   | dvojitá, sklo jednoduché a dvojsklo  | 1,4   |  | 1,6  |
| <b>Okna kovová</b>                                    |  |   |  |  |
| <b>4 Jednoduchá</b>                                   |  |   |  |  |
| 4.1   | s jedním sklem   | 5,65  | 1,9  | 6,5  |
| 4.2   | s izolačním dvojsklem  | 3,9   | 1,9  | 4,5  |
| 4.3   | s izolačním dvojsklem a přerušeným tepelným mostem   | 3,2   | 1,9  | 3,7  |
| 4.4   | s izolačním dvojsklem, se selektivní vrstvou a přerušeným tepelným mostem                                      | 2,35  | 1,9  | 2,7  |
| 4.5   | s izolačním trojsklem a přerušeným tepelným mostem   | 2,5   | 1,9  | 2,8  |
| <b>5 Zdvojená okna</b>                                |  |   |  |  |
| 5.1   | se dvěma skly  | 3,3   | 1,4  | 3,8  |
| 5.2   | se dvěma skly a přerušeným tepelným mostem   | 2,8   | 1,4  | 3,2  |
| 5.3   | se třemi skly s izolačním dvojsklem na vnitřní straně okna a přerušeným tepelným mostem                        | 2,4   | 1,4  | 2,8  |

(Pokračování)

| Položka        | Druhy dveří                                  | Normové hodnoty                            |  | Výpočtová hodnota<br>$U_{sep}$<br>$W \cdot m^{-2} \cdot K^{-1}$ |
|----------------|--|--|--|---|
|                |  | $U_{dva}$<br>$W \cdot m^{-2} \cdot K^{-1}$ | $g_{dva} \cdot 10^{-4}$<br>$m^{-2} \cdot s^{-1} \cdot Pa^{-0.5}$ |   |
| 1              | 2  | 3  | 4  | 5   |
| <b>6 Dveře</b> |  |  |  |   |
| 6.1            | domovní dřevěné bez skleněné výplně          | 2,3  |  | 2,6   |
| 6.2            | domovní dřevěné s jedním sklem               | 4,0  |  | 4,7   |
| 6.3            | domovní kovové s jedním sklem                | 5,65                                       |  | 6,5   |
| 6.4            | balkónové, viz okna                          |  |  |   |
| 6.5            | vnitřní dřevěné plně                         | 2,0  |  | 2,0   |
| 6.6            | vnitřní dřevěné zasklené jedním sklem        | 3,5  |  | 3,5   |
| 6.7            | vnitřní dřevěné zasklené jedním sklem ze 2/3 | 3,0  |  | 3,0   |

Tabulka P 12 – Kritické povrchové vnitřní teploty pro kritickou vnitřní povrchovou vlhkost  $\varphi_{si,cr} = 100\%$  (teploty rosného bodu  $\theta_w$ )

| Návrhová teplota vnitřního vzduchu $\theta_{wi}$ (°C) | Návrhová relativní vlhkost vnitřního vzduchu $\varphi$ (%) |       |       |       |       |       |       |       |       |       |       |
|---|--|-------|-------|-------|-------|-------|-------|-------|-------|-------|-------|
|   | 40   | 45    | 50    | 55    | 60    | 65    | 70    | 75    | 80    | 85    | 90    |
| 0   | -10,67   | -9,35 | -8,15 | -7,06 | -6,06 | -5,13 | -4,26 | -3,45 | -2,68 | -1,96 | -1,27 |
| 1   | -9,86  | -8,53 | -7,33 | -6,23 | -5,22 | -4,28 | -3,41 | -2,59 | -1,82 | -1,09 | -0,40 |
| 2   | -9,05  | -7,71 | -6,50 | -5,39 | -4,37 | -3,43 | -2,55 | -1,73 | -0,95 | -0,22 | 0,54  |
| 3   | -8,24  | -6,89 | -5,67 | -4,56 | -3,54 | -2,59 | -1,70 | -0,87 | -0,09 | 0,73  | 1,52  |
| 4   | -7,43  | -6,07 | -4,85 | -3,73 | -2,70 | -1,74 | -0,85 | -0,02 | 0,87  | 1,71  | 2,51  |
| 5   | -6,63  | -5,26 | -4,03 | -2,90 | -1,86 | -0,90 | 0,00  | 0,95  | 1,84  | 2,69  | 3,50  |
| 6   | -5,82  | -4,45 | -3,20 | -2,07 | -1,03 | -0,06 | 0,95  | 1,91  | 2,82  | 3,67  | 4,49  |
| 7   | -5,02  | -3,64 | -2,39 | -1,24 | -0,19 | 0,88  | 1,91  | 2,88  | 3,79  | 4,66  | 5,48  |
| 8   | -4,22  | -2,83 | -1,57 | -0,42 | 0,72  | 1,83  | 2,87  | 3,85  | 4,77  | 5,64  | 6,46  |
| 9   | -3,42  | -2,02 | -0,75 | 0,46  | 1,66  | 2,78  | 3,83  | 4,81  | 5,74  | 6,62  | 7,45  |
| 10  | -2,62  | -1,21 | 0,07  | 1,39  | 2,60  | 3,73  | 4,79  | 5,78  | 6,71  | 7,60  | 8,44  |
| 11  | -1,82  | -0,41 | 0,99  | 2,32  | 3,55  | 4,68  | 5,75  | 6,75  | 7,69  | 8,58  | 9,42  |
| 12  | -1,03  | 0,45  | 1,91  | 3,25  | 4,49  | 5,63  | 6,71  | 7,71  | 8,66  | 9,56  | 10,41 |
| 13  | -0,23  | 1,36  | 2,83  | 4,18  | 5,43  | 6,58  | 7,66  | 8,68  | 9,63  | 10,54 | 11,40 |
| 14  | 0,63   | 2,27  | 3,75  | 5,11  | 6,37  | 7,53  | 8,62  | 9,64  | 10,61 | 11,52 | 12,39 |
| 15  | 1,53   | 3,18  | 4,67  | 6,04  | 7,31  | 8,48  | 9,58  | 10,61 | 11,58 | 12,50 | 13,37 |
| 16  | 2,42   | 4,09  | 5,59  | 6,97  | 8,25  | 9,43  | 10,54 | 11,57 | 12,55 | 13,48 | 14,36 |
| 17  | 3,32   | 4,99  | 6,51  | 7,90  | 9,19  | 10,38 | 11,49 | 12,54 | 13,53 | 14,46 | 15,35 |
| 18  | 4,21   | 5,90  | 7,43  | 8,83  | 10,13 | 11,33 | 12,45 | 13,50 | 14,50 | 15,44 | 16,34 |
| 19  | 5,11   | 6,81  | 8,35  | 9,76  | 11,07 | 12,28 | 13,41 | 14,47 | 15,47 | 16,42 | 17,32 |
| 20  | 6,00   | 7,72  | 9,27  | 10,69 | 12,00 | 13,22 | 14,36 | 15,43 | 16,44 | 17,40 | 18,31 |
| 21  | 6,90   | 8,62  | 10,19 | 11,62 | 12,94 | 14,17 | 15,32 | 16,40 | 17,42 | 18,38 | 19,30 |
| 22  | 7,79   | 9,53  | 11,11 | 12,55 | 13,88 | 15,12 | 16,28 | 17,36 | 18,39 | 19,36 | 20,28 |
| 23  | 8,68   | 10,43 | 12,02 | 13,48 | 14,82 | 16,07 | 17,23 | 18,33 | 19,36 | 20,34 | 21,27 |
| 24  | 9,58   | 11,34 | 12,94 | 14,40 | 15,76 | 17,01 | 18,19 | 19,29 | 20,33 | 21,32 | 22,26 |
| 25  | 10,47  | 12,25 | 13,86 | 15,33 | 16,70 | 17,96 | 19,15 | 20,26 | 21,31 | 22,30 | 23,24 |
| 26  | 11,36  | 13,15 | 14,77 | 16,26 | 17,63 | 18,91 | 20,10 | 21,22 | 22,28 | 23,28 | 24,23 |
| 27  | 12,25  | 14,06 | 15,69 | 17,19 | 18,57 | 19,86 | 21,06 | 22,19 | 23,25 | 24,26 | 25,22 |
| 28  | 13,14  | 14,96 | 16,61 | 18,11 | 19,51 | 20,80 | 22,01 | 23,15 | 24,22 | 25,24 | 26,20 |
| 29  | 14,03  | 15,86 | 17,52 | 19,04 | 20,44 | 21,75 | 22,97 | 24,11 | 25,19 | 26,22 | 27,19 |
| 30  | 14,93  | 16,77 | 18,44 | 19,97 | 21,38 | 22,69 | 23,92 | 25,08 | 26,17 | 27,20 | 28,18 |

Tabulka P 13 – Kritické povrchové vnitřní teploty pro kritickou vnitřní povrchovou vlhkost  $\varphi_{si,cr} = 80\%$ 

| Návrhová<br>teplota<br>vnitřního<br>vzduchu<br>$\theta_{ni}$ (°C) | Návrhová relativní vlhkost vnitřního vzduchu $\varphi$ (%) |        |       |       |       |       |       |       |       |       |
|---|--|--------|-------|-------|-------|-------|-------|-------|-------|-------|
|   | 30   | 35     | 40    | 45    | 50    | 55    | 60    | 65    | 70    | 75    |
| 0   | -12,75   | -10,84 | -9,16 | -7,65 | -6,29 | -5,04 | -3,89 | -2,82 | -1,82 | -0,88 |
| 1   | -11,86   | -9,93  | -8,23 | -6,71 | -5,34 | -4,08 | -2,92 | -1,84 | -0,84 | 0,11  |
| 2   | -10,96   | -9,02  | -7,31 | -5,78 | -4,39 | -3,12 | -1,95 | -0,87 | 0,15  | 1,1   |
| 3   | -10,07   | -8,11  | -6,39 | -4,84 | -3,45 | -2,17 | -0,99 | 0,11  | 1,13  | 2,09  |
| 4   | -9,18  | -7,2   | -5,46 | -3,91 | -2,5  | -1,21 | -0,02 | 1,09  | 2,12  | 3,09  |
| 5   | -8,28  | -6,29  | -4,54 | -2,97 | -1,55 | -0,25 | 0,95  | 2,06  | 3,1   | 4,08  |
| 6   | -7,39  | -5,38  | -3,62 | -2,04 | -0,6  | 0,71  | 1,91  | 3,04  | 4,09  | 5,07  |
| 7   | -6,5   | -4,47  | -2,69 | -1,1  | 0,34  | 1,66  | 2,88  | 4,01  | 5,07  | 6,06  |
| 8   | -5,6   | -3,57  | -1,77 | -0,17 | 1,29  | 2,62  | 3,85  | 4,99  | 6,05  | 7,06  |
| 9   | -4,71  | -2,66  | -0,85 | 0,77  | 2,23  | 3,58  | 4,81  | 5,96  | 7,04  | 8,05  |
| 10  | -3,82  | -1,75  | 0,07  | 1,7   | 3,18  | 4,53  | 5,78  | 6,94  | 8,02  | 9,04  |
| 11  | -2,93  | -0,84  | 0,99  | 2,64  | 4,12  | 5,49  | 6,75  | 7,91  | 9,01  | 10,03 |
| 12  | -2,04  | 0,06   | 1,91  | 3,57  | 5,07  | 6,44  | 7,71  | 8,89  | 9,99  | 11,03 |
| 13  | -1,15  | 0,97   | 2,83  | 4,5   | 6,02  | 7,4   | 8,68  | 9,87  | 10,98 | 12,02 |
| 14  | -0,26  | 1,88   | 3,75  | 5,44  | 6,96  | 8,36  | 9,64  | 10,84 | 11,96 | 13,01 |
| 15  | 0,63   | 2,78   | 4,67  | 6,37  | 7,9   | 9,31  | 10,61 | 11,82 | 12,94 | 14    |
| 16  | 1,52   | 3,69   | 5,59  | 7,3   | 8,85  | 10,27 | 11,57 | 12,79 | 13,93 | 14,99 |
| 17  | 2,41   | 4,59   | 6,51  | 8,23  | 9,79  | 11,22 | 12,54 | 13,76 | 14,91 | 15,99 |
| 18  | 3,3  | 5,5    | 7,43  | 9,17  | 10,74 | 12,18 | 13,5  | 14,74 | 15,89 | 16,98 |
| 19  | 4,19   | 6,4    | 8,35  | 10,1  | 11,68 | 13,13 | 14,47 | 15,71 | 16,88 | 17,97 |
| 20  | 5,07   | 7,3    | 9,27  | 11,03 | 12,62 | 14,09 | 15,43 | 16,69 | 17,86 | 18,96 |
| 21  | 5,96   | 8,21   | 10,19 | 11,96 | 13,57 | 15,04 | 16,4  | 17,66 | 18,84 | 19,95 |
| 22  | 6,85   | 9,11   | 11,11 | 12,89 | 14,51 | 15,99 | 17,36 | 18,64 | 19,83 | 20,95 |
| 23  | 7,73   | 10,01  | 12,02 | 13,82 | 15,45 | 16,95 | 18,33 | 19,61 | 20,81 | 21,94 |
| 24  | 8,62   | 10,92  | 12,94 | 14,75 | 16,4  | 17,9  | 19,29 | 20,59 | 21,79 | 22,93 |
| 25  | 9,51   | 11,82  | 13,86 | 15,68 | 17,34 | 18,86 | 20,26 | 21,56 | 22,78 | 23,92 |
| 26  | 10,39  | 12,72  | 14,77 | 16,61 | 18,28 | 19,81 | 21,22 | 22,53 | 23,76 | 24,91 |
| 27  | 11,28  | 13,62  | 15,69 | 17,54 | 19,22 | 20,76 | 22,19 | 23,51 | 24,74 | 25,9  |
| 28  | 12,16  | 14,52  | 16,61 | 18,47 | 20,17 | 21,72 | 23,15 | 24,48 | 25,73 | 26,9  |
| 29  | 13,04  | 15,42  | 17,52 | 19,4  | 21,11 | 22,67 | 24,11 | 25,45 | 26,71 | 27,89 |
| 30  | 13,93  | 16,32  | 18,44 | 20,33 | 22,05 | 23,62 | 25,08 | 26,43 | 27,69 | 28,88 |

Tabulka P 14 – Česko-anglický slovník základních výrazů ze stavební tepelné techniky

| Český výraz   | Anglický výraz   |
|---|--|
| absolutní vlhkost vzduchu                               | absolute humidity  |
| atmosférický tlak                                       | atmospheric pressure   |
| bezpečnostní teplotní přírážka                          | protective temperature overcharge  |
| bodový činitel prostupu tepla                           | point thermal transmittance  |
| bodový tepelný most                                     | point thermal bridge   |
| celková spotřeba energie budovy                         | total energy use of the building   |
| celkový součinitel prostupu tepla, celková U-hodnota    | total transmission heat loss coefficient; total loss thermal transmittance; total U-value  |
| čas   | time   |
| částečný tlak nasycené vodní páry                       | partial saturated water vapour pressure  |
| částečný tlak vodní páry                                | partial water vapour pressure  |
| denostupně  | accumulated temperature differences  |
| difuzní odpor   | diffusion resistance   |
| difuzní tok   | water vapour diffusion flow rate   |
| dodaná energie  | delivered energy   |
| doporučená normová hodnota                              | recommended standard value   |
| ekvivalentní difuzní tloušťka                           | equivalent diffusion thickness   |
| ekvivalentní faktor difuzního odporu                    | equivalent moisture resistance factor; equivalent water vapour diffusion resistance factor |
| ekvivalentní součinitel difuzní vodivosti               | equivalent diffusion conductivity factor   |
| ekvivalentní součinitel tepelné vodivosti               | equivalent thermal conductivity coefficient  |
| faktor difuzního odporu                                 | moisture resistance factor; water vapour diffusion resistance factor                       |
| faktor tvaru budovy, geometrická charakteristika budovy | shape of building  |
| globální sluneční záření                                | global solar irradiance  |
| hmotnostní vlhkost                                      | moisture content mass by mass  |
| hustota difuzního toku vodní páry                       | density of water vapour diffusion flow rate  |
| hustota tepelného toku                                  | density of heat flow rate  |
| charakteristická hmotnostní vlhkost                     | characteristic moisture content mass by mass   |
| intenzita výměny vzduchu $n_{50}$                       | space rate changing air $n_{50}$   |
| intenzita výměny vzduchu v místnosti                    | space rate changing air  |
| kritická místnost                                       | critical room  |
| kritická normová hodnota                                | critical standard value  |
| kritická vnitřní povrchová teplota                      | critical surface temperature   |
| kritická vnitřní povrchová vlhkost                      | critical surface moisture  |
| lehký obvodový plášť                                    | curtain walling  |
| lineární činitel prostupu tepla                         | linear thermal transmittance   |
| lineární tepelná propustnost                            | linear thermal coupling coefficient  |
| lineární tepelný most                                   | linear thermal bridge  |
| lineární tepelný odpor                                  | linear thermal resistance  |
| měrná spotřeba tepla na vytápění                        | specific heat use for heating  |
| měrná tepelná kapacita                                  | specific heat capacity   |
| měrná tepelná ztráta                                    | heat loss coefficient; heat transfer coefficient   |
| měrná tepelná ztráta větráním                           | ventilation heat loss coefficient  |
| měrná vlhkost vzduchu                                   | humidity by mass   |
| měrná ztráta prostupem tepla                            | transmission heat loss coefficient   |
| nasákavost  | water absorption   |

|  |   |
|--|---|
| návrhová hmotnostní vlhkost; praktická hmotnostní vlhkost          | practical moisture content mass by mass                         |
| návrhová průměrná letní denní teplota venkovního vzduchu           | design external average day temperature in the summer           |
| návrhová relativní vlhkost venkovního vzduchu                      | design relative external air humidity                           |
| návrhová relativní vlhkost vnitřního vzduchu                       | design relative internal air humidity                           |
| návrhová střední intenzita globálního slunečního záření            | design mean global solar irradiance                             |
| návrhová teplota venkovního vzduchu v letním období                | design external temperature in summer                           |
| návrhová teplota venkovního vzduchu v zimním období                | design external temperature in winter                           |
| nejvyšší denní vzestup teploty vzduchu v místnosti v letním období | maximum rise of internal temperature in the summer period       |
| nejvyšší teplota vnitřního vzduchu v místnosti v letním období     | maximum internal temperature in the summer period               |
| neustálený stav  | non-steady state  |
| normová hmotnostní vlhkost   | standard moisture content mass by mass                          |
| obestavěný prostor budovy  | build-up volume of the building                                 |
| objemová hmotnost  | density   |
| objemová hmotnost v suchém stavu                                   | dry density   |
| objemová vlhkost   | moisture content volume by volume                               |
| objemový tok vzduchu   | air flow rate   |
| obnovitelná energie  | renewable energy  |
| odpor konstrukce při prostupu tepla                                | heat transfer resistance of the structure                       |
| odpor konstrukce při prostupu vodní páry                           | structure resistance to water vapour transfer                   |
| odpor při přestupu tepla na vnější straně konstrukce               | external resistance of heat transfer                            |
| odpor při přestupu tepla na vnitřní straně konstrukce              | internal resistance of heat transfer                            |
| odpor při přestupu vodní páry na vnější straně konstrukce          | external surface resistance to water vapour transfer            |
| odpor při přestupu vodní páry na vnitřní straně konstrukce         | internal surface resistance to water vapour transfer            |
| operativní teplota   | operative temperature   |
| plošná tepelná propustnost   | thermal conductance   |
| podlaha na zemině  | slab on ground  |
| pokles výsledné teploty v místnosti v zimním období                | drop of internal dry resultant temperature in the winter period |
| potřeba energie na vytápění  | heat use for space heating                                      |
| potřeba tepla na vytápění  | heat use; energy use for heating                                |
| požadovaná hodnota   | required value  |
| požadovaná normová hodnota   | required standard value   |
| primární energie   | primary energy  |
| průměrná rychlost větru  | average wind speed  |
| průměrný součinitel prostupu tepla                                 | average transmission heat loss coefficient                      |
| průvzdušnost   | air permeability  |
| převažující návrhová teplota vnitřního vzduchu                     | prevailing design internal temperature                          |
| přímé sluneční záření  | direct solar radiance   |
| relativní vlhkost vzduchu  | relative humidity   |
| roční množství zkondenzované vodní páry                            | annual amount of condensed water vapour                         |
| roční spotřeba tepla   | annual heat use   |
| sálavý tepelný tok, tepelný tok sáláním                            | radiation heat flow rate  |

## Přílohy

|   |  |
|---|--|
| sluneční záření   | solar irradiance   |
| součinitel prostupu tepla výplně otvoru                     | total transmission heat loss coefficient of pane opening; total heat thermal transmittance of pane opening |
| součinitel prostupu tepla zabudované konstrukce             | transmission heat loss coefficient of build in structure   |
| součinitel prostupu tepla, U-hodnota                        | transmission heat loss coefficient; heat thermal transmittance value, U-value                              |
| součinitel průvzdušnosti                                    | flow coefficient   |
| součinitel přestupu tepla na vnější straně konstrukce       | external surface coefficient of heat transfer; external surface resistance                                 |
| součinitel přestupu tepla na vnitřní straně konstrukce      | internal surface coefficient of heat transfer; internal surface resistance                                 |
| součinitel přestupu vodní páry na vnější straně konstrukce  | water vapour transfer at the external surface of the structure   |
| součinitel přestupu vodní páry na vnitřní straně konstrukce | water vapour transfer at the internal surface of the structure   |
| součinitel spárové průvzdušnosti                            | coefficient of length joint air permeability   |
| součinitel tepelné vodivosti                                | thermal conductivity coefficient   |
| součinitel teplotní vodivosti                               | temperature conductivity factor  |
| součinitele podmínek působení                               | condition operation coefficients   |
| spárová difuzní vodivost                                    | joint gap conductivity factor  |
| stupeň tepelné náročnosti budov                             | level of thermal performance of building (LTP)   |
| systémová hranice budovy                                    | boundary of building heated space  |
| šíření tepla  | heat transfer  |
| šíření vlhkosti   | moisture transfer  |
| šíření vzduchu  | air transfer   |
| tepelná charakteristika budovy                              | thermal characteristic of building, volume heat loss coefficient   |
| tepelná jímavost  | thermal effusivity   |
| tepelná jímavost podlahy                                    | thermal effusivity of floor  |
| tepelná pohltivost  | thermal absorption   |
| tepelná propustnost   | thermal coupling coefficient   |
| tepelná vazba   | thermal connection   |
| tepelně izolační materiál                                   | thermal insulation material  |
| tepelný most  | thermal bridge   |
| tepelný odpor vrstvy, konstrukce                            | thermal resistance   |
| tepelný odpor vzduchové vrstvy                              | thermal resistance of air gap  |
| tepelný tok   | heat flow rate   |
| teplota   | temperature  |
| teplota rosného bodu  | dew point temperature  |
| teplota vnitřního vzduchu                                   | design internal temperature  |
| teplotní útlum  | thermal heat damping   |
| ustálený stav   | steady state   |
| vlhkostní součinitel materiálu                              | material moisture coefficient  |
| vlhkostní veličiny  | moisture quantities  |
| vypařené množství vodní páry                                | evaporated water vapour  |
| výplň otvoru  | opening pane; opening infill   |
| výsledná teplota  | internal dry resultant temperature; globe temperature  |
| zdroje energie  | energy sources   |
| zkondenzované množství vodní páry                           | condensed water vapour   |

Tabulka P 15 – Značky, jednotky a veličiny

| Značka         | Veličina  | Jednotka                          | Značka původní |
|----------------|---|-----------------------------------|----------------|
| a              | Součinitel replotní vodivosti                                     | $m^2/s$                           | a              |
| A              | Plocha  | $m^2$                             | S              |
| A/V            | Faktor tvaru budovy; geometrická charakteristika budovy           | $m^2/m^3$ ; $1/m$                 | A/V            |
| $A_e$          | Plocha vnější konstrukce  | $m^2$                             | -              |
| $A_e$          | Teplotní amplituda venkovního vzduchu v zimním období             | K                                 | $A_e$          |
| $A_J$          | Amplituda intenzity globálního slunečního záření                  | $W/m^2$                           | $A_J$          |
| $A_{si}$       | Teplotní amplituda na vnitřím povrchu konstrukce                  | K                                 | $A_{si}$       |
| $A_w$          | Plocha výplně otvoru  | $m^2$                             | -              |
| $A_f$          | Plocha rámu výplně otvoru   | $m^2$                             | -              |
| $A_g$          | Plocha zasklení   | $m^2$                             | -              |
| b              | Šířka   | m                                 | b              |
| b              | Tepelná jímavost  | $W^2 \cdot s / (m^4 \cdot K^2)$   | b              |
| $b_1$          | Činitel teplotní redukce  | (-)                               | -              |
| B              | Tepelná jímavost podlahy  | $W \cdot s^{0,5} / (m^2 \cdot K)$ | B              |
| c              | Měrná tepelná kapacita  | $J / (kg \cdot K)$                | c              |
| $c_d$          | Měrná tepelná kapacita v suchém stavu                             | $J / (kg \cdot K)$                | -              |
| $c_u$          | Návrhová hodnota měrné tepelné kapacity                           | $J / (kg \cdot K)$                | $c_p$          |
| $c_n$          | Normová hodnota měrné tepelné kapacity                            | $J / (kg \cdot K)$                | $c_{dn}$       |
| C              | Součinitel průvzdušnosti  | $m^3 / (s \cdot Pa^n)$            | -              |
| d              | Tloušťka  | m                                 | d              |
| $d_m$          | Počet dnů v měsíci  |                                   | -              |
| $d_q, d_{cav}$ | Tloušťka vzduchové vrstvy, mezery                                 | m                                 | -              |
| $D_p$          | Denostupně  | K·den                             | D              |
| E              | Součinitel vzájemného sálání                                      | (-)                               | -              |
| $F_v$          | Tepelná charakteristika budovy                                    | $W / (m^3 \cdot K)$               | $q_c$          |
| $e_v$          | Měrná spotřeba tepla na vytápění                                  | $kWh/m^3$                         | -              |
| $f_{Rsi}$      | Teplotní faktor vnitřního povrchu                                 | -                                 | -              |
| $f_{Rsi,cr}$   | Kritický teplotní faktor vnitřního povrchu                        |                                   |                |
| $f_{Rsi}^{2D}$ | Teplotní faktor vnitřního povrchu vypočtený z 2 D teplotního pole | -                                 | -              |
| $f_{Rsi}^{3D}$ | Teplotní faktor vnitřního povrchu vypočtený z 3 D teplotního pole | -                                 | -              |
| g              | Hustota difuzního toku vodní páry                                 | $kg / (m^2 \cdot s)$              | $g_d$          |
| g              | Celková propustnost slunečního záření                             | (-)                               | -              |
| $g_c$          | Zkondenzované množství vodní páry                                 | $kg / (m^2 \cdot s)$              | -              |
| $g_{ev}$       | Vypařené množství vodní páry                                      | $kg / (m^2 \cdot s)$              | -              |
| grad           | Gradient  |                                   | grad           |
| G              | Difuzní tok   | $kg/s$                            | -              |

|             |  |                                   |                |
|-------------|--|-----------------------------------|----------------|
| G           | Měrná vnitřní produkce vlhkosti  | kg/h                              |                |
| h           | Výška  | m                                 |                |
| $h_{si}$    | Součinitel přestupu tepla na vnitřní straně konstrukce   | $W/(m^2 \cdot K)$                 | $\alpha_i$     |
| $h_{siK}$   | Součinitel přestupu tepla na vnitřní straně konstrukce v koutě                                       | $W/(m^2 \cdot K)$                 | $\alpha_{i,K}$ |
| $h_{se}$    | Součinitel přestupu tepla na vnější straně konstrukce  | $W/(m^2 \cdot K)$                 | $\alpha_e$     |
| $h_{se}^*$  | Součinitel přestupu tepla na vnější straně konstrukce v letním období                                | $W/(m^2 \cdot K)$                 | $\alpha_{eu}$  |
| $h_c$       | Součinitel přestupu tepla prouděním  | $W/(m^2 \cdot K)$                 | $\alpha_s$     |
| $h_r$       | Součinitel přestupu tepla sáláním  | $W/(m^2 \cdot K)$                 | $\alpha_r$     |
| $h_{pe}$    | Součinitel přestupu vodní páry na vnější straně konstrukce   | s/m                               | $\alpha_{de}$  |
| $h_{pi}$    | Součinitel přestupu vodní páry na vnitřní straně konstrukce  | s/m                               | $\alpha_{di}$  |
| H           | Měrná tepelná ztráta   | W/K                               | -              |
| $H_r$       | Měrná ztráta prostupem tepla (celková)   | W/K                               | -              |
| $H_v$       | Měrná ztráta větráním  | W/K                               |                |
| $H_u$       | Měrná ztráta prostupem tepla nevytápěnými prostory (mezi vytápěným prostorem a venkovním prostředím) | W/K                               | -              |
| $i_{LV}$    | Součinitel spárové průvzdušnosti   | $m^3/(s \cdot m \cdot Pa^{0,67})$ | $i_{LV}$       |
| $J_m$       | Návrhová střední intenzita globálního slunečního záření  | $W/m^2$                           | $J_m$          |
| /           | Délka  | m                                 |                |
| L           | Tepelná propustnost  | W/K                               |                |
| L           | Plošná tepelná propustnost   | $W/(m^2 \cdot K)$                 | $\Lambda$      |
| $L_l$       | Lineární tepelná propustnost   | $W/(m \cdot K)$                   |                |
| $L_D$       | Tepelná propustnost obvodového pláště mezi vytápěným prostorem a venkovním prostředím                | W/K                               |                |
| $L_s$       | Ustálená tepelná propustnost zeminou mezi vnitřním prostorem a venkovním prostředím                  | W/K                               | -              |
| $L^{2D}$    | Tepelná propustnost stanovená výpočtem dvourozměrného teplotního pole - 2D výpočtem                  | W/K                               | -              |
| $L^{3D}$    | Tepelná propustnost stanovená výpočtem trojrozměrného teplotního pole - 3D výpočtem                  | W/K; $W/(m^2 \cdot K)$            | -              |
| n           | Intenzita přirozené výměny vzduchu v místnosti   | 1/h; $m^3/(m^3 \cdot h)$          | n              |
| $n_{50}$    | Intenzita výměny vzduchu budovy při přetlaku 50 Pa   | 1/h; $m^3/(m^3 \cdot h)$          | -              |
| N           | Teplotní difuzní funkce  | 1/s                               | N              |
| $N_{es}(t)$ | Součinitel chladnutí nesymetricky chladnoucí konstrukce v zimním období                              | -                                 | $N_{es}(\tau)$ |
| $N_{is}(t)$ | Součinitel chladnutí symetricky chladnoucí konstrukce v zimním období                                | -                                 | $N_{is}(\tau)$ |

|                     |   |                    |                |
|---------------------|---|--------------------|----------------|
| $N_{ps}(t)$         | Součinitel chladnutí polonekonečné konstrukce v zimním období                     | -                  | $N_{ps}(\tau)$ |
| $m_d$               | Hmotnost materiálu / výrobku v suchém stavu                                       | kg                 |                |
| $M$                 | Plošná sálavost povrchu   | $W/m^2$            | -              |
| $M^\circ$           | Plošná sálavost povrchu černého tělesa  | $W/m^2$            | -              |
| $M_{c,a}$           | Roční množství zkondenzované vodní páry   | $kg/(m^2 \cdot a)$ | $G_k$          |
| $M_{ev,a}$          | Roční množství vypařené vodní páry  | $kg/(m^2 \cdot a)$ | $G_v$          |
| $p_v$               | Částečný tlak vodní páry  | Pa                 | $p_d$          |
| $p_{vi}$            | Částečný tlak vodní páry vnitřního vzduchu  | Pa                 | $p_{di}$       |
| $p_{ve}$            | Částečný tlak vodní páry venkovního vzduchu                                       | Pa                 | $p_{de}$       |
| $p_{v,sat}$         | Částečný tlak nasycené vodní páry   | Pa                 | $p_{d'}$       |
| $p_{vq}, p_{v,cav}$ | Částečný tlak nasycené vodní páry ve vzduchové dutině, ve vrstvě                  | Pa                 | -              |
| $p_{v,sat,w}$       | Částečný tlak nasycené vodní páry při teplotě rosného bodu                        | Pa                 | -              |
| $p_a$               | Atmosférický tlak   | Pa                 | $p_a$          |
| $p_o$               | Referenční (normální) atmosférický tlak   | Pa                 | -              |
| $q$                 | Hustota tepelného toku  | $W/m^2$            | $q$            |
| $q_c$               | Celková tepelná charakteristika budovy  | $W/(m^3 \cdot K)$  | $q_c$          |
| $q_{cd}$            | Tepelná charakteristika budovy prostupem tepla                                    | $W/(m^3 \cdot K)$  | $q_{cd}$       |
| $q_{cv}$            | Tepelná charakteristika budovy výměnou vzduchu                                    | $W/(m^3 \cdot K)$  | $q_{cv}$       |
| $Q$                 | Potřeba energie na vytápění   |                    |                |
| $Q_{pv}$            | Potřeba tepla na vytápění   | Wh                 | -              |
| $Q_h$               | Roční potřeba tepla na vytápění   | Wh                 | -              |
| $R$                 | Tepelný odpor vrstvy, konstrukce  | $m^2 \cdot K/W$    | $R$            |
| $R_g; R_{cav}$      | Tepelný odpor vzduchové vrstvy  | $m^2 \cdot K/W$    | $R_w$          |
| $R_{si}$            | Odpor při přestupu tepla na vnitřní straně konstrukce                             | $m^2 \cdot K/W$    | $R_i$          |
| $R_{si,k}$          | Odpor při přestupu tepla na vnitřní straně konstrukce v koutě (ve vnitřním koutě) | $m^2 \cdot K/W$    | $R_{ik}$       |
| $R_{se}$            | Odpor při přestupu tepla na vnější straně konstrukce                              | $m^2 \cdot K/W$    | $R_e$          |
| $R_{se}^*$          | Odpor při přestupu tepla na vnější straně konstrukce v letním období              | $m^2 \cdot K/W$    | $R_e$          |
| $R_T$               | Odpor konstrukce při prostupu tepla   | $m^2 \cdot K/W$    | $R_T$          |
| $R_v$               | Tepelný odpor vrstev konstrukce od vnitřního prostředí ke vzduchové vrstvě        | $m^2 \cdot K/W$    | $R_v$          |
| $R_z$               | Tepelný odpor vrstev konstrukce od vzduchové vrstvy k venkovnímu prostředí        | $m^2 \cdot K/W$    | $R_z$          |
| $s$                 | Tepelná pohltivost materiálu  | $W/(m^2 \cdot K)$  | $s$            |
| $s_d$               | Ekvivalentní difuzní tloušťka   | m                  | $r_d$          |
| SEV                 | Úroveň stavebně energetických vlastností budovy                                   | %                  | -              |
| $t$                 | Čas   | s                  | $t$            |
| $T$                 | Termodynamická teplota  | K                  | $T$            |

|                 |   |                   |             |
|-----------------|---|-------------------|-------------|
| U               | Tepelná pohltivost materiálu  |                   | U           |
| u               | Hmotnostní vlhkost  | %                 | $W_m$       |
| $u_u$           | Návrhová (praktická) hmotnostní vlhkost   | %                 | $W_{mn}$    |
| $u_{exp}$       | Okamžitá hmotnostní vlhkost   | %                 | $W_{m,exp}$ |
| $u_n$           | Normová hmotnostní vlhkost  | %                 | $W_n$       |
| $u_p$           | Praktická hmotnostní vlhkost  | %                 | $W_{mp}$    |
| $U_T; U$        | Součinitel prostupu tepla; U - hodnota  | $W/(m^2 \cdot K)$ | k           |
| $U_c$           | Celkový součinitel prostupu tepla; celková U - hodnota  | $W/(m^2 \cdot K)$ | -           |
| $U_f$           | Součinitel prostupu tepla rámu  | $W/(m^2 \cdot K)$ | -           |
| $U_g$           | Součinitel prostupu tepla zasklením   | $W/(m^2 \cdot K)$ | -           |
| $U_i$           | Součinitel prostupu tepla vnitřní konstrukce  | $W/(m^2 \cdot K)$ | -           |
| $U_m$           | Průměrný součinitel prostupu tepla konstrukcí místnosti   | $W/(m^2 \cdot K)$ | $k_c$       |
| $U_N$           | Požadavková hodnota součinitele prostupu tepla neprůsvitné výplně                                   | $W/(m^2 \cdot K)$ | -           |
| $U_w$           | Součinitel prostupu tepla okna  | $W/(m^2 \cdot K)$ | $k_{ok}$    |
| $U_D$           | Součinitel prostupu tepla dveří   | $W/(m^2 \cdot K)$ | -           |
| $U_{bf}$        | Součinitel prostupu tepla podlahy suterénu  | $W/(m^2 \cdot K)$ | -           |
| $U_{bw}$        | Součinitel prostupu tepla stěny suterénu  | $W/(m^2 \cdot K)$ | -           |
| $U_{em}$        | Průměrný součinitel prostupu tepla obálky budovy(její části);<br>Průměrná U - hodnota obálky budovy | $W/(m^2 \cdot K)$ | $k_c$       |
| $U_{id}$        | Součinitel prostupu tepla ideálního výseku konstrukce   | $W/(m^2 \cdot K)$ | $k_{id}$    |
| $U_{kc}$        | Součinitel prostupu tepla zabudované konstrukce   | $W/(m^2 \cdot K)$ | $k_p$       |
| $U_o$           | Základní hodnota součinitele prostupu tepla podlahy   | $W/(m^2 \cdot K)$ | -           |
| $\Delta U$      | Korekční součinitel prostupu tepla (korekční člen)  | $W/(m^2 \cdot K)$ | -           |
| $\Delta U_{tb}$ | Zvýšení součinitele prostupu tepla vlivem tepelných vazeb   | $W/(m^2 \cdot K)$ | -           |
| $\Delta U_{tb}$ | Zvýšení součinitele prostupu tepla vlivem tepelných mostů   | $W/(m^2 \cdot K)$ | -           |
| v               | Absolutní vlhkost vzduchu   | $kg/m^3$          | -           |
| $v_a$           | Rychlost větru  | m/s               | v           |
| $v_r$           | Referenční rychlost větru   | m/s               | -           |
|                 | Průměrná rychlost větru   | -                 |             |
| $v_{sat}$       | Absolutní vlhkost vzduchu v nasyceném stavu   | $kg/m^3$          | -           |
| V               | Objem; obestavěný prostor budovy, vytápěné zóny   | $m^3$             | V           |
| $v_z$           | Průvzdušnost  | $m^3/s$           | -           |
|                 | Objemový tok vzduchu  | $m^3/s$           | $Q_v$       |

## F. Kulhánek: STAVEBNÍ FYZIKA II - Stavební tepelná technika

|                      |  |                                    |                |
|----------------------|--|------------------------------------|----------------|
| $V_a$                | Vnitřní vzduchový prostor budovy; objem vzduchu v budově   | $m^3$                              | $V_a$          |
| $V_b$                | Obestavěný prostor budovy  | $m^3$                              | $O_p$          |
| $W_p$                | Nasákavost tepelně izolačního materiálu krátkodobá   | %                                  | -              |
| $W_{tp}$             | Nasákavost tepelně izolačního materiálu dlouhodobá   | %                                  | -              |
| $W_{dp}$             | Dlouhodobá navlhavost tepelně izolačního materiálu při difuzi  | %                                  | -              |
| $x$                  | Měrná vlhkost vzduchu  | kg/kg                              |                |
| $Z_p$                | Difuzní odpor vztažený k částečnému tlaku vodní páry   | $m^2 \cdot s \cdot Pa/kg$ ,<br>m/s | $R_d$          |
| $Z_{pi}$             | Odpor při přestupu vodní páry na vnitřní straně  | m/s                                | $R_{di}$       |
| $Z_{pe}$             | Odpor při přestupu vodní páry na vnější straně   | m/s                                | $R_{de}$       |
| $Z_{pT}$             | Odpor konstrukce při prostupu vodní páry   | m/s                                | $R_{dT}$       |
| $Z_u$                | Vlhkostní součinitel materiálu   | -                                  | $Z_w$          |
| $\alpha$             | Činitel pohltivosti  | (-)                                | S              |
| $\delta_p$           | Součinitel difuzní vodivosti, součinitel difuze vodní páry, vztažený k částečnému tlaku vodní páry     | $kg/(m \cdot s \cdot Pa)$ ,<br>s   | $\delta$       |
| $\delta_{.v}$        | Součinitel difuzní vodivosti, součinitel difuze vodní páry, vztažený k absolutní vlhkosti vzduchu      | $m^2/s$                            | -              |
| $\delta_a, \delta_o$ | Součinitel difuzní vodivosti vzduchu; součinitel difuze vodní páry ve vzduchu                          | $kg/(m \cdot s \cdot Pa)$ ,<br>s   | -              |
| $\delta_{p,ev}$      | Ekvivalentní součinitel difuzní vodivosti  | $(kg/(m \cdot s \cdot Pa))$ ,<br>s | $\delta_{ev}$  |
| $\delta_{p,dl}$      | Spárová difuzní vodivost   | $(kg/(m \cdot s \cdot Pa))$ ,<br>s | $\Lambda_{dl}$ |
| $\varepsilon$        | Emisivita; vyzařování  | (-)                                | $\leq$<br>e    |
| $\eta_o$             | Činitel využití tepelných zisků; stupeň využití tepelných zisků  | (-)                                |                |
| $\theta$             | Celsiova teplota   | $^{\circ}C$                        | t              |
| $\theta_{ae}$        | Teplota venkovního vzduchu   | $^{\circ}C$                        | $t_{ae}$       |
| $\theta_{ai}$        | Teplota vnitřního vzduchu  | $^{\circ}C$                        | $t_{ai}$       |
| $\theta_{ai,min}^*$  | Nejnižší teplota vnitřního vzduchu v místnosti v letním období   | $^{\circ}C$                        | $t_{ai,min}$   |
| $\theta_{ai,max}^*$  | Nejvyšší teplota vnitřního vzduchu v místnosti v letním období   | K                                  | $t_{ai,max}$   |
| $\theta_{ae,m}^*$    | Návrhová průměrná denní teplota venkovního vzduchu v letním období                                     | $^{\circ}C$                        | $t_{e, stř}$   |
| $\theta_{dm}$        | Průměrná denní teplota venkovního vzduchu  | $^{\circ}C$                        | -              |
| $\theta_e$           | Návrhová teplota venkovního vzduchu v zimním období  | $^{\circ}C$                        | $t_e$          |
| $\theta_{e,100}$     | Základní návrhová teplota venkovního vzduchu v příslušné teplotní oblasti o nadmořské výšce 100 m.n.m. | $^{\circ}C$                        | -              |

## Přílohy

|                              |   |         |                    |
|------------------------------|---|---------|--------------------|
| $\theta_e$                   | Návrhová teplota venkovního vzduchu v letním období                   | °C      | $t_{ae}$           |
| $\theta_{e,mn}$              | Návrhová průměrná měsíční teplota venkovního vzduchu                  | °C      | -                  |
| $\theta_i$                   | Návrhová vnitřní teplota (v zimním období)                            | °C      |                    |
| $\theta_{im}$                | Převažující návrhová teplota vnitřního vzduchu v zimním období        | °C      |                    |
| $\theta_o$                   | Operativní teplota  | °C      | -                  |
| $\theta_{si,cr}$             | Kritická vnitřní povrchová teplota                                    | °C      |                    |
| $\theta_{si,N}$              | Požadovaná nejnižší vnitřní povrchová teplota                         | °C      |                    |
| $\theta_{se}$                | Vnější povrchová teplota konstrukce                                   | °C      | $t_{ep}$           |
| $\theta_{si}$                | Vnitřní povrchová teplota konstrukce                                  | °C      | $t_{ip}$           |
| $\theta_{sim}$               | Průměrná vnitřní povrchová teplota konstrukce                         | °C      | -                  |
| $\theta_v$                   | Výsledná teplota  | °C      | $t_r$              |
| $\theta_v(t)$                | Výsledná teplota vnitřního prostoru po čase t od počátku chladnutí    | K       | $t_r(\tau)$        |
| $\Delta\theta_v(t)$          | Pokles výsledné teploty v místnosti v zimním období                   | K       | $\Delta t_r(\tau)$ |
| $\Delta\theta_{10}$          | Pokles dotykové teploty s chladnějším povrchem (podlahy)              | K       | $\Delta t_{10}$    |
| $\Delta\theta_{si}$          | Bezpečnostní přírážka k nejnižší požadované vnitřní povrchové teploty | K       | -                  |
| $\Delta\theta_{ai,max}^*$    | Nejvyšší denní vzestup teploty vzduchu v místnosti v letním období    | K       | $\Delta t_{i,max}$ |
| $\theta_x$                   | Teplota v konstrukci ve vzdálenosti x                                 | °C      | $t_x$              |
| $\theta_w$                   | Teplota rosného bodu  | °C      | $t_w$              |
| $\Theta$                     | Teplotní útlum v komplexním tvaru                                     | -       | $\Theta$           |
| $\lambda$                    | Součinitel tepelné vodivosti  | W/(m·K) | $\lambda$          |
| $\lambda_d$                  | Součinitel tepelné vodivosti v suchém stavu                           | W/(m·K) | $\lambda_s$        |
| $\lambda_D$                  | Deklarovaná hodnota součinitele tepelné vodivosti v suchém stavu      | W/(m·K) | -                  |
| $\lambda_k$                  | Charakteristická hodnota součinitele tepelné vodivosti                | W/(m·K) | $\lambda_k$        |
| $\lambda_n$                  | Normová hodnota součinitele tepelné vodivosti                         | W/(m·K) | $\lambda_n$        |
| $\lambda_u$                  | Návrhová hodnota součinitele tepelné vodivosti                        | W/(m·K) | $\lambda_u$        |
| $\lambda_{ev}$               | Ekvivalentní součinitel tepelné vodivosti                             | W/(m·K) | $\lambda_{ev}$     |
| $\lambda_{gi};\lambda_{cav}$ | Součinitel tepelné vodivosti vzduchové vrstvy, mezery                 | W/(m·K) | $\lambda_w$        |
| $\mu$                        | Faktor difuzního odporu   | (-)     | $\mu$              |
| $\mu_n$                      | Normová hodnota faktoru difuzního odporu                              | (-)     | $\mu_n$            |
| $\mu_u$                      | Návrhová hodnota faktoru difuzního odporu                             | (-)     | $\mu_p$            |
| $\mu_{ev}$                   | Ekvivalentní faktor difuzního odporu                                  | (-)     | $\mu_{ev}$         |
| $\nu$                        | Teplotní útlum  | (-)     | $\nu$              |
| $\nu^*$                      | Teplotní útlum v letním období  | (-)     | -                  |

|                   |   |                 |             |
|-------------------|---|-----------------|-------------|
| $\rho$            | Objemová hmotnost v definovaném stavu vlhkosti                      | $\text{kg/m}^3$ | $\rho$      |
| $\rho_d$          | Objemová hmotnost v suchém stavu                                    | $\text{kg/m}^3$ | $\rho_s$    |
| $\rho_n$          | Normová hodnota objemové hmotnosti<br>v definovaném stavu vlhkosti  | $\text{kg/m}^3$ | $\rho_{dn}$ |
| $\rho_u$          | Návrhová hodnota objemové hmotnosti<br>v definovaném stavu vlhkosti | $\text{kg/m}^3$ | $\rho_{dn}$ |
| $\rho_o$          | Referenční objemová hmotnost vzduchu                                | $\text{kg/m}^3$ |             |
| $\varphi_a$       | Relativní vlhkost vzduchu   | %               | $\varphi_a$ |
| $\varphi_e$       | Relativní vlhkost venkovního vzduchu                                | %               | $\varphi_e$ |
| $\varphi_i$       | Relativní vlhkost vnitřního vzduchu                                 | %               | $\varphi_i$ |
| $\varphi_{i,cr}$  | Kritická vnitřní povrchová vlhkost; povrchová<br>vlhkost            | %               | -           |
| $\varphi_{si,cr}$ | Kritická relativní vlhkost  | %               | -           |
| $\varphi_o$       | Referenční relativní vlhkost vzduchu                                | %               |             |
| $s\varphi$        | Bezpečnostní přírážka   | %               | -           |
| $\phi$            | Tepelný tok; tepelný zisk   | W               | Q           |
| $\chi$            | Bodový činitel prostupu tepla                                       | W/K             | -           |
| $\psi$            | Lineární činitel prostupu tepla                                     | W/(m·K)         | -           |
| $\psi$            | Objemová vlhkost  | %               | $W_v$       |
| $\psi^*$          | Fázové posunutí teplotních kmitů v letním období                    | h               | $\psi$      |
| $\Omega$          | Prostorový úhel   | sr              | -           |

Tabulka P 16 – Nejčastěji používané dolní indexy

|     |  |
|-----|--|
| a   | Vzduch   |
| A   | Plocha   |
| cr  | Kritická normová hodnota vlastnosti výrobku, stavební konstrukce, budovy. Kriteriaální hodnota   |
| cav | Vzduchová dutina   |
| d   | Suchý stav; desorpční  |
| D   | Deklarovaná hodnota vlastnosti materiálu; výrobku  |
| e   | Venkovní teplota, tlak, vlhkost  |
| ev  | Ekvivalentní   |
| f   | Rám  |
| g   | Zasklení, globální teplota, vzduchová dutina   |
| gr  | Zemina, terén  |
| i   | Vnitřní teplota, tlak, vlhkost   |
| id  | Ideální skladba konstrukce, jen ze stejnorodých vrstev mimo tepelné mosty                        |
| k   | Charakteristická hodnota vlastnosti materiálů, výrobků   |
| kc  | Zabudovaný   |
| L   | Délka  |
| m   | Střední  |
| n   | Normová hodnota vlastnosti materiálů, výrobků  |
| N   | Normová hodnota vlastnosti výrobků, stavební konstrukce, budovy. Kriteriaální hodnota            |
| rq  | Požadovaná hodnota   |
| rc  | Doporučená hodnota   |
| R   | Doporučená normová hodnota vlastnosti výrobku, stavební konstrukce, budovy. Kriteriaální hodnota |
| p   | Praktická, ustálená hodnota vlastnosti   |
| p   | Vlhkostní veličiny vztažené k částečnému tlaku vodní páry  |
| p   | Veličiny vztažené ke konstantnímu tlaku prostředí (např. $c_p$ )                                 |
| s   | Sálání. Sálavý povrch  |
| sb  | Sorpční  |
| sat | Nasycený   |
| si  | Vnitřní konstrukce, vnitřní povrch konstrukce  |
| se  | Vnější konstrukce, vnější povrch konstrukce  |
| t   | Teplota, veličina závislá na teplotě   |
| tbk | Tepelný most (v konstrukci)  |
| tb  | Tepelná vazba (mezi konstrukcemi)  |
| T   | Celkový  |
| u   | Návrhová hodnota vlastnosti materiálů, výrobků   |
| v   | Vlhkostní veličiny vztažené k absolutní vlhkosti   |
| V   | Větrání  |
| w   | Výplň otvoru. Rosný bod  |
| 0   | Referenční hodnota   |

---

**LITERATURA**

- 1 ČSN 73 0540: Tepelná ochrana budov
  - Část 1: Terminologie, červen 2005
  - Část 2: Požadavky, listopad 2002
  - Část 3: Výpočtové hodnoty veličin pro navrhování a ověřování, 1994, včetně následných změn Z1, Z2 a Z3
  - Část 4: Výpočtové metody, červen 2005
- 2 ČSN 06 0210/94: Výpočet tepelných ztrát budov při ústředním vytápění
- 3 Vyhláška č. 291/2001 Ministerstva průmyslu a obchodu ČR ze dne 27.7.2001, kterou se stanoví podrobnosti užití energie při spotřebě tepla v budovách
- 4 Halahyja M., Chmúrny I., Sternová Z.: Stavební tepelná technika. Tepelná ochrana budov, Jaga group Bratislava 1998
- 5 ČSN EN ISO 13370: Tepelné chování budov - Přenos tepla zeminou - Výpočtové metody
- 6 Halahyja M. a kol.: Stavebná tepelná technika, akustika a osvetlenie, ALFA Bratislava 1985
- 7 Mrlík F.: Vlhkostné problémy stavebných materiálov a konštrukcií, ALFA Bratislava 1985
- 8 Mrlík F.: Vlhkostní a tepelně technické konstanty stavebních materiálů a konstrukcí, VÚPS Praha 1986
- 9 Kirscher O.: Neue Wege bei der Wärmebedarfsrechnung für Gebäude, VDI - Verlag GMBH, Berlin 1941
- 10 Řehánek J., Janouš A., Kučera P., Šafránek J.: Tepelně-technické a energetické vlastnosti budov, Grada Publishing a.s., Praha 2002
- 11 Vaverka J., Chybík J., Mrlík F.: Stavební fyzika 2. Stavební tepelná technika, VUTIUM Brno 2000
- 12 ČSN EN ISO 6946: Stavební prvky a konstrukce - Tepelný odpor a součinitel prostupu tepla - Výpočtová metoda
- 13 ČSN EN ISO 832: Tepelné chování budov – Výpočet potřeby energie na vytápění – Obytné budovy
- 14 ČSN EN ISO 13 790: Tepelné chování budov – Výpočet potřeby energie na vytápění
- 15 ČSN EN ISO 13 788: Tepelně vlhkostní chování stavebních dílců a stavebních prvků – Vnitřní povrchová teplota pro vyloučení kritické povrchové vlhkosti a kondenzace uvnitř konstrukce – Výpočtové metody
- 16 ČSN EN ISO 13 791: Tepelné chování budov – Výpočet vnitřních teplot v místnosti v letním období bez strojního chlazení – Základní kritéria pro validační postupy
- 17 ČSN EN 12 831: Topné soustavy v budovách – Výpočet tepelného výkonu

Ing. František Kulhánek, CSc.

## STAVEBNÍ FYZIKA II

### Stavební tepelná technika

Vydalo České vysoké učení technické v Praze

Česká technika – nakladatelství ČVUT, Thákurova 1, 160 41 Praha 6,  
v únoru 2006 jako svou 10758. publikaci.

Vytisklo Nakladatelství ČVUT - výroba, Zikova 4, 166 36 Praha 6.

143 strany, 13 obrázků.

Vydání třetí přepracované. Náklad 300 výtisků. Rozsah 9,81 AA, 10,14 VA.

Kč 134,-

ISBN 80-01-03408-9



9 788001 034088